

# **CONTRIBUȚII PRIVIND UTILIZAREA STEGANOGRAFIEI ÎN PROTECȚIA ȘI TRANSMITEREA DATELOR**

Teză destinată obținerii  
titlului științific de doctor inginer  
la  
Universitatea "Politehnica" din Timișoara  
în domeniul ȘTIINȚA CALCULATOARELOR  
de către

**Ing. Daniela Natalia Stănescu**

Conducător științific: prof.univ.dr.ing. Mircea STRATULAT

Referenți științifici: prof.dr.ing. Daniela POPESCU  
prof.dr. Alexandru CICORTAȘ  
prof.dr.ing. Ștefan HOLBAN

Ziua susținerii tezei: 05.05.2010

Seriile Teze de doctorat ale UPT sunt:

- |                        |   |
|------------------------|---|
| 1. Automatică          | 7. Inginerie Electronică și Telecomunicații |
| 2. Chimie              | 8. Inginerie Industrială                    |
| 3. Energetică          | 9. Inginerie Mecanică                       |
| 4. Ingineria Chimică   | 10. Știința Calculatoarelor                 |
| 5. Inginerie Civilă    | 11. Știința și Ingineria Materialelor       |
| 6. Inginerie Electrică | 12. Ingineria sistemelor                    |

Universitatea „Politehnica” din Timișoara a inițiat seriile de mai sus în scopul diseminării expertizei, cunoștințelor și rezultatelor cercetărilor întreprinse în cadrul școlii doctorale a universității. Seriile conțin, potrivit H.B.Ex.S Nr. 14 / 14.07.2006, tezele de doctorat susținute în universitate începând cu 1 octombrie 2006.

Copyright © Editura Politehnica – Timișoara, 2010

Această publicație este supusă prevederilor legii dreptului de autor. Multiplicarea acestei publicații, în mod integral sau în parte, traducerea, tipărirea, reutilizarea ilustrațiilor, expunerea, radiodifuzarea, reproducerea pe microfilme sau în orice altă formă este permisă numai cu respectarea prevederilor Legii române a dreptului de autor în vigoare și permisiunea pentru utilizare obținută în scris din partea Universității „Politehnica” din Timișoara. Toate încălcările acestor drepturi vor fi penalizate potrivit Legii române a drepturilor de autor.

România, 300159 Timișoara, Bd. Republicii 9,  
tel. 0256 403823, fax. 0256 403221  
e-mail: editura@edipol.upt.ro

## Cuvânt înainte

Teza de doctorat a fost elaborată pe parcursul activității mele în cadrul Departamentului de Calculatoare, din cadrul Universității „Politehnica” din Timișoara.

Cele mai alese gânduri de recunoștință și mulțumire se îndreaptă spre conducătorul științific, domnul profesor dr. ing. Mircea Stratulat, care m-a sprijinit constant în activitatea mea didactică, doctorală și științifică, și căruia îi datorez în bună măsură formarea mea de cercetător și pedagog. De asemenea, doresc să evidențiez efortul enorm depus și răbdarea de care acesta a dat dovadă în îndrumarea competentă și permanentă pe parcursul elaborării acestei lucrări.

Mulțumesc domnului profesor dr. ing. Ștefan Holban care cu generozitate, răbdare și profesionalism, a îmbogățit permanent conținutul ideatic și științific al cercetărilor mele, dând consistență tezei, precum și pentru sprijinul personal și încrederea pe care mi le-a acordat în întreaga mea carieră universitară.

De asemenea, doresc să mulțumesc doamnei profesor dr. ing. Daniela Popescu (Universitatea Oradea) și domnului profesor dr. Alexandru Cicortaș (Universitatea de Vest Timișoara), care au răspuns solicitării de a face parte din comisia de analiză a tezei pentru răbdarea de a evalua prezenta teză și pentru aprecierile exprimate asupra acesteia.

Aduc de asemenea mulțumiri tuturor colegilor din laboratorul B425 și B513 pentru sprijinul permanent acordat și pentru întreaga colaborare de peste 12 ani, concretizată printr-o listă de realizări comune, atât pe plan didactic, cât și științific, multe dintre ele fiind puncte de referință pentru teza elaborată.

Mulțumesc întregului colectiv al Departamentului de Calculatoare, din cadrul Universității „Politehnica” din Timișoara, care a contribuit la formarea mea profesională și colegilor care mi-au oferit sprijinul și prietenia lor.

Doresc de asemenea să adresez mulțumirile cuvenite tuturor celor care, direct sau indirect, prin sugestiile oferite au contribuit la șlefuirea acestui demers științific și m-au susținut în finalizarea lui.

Nu în ultimul rând, doresc să mulțumesc întregii familii, în special soțului meu Manuel și fiului Raul pentru înțelegerea, răbdarea și sprijinul acordat în tot intervalul de timp alocat elaborării tezei. De asemenea mulțumesc părinților și socrilor pentru încurajările și ajutorul acordat în toată această perioadă.

Timișoara, mai 2010

Daniela Natalia Stănescu

Stănescu, Daniela Natalia

**Contribuții privind utilizarea steganografiei în protecția și transmiterea datelor**

Teze de doctorat ale UPT, Seria 10, Nr. 28, Editura Politehnica, 2010, 222 pagini, 71 figuri, 15 tabele.

ISSN: 1842-7707

ISBN: 978-606-554-088-0

Cuvinte cheie: steganografie, model steganografic, algoritm steganografic, domeniul spațial, domeniul vectorial, microprocesor

Rezumat,

Teza se încadrează în domeniul protecției și transmiterii datelor cu ajutorul steganografiei prin ascunderea informațiilor în mesaje care să nu trezească suspiciuni. Aspecte abordate: Conceperea unui model steganografic ce permite creșterea gradului de siguranță a sistemelor steganografice. Dezvoltarea, conceperea și verificarea unor algoritmi steganografici care să satisfacă modelul propus. Implementarea unor algoritmi steganografici pe două microprocesoare cu arhitecturi interne diferite în vederea testării capacității acestora de a prelucra astfel de date în scopul dezvoltării unor aplicații steganografice pentru telefonia mobilă.

## CUPRINS

<b>1 INTRODUCERE .....</b>	<b>10</b>
<b>1.1 Preliminarii.....</b>	<b>10</b>
<b>1.2 Oportunitatea și motivarea lucrării.....</b>	<b>11</b>
<b>1.3 Obiectivele lucrării.....</b>	<b>15</b>
<b>1.4 Prezentarea conținutului lucrării .....</b>	<b>16</b>
<b>2 MEDII FOLOSITE PENTRU APLICAREA STEGANOGRAFIEI</b>	<b>19</b>
<b>2.1 Steganografia în text .....</b>	<b>19</b>
<b>2.2 Steganografia în fișiere executabile .....</b>	<b>21</b>
<b>2.3 Steganografia aplicată mediilor de stocare .....</b>	<b>21</b>
<b>2.4 Steganografia aplicată în rețele de calculatoare .....</b>	<b>22</b>
2.4.1 Ascunderea informațiilor în atașamente .....	23
2.4.2 Ascunderea informațiilor în antetul protocoalelor de rețea .....	23
2.4.3 Ascunderea informațiilor în protocoale în timp real.....	25
2.4.4 Ascunderea informațiilor în protocoale publice și rețele fără fir .....	25
<b>2.5 Steganografia în audio .....</b>	<b>27</b>
<b>2.6 Steganografia în video.....</b>	<b>29</b>
<b>2.7 Steganografia în imagini digitale .....</b>	<b>30</b>
<b>2.8 Concluzii referitoare la mediile folosite în steganografie ...</b>	<b>33</b>
<b>3 IMAGINI DIGITALE UTILIZATE ÎN STEGANOGRAFIE .....</b>	<b>37</b>
<b>3.1 Descrierea imaginilor digitale .....</b>	<b>37</b>
<b>3.2 Stocarea imaginilor digitale .....</b>	<b>37</b>
<b>3.3 Generarea imaginilor digitale.....</b>	<b>38</b>
<b>3.4 Imagini binare .....</b>	<b>40</b>

---

<b>3.5</b>	<b>Imaginea alb-negru</b> .....	<b>40</b>
<b>3.6</b>	<b>Imagini color</b> .....	<b>41</b>
<b>3.7</b>	<b>Concluzii</b> .....	<b>41</b>
<b>4</b>	<b>DOMENII DE REPREZENTARE ALE IMAGINILOR DIGITALE</b> <b>43</b>	
<b>4.1</b>	<b>Domeniul spațial</b> .....	<b>43</b>
4.1.1	Domeniul spațial – RGB.....	43
4.1.2	Domeniul spațial – YUV .....	46
4.1.3	Alte domenii spațiale .....	46
<b>4.2</b>	<b>Domeniul frecvenței</b> .....	<b>48</b>
4.2.1	Transformata Fourier.....	49
4.2.2	Transformata Fourier Discretă .....	49
4.2.3	Transformata Cosinus Discretă .....	50
<b>4.3</b>	<b>Domeniul vectorial</b> .....	<b>51</b>
4.3.1	Transformata Karhunen Løeve bazată pe descompunerea în vectori și valori proprii 52	
4.3.2	Transformata bazată pe descompunerea în valori singulare .....	55
<b>4.4</b>	<b>Concluzii referitoare la domeniile de reprezentare a imaginilor digitale</b> .....	<b>56</b>
<b>5</b>	<b>STEGANOGRAFIA BAZATĂ PE IMPLEMENTARE HARDWARE</b> <b>58</b>	
<b>5.1</b>	<b>Steganografia în arii programabile</b> .....	<b>59</b>
<b>5.2</b>	<b>Steganografia în circuite</b> .....	<b>60</b>
<b>5.3</b>	<b>Steganografia în telefonია mobilă</b> .....	<b>61</b>
<b>5.4</b>	<b>Microprocesoare propuse pentru utilizare în steganografie</b> 63	
5.4.1	Microprocesoare cu o singură unitate de prelucrare. Caracteristici generale.	63
5.4.2	Microprocesoare cu mai multe unități de prelucrare. Caracteristici generale.	66
5.4.3	Concluzii privind rezultatele experimentale obținute prin utilizarea microprocesoarelor propuse în steganografie .....	68
<b>5.5</b>	<b>Concluzii</b> .....	<b>70</b>
<b>6</b>	<b>MODELE STEGANOGRAFICE</b> .....	<b>72</b>

<b>6.1 Model clasic.....</b>	<b>72</b>
<b>6.2 Model de bază propus pentru un sistem steganografic .....</b>	<b>73</b>
<b>6.3 Model încorporat.....</b>	<b>74</b>
<b>6.4 Model probabilistic.....</b>	<b>79</b>
<b>6.5 Model adaptiv.....</b>	<b>80</b>
<b>6.6 Optimizarea modelelor steganografice.....</b>	<b>81</b>
<b>6.7 Model bazat pe procesare .....</b>	<b>84</b>
6.7.1 Procesarea obiectelor de acoperire: MPOA .....	84
6.7.1.1 Descrierea modelului MPOA .....	84
6.7.1.2 Demonstrarea teoretică a modelului MPOA .....	86
6.7.1.3 Verificarea experimentală a modelului MPOA.....	93
6.7.2 Procesarea obiectelor de acoperire și a mesajelor secrete: MPOAM .....	96
6.7.2.1 Descrierea modelului MPOAM .....	96
6.7.2.2 Verificarea experimentală a modelului MPOAM .....	98
6.7.3 Concluzii privind comportarea modelelor MPOA și MPOAM .....	104
<b>6.8 Concluzii.....</b>	<b>105</b>
<b>7 STEGANOGRAFIA ÎN DOMENIUL SPAȚIAL.....</b>	<b>107</b>
<b>7.1 Algoritmi steganografici bazați pe ascunderea informației în cei mai puțini semnificativi biți (LSB-P) .....</b>	<b>107</b>
7.1.1 Algoritm de ascundere pe un bit (LSB-P <sub>1</sub> ) .....	109
7.1.2 Algoritm de ascundere pe 2 biți (LSB-P <sub>2</sub> ).....	112
7.1.3 Algoritm de ascundere pe 4 biți (LSB-P <sub>4</sub> ).....	113
7.1.4 Experimente .....	114
7.1.5 Concluzii privind algoritmi steganografici bazați pe ascunderea în biții cei mai puțini semnificativi.....	117
<b>7.2 Algoritm steganografic YUV-P .....</b>	<b>117</b>
7.2.1 Transformare RGB-YUV-RGB.....	118
7.2.2 Etapele algoritmului steganografic YUV-P .....	119
7.2.3 Experimente YUV-P.....	120
7.2.4 Concluzii YUV-P.....	126
<b>7.3 Algoritmi steganografici bazați pe complexitatea planurilor de biți</b>	<b>127</b>
7.3.1 Conceptele de bază ale algoritmilor steganografici bazați pe complexitatea planurilor de biți	127
7.3.2 Etapele algoritmului steganografic bazat pe complexitatea planurilor de biți	129
7.3.3 Rezultate experimentale - BPCS .....	130
7.3.4 Concluzii- BPCS.....	134

<b>7.4 Concluzii - Algoritmi steganografici aplicați în domeniul spațial.....</b>	<b>135</b>
<b>8 STEGANOGRAFIA ÎN DOMENIUL FRECVENȚĂ.....</b>	<b>137</b>
<b>8.1 Algoritm steganografic bazat pe transformata cosinus discretă DCT .....</b>	<b>137</b>
8.1.1 Experimente DCT.....	139
8.1.2 Concluzii .....	141
<b>9 STEGANOGRAFIA ÎN DOMENIUL VECTORIAL.....</b>	<b>142</b>
<b>9.1 Transformata SVD aplicată în steganografie.....</b>	<b>143</b>
9.1.1 Algoritm steganografic bazat pe descompunerea în valori singulare .....	144
9.1.2 Experimente SVD.....	147
9.1.3 Concluzii .....	148
<b>9.2 Transformata KLT aplicată în steganografie .....</b>	<b>148</b>
9.2.1 Algoritm steganografic pentru ascundere prin comprimare - ASAC .....	151
9.2.1.1 Descrierea algoritmului ASAC.....	151
9.2.1.2 ASAC - Experimente .....	157
9.2.1.3 ASAC - Concluzii .....	171
9.2.2 Algoritm steganografic pentru ascundere în zgomot - ASAZ.....	172
9.2.2.1 ASAZ - Algoritm de ascundere .....	172
9.2.2.2 ASAZ- Algoritm de extragere .....	175
9.2.2.3 ASAZ- Experimente .....	177
9.2.2.4 ASAZ- Concluzii.....	183
9.2.3 Algoritm steganografic pentru ascundere prin codarea mesajului secret	
ASAC <sub>MS</sub> 184	
9.2.3.1 ASAC <sub>MS</sub> - Algoritm de ascundere.....	184
9.2.3.2 ASAC <sub>MS</sub> -E <sub>1</sub> Algoritm de extragere.....	187
9.2.3.3 ASAC <sub>MS</sub> -E <sub>2</sub> - Algoritm de extragere .....	189
9.2.3.4 ASAC <sub>MS</sub> - Experimente .....	190
9.2.3.5 ASAC <sub>MS</sub> - Concluzii .....	198
<b>9.3 Concluzii.....</b>	<b>199</b>
<b>10 CONCLUZII FINALE ȘI CONTRIBUȚII PERSONALE. PERSPECTIVE.....</b>	<b>202</b>
<b>10.1 Concluzii.....</b>	<b>202</b>
<b>10.2 Contribuții personale .....</b>	<b>207</b>
<b>10.3 Direcții de cercetare generate de studiile efectuate .....</b>	<b>209</b>



---

<b>11 BIBLIOGRAFIE .....</b>	<b>210</b>
<b>A1. LISTA LUCRĂRILOR PUBLICATE ÎN DOMENIUL TEZEI.....</b>	<b>231</b>
<b>A. VOLUMELE UNOR MANIFESTĂRI ȘTIINȚIFICE INTERNAȚIONALE COTATE ISI.....</b>	<b>231</b>
<b>B. VOLUMELE UNOR MANIFESTĂRI ȘTIINȚIFICE INTERNAȚIONALE INDEXATE ÎN BAZE DE DATE INTERNAȚIONALE (BDI).....</b>	<b>231</b>
<b>A2. LISTA LUCRĂRILOR PUBLICATE(EXCEPTÂND CELE DIN DOMENIUL TEZEI).....</b>	<b>232</b>
<b>CĂRȚI.....</b>	<b>232</b>
<b>A3. CITARI .....</b>	<b>233</b>

# 1 INTRODUCERE

## 1.1 Preliminarii

Dorința oamenilor de a păstra o informație confidențială sau de a trimite mesaje secrete care să nu fie descoperite s-a manifestat încă din cele mai vechi timpuri. Pentru a putea realiza ceea ce-și doresc oamenii au fost nevoiți să inventeze cu abilitate diferite metode de ascundere în funcție de necesitățile ce le aveau de îndeplinit la acea vreme. Prima condiție ca un mesaj să poată fi ascuns în așa fel încât să nu fie nici măcar bănuită existența lui era găsirea unui mediu prielnic care să pară cât mai inofensiv pentru un observator întâmplător sau chiar rău voitor. În general în acele timpuri erau transmise doar mesajele importante, cu un scop precis de la o persoană la alta, dar astăzi este cunoscut faptul că oamenii sunt inundați cu informații ce le pot fi necesare sau nu. Un astfel de exemplu ar putea fi reclamele publicitare ce pot fi transmise prin intermediul televiziunii, radioului, Internet-ului, telefoniei etc. Este important de remarcat faptul că informațiile transmise în aceste moduri pot fi inofensive sau nu, iar procesul de ascundere a acestora constituie o adevărată artă, numită steganografie.

Așadar, steganografia este o artă veche de ascundere a unor mesaje secrete în mesaje care par inofensive la prima vedere. Pe de altă parte, steganografia reprezintă un tip de comunicare între două persoane care au cunoștință de existența mesajelor secrete și de metoda aplicată în acest sens. Informațiile secrete sunt astfel ascunse încât nu pot fi detectate deoarece nu este conștientizată existența lor de către o altă persoană.

Comunicarea secretă este întâlnită pretutindeni în ziua de azi și este folosită de diferite persoane pentru numeroase motive, cum ar fi: protejarea afacerilor prin schimburi secrete de informații între companii, ascunderea datelor importante sub formă audio, video, imagini digitale față de persoane care nu ar trebui să aibă acces la ele, protecția intelectuală, semnătura digitală, etc.

Cuvântul *steganografie* provine din grecescul *steganos* (secret) și *graphein* (reprezentare grafică - scriere) și a avut un rol important în comunicarea secretă pe parcursul întregii istorii. De-a lungul timpului au fost folosite diferite tehnici de ascundere a informațiilor precum: tatuarea unui mesaj secret pe capul unui sclav trimis ca mesager, scrierea pe tăblițe de lemn acoperite cu ceară, folosirea cernelii invizibile creată din diferite substanțe, etc. [JOH01]. Odată cu trecerea timpului au fost generate noi metode de ascundere în funcție de evoluția dezvoltării tehnologiei.

În prezent steganografia modernă se bazează în mare parte pe comunicarea electronică facilitată de apariția Internet-ului și a telefoniei mobile. Astfel un mesaj text, imagine sau sunet poate fi încorporat într-un alt mesaj text, imagine sau sunet cu ajutorul unui algoritm implementat în așa fel încât procesul de ascundere să nu fie bănuț sau detectat nici de ochiul uman dar nici de un program specializat în acest sens.

În procesul de ascundere se evidențiază două părți: încorporarea mesajului ce se dorește a fi secret într-o informație oarecare și extragerea acestuia din informația în care a fost ascuns. De asemenea este foarte important ca informația să fie astfel ascunsă, încât să nu fie detectată, pentru ca eventualii interceptori să nu realizeze existența acesteia. Scopul steganografiei este transmiterea unei informații secrete într-o manieră în care să se evite apariția suspiciunilor din partea unor potențiali atacatori.

Pentru comunicarea secretă a informațiilor poate fi utilizată și criptografia, în care mesajele sunt codificate astfel încât să poată fi citite doar de către cineva care deține cheia de codare folosită în acest scop. Spre deosebire de criptografie, steganografia ascunde mesajele astfel încât existența lor nu este detectabilă.

Cele două domenii de securizare a informațiilor nu se exclud, ci doar se completează existând posibilitatea de a le utiliza simultan pentru a crește siguranța transmiterii informației.

O problemă importantă întâlnită la ora actuală o constituie protejarea împotriva copierii în cazul înregistrărilor de imagini sau sunete. În acest sens se poate apela la o tehnică numită watermarking digital, ce asigură un mod de protejare a drepturilor unui proprietar asupra propriei creații. Un watermark electronic reprezintă un semn sau o imprimare asupra unui document și este folosit cu scopul de a dovedi autenticarea și pentru a minimiza șansele ca o persoană neautorizată să altereze respectivul document. În acest mod se poate demonstra dreptul de proprietate în cazul în care un anumit material este copiat sau modificat puțin.

Așadar, watermarking-ul digital ascunde informație într-un anumit obiect de acoperire, și aceasta îl face să devină o aplicație a steganografiei. Este o formă limitată, deoarece este încorporată o cantitate destul de mică de informație și în principiu este adecvată doar pentru protejare și demonstrare a proprietarului, nu și pentru transmiterea informației.

În prezent steganografia se bazează în bună parte pe noile evoluții ale tehnologiei informației, care prezintă pe lângă avantajele legate de puterea de calcul, mobilitatea și simplitatea în comunicare și o serie de efecte secundare în ceea ce privește furturile intelectuale, atacuri la informație, precum și lipsa de confidențialitate. Într-un raport înaintat Uniunii Europene [SCH01] se menționează dorința de păstrare a confidențialității comunicațiilor personale și având în vedere că în unele țări europene, criptarea personală a datelor nu mai este permisă, impunându-se doar standardele existente se simte necesitatea identificării unor noi moduri de protejare a informațiilor. O cale preconizată în acest sens o poate avea steganografia, care prezintă o alternativă în găsirea unor soluții în ceea ce privește transmiterea și protecția datelor. Aceasta a condus în ultimii ani la necesitatea dezvoltării unor sisteme steganografice cât mai sigure.

Prima conferință în domeniul steganografiei a avut loc în 1996, iar în septembrie 2001 la o conferință pe teme de securitate a informației susținută la Londra s-a pus pentru prima dată problema unei securități globale pe Internet. Așadar, steganografiei îi revine un rol și o alternativă în domeniul protecției datelor.

Consider ca în acest domeniu atât de vast al steganografiei, pot să aduc o contribuție proprie în vederea creșterii securizării datelor, prin găsirea unor soluții mai eficiente sau alternative pentru ascunderea informațiilor secrete.

## **1.2 Oportunitatea și motivarea lucrării**

Această lucrare își propune să dezvolte găsirea unor noi modalități de îmbunătățire a modelelor steganografice specifice domeniului, cât și dezvoltarea unor algoritmi steganografici cu posibilitatea de implementare pe microprocesoare folosite sau în curs de utilizare în telefonia mobilă. Oportunitatea acestor cercetări

este dată de găsirea unor soluții mai eficiente sau alternative pentru asigurarea confidențialității comunicațiilor mobile.

Motivația unei astfel de cercetări a plecat de la dorința de mobilitate a transmiterii datelor în tehnologia calculatoarelor ce a fost propusă de către dr. George H. Heilmeier în octombrie 1992 în [HE192]. Acesta preciza că *“Oamenii și mașinile lor ar trebui să poată accesa informația și comunicarea ușor cu ceilalți într-un mod simplu și sigur, într-un mediu sau o combinație de medii precum, media-voce, imagine sau video, oricând și oriunde în timp real”*.

În prezent în era mobilității aproape oricine poate utiliza un calculator mobil sau un telefon mobil pentru a comunica prin intermediul acestora simplu și rapid. Din acest motiv nu este nici un secret că au loc cercetări în domeniul translatării aplicațiilor în era mobilității. Lucrarea de față se situează în acest domeniu, aducând mobilitate steganografiei în această direcție.

Se constată o tendință tot mai pronunțată de a se trece de la comunicarea prin intermediul unor echipamente fixe spre o evoluție a utilizării unor echipamente mobile sau utilizarea Internet-ului. În [1] se prezintă evoluția numărului de utilizatori de Internet (figura 1.1.) și de telefoane mobile (figura 1.2).

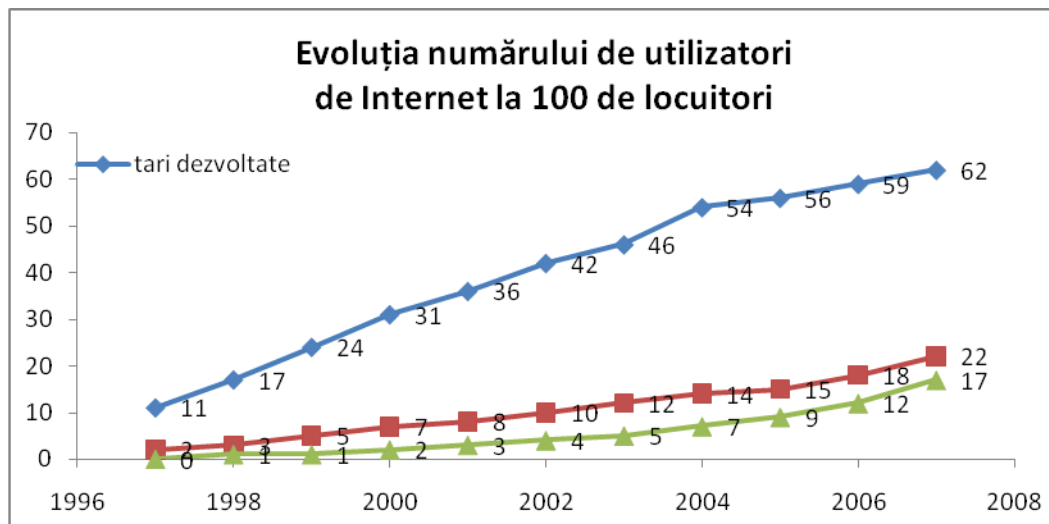


Figura 1.1. Evoluția numărului de utilizatori de Internet la 100 de locuitori [1]

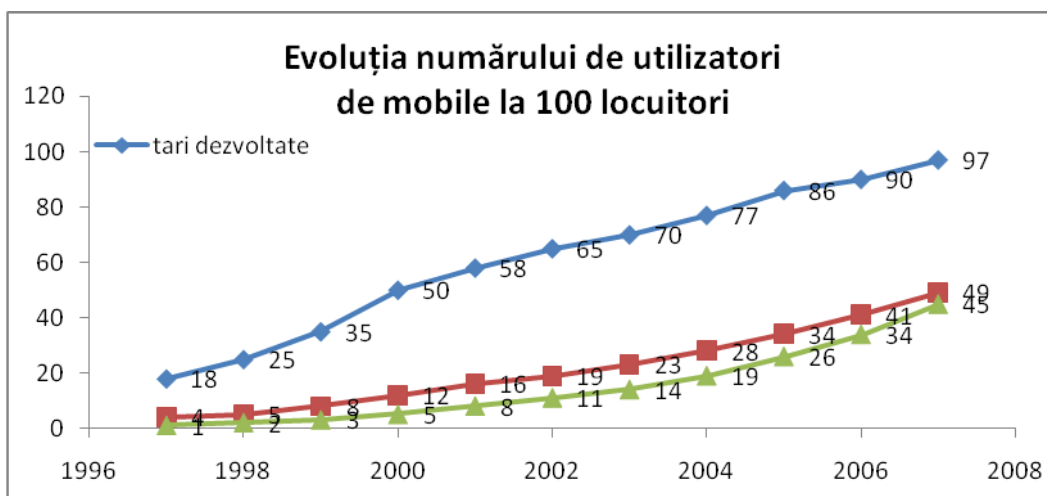


Figura 1.2. Evoluția numărului de utilizatori de telefoane mobile la 100 de locuitori [1]

După cum se vede din cele prezentate evoluția numărului de utilizatori de Internet a crescut în ultimii 10 ani de la 11 la 62 de utilizatori/100 de locuitori (figura 1.1). Pe de altă parte, statisticile din 2007 arată că 97% din populație deține cel puțin un telefon/locuitor în țările dezvoltate (figura 1.2).

Totodată pe baza aceluiași statistici [1] se constată că numărul de telefoane mobile vândute anual depășește de aproximativ 3 ori numărul de calculatoare vândute în aceeași perioadă (figura 1.3), în schimb numărul de programatori specializați pe dezvoltarea aplicațiilor în telefonia mobilă este infim comparativ cu numărul de programatori de dezvoltare a aplicațiilor pentru sistemele clasice de calcul (figura 1.4).

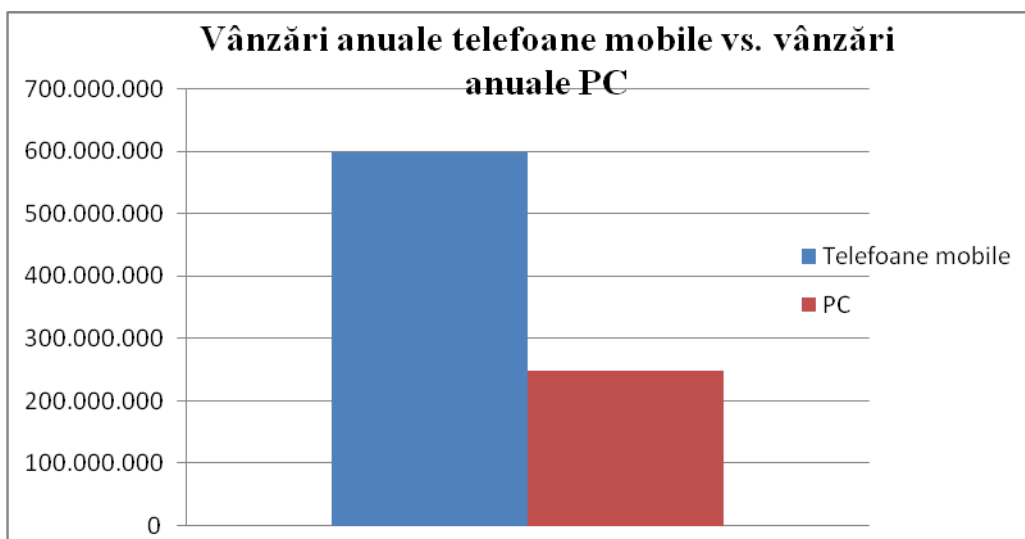


Figura 1.3. Vânzările anuale de telefonia mobilă în comparație cu vânzări de calculatoare personale [1]

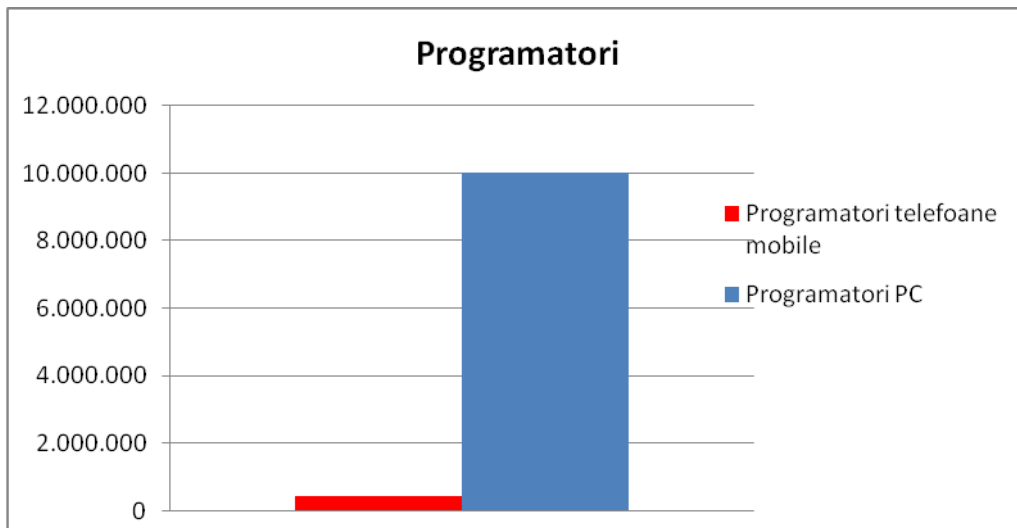


Figura 1.4. Numărul de programatori pentru calculatoare personale și telefoane mobile [1]

În ultima perioadă pe lângă mobilitatea în comunicare s-a dorit și o creștere a puterii de calcul, astfel că s-a impus ideea ca noua tehnologie să asigure o comunicare oricând și oriunde dublată de o putere de calcul care să atingă caracteristicile unui calculator portabil.

De asemenea s-a constatat o tendință în ceea ce privește integrarea unui calculator personal într-un telefon mobil. Această dorință a dus la apariția SmartPhone-urilor și a iPhone-urilor. Vânzările de iPhone-uri în al doilea trimestru al anului 2009 [2] arată 20,73 milioane de unități vândute la nivel mondial față de 0,27 milioane de unități vândute la mijlocul anului 2007 constatându-se o creștere de aproximativ 78,41 ori, așa cum arată în figura (figura 1.5).

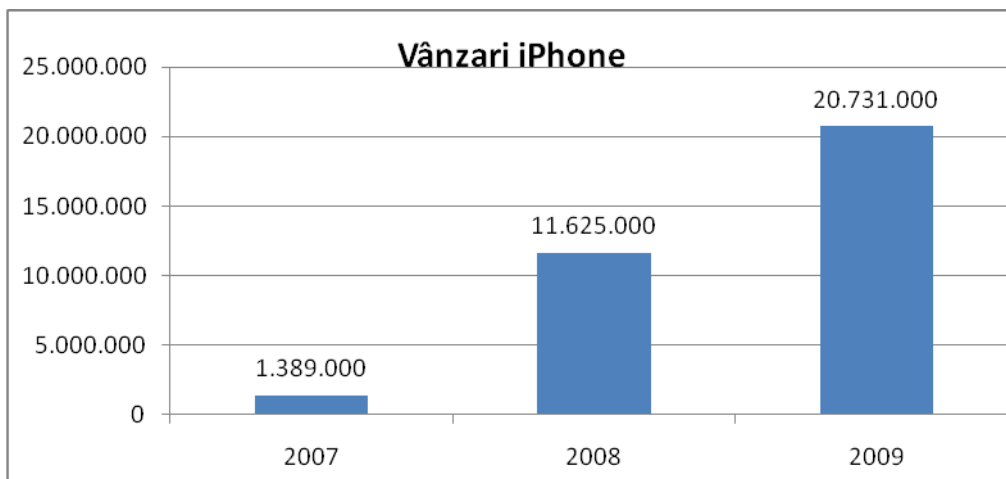


Figura 1.5. Vânzări iPhone [2]

Elementele care au favorizat dezvoltarea dispozitivelor mobile se caracterizează în primul rând prin dezvoltarea tehnologiilor pentru comunicații cu un grad mare de flexibilitate personală, miniaturizarea, dezvoltarea unui număr tot mai mare de funcționalități și interfețe, ușurința de utilizare și nu în ultimul rând creșterea puterii de calcul prin trecerea de la calculatoarele personale statice sau portabile spre SmartPhon-uri, respectiv iPhon-uri. Pe de altă parte se impune crearea unor medii de dezvoltare pentru dispozitivele mobile care să permită facilități suplimentare privind funcționalitatea și comunicarea.

O caracteristică importantă a sistemelor mobile actuale este mobilitatea și puterea de calcul din ce în ce mai evoluată a acestora, ca urmare a folosirii unor procesoare tot mai performante, cu o capacitate de memorie din ce în ce mai mare și cu posibilitatea de conexiune tot mai rapidă atât în rețeaua mobilă, cât și pe Internet. Toate acestea implică utilizarea telefoanelor mobile de către un număr foarte mare de persoane. Modelele noi apărute prezintă posibilități de programare din ce în ce mai complexe, ce permit integrarea unor funcționalități multiple, cum ar fi: încorporarea camerelor de luat vederi, camere video, sisteme de afișare cu o rezoluție din ce în ce mai mare, utilizarea ecranelor tactile, încorporarea de senzori și a unor sisteme de localizare GPS.

Pe lângă aceste facilități, dispozitivele mobile prezintă și unele constrângeri specifice acestor sisteme, cum ar fi: un număr mare de modele existente pe piață, un număr limitat de periferice de intrare-ieșire (tastatură, ecran tactil), dimensiunea mică a ecranului, energia stocată limitată, existența unui număr redus de aplicații. Este de așteptat ca pe măsură ce performanțele telefoanelor mobile evoluează, să sporească și numărul de aplicații specifice acestora. Astfel, se poate imagina încorporarea telefonului mobil într-un sistem de tip "casă inteligentă" sau în sisteme de monitorizare și control ale traficului pe baza datelor obținute direct din mediu [3]. Totodată se poate încadra ca o potențială aplicație și asigurarea confidențialității comunicațiilor prin utilizarea steganografiei. În prezent firmele producătoare de microprocesoare utilizate în telefonia mobilă și-au propus, ca urmare a cererilor tot mai mari din partea beneficiarilor să includă și funcții de protecție a transmișiei informațiilor prin utilizarea steganografiei.

### 1.3 **Obiectivele lucrării**

În cadrul tezei sunt urmărite câteva problematice importante legate de dezvoltarea unor sisteme steganografice implementate pe microprocesoare utilizate în telefonia mobilă. În acest sens obiectivele urmărite în lucrarea de față sunt:

- Găsirea mediului steganografic adecvat problematicei propuse. În urma studierii unei game largi de posibile medii steganografice ce pot fi utilizate în ascunderea informațiilor s-a constatat că imaginile digitale constituie mediul steganografic cel mai potrivit datorită faptului că satisfac toate cerințele specifice sistemelor steganografice.
- Analiza comparativă a principalelor domenii de reprezentare a imaginilor digitale în privința găsirii acelor domenii adecvate pentru dezvoltarea unor algoritmi steganografici.
- Studiu privind stadiul actual al modelelor steganografice prezentate în literatura de specialitate și determinarea deficiențelor referitoare la posibilitatea de implementare reală a acestora în practică.
- Dezvoltarea, demonstrarea teoretică și verificarea practică a unor noi modele steganografice care să conducă la îmbunătățirea procesului

steganografic atât din punctul de vedere al calității obiectului steganografic transmis, cât și al mesajului recuperat.

- Studiarea particularităților arhitecturilor microprocesoarelor tipice utilizate în telefonia mobilă și exploatarea acestora în vederea dezvoltării de algoritmi steganografici specifici unor aplicații, care trebuie să îmbine aspectele legate de timpi de execuție, cantitate de informație posibil ascunsă și de extragere a mesajului secret în timp real.
- Adaptarea și dezvoltarea unor algoritmi steganografici ce prezintă posibilități de a fi implementați pe microprocesoarele utilizate în telefonia mobilă, care să satisfacă caracteristicile legate de obținerea unei imagini steganografice de o calitate indiscutabilă astfel încât să nu trezească nici un fel de suspiciune unui eventual atacator.

#### 1.4 **Prezentarea conținutului lucrării**

Conținutul lucrării este dezvoltat pe parcursul a zece capitole.

În primul capitol este prezentată o scurtă descriere a tematicii legate de steganografie, oportunitatea cercetării în domeniul menționat, motivarea direcționării cercetării spre aplicații specifice microprocesoarelor utilizate în telefonia mobilă, descrierea principalelor obiective ale lucrării, respectiv modul de structurare a acesteia în funcție de obiectivele propuse.

În capitolul 2 este prezentată o analiză comparativă a principalelor medii de ascundere, raportată la necesitățile sistemelor steganografice legate de vizibilitate, detecție, robustețe și capacitate de încorporare. Concluzia ce se desprinde pe baza analizei menționate constă în faptul că imaginile digitale pot satisface în totalitate toate aceste cerințe. Ca atare în continuarea cercetării prezente am folosit imaginile digitale ca suport în dezvoltarea algoritmilor steganografici.

În continuare am scos în evidență în capitolul 3 câteva caracteristici esențiale ale imaginilor digitale plecând de la captarea acestora din imagini reale până la reprezentarea lor în sistemele de calcul. Sunt de asemenea descrise principalele tipuri de imagini folosite în lucrare atât ca și obiecte de acoperire, cât și ca mesaje secrete.

În capitolul 4 sunt descrise cele trei domenii de reprezentare ale imaginilor digitale: spațial, frecvență, respectiv vectorial. Din punct de vedere al percepției ochiului uman, respectiv al selecției culorilor, domeniul spațial poate fi regăsit în diferite reprezentări, cum ar fi: RGB, YUV etc. Pentru fiecare domeniu se prezintă suportul matematic ce stă la baza transpunerii imaginii în unul dintre cele trei domenii.

În capitolul 5 după o trecere în revistă a evoluției stadiului actual a aplicațiilor steganografice bazate pe implementare hardware, respectiv arii programabile, circuite integrate, microprocesoare sunt prezentate câteva aplicații ce utilizează facilitățile oferite de serviciile telefoniei mobile și a rețelelor fără fir. Pe baza constatărilor rezultate în urma aplicațiilor descrise se desprinde ca o soluție posibilă, implementarea directă sau chiar cablarea algoritmilor în microprocesoarele ce urmează a fi utilizate în telefonia mobilă. În continuare se face analiza principalelor caracteristici arhitecturale pentru un microprocesor ARM ce se bazează



pe o arhitectură de tip RISC a cărui punct forte îl reprezintă banda de asamblare. De asemenea se analizează avantajele microprocesorului ISAAC ce se bazează pe o arhitectură constituită din mai multe nuclee. Pe baza acestor caracteristici au fost verificați practic mai mulți algoritmi scoțându-se în evidență performanțele lor de timp.

În capitolul 6 după o scurtă prezentare a modelului clasic, respectiv a modelului de bază steganografic s-a făcut o analiză din punctul de vedere al siguranței sistemelor steganografice a celor mai frecvent citate modele în literatura de specialitate, scoțând în evidență aspecte legate de dificultatea utilizării acestora în practică sau punerea în evidență a unor aspecte ce nu fost luate în considerare. În vederea îmbunătățirii siguranței unui sistem steganografic, în urma acestor analize am propus un model steganografic în două variante de lucru: prima o constituie modelul denumit MPOA și presupune procesarea obiectelor de acoperire înaintea generării obiectului steganografic, iar a doua variantă o constituie modelul denumit MPOAM, ce presupune în plus pe lângă procesarea obiectului de acoperire și procesarea mesajului secret. Pentru validarea primului model s-a demonstrat pe baza distribuției de probabilitate că o procesare a obiectelor steganografice poate conduce la îmbunătățirea acestora. Rezultatele practice obținute în urma unor seturi de experimente conduc la aceeași concluzie, în sensul că procesarea asupra obiectelor steganografice și asupra mesajelor secrete înainte de a fi încorporate permite o îmbunătățire semnificativă atât a clarității obiectului steganografic, cât și a mesajului secret recuperat rezultând astfel un sistem steganografic cu un grad mai mare de siguranță.

Capitolul 7 descrie un set de algoritmi dezvoltati în domeniul spațial. Pentru analiza performanțelor privind comportarea în timp au fost dezvoltate trei variante de algoritmi bazate pe ascunderea informațiilor în biții cei mai puțini semnificativi în spațiul RGB, respectiv un algoritm ce se bazează pe prelucrarea obiectului de acoperire cu ajutorul transformatei YUV. Cei patru algoritmi au fost dezvoltati pentru a fi implementati pe un calculator personal, respectiv pe două microprocesoare, dintre care unul este bazat pe arhitecturi de tip bandă de asamblare, iar celălalt pe o arhitectură constituită din mai multe nuclee. În urma testelor efectuate pe un set de imagini de dimensiuni diferite sunt prezentate rezultatele timpului de execuție. Pentru compararea cantității de informație ce poate fi ascunsă, respectiv a calității obiectului steganografic a fost implementat un algoritm bazat pe complexitatea planurilor de biți care din punct de vedere al calității asigură performanțe foarte bune, dar din punctul de vedere al cantității informației ascunse este inferior în comparație cu algoritmi bazați pe ascunderea în cei mai puțini semnificativi biți.

În capitolul 8 s-a dezvoltat un algoritm în domeniul frecvenței bazat pe transformata cosinus discretă prin care mesajul secret este încorporat într-o imagine video în format MPEG-2. Scopul acestui algoritm a constat în verificarea robusteții obiectului steganografic, dar care conduce la ascunderea unei cantități relativ mici de informații. Astfel de algoritmi realizați în domeniul frecvenței ar putea face obiectul îmbunătățirii robusteții sistemelor steganografice prin combinarea cu alți algoritmi mai performanți din punct de vedere al cantității de informații, cum ar fi cei din domeniul spațial.

În capitolul 9 au fost concepuți un set de algoritmi prin care s-a urmărit îmbunătățirea performanțelor unuia dintre parametrii sistemelor steganografice. În acest sens pentru a obține o cantitate maximă de informații ce poate fi ascunsă, am conceput un algoritm steganografic denumit *ASAC* bazat pe comprimarea mesajului secret fără pierderi semnificative de informații și ascunderea acestuia în biții cei mai puțini semnificativi ai obiectului de acoperire. Cele trei variante ale algoritmului

confirmă cantitatea extrem de mare a informației (100%) ce poate fi ascunsă fără degradarea obiectului steganografic a cărui calitate este de necontestat, iar recuperarea mesajului secret se face în condiții foarte bune.

Un al doilea algoritm denumit *ASAZ* dezvoltat în acest capitol se bazează pe îmbunătățirea robusteții sistemului steganografic. Astfel, mesajul secret este ascuns în zgomotele generate în mod pseudoaleator și de așa manieră încât ele să nu conducă la degradarea imaginii obiectului steganografic. În acest fel un eventual atacator ar putea interpreta obiectul steganografic ca fiind afectat de zgomotele induse pe canalul de transmisie.

Al treilea algoritm realizat și denumit *ASAC<sub>MS</sub>* constă în ascunderea mesajului secret prin codarea acestuia cu ajutorul unei chei secrete, ceea ce face imposibilă descifrarea mesajului de către un eventual atacator fără cunoașterea acestei chei. Algoritmul s-a realizat în două variante de ascundere a mesajului secret, respectiv două variante de extragere a acestuia independente de modul de ascundere. Toate variantele acestui algoritm conduc la obținerea unui obiect steganografic de o calitate foarte bună, în schimb recuperarea mesajului este nuanțată de modul în care acesta este extras.

În finalul lucrării sunt prezentate concluziile, contribuțiile personale și posibilele direcții de cercetare în opinia autorului. Teza se întinde pe 219 de pagini, conține 70 de figuri, 15 tabele, un număr de 184 de titluri bibliografice. O mare parte din contribuții au fost validate prin publicarea a 6 lucrări științifice la care autorul tezei este prim autor, după cum urmează:

- 3 lucrări publicate în volumele unor conferințe indexate ISI Proceedings,
- 3 lucrări publicate în volumele unor conferințe indexate Inspec și IEEEExplore.

## 2 MEDII FOLOSITE PENTRU APLICAREA STEGANOGRAFIEI

Steganografia exploatează comunicarea ce pare inofensivă la prima vedere pentru un observator întâmplător, utilizând diferite medii în care poate ascunde datele secrete. Mediile de ascundere pot fi de diferite forme: text, imagine, sunet etc. Pentru ca procesul steganografic să fie realizat cu succes este foarte important ca mediul ales pentru ascunderea informațiilor secrete să nu atragă atenția asupra lui, și anume să pară cât mai inofensiv. De asemenea este necesar ca acesta să conțină suficiente informații astfel încât mesajul ce urmează a fi ascuns să nu devină vizibil.

Multimedia reprezintă capacitatea unui sistem de a comunica prin intermediul mai multor medii de prezentare, cum ar fi text, grafică, fotografii, animație, sunet etc. În plus, multimedia implică și noțiunea de interactivitate, deoarece utilizatorul nu este un simplu spectator. Se pot deosebi diferite metode de ascundere a informațiilor secrete, în funcție de mediul prin care acestea sunt transmise. În capitolul de față se descriu cele mai utilizate medii în care este aplicată steganografia.

### 2.1 *Steganografia în text*

Ascunderea mesajelor secrete în interiorul unui text este una din metodele steganografice aplicate încă din cele mai vechi timpuri. De-a lungul timpului a avut loc o evoluție în domeniul comunicării prin dezvoltarea unor noi tehnologii în care un rol semnificativ îl constituie utilizarea calculatoarelor.

În ceea ce privește documentele tip text, acestea pot fi modificate în vederea ascunderii unei informații secrete prin manipularea pozițiilor liniilor și cuvintelor. În acest sens pot fi amintite o serie de metode care utilizează ca suport pentru ascunderea unei informații secrete obiecte de tip text. În [JOH01] se prezintă câteva soluții utilizate de-a lungul timpului pentru ascunderea informațiilor secrete în texte prin diferite artificii efectuate în cadrul acestora, cum ar fi: exploatarea spațiilor adăugate în plus în documente între cuvinte, fraze, rânduri; folosirea metodelor semantice prin schimbarea unor cuvinte sinonime; generarea de obiecte steganografice noi prin care eventualul atacator să nu sesizeze existența unei informații ascunse.

În [CAS07] se propune un sistem steganografic pentru ascunderea datelor în documente Microsoft Office, iar [GAR04] prezintă câteva experimente făcute în vederea determinării problemelor care apar în urma aplicării steganografiei în documente Word. În lucrare se propun soluții care să rezolve aceste probleme. În sistemele tip bibliotecă digitală, documentele sunt disponibile în formă digitală, iar în acest mod, pot fi ușor copiate și identitatea lor poate fi supusă riscului unui eventual atac. Acest fapt duce la descurajarea celor ce publică documente ce conțin

informații de valoare, deoarece există posibilitatea pierderii titlului de autor. În [SER95] se

propune un sistem pentru înregistrarea documentelor existente într-o librărie digitală, după care este realizat un serviciu ce detectează copiile făcute. În acest sens, pot fi identificate copiile făcute parțial sau complete la documentele în cauză. În lucrare se descriu algoritmi folosiți pentru astfel de detecții și totodată sunt prezentate metricile necesare în vederea evaluării metodelor de detecție.

O altă aplicație interesantă de securizare a informației constă în stabilirea unor comunicări ascunse bazate pe steganografie prin intermediul telefoniei mobile în cazul folosirii serviciului SMS, ce a fost primit cu mare căldură de oamenii din întreaga lume. Folosind acest serviciu oamenii pot comunica ușor prin scrierea și trimiterea de mesaje scurte de la unul la altul. De asemenea, pot fi trimise și poze alb-negru sau color prin intermediul acestui serviciu. La orice tip de comunicare este indicat să se țină seama de aspectul securității informației. Deoarece se manifestă un tot mai mare interes pentru stabilirea comunicării ascunse se dezvoltă tehnici steganografice și în cazul folosirii serviciului SMS.

Astfel, în [SHA07b, SHA08b] se prezintă două metode utilizate pentru schimbul secret de informații prin ascunderea acestora în mesaje SMS sau prin intermediul unui joc transmis tot prin serviciul SMS. În [SHA06a] se propune o metodă pentru schimbul ascuns de date secrete prin realizarea unui proces steganografic în care obiectul de acoperire folosit este o imagine, iar aceasta este încorporată într-un mesaj SMS. Ideea de bază urmărită constă în aplicarea steganografiei în imagini alb-negru și realizarea acestui proces prin intermediul telefoniei mobile. Trebuie avut în vedere faptul că utilizarea mesajelor SMS prezintă anumite limitări.

O altă aplicație privind folosirea steganografiei în telefonia mobilă prin intermediul serviciului MMS (Multimedia Messaging Service) este dezvoltată în [SHA08a] unde tehnologia MMS este folosită pentru transmiterea unor mesaje ce includ obiecte multimedia printre care și imagini. Pentru protecția imaginii care este transmisă prin MMS se folosește o metodă de marcarea acesteia. La extragerea mesajului din MMS se poate constata dacă aceasta a fost duplicată sau nu.

Deoarece la ora actuală foarte multă lume folosește Internet-ul, există multe posibilități de a transmite date ascunse pe această cale. În acest sens pot fi alese ca obiecte de acoperire documente în format HTML. Pentru a ascunde mesaje secrete este necesar să fie luate în considerare informațiile ce pot fi ignorate de browser. Există site-uri de comerț electronic care folosesc căsuțe ascunse pentru a indica starea. Acestea pot fi folosite pentru a ascunde informație, dar devin vizibile în cazul în care se consultă codul sursă. În acest sens inserarea spațiilor în paginile HTML este o modalitate de aplicare a steganografiei. În general, un simplu observator nu verifică sursa HTML, ca urmare, poate fi aplicată steganografia prin inserarea informațiilor ascunse folosind spațiile rămase libere. În vederea protecției aplicațiilor Java contra copierii, [SHA06c] prezintă o metodă ce aplică o tehnică steganografică pentru pagini web în format HTML. Mesajul secret, format dintr-un șir de 8 caractere, este ascuns cu ajutorul unei chei secrete într-o pagină HTML, aleasă ca și obiect de acoperire pentru realizarea procesului steganografic. Proiectul propus este implementat prin aplicarea limbajului de programare Java, prin intermediul căruia, informația și cheia secretă sunt încorporate în obiectul de acoperire ales. După execuția programului, aplicația Java extrage datele din pagina HTML folosind cheia secretă.

În concluzie, metoda steganografică ce are ca suport de ascundere un text este considerată una dintre cele mai vechi metode, iar până la apariția noilor

tehnologii audio-video, era printre puținele metode cu rezultate satisfăcătoare. În prezent modalitatea de ascundere a datelor în text și-a pierdut în mare parte interesul, având în vedere posibilitățile reduse de ascundere. Procesele steganografice care folosesc ca și mediu de transmitere a datelor secrete textul, prezintă și dezavantajul că din punct de vedere cantitativ se poate remarca un procent destul de mic de informații ce pot fi ascunse. În ultimul timp, în urma apariției telefoniei mobile și utilizarea destul de largă a transmișiei mesajelor prin SMS, s-a încercat revigorarea metodelor de ascundere având ca suport un text SMS, dar bineînțeles și în această situație limita acestui suport de ascundere își spune cuvântul permînd astfel doar ascunderea unor informații reduse cantitativ.

## 2.2 **Steganografia în fișiere executabile**

Multimedia este în primul rând percepută de simțurile umane care sunt de multe ori imperfecte. De aceea conține o cantitate de date redundante ce pot fi suprascrise cu mesaje secrete. Mai mult, acestea pot conține o serie de zgomote datorate anumitor procese, cum ar fi: scanare, înregistrare. Prin contrast fișierele executabile sunt rareori percepute vizual. Ele simt prezența prin sarcina pe care trebuie să o îndeplinească. În teorie două executabile sunt echivalente dacă produc același rezultat pentru date de intrare identice. În practică, însă există și alte constrângeri, cum ar fi: spațiu, timp de execuție, încărcarea pe procesorul pe care-l comandă. Chiar și așa, există un număr mare de fișiere executabile echivalente, lucru ce poate fi folosit în optimizare, semnare digitală, watermarking, steganografie, etc.

Una din modalitățile aplicate pentru ascunderea datelor într-un program executabil ar putea consta în încorporarea mesajului secret după apariția marcajului de sfârșit de fișier (EOF). În acest caz, programul rulează fără nici o problemă, deoarece informația scrisă după sfârșitul de fișier este ignorată.

În [BER05] se cercetează o parte din domeniul steganografiei aplicată programelor executabile. Este cunoscut faptul că steganografia ascunde un mesaj secret într-un obiect de acoperire, iar în lucrare se identifică 3 tipuri de obiecte de acoperire cu redundanță utilizabilă în programe executabile. Se prezintă de asemenea tehnici steganografice pentru cercetarea acestor redundanțe.

Utilizarea fișierelor executabile ca mediu purtător prezintă dezavantajul că nu toate formatele oferă redundanță suficientă pentru steganografie, ceea ce conduce la reducerea posibilităților de ascundere a mesajelor secrete. Încercările de utilizare ale fișierelor în acest sens sunt cu precădere destinate protecției anumitor aplicații.

## 2.3 **Steganografia aplicată mediilor de stocare**

Steganografia poate fi aplicată în diferite medii de stocare ale calculatorului, cum ar fi: spațiile neutilizate de pe discul calculatorului, partiții ascunse, discuri optice, etc.

*Ascunderea informațiilor în spațiile de pe disc* este o metodă steganografică ce se bazează pe descoperirea spațiilor neutilizate de pe discul calculatorului, deoarece acestea nu sunt vizibile pentru un observator.

*Crearea de partiții ascunse* este o altă modalitate de ascundere a datelor secrete. Cu ajutorul acestei metode pot fi ascunse cantități mari de informație, dar în multe cazuri, prin rularea unui program de configurare a discului se descoperă partiția ascunsă. Așadar, această metodă dă rezultate bune, doar dacă utilizatorii calculatorului respectiv nu au o pregătire bună în acest domeniu.

*Contestarea plauzibilă* poate fi de asemenea utilizată în steganografie în situația în care un atacator dorește să obțină de la posesorul unui calculator în mod forțat o informație secretă ascunsă. Acestuia i se poate furniza de către proprietar o parolă falsă cu ajutorul căreia atacatorul crede că obține ceea ce caută, deși adevărata informație secretă este ascunsă și criptată cu o altă parolă, dar a cărei existență nu poate fi demonstrată.

Codarea contestabilă a informațiilor poate fi utilizată în criptografie pentru a descrie tehnici steganografice, în care existența unui mesaj sau fișier codat este contestabilă, în ideea că atacatorul nu poate demonstra această existență. În acest sens există sisteme, cum ar fi TrueCrypt, ce au ca principiu de bază ascunderea datelor criptate. Astfel, proprietarul datelor criptate poate avea mai multe chei ce pot fi folosite pentru decriptarea mai multor informații, dar acesta poate nega în fața unui eventual atacator că există aceste chei, rezultând astfel o afirmație care nu poate fi contrazisă fără cunoașterea tuturor cheilor de criptare implicate. În acest fel, existența unor date ascunse în datele criptate este contestabilă, în sensul că aceasta nu poate fi demonstrată [FRU05].

*Ascunderea informațiilor pe dischete și discuri optice* prezintă de asemenea o posibilitate de ascundere a unor informații secrete. Este cunoscut faptul că atât pe dischete cât și pe discurile optice există o serie de spații neutilizate [BAR00] care pot fi exploatate ca și obiecte de acoperire într-un proces steganografic. Datele binare nefolosite pot fi utilizate chiar la protecția clonării discului sau copierii ilegale a datelor existente. Acest lucru este cu atât mai valabil în ultimul timp la discurile optice de mare capacitate, cum sunt: DVD, BLUE RAY, HDVD pe care marile firme producătoare de filme inscripționează ultimele producții și din acest motiv iau toate măsurile de protecție împotriva clonărilor, avându-se în vedere investițiile masive care se fac în producțiile de filme.

În concluzie, ascunderea datelor secrete în diferite medii de stocare chiar dacă prezintă unele avantaje legate de cantitatea de informație ascunsă posibilă, prezintă și dezavantaje, în sensul că, prin rularea unor programe de configurare este posibilă descoperirea datelor mascate. În general aceste medii de ascundere pot da rezultate bune cu precădere în cazul unor aplicații particulare, cum ar fi: protecția unor date confidențiale aflate în partiții ascunse sau a proprietății intelectuale.

## 2.4 **Steganografia aplicată în rețele de calculatoare**

Se poate spune că în urma extinderii comunicării prin Internet s-au dezvoltat și metode steganografice de ascundere sau de protecție a datelor. Încercările cele mai numeroase au fost direcționate mai puțin în domeniul ascunderii

datelor și mai mult în direcția protejării acestora ca o măsură suplimentară pentru a asigura securitatea datelor transmise. Din acest motiv comunicările prin Internet utilizează cu precădere pentru protecția datelor, instalarea și configurarea unor softuri de securitate, cum ar fi: Antivirus, Anti-Spyware, Anti-Malware, Firewall, etc. Utilizarea acestor programe necesită actualizări periodice deoarece zilnic apar noi amenințări, noi atacuri, noi virusi și se descoperă noi vulnerabilități în programele existente. Din acest motiv sunt necesare a fi luate în considerare măsuri suplimentare de protecție, iar steganografia poate avea un rol suplimentar în acest sens. Astfel, ascunderea informațiilor în ceea ce privește comunicarea prin rețelele de calculatoare poate fi realizată în: atașamente, antetul protoalelor de rețea, protoale în timp real, protoale publice și rețele fără fir.

### 2.4.1 Ascunderea informațiilor în atașamente

O posibilitate de acoperire a comunicării ascunse între un emițător și un anumit receptor, o constituie transmiterea de mesaje aparent inofensive, sub forma unor atașamente tip text, imagine etc. În [COL03] sunt prezentate o parte dintre metodele folosite pentru transmiterea informațiilor ascunse prin intermediul Internet-ului:

*Email - ul* – Poate constitui o soluție facilă de trimitere a unei informații secrete în texte, sunete sau imagini, în special dacă între emițător și receptor există un transfer real de informații care să mascheze adevăratul scop al comunicării secrete. O altă metodă folosită în acest sens este trimiterea unui email la mai mulți destinatari sub forma cunoscută de spam. În această situație, doar persoana vizată este să caute datele ascunse.

*Transfer de fișiere sau FTP (File Transfer Protocol)* – Această metodă presupune publicarea unui fișier cu un conținut ascuns, care de fapt constituie obiectul steganografic. În acest caz numai o persoană avizată va ști ce să caute. Eficiența acestui tip de transmisie o constituie faptul că nu există o dovadă a celui care a publicat informația și nici a celui care este interesat de ea.

*Publicarea pe Internet* – este o tehnică ce constă în publicarea unui fișier cu date ascunse, ales ca obiect de acoperire, la vedere pe Internet pe un anumit site. Spre exemplu, pot fi încorporate date ascunse în poze create pe calculator, ce pot fi postate pe un site dedicat în acest sens. Și această metodă ascunde identitatea destinatarului și a emițătorului.

### 2.4.2 Ascunderea informațiilor în antetul protoalelor de rețea

Caracteristicile esențiale ale protoalelor de rețea pot fi considerate un avantaj în ascunderea informațiilor. Zilnic sunt transmise prin intermediul Internet-ului un număr extrem de mare de pachete de date, ceea ce reprezintă o modalitate bună pentru comunicarea secretă. Spre exemplu, pachetele TCP/IP (Transmission Control Protocol/Internet Protocol) pot fi utilizate în scop steganografic, prin transferul informațiilor secrete prin intermediul Internet-ului. În acest sens, pot fi

exploatate ca obiecte de acoperire, antetele care au spații nefolosite și alte caracteristici ce pot fi manipulate pentru ascunderea informațiilor.

Multe dintre protocoale existente au fost create în urmă cu mulți ani, chiar de la apariția Internet-ului. Ele conțin informații care acum nu mai sunt necesare și din acest motiv pot fi înlocuite cu date secrete și pot fi utilizate ca și obiecte de acoperire în procesul steganografic.

Pentru realizarea procesului steganografic este necesară stabilirea obiectelor de acoperire ce urmează a fi folosite în vederea ascunderii datelor secrete. Trebuie identificate câmpurile ce ar putea fi suprascrise fără a afecta transmiterea informațiilor în nici un fel. Anumite câmpuri din antetul protocolului IP trebuie să conțină informații specifice, cum ar fi, lungimea antetului. În cazul în care nu se respectă această condiție, procesul de comunicare va eșua. În schimb, există un câmp în antetul protocolului IP numit Pachet Identificare, care poate fi exploatat. Acesta este folosit pentru a detecta pachetele care au fost fragmentate, astfel, dacă un pachet este prea mare, el este împărțit în mai multe pachete. Receptorul trebuie să le reconstituie după identificatorul pachetului. De obicei, identificatorul pachetului este incrementat cu 1 pentru fiecare pachet care este trimis, iar pentru identificarea pachetului poate fi folosit orice număr.

[XUB07] prezintă o nouă cale de comunicare ascunsă între diferite puncte de pe Internet. În lucrare se propune o schemă ce folosește o parte dintr-un sistem creat haotic numit Chebâshev. Acest sistem generează aleator diferite secvențe ce sunt utilizate ca și obiecte de acoperire în vederea încorporării de mesaje secrete, după care ascunde mesajele secrete în câmpuri identificate, cum ar fi antetul protocolului IP.

Steganografia aplicată pe Internet reprezintă exploatarea elementelor Internet și a protocoalelor cu scopul de a ascunde date suplimentare în procesul de comunicare [DEE03]. În acest sens, fiecare schemă realizată presupune stabilirea unei interacțiuni între principiile steganografice fundamentale cu mediile de securitate ale rețelelor existente. Scopul urmărit este de a crea o legătură între zonele unde sunt ascunse datele, protocoalele de rețea utilizate și securitate. În [DEE03] se prezintă două canale ascunse, folosite ca obiecte de acoperire în procesul steganografic, legate de Protocoale de Internet (IP) ce exploatează redundanțele rezultate în reprezentarea informației.

Antetul protocolului TCP folosește numere de confirmare pentru a ști câte date au fost trimise și câte au fost recepționate. În timpul primei faze de comunicare, sunt alese numere aleatorii de confirmare, generate atât de către emițător, cât și de receptor. Așadar, datele pot fi ascunse în primul pachet trimis, deoarece numerele sunt oricum generate aleator și nu împiedică transmiterea informațiilor cu nimic. După ce este stabilit canalul de comunicare, aceste valori devin critice, ele fiind absolut necesare realizării procesului de comunicare. Este necesar de subliniat faptul că datele pot fi ascunse doar în timpul secvenței inițiale.

În steganografie nu poate fi utilizat orice protocol pentru ascunderea datelor, datorită caracteristicilor acestora legate de mărimea antetului foarte mică ce nu permite încorporarea unor date secrete suplimentare. În această situație se găsesc spre exemplu protocoalele UDP (User Datagram Protocol) și ICMP (Internet Control Message Protocol).

Multe dintre protocoalele utilizate ca și mediu de ascundere pot crea dificultăți în implementarea unor algoritmi steganografici. În această categorie intră acele metode care folosesc ca loc de ascundere antetul protocoalelor, deoarece spațiul disponibil este foarte mic.



În concluzie, ascunderea datelor secrete în diferite protocoale utilizate în rețelele de calculatoare poate prezenta avantaje legate de flexibilitatea și posibilitățile foarte largi de ascundere a datelor, dar prezintă și dezavantaje legate de cantitatea mică de date ascunse și de atacurile frecvente întâlnite în astfel de medii. Respingerea unui eventual atac, nu asigură și recuperarea în totalitate a mesajului ascuns.

### 2.4.3 Ascunderea informațiilor în protocoale în timp real

În ultimii ani se remarcă o creștere continuă pentru ascunderea, trimiterea și afișarea informațiilor în timp real, în special în locuri publice. Acest proces a întâmpinat mari provocări și a atras atenția multor cercetători.

Unul dintre cele mai populare servicii utilizat în ziua de azi în rețele, îl constituie VoIP Voice over Internet Protocol, ce a apărut pe piața telecomunicațiilor schimbând-o în întregime. Deoarece este utilizat din ce în ce mai mult în întreaga lume, implică totodată și creșterea traficului pe canalele de comunicare. VoIP este un serviciu în timp real care permite comunicarea audio în rețelele IP.

[MAZ06, MAZ08] prezintă protocoale utilizate în vederea securității și controlului pentru serviciul VoIP RTCP (Voice over Internet Protocol – Real Time Control Protocol) în situația transferului de informație în timp real. Protocolul RTP (Real Time Protocol) este cel mai important protocol de transport pentru transmisii audio în timp real, iar RTCP este un protocol de control pentru RTP. În plus, se oferă soluții de autentificare și integritate pentru mesajele tip voce, care sunt capabile să schimbe și să verifice calitatea serviciului și parametrii de securitate. Protocolul propus folosește două tehnici de ascundere a informației secrete: steganografia pentru a putea crea un canal ascuns prin care să fie transmiși biții de control și watermarking-ul digital pentru a transmite valorile parametrilor utilizați pentru emisia de voce. Procesul steganografic ce utilizează un astfel de protocol prezintă avantajul că transmiterea informației se realizează în mod continuu în timp, rata biților de transfer pe secundă este destul de înaltă, iar cantitatea de date ascunsă este destul de mare.

O altă tehnică folosită în vederea ascunderii datelor în timp real este prezentată în [SHA06d]. Metoda propusă se bazează pe ascunderea mesajului secret în timp real în ecrane de ieșire similare cu cele arătate prin intermediul monitorului. Procesul steganografic astfel realizat este foarte asemănător cu două procedee foarte populare, și anume: steganografia în imagini și steganografia în video.

E bine de remarcat faptul că algoritmi steganografici utilizați în comunicarea prin intermediul rețelelor de calculatoare trebuie implementați astfel încât să facă față unui eventual atac în timp real.

### 2.4.4 Ascunderea informațiilor în protocoale publice și rețele fără fir

Ascunderea datelor în protocoale publice poate fi numită și camuflarea datelor [COL03]. Această tehnică constă în transmiterea datelor prin rețea ca și cum ar exista un protocol deschis sau public. Un exemplu îl constituie Protocolul

HTTP, deoarece foarte multe rețele au trafic mare pe portul 80, corespunzător acestui protocol. Datele secrete pot fi trimise pe acest port, dar dacă o persoană interesată ar examina traficul, ar descoperi că datele trimise nu reprezintă trafic Web. În cazul în care se adaugă documente în format HTML la datele transmise, atunci acestea ar semăna cu traficul web și ar trece nedetectate.

Creșterea continuă a comunicațiilor ce au loc pe calea Internet-ului a dus la producerea mai multor programe software ce pot fi lansate pe Internet fără a fi nevoie să fie instalate anterior pe calculator. Programele sunt aplicate în funcție de domeniul dorit, cum ar fi: divertisment (jocuri), financiar, comercial etc.

Spre exemplu în [SHA08b] se utilizează pentru ascunderea informațiilor un joc de puzzle foarte popular pentru ascunderea unor mesaje ce pot fi transmise prin telefonia mobilă. Utilizarea acestei căi nu atrage atenția existenței informației ascunse pentru un posibil atacator. O mare parte din programele de ascundere folosesc limbajul de programare Java și pot fi găsite pe pagini de web ca și Aplicații Java. Autorul Shahreza descrie în [SHA06b] o procedură de conectare la Internet prin telefonia mobilă folosind protocolul WAP (Wireless Application Protocol) prin care mesajul ascuns este plasat în paginile WML (Wireless Markup Language).

În [LEP07] se prezintă un model de protocol de ascundere a mesajului în care toate acțiunile sunt publice, în ideea generării unei soluții steganografice folosind și protocoale criptografice prin care mesajul ascuns permite legitimarea traficului de informații.

Telefoanele mobile, precum și tehnologiile aplicate pe Internet au avut o creștere continuă în ultimii ani. Legătura dintre acestea a dus la inventarea de noi tehnologii de comunicare, cum ar fi stabilirea de conexiuni fără fir (wireless) pe Internet prin telefoane mobile, cunoscute sub denumirea de Protocoale de Aplicații Wireless (WAP).

O rețea denumită wireless (Wi-Fi) WLAN este o rețea fără fir locală, extinsă pe arii limitate în funcție de echipamentele folosite și de puterea acestora, prin care se poate face transfer de date și Internet folosind undele radio. O constrângere legată de utilizarea rețelelor wireless ar putea fi lățimea de bandă (mediul fizic de comunicare este partajat și are oricine acces la el), rata de eroare, mobilitatea și nu în ultimul rând securitatea.

Steganografia este o metodă relativ nouă, aplicată în vederea creșterii securității datelor și în special a stabilirii de comunicări ascunse prin intermediul protocoalelor de rețea fără fir.

[SHA06b] prezintă o metodă ce permite transmiterea unor date secrete sub o formă ascunsă, prin aplicarea unui proces steganografic la pagini web WML. Aceste pagini sunt create special pentru a facilita comunicarea prin rețele fără fir (WAP). Programul de codare a fost implementat folosind limbajul Java, iar programul de decodare utilizează o versiune a limbajului Java aplicată în cazul dispozitivelor de dimensiune mai mică, numită J2ME (Java 2 Micro Edition). S-a apelat la această versiune pentru ca programul să poată fi implementat pe telefoane mobile.

În [CHR06] sunt descrise și discutate rezultate privind siguranța, nedetectarea și capacitatea a două modele diferite propuse pentru construirea unui canal steganografic. Cele două modele sunt prezentate sub forma unor prototipuri WLAN ce au fost implementate și testate.

Transmiterea multimedia prin rețele fără fir are tendința de a fi deosebit de populară, deoarece multe telefoane mobile sunt deja echipate cu ecrane cu o varietate de culori și prezintă multe aplicații multimedia. Din acest motiv în [HON04] este făcută o analiză a posibilităților de transmitere și accesare a datelor multimedia

pe canalele de comunicații fără fir. Astfel de comunicație devine provocatoare datorită mobilității aparaturii. În schimb se ridică o serie de restricții legate de puterea limitată a telefoanelor mobile, banda de transmitere impusă și influența mediului înconjurător. Toate acestea pot genera erori de transmisie ce pot afecta integritatea mesajului transmis, dar și securitatea comunicării. În articol se propune ca în procesul de transmitere să fie încorporate informații de detecție și corecție a erorilor. Astfel de metode pot asigura și o transmitere sigură a mesajului steganografic [BEE08].

Multe din aplicațiile steganografiei sunt utilizate pentru marcarea proprietății intelectuale a datelor audio, video, text. Ca urmare, în [PET05, DUT05] sunt prezentate studii privind posibilitatea ascunderii unor informații secrete în videoclipuri transmise spre terminale mobile în rețele fără fir a unor mărci privind protecția proprietății cu rezultate multumitoare din punctul de vedere al rezistenței la atacuri clasice pentru protejare fie a coloanei sonore transmisă, fie a reclamei în cauză.

În concluzie, în ceea ce privește securitatea rețelelor fără fir se poate spune că acestea sunt relativ mai puțin sigure decât cele cablate, datorită accesului mai facil la rețea al persoanelor neautorizate aflate în zonele de acoperire ale punctelor de acces. Există în implementarea rețelelor fără fir, diferite obstacole ce formează așa numita securitate de bază a rețelelor fără fir, care împiedică accesul neintenționat al persoanelor străine de rețea, aflate în aria de acoperire a unui punct de acces. Pentru persoane rău intenționate cu o bună pregătire în domeniul calculatoarelor, securitatea acestor rețele este discutabilă.

## 2.5 **Steganografia în audio**

Dintre toate mediile de comunicare, imaginile poartă cea mai mare cantitate de informație, iar sunetul are calitatea de a fi cea mai subtilă cale de a transmite informație. Efectele sonore pot fi incluse într-o aplicație multimedia pentru a îmbogăți conținutul. În acest sens, sunetul este un mediu eficient pentru a atrage atenția utilizatorului, deoarece prin vorbire se poate aborda un aspect particular într-o manieră directă. Având acces direct la sufletul uman, spre deosebire de imagini și text, sunetul poate induce în modul cel mai rapid și direct o paletă largă de stări sufletești.

În situațiile în care se ascund date într-un obiect de acoperire tip sunet, trebuie să fie luat în vedere sistemul auditiv uman, ținând cont de cele mai importante caracteristici fizice ale sunetelor: înălțimea, intensitatea, respectiv timbrul sunetului [STA99].

Sistemul auditiv uman este foarte perceptibil la diferite zgomote de fond, în schimb nu poate diferenția variații subtile în frecvență. Înălțimea unui sunet se referă la frecvența acestuia. Sunetele cu frecvență ridicată sunt percepute ca fiind mai înalte. De aici rezultă și una din calitățile sunetului, de a fi mai grav sau ascuțit.

Intensitatea sau amplitudinea unui sunet este o caracteristică a sunetului ce poate fi percepută de urechea umană în mod obiectiv, ca și intensitate sonoră (acustică) sau subiectiv ca și intensitate auditivă într-o scară logaritmică.

Timbrul sunetului este una din caracteristicile sunetului ce permite diferențierea între două sunete de aceeași intensitate și frecvență, dar emise de două surse diferite. Sunetul emis de o sursă sonoră este format din mai multe

sunete cu frecvențe diferite, iar timbrul sunetului este determinat de numărul acestor sunete și de distribuția energiei dintre ele, deoarece aceasta diferă de la o sursă la alta.

În cazul în care un sistem steganografic optează ca obiectul de acoperire să fie sunetul trebuie luate în considerare două aspecte importante: modalitatea de stocare sau reprezentarea digitală a sunetului, respectiv mediul de transmisie al acestuia.

Spre exemplu, [BAO04] descrie o schemă steganografică pentru un sistem audio în care sunt încorporate date ascunse ce sunt transportate prin intermediul unei melodii. În [KES04] este prezentată o altă soluție posibilă de ascundere a informației în sunet unde în urma încorporării mesajului secret rezultă obiectul steganografic tot sub formă de sunet, eventual perceput de către urechea umană ca fiind mai zgomotos.

Ascunderea informațiilor în imagini sau audio nu are un impact virtual în sistemul senzorial uman. În cazul imaginilor ascunderea informațiilor se poate realiza prin modificarea luminozității, contrastului sau culorilor. În audio pot fi adăugate ecouri, întâzieri mici sau pot fi mascate semnale corespunzătoare mesajului secret prin sunete de amplitudine înaltă.

Algoritmii folosiți pentru ascunderea informațiilor secrete în sistemele audio în general se bazează pe aceleași tehnici ca cele utilizate și în imagini, cum ar fi: ascunderea în cei mai puțini semnificativi biți, metode bazate pe transformate în domeniul frecvență.

O soluție privind ascunderea unui mesaj secret într-un obiect de acoperire tip sunet este prezentată în [NED04]. În acest sens algoritmul steganografic propus se bazează pe metoda inserției în biții cei mai puțini semnificativi.

În [POO07] este realizată o metodă steganografică în care obiectul de acoperire ales este un semnal audio digital. Astfel, datele ascunse sunt încorporate în coeficienții de undă ai semnalului audio folosit ca și obiect de acoperire. Pentru evitarea erorilor la extragerea mesajului ascuns se aplică diferite permutări între coeficienții transformatei de undă. În vederea folosirii capacității maxime a unui semnal audio, se calculează pragul de auz în domeniul undă. Ținând cont de acest prag, biții cu date sunt încorporați în cei mai puțin semnificativi biți ai coeficienților permutați de undă. Permutarea inversă a transformărilor de undă se aplică în vederea modificării coeficienților pentru construirea semnalului audio steganografic rezultat în domeniul timp.

[MAT06] prezintă o metodă de ascundere a datelor prin distribuirea acestora în spectrul audio. În acest sens se introduc mutări de fază în semnale audio pentru a reduce corelația cu semnalele pseudo-aleatoare pentru fiecare sub-bandă.

Pe lângă metodele de ascundere comune folosite atât în sunet, cât și în imagini pot fi desprinse și soluții specifice pentru steganografia în audio, cum ar fi: adăugarea ecoului sau alte acorduri muzicale ce pot fi folosite la ascunderea mesajului fără a fi interpretat de un eventual atacator în acest sens. Un astfel de sistem steganografic cu o robustețe ridicată se prezintă în [ERF09] unde datele secrete sunt adăugate în ecoul unui semnal audio.

În concluzie, folosirea sunetelor digitale ca și medii purtătoare pentru transmiterea informațiilor ascunse prezintă dezavantajul existenței unei bande de frecvență relativ redusă, în care datele secrete pot fi ascunse. Aceasta implică în mod evident și o cantitate destul de mică de informații ce pot fi transmise pentru a fi protejate pe această cale. Cu toate acestea sunt de menționat câteva rezultate în acest domeniu, inclusiv încercări de realizare a unor emițătoare – receptoare audio care să permită generarea unor informații care să nu fie recepționate voit sau

accidental de alte persoane. Mai mult, dacă aceste informații nu pot fi detectate în timp real, ele ar putea fi detectate ulterior prin înregistrare și spargere a algoritmilor de ascundere, cu atât mai mult cu cât acești algoritmi folosesc în general metode mai puțin sofisticate.

## 2.6 **Steganografia în video**

Steganografia în video presupune folosirea obiectelor video digitale ca și obiecte de acoperire pentru a transmite informații secrete. Ascunderea datelor în imagini și video este de obicei realizată prin intermediul modificărilor de neperceput asupra datelor vizuale.

Un obiect video digital este alcătuit dintr-o serie de imagini sau cadre care presupun o prelucrare în prealabil pentru a putea fi transmise. Digitizarea secvențelor audio și video solicită resurse considerabile de memorie, iar aceasta necesită soluții de compresie a acestor medii. Pe baza recomandărilor ISO (International Standardization Organization) și IEC (International Electrotechnical Commission) a fost creată și publicată compresia obiectelor video digitale de aproximativ 200:1, recunoscută sub denumirea MPEG-1[BUR08]. La ora actuală sunt cunoscute mai multe astfel de metode de compresie, cum ar fi: MPEG, AVI, DivX, Xvid etc.

În principiu, compresia se bazează pe existența unui cadru de referință care la rândul lui este supus unui proces de compresie, în general cu algoritmi asemănători folosiți la imaginile digitale în format JPEG și o serie de cadre ce conțin doar diferențele ce apar în timp între acestea și cadrul de referință. Din acest motiv, procesul de compresie este diferit de la cadru la cadru, existând astfel cadre în care compresia este maximă. De multe ori într-un proces steganografic ascunderea mesajului este posibilă doar în cadrul ce prezintă o compresie minimă. Compresia video este considerată de obicei cu pierderi, deoarece codarea unui cadru cu ajutorul predecesorului său poate presupune apariția unor distorsiuni, ceea ce implică o posibilă degradare a imaginii finale.

În legătură cu acest tip de codificare se propun în [BUD06] câteva metode de detectare a unor semne watermark ascunse. Acestea sunt realizate prin analize și simulări aplicate unor secvențe video digitale bazate pe interacțiunea dintre cadre.

Trebuie remarcat faptul că ordinea de transmitere a cadrelor nu respectă ordinea lor normală de afișare. La codificarea imaginilor ce urmează imaginii de referință, sistemul compară macro-blocurile acestora cu macro-blocurile corespunzătoare imaginii de referință, și astfel numai macro-blocurile care prezintă diferențe sunt luate în considerare la codificare. De exemplu, pentru un interviu fundalul este mereu același și va fi codificat ca atare, iar pentru imaginile următoare se pot lua în calcul numai diferențele [SHA01].

În [CHA06a] se propune un algoritm steganografic ce folosește ca mediu de ascundere imagini video în format MPEG. Informația ascunsă este încorporată în vectorii de mișcare a macro-blocurilor în care este împărțită imaginea de referință. Pentru a face mai ușor procesul de extragere a datelor ascunse, informația de control a fost încorporată în cadrul imaginii de tip I, P respectiv B. Avantajele algoritmului propus sunt menținerea robusteții în timpul procesării video și

posibilitatea încorporării unei cantități destul de mari de informație, dar totodată se remarcă și dezavantajul degradării virtuale a imaginilor transmise.

După câțiva ani de la apariția algoritmului de compresie MPEG – 1 s-a dezvoltat un nou algoritm MPEG – 2 văzut ca și o extensie a acestuia, deși au în comun aceleași proprietăți de bază. O caracteristică a acestui nou format o reprezintă posibilitățile de transmisie în timp real. Pornind de la principiul de funcționare al algoritmului MPEG – 2 am propus în [STA07b] un decodor ce utilizează ascunderea de date pentru a transmite date adiționale fără a necesita o lărgime de bandă suplimentară obținându-se astfel o degradare aproape de neperceptibilă a imaginii. Datele adiționale transmise pot fi subtitrări, semnale de corecție sau watermarking.

De cele mai multe ori, ascunderea în fluxuri video digitale implică aceleași tehnici utilizate ca și la imaginile digitale. O parte din metodele utilizate în steganografia video folosesc transformarea cosinus discretă (DCT), deoarece există posibilitatea ascunderii datelor în acele componente ale imaginii care au frecvență înaltă și care influențează mai puțin calitatea imaginii. [OGI96] prezintă o astfel de metodă prin care datele secrete sunt încorporate și ascunse în cadrele care formează un flux video. O posibilă aplicație a steganografiei în fișiere video este ascunderea unui mesaj în timpul unei videoconferințe.

Ca și o concluzie, datorită faptului că o imagine video este compusă din mai multe cadre, poate conduce la ideea că și cantitatea de informații ascunse este foarte mare. Însă, în realitate de cele mai multe ori cadrele nu se transmit ca imagini independente unul față de celălalt și modificarea unui cadru rezultă automat în modificarea cadrelor următoare. Aceasta poate duce la degenerarea vizibilă a imaginii video, ceea ce poate atrage atenția asupra faptului că transmisia este de proastă calitate sau că imaginea video conține date ascunse. Acest fapt încalcă multe din proprietățile sistemelor steganografice (vizibilitatea, robustețea etc.). De asemenea, se pune problema timpului de prelucrare a informației care nu poate fi întotdeauna realizată în timp real. Prelucrarea celor 20 de cadre pentru o secundă de transmitere necesită un timp relativ mare pentru comprimarea datelor, la care se va adăuga timpul de încorporare a informației ce urmează să fie ascunsă. Din motivele enumerate mai sus, apreciez că obiectele video digitale nu sunt întotdeauna cele mai adecvate medii de transmitere a unui mesaj secret.

## 2.7 ***Steganografia în imagini digitale***

În general steganografia se bazează pe alegerea unui anumit „purtător” a informației secrete ce urmează a fi ascunsă. În procesul steganografic acest „purtător” este numit obiect de acoperire. În ultimii ani, imaginile digitale au devenit poate cele mai populare purtătoare. Informația secretă poate fi înglobată într-o imagine digitală într-o manieră în care imaginea rămâne neschimbată ochiului uman, iar dimensiunea fișierului imaginii rezultate rămâne nemodificată față de cea originală. Pentru a reface informația încorporată trebuie folosit un algoritm adecvat.

O imagine digitală poate conține diferite informații, cum ar fi: un desen, o hartă, un text și este formată dintr-un număr fix de linii și coloane de pixeli. În esență, steganografia în imagini explorează limitele sistemului vizual uman. Așadar, un text, o imagine sau orice altceva ce poate fi încorporat într-un flux de biți poate fi astfel ascuns. Imaginile digitale pot fi reprezentate în următoarele domenii: spațial, vectorial și frecvență.

În domeniul spațial fiecare pixel este reprezentat într-un sistem de trei axe de coordonate reprezentative pentru cele trei culori de bază: R (roșu), G (verde), B (albastru). Culoarea unui pixel este rezultată ca o sumă ponderată a celor trei culori. O prezentare amănunțită a acestui domeniu se va face în capitolul 4.1.

Domeniul frecvență se bazează pe transformata Fourier prin descompunerea semnalului ce reprezintă imaginea în funcții de sin și cos ce sunt cunoscute ca funcții armonice. Acest domeniu prezintă avantajul unei îmbunătățiri a operațiilor de procesare a imaginilor. Totodată este permisă realizarea compresiei imaginilor printr-un suport matematic bine definit [GUI99]. O analiză în detaliu a acestui domeniu se face în capitolul 4.2.

În domeniul vectorial imaginea este reprezentată ca o matrice de vectori de pixeli spre deosebire de domeniul spațial în care imaginea este reprezentată printr-o matrice de pixeli. Imaginea digitală reprezentată în domeniul vectorial necesită ocuparea unui spațiu de memorie mai mic în calculator, iar dimensiunea vectorilor se poate mări sau micșora fără a se pierde din rezoluția imaginii. Acest proces duce la schimbarea parametrilor unor funcții matematice fără a implica numărul elementelor imaginii. În capitolul 4.3 va fi descris mai pe larg acest domeniu de reprezentare.

Imaginile digitale prezintă o serie de caracteristici ce le pot face astfel deosebit de atractive și în domeniul steganografiei, deoarece au un impact foarte mare asupra oamenilor fiind percepute vizual. Utilizând camere digitale sau video, scanere, calculatoare, telefonie celulară, imaginile pot fi regăsite în filme, reclame, poze personale sau din vacanțe, artă, pictură, etc. Din punctul de vedere al clasificării, imaginile digitale sunt : de tip binar, alb-negru și color. Indiferent de tipul imaginii acestea prezintă diferite proprietăți ce permit o dimensionare a acestora în funcție de aplicația ce urmează a fi executată și în funcție de capacitatea mesajului ce urmează a fi încorporat. Din acest motiv se poate spune că îndeplinesc una din cerințele importante ale steganografiei și anume, ascunderea unei cantități cât mai mare de informație. Totodată, în cazul în care se dorește o creștere a robusteții mesajului ascuns, imaginile digitale prezintă o flexibilitate în ceea ce privește poziția în care este plasat mesajul, respectiv introducerea unor date redundante pentru a spori gradul de detecție și corecție a erorilor pe durata transmiterii mesajului steganografic.

O altă caracteristică a imaginilor digitale constă în faptul că mesajul încorporat este greu de detectat vizual, în special dacă algoritmul steganografic ales nu degradează în mod sensibil obiectul de acoperire folosit ca purtător de mesaj secret.

Imaginile alese ca și obiecte de acoperire în vederea ascunderii unor informații secrete trebuie să nu fie comune și cunoscute. Astfel de imagini nu sunt recomandate a fi folosite, deoarece pot fi ușor comparate cu imaginea de acoperire aleasă pentru procesul steganografic. După o simplă verificare a mărimii imaginii pot apărea suspiciuni. Imaginile alese cu succes ca și obiecte de acoperire sunt cele cu multe detalii, care nu conțin porțiuni mari cu aceeași culoare și dacă se poate să fie cât mai noi, spre exemplu, imagini capturate în cea mai recentă vacanță. Este important să se țină cont de faptul că în cazul în care este schimbat un bit într-o imagine, aceasta poate însemna trecerea de la o nuanță de roșu la o cu totul altă nuanță de roșu. O astfel de schimbare ar fi imediat observată în imaginea afișată. Se recomandă schimbări graduale ale tonurilor de culoare, în acest fel crescând posibilitățile imaginii în sensul ascunderii de informații secrete. Așadar, după ce s-a stabilit imaginea folosită ca și obiect de acoperire este necesar să se aleagă și o tehnică sau un algoritm de ascundere a datelor.

În literatura de specialitate [BAR98], [CHU01], [PIY04] se constată că frecvent imaginile digitale sunt utilizate ca obiecte de acoperire. Din punctul de vedere al algoritmilor steganografici utilizați se constată că aceștia sunt axați în general pe una dintre caracteristicile steganografiei, cum ar fi: robustețea mesajului ascuns, dificultatea de detecție a acestuia, vizibilitatea obiectului steganografic și mai rar pe cantitatea de informații ce poate fi ascunsă. În funcție de tehnica sau algoritmul utilizat în literatura de specialitate există o varietate mare de soluții propuse ce urmăresc îmbunătățirea uneia dintre caracteristicile steganografiei menționate mai sus. Spre exemplu, în [YUA07] este prezentată o metodă steganografică pentru încorporarea unei imagini alb-negru într-o imagine color, iar pentru a îngreuna posibilitatea detecției mesajului secret, autorul din [CHE08a] utilizează un cod Gray pentru încorporarea informației secrete în cei mai puțini semnificativi biți ai unei imagini utilizată ca și obiect de acoperire.

Pentru ascunderea unor mesaje de lungime mai mare decât cea permisă prin încorporarea simplă în cei mai puțini semnificativi biți, în [ZHA07b] este propusă o metodă prin care are loc adăugarea sau scăderea unei valori la valoarea curentă a pixelilor. Practic mesajul este ascuns în planul primar și secundar al pixelilor existenți, obținându-se astfel o eficiență mai mare a algoritmului de ascundere.

În funcție de numărul de biți folosit obiectul steganografic poate deveni granulat la vedere pe măsură ce este încorporată o cantitate mai mare de informație. Pentru a rezolva această problemă se aplică tehnici cum ar fi BPCS (Bit-Plane Complexity Segmentation Steganography) în care se recurge la limitarea încorporării informațiilor secrete în biții de nivel superior în favoarea încorporării în regiunile cele mai complexe ale imaginii.

În [KAW98] este descrisă o tehnică numită BPCS care profită de această proprietate a sistemului vizual uman. Tehnica presupune divizarea imaginii în regiuni, determinarea complexității acestora și încorporarea datelor secrete în acestea.

Compresia imaginilor reprezintă o soluție foarte bună în cazul în care se transmit imagini mari. [DOR04] prezintă două tehnici pentru ascunderea informațiilor folosind compresia JPEG pentru imagini. Cunoscând faptul că anumite tipuri de compresii ale imaginilor conduc la pierderi de informații, în [JIA04] este prezentată o metodă steganografică aplicată imaginilor prin care se îmbunătățește robustețea acestora împotriva compresiei JPEG. În cazul utilizării compresiilor cu pierderi asupra imaginilor în [CHI08] se prezintă o metodă steganografică în care este realizată ascunderea mesajelor secrete, cu recuperarea acestora în condiții optime.

O altă soluție pentru compresia imaginilor constă în utilizarea proprietăților transformatei Karhunen Loeve (KLT). O astfel de metodă este considerată a fi optimă din punct de vedere statistic conducând la obținerea unor rezultate superioare de compactare a energiei medii și permite totodată decorelarea completă a datelor [EFF03]. În general metoda prezintă avantajul reducerii numărului setului de date ceea ce ar putea conduce la obținerea unor rezultate într-un timp mai scurt. Această afirmație nu este împărtășită de majoritatea autorilor. Transformata KLT este utilizată în foarte multe domenii, cum ar fi: prelucrări statistice ale semnalelor seismografice, electrocardiografice, în procesarea semnalelor digitale, compresia semnalelor, analiza și procesarea datelor, dar există posibilitatea de a fi folosite și în procesul de ascundere a datelor. Această proprietate va fi exploatată în lucrarea de față în capitolul 9 pentru generarea unor noi algoritmi steganografici.



Așadar, tehnicile pentru încorporarea informației secrete într-un obiect de acoperire ce are ca mediu o imagine digitală pot fi dezvoltate corespunzător cu domeniile de reprezentare ale acesteia. În acest sens am conceput diferiți algoritmi pentru fiecare domeniu în parte: spațial, frecvență, vectorial, algoritmi ce vor fi descriși în capitolele 7, 8, respectiv 9.

Având în vedere cele menționate mai sus în ultimii ani m-am axat pe cercetări în domeniul steganografiei [STA07a], [STA07b], [STA07c], [STA08a], [STA08b], [STA09] și am utilizat ca și obiect de acoperire, respectiv mesaj ascuns imaginile digitale. Direcțiile de cercetare au urmărit toate cele trei caracteristici principale ale steganografiei: cantitate, detecție, robustețe. Trebuie menționat că în literatura de specialitate nu se specifică sub nici o formă timpul de execuție al algoritmilor. Din acest motiv am încercat să realizez algoritmi steganografici care să poată fi executați într-un timp cât mai scurt în scopul utilizării acestora chiar și în timp real pentru a putea rula pe microprocesoarele utilizate în telefonii mobile.

Ca și o concluzie, pe baza datelor din literatura de specialitate [CHO06], [CHO08], [JAE08], [CAW86], [RAJ05], [SHI93], [STA07c] din punct de vedere teoretic acest mediu de ascundere generează cele mai mari avantaje, ceea ce implică totodată și dezvoltarea unor algoritmi steganografici cu o complexitate ridicată și cu un grad mare de prelucrare. Acest ultim aspect în general nu constituie un impediment major avându-se în vedere că în marea majoritate a cazurilor prelucrările steganografice nu implică prelucrări în timp real pentru a obține imaginea steganografică. În acest caz prin procesul steganografic se poate genera o imagine steganografică robustă, ce presupune rezistență la eventuale atacuri, în așa fel încât informația ascunsă nu poate fi distrusă sau modificată. Se poate spune că ascunderea unei informații având ca obiect de acoperire o imagine digitală prezintă o serie de avantaje, în special cele legate de cantitatea mare de date ce pot fi ascunse, cât și de posibilitatea introducerii de informații redundante care ar putea fi folosite eventual la detecția și corecția unor erori ce se pot manifesta în procesul de transmitere.

## 2.8 Concluzii referitoare la mediile folosite în steganografie

În capitolul de față s-au prezentat cele mai utilizate medii pentru ascunderea informațiilor secrete în vederea realizării unui proces steganografic. Pentru stabilirea gradului de reușită a unui astfel de proces sunt luate în considerare cele trei criterii de bază specifice steganografiei, și anume: cantitatea de informații ce poate fi ascunsă (de preferat să fie cât mai mare posibil), dificultatea de detecție a mesajului secret, respectiv robustețea mesajului ascuns. Un sistem steganografic poate încorpora unul, două sau toate cele trei criterii în funcție de scopul și aplicația urmărită. E posibil ca pe lângă cele trei proprietăți de bază steganografia să mai fie caracterizată și de alți factori, cum ar fi: confidențialitate (maximă), vizibilitate (minimă), flexibilitate în alegerea algoritmilor ce pot fi implementați în procesul de ascundere.

În steganografia ce folosește ca mediu purtător un format text algoritmi sunt relativ simpli, posibilitățile de ascundere reduse, iar interceptarea mesajului permite destul de ușor posibilitatea extragerii informației utile. Ținând cont de metodele de ascundere prezentate, este de remarcat faptul că sistemele steganografice, care folosesc formatele text pentru a transmite informație, ar putea fi ușor distruse prin rescrierea documentelor.

Cu toate acestea se poate considera că în eventualitatea dezvoltării telefoniei mobile, a creșterii ratei de transfer, a îmbinării textului cu imagini digitale sau video și combinând diferitele metode de ascundere este posibilă generarea unor noi categorii de algoritmi care să îmbine caracteristicile tuturor tipurilor de medii purtătoare.

O necesitate importantă de realizat în timpul unui proces steganografic este cantitatea de date ascunsă și transmisă în condiții cât mai bune astfel încât aceasta să nu fie detectată și chiar distrusă de un posibil atacator. Din acest punct de vedere o mare parte din mediile folosite în steganografie și prezentate în acest capitol nu oferă posibilitatea transmiterii unei cantități mari de informație secretă. Acest dezavantaj se poate regăsi la aplicarea steganografiei în format text, SMS, HTML, fișiere executabile, protocoale de rețea. În majoritatea din aceste potențiale medii purtătoare, mesajul secret se poate ascunde în zone cu limitări specifice fiecărui format în parte, cum ar fi anumite câmpuri, spații libere ce pot fi ignorate, însă toate acestea conduc la două mari dezavantaje, cum ar fi: un grad scăzut de robustețe, respectiv posibilitatea ascunderii unei cantități mici de informație secretă.

Faptul că majoritatea mediilor amintite anterior permit ca informația secretă să fie ascunsă într-un loc bine stabilit face ca acest gen de ascundere să prezinte anumite dezavantaje, în sensul că în realitate nu este realizat un proces steganografic în adevăratul sens, ci doar o mascare a unor informații.

Diferite modalități de ascundere în ceea ce privește steganografia modernă pot fi regăsite cel mai ușor în mediile audio, video și imagini digitale, iar din acest motiv direcțiile cele mai multe de cercetare se îndreaptă spre cele trei medii menționate.

Steganografia în audio prezintă dezavantajul că mesajele ascunse au dimensiuni mai mici deoarece banda de frecvență existentă pentru realizarea unui proces steganografic este relativ redusă. În acest fel și posibilitățile de detecție pot avea șanse mai mici de reușită, deoarece domeniul de căutare este mai restrâns. Sunetul poate fi captat mai ușor prin aparatură mai puțin sofisticată, mai ieftină ce se poate procura de mai multe persoane, deci există riscul unor interceptări cu probabilitate mai mare, chiar de un atacator pasiv (nu răuvoitor).

Obiectele video digitale au avantajele imaginilor digitale, dar prezintă și un mare dezavantaj, dată fiind cantitatea mare de informații ce se transmit, necesită în mod obligatoriu folosirea unor metode de compactare, cum ar fi MPEG (Moving Picture Expert Group) care poate asigura o rată de compactare de 1/200. Datorită faptului că nu toate cadrele se compactează la fel mesajul ar putea fi distrus în urma acestui proces. În general la imaginile video digitale se execută mai multe tipuri de compactări. La recepție practic imaginea video se reface din datele ce s-au recepționat, ceea ce face dificilă găsirea unor metode adecvate de ascundere. Un exemplu în acest sens este imaginea video transmisă pe Internet care și în condițiile fără ascundere este de proastă calitate.

Imaginile digitale ca mediu purtător prezintă în primul rând posibilitatea ascunderii unei capacități mari de informație, datorită faptului că aceasta poate fi dispersată cu ajutorul unor algoritmi implementați în toată imaginea corespunzătoare obiectului de acoperire și nu doar într-un anumit loc disponibil ca și la celelalte medii.

O a doua proprietate importantă a imaginilor digitale o constituie faptul că detecția informației ascunse se face cu șansă mai mică de reușită și aceasta se întâmplă numai dacă obiectul steganografic la care are acces un atacator poate fi analizat cu un sistem de calcul care să conțină algoritmi de detecție.

Din punct de vedere al robusteții, imaginile digitale se caracterizează printr-o probabilitate maximă ca atunci când mesajul este ascuns și emis într-un mediu printr-un canal de transmitere să poată fi recuperat cât mai fidel de către receptor.

Pentru a realiza procese steganografice în care obiectele de acoperire sunt imagini digitale se pot imagina diferite metode de ascundere ce utilizează algoritmi în vederea creșterii gradului de robustețe și siguranță a informațiilor transmise astfel.

Se apreciază că din punct de vedere teoretic, gradul de ascundere exprimat procentual în imagini digitale poate atinge valori de până la 100% cu condiția de a utiliza algoritmi de procesare steganografică performanți și o imagine purtătoare care să permită un grad mare de ascundere fără degradarea vizibilă a imaginii inițiale.

În figura 2.1 se prezintă în sinteză diferitele caracteristici ale mediilor purtătoare de informații în care se pot ascunde date. Se poate constata că atât imaginile digitale, cât și imaginile video îndeplinesc toate cele trei criterii de bază ce caracterizează mediile de ascundere. Imaginile video din punct de vedere tehnic pot fi tratate ca imagini digitale, ceea ce implică utilizarea aceluiași tehnici.

## Medii steganografice

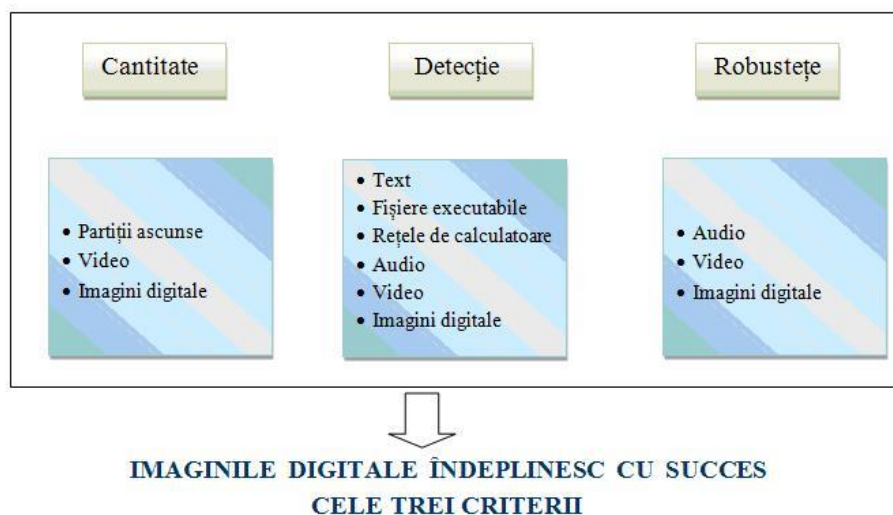


Figura 2.1 Medii steganografice - Caracteristici de bază

În urma celor prezentate se poate desprinde concluzia că imaginile digitale, sub diferite forme: alb negru sau color permit ascunderea unor cantități mari de informații, cu un grad mare de robustețe și dificultate sporită în observarea informațiilor ascunse. În schimb, gradul de vizibilitate al mesajelor ascunse este scăzut. Toate aceste caracteristici sunt posibile datorită aplicării unor algoritmi steganografici specifici, ceea ce a condus la îndreptarea eforturilor mele spre acest mediu steganografic. Din acest motiv consider că un candidat important ce ar putea fi folosit ca obiect de acoperire în studiul realizării unui proces steganografic este imaginea digitală. Pentru a o mai bună înțelegere a modului în care un mesaj secret se poate ascunde într-o imagine oarecare se va prezenta în continuare o descriere

mai în amănunt a imaginilor digitale.

## 3 IMAGINI DIGITALE UTILIZATE ÎN STEGANOGRAFIE

### 3.1 *Descrierea imaginilor digitale*

Lumea înconjurătoare este formată din imagini ce pot fi regăsite prin aproape orice mijloc de comunicare. Pentru ca o imagine reală vizualizată de o persoană să fie transmisă și altei persoane trebuie ca aceasta să treacă printr-un proces de digitizare astfel încât aceasta să devină o imagine digitală. Imaginile astfel transformate pot fi utilizate în calculatoare, camere digitale, video, scanere, telefonie celulară, etc.

Datorită dezvoltării fără precedent în domeniul hard și soft în prezent orice amator poate manipula o imagine digitală sau video la fel de simplu ca un profesionist. Indiferent de domeniul de aplicație și de tipul acesteia color sau alb-negru, imaginea digitală este constituită dintr-un element de bază numit pixel.

În mod practic fiecare imagine digitală este formată dintr-un număr fix de linii și coloane de pixeli formând astfel o matrice de  $M \times N$  pixeli, dar care luați ca atare nu pot fi percepuți de ochiul uman. Un pixel este caracterizat printr-unul sau mai multe canale de culoare, cu valori cuprinse între 0 și 255. Fiecare valoare în parte reprezintă luminozitatea pixel-ului respectiv. În acest sens, imaginea digitală este un vector de numere ce reprezintă intensitatea luminii în diferite puncte sau pixeli. Din acest punct de vedere, imaginile sunt de trei tipuri: binare, alb-negru și color.

### 3.2 *Stocarea imaginilor digitale*

În principiu pixelii regăsiți într-o imagine sunt doar înșiruiți de numere, iar memorarea lor în mod teoretic poate fi realizată prin notarea șirului de numere pe o hârtie. Această metodă prezintă un dezavantaj important deoarece necesită stocarea unei cantități mari de informații datorită lungimii mari a șirului de numere. Pentru a ocupa mai puțin spațiu în memoria calculatorului, imaginile digitale pot fi atât stocate cât și transmise sub forme comprimate urmând a fi decompimate la destinație.

În acest sens, culoarea fiecărui pixel regăsit într-o imagine este stocată printr-un număr (pentru imaginile monocrome, așa zise imagini alb-negru) sau 3 numere pentru formatele color (câte un număr pentru fiecare culoare primară: roșu, verde și albastru). Numerele care se folosesc pentru stocarea culorilor sunt reprezentate uzual pe 8 biți, ceea ce oferă imaginilor alb-negru o plajă de 256 de culori ( $2^8$  culori), iar celor color de 16 milioane de culori ( $2^{24}$  culori).

Numărul de pixeli dintr-o imagine este dat de rezoluția imaginii (numărul de pixeli pe verticală și orizontală) și determină direct: claritatea imaginii (cu cât

numărul de pixeli e mai mare, cu atât imaginea va fi mai clară), respectiv dimensiunea fișierului în care imaginea va fi stocată. Stocarea imaginilor în formă inițială (fără a comprima informația în nici un fel) necesită o cantitate mare de spațiu de stocare, ceea ce conduce în mod evident la tendința reducerii acestei dimensiuni cât mai mult posibil, fără a se pierde prea mult din calitatea imaginii

Pentru rezolvarea acestor probleme se aplică diferite metode de compresie asupra imaginilor digitale, ce se împart la rândul lor în două mari categorii [HOG06, JAI89]

- fără pierdere de informație - compresia imaginii este relativ mică, dar imaginea nu pierde deloc din calitate. Acest tip de compresie se pretează atunci când se dorește păstrarea calității imaginii, mai mult decât a spațiului pe care aceasta îl ocupă.

- cu pierdere de informație - compresia imaginii este mare (ex: 10-15 ori mai mică pentru o compresie normală JPEG), dar imaginea astfel prelucrată pierde din informația originală și implicit din calitate.

Cele mai multe metode de compresie permit o selectare a compresiei dorite, în funcție de prioritățile aplicației: dimensiunea informației sau calitatea imaginii. Formatele care folosesc compresia cu pierdere de informație duc în mod evident la o degradare progresivă a imaginii în urma procesului de prelucrare. Aceasta se întâmplă deoarece la deschiderea unui fișier astfel comprimat, informația din el este convertită în matrice de pixeli (așa cum a fost imaginea originală) pentru a putea fi afișată. Dacă fișierul este resalvat, compresia se va aplica din nou. În schimb, formatele cu compresie fără pierdere de informație nu prezintă astfel de probleme, deoarece în aceste cazuri se pune accent pe păstrarea calității imaginii (din acest motiv aceste tipuri de compresii sunt mai des utilizate la prelucrarea de imagini sau în fotografia profesionistă).

### 3.3 **Generarea imaginilor digitale**

Orice obiect în spațiu poate fi caracterizat prin intermediul a trei axe de coordonate notate de obicei cu  $(x, y, z)$  [HOG06, JAI89]. Cele trei dimensiuni reprezintă lungimea, lățimea și adâncimea sau înălțimea obiectului astfel exprimat. Pentru a transforma o imagine reală într-una digitală este necesară achiziția imaginii sub formă tridimensională exprimată într-un sistem de coordonate  $(x, y, z)$ . Aceasta se realizează prin proiecția imaginii captate într-un plan având un sistem de coordonate  $(x, y)$  reprezentată în figura 3.1. și descrisă de ecuațiile următoare:

$$y = -f \frac{y}{z} \quad \text{și} \quad x = -f \frac{x}{z} \quad (3.1)$$

$f$  poartă numele de distanță focală și  $z$  este axa optică.

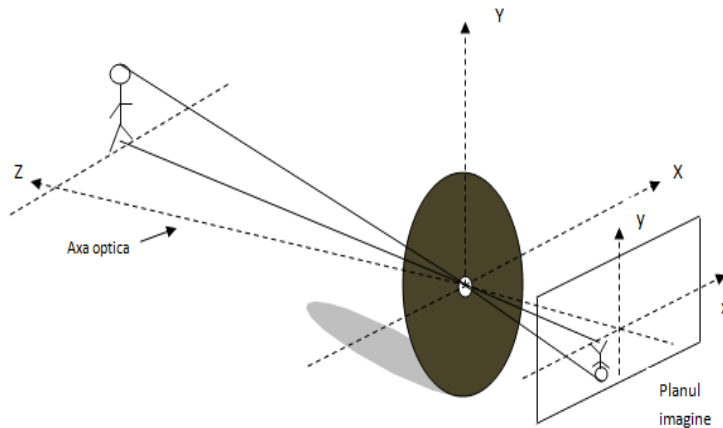


Figura 3.1. Proiecția imaginii captată într-un plan de coordonate  $(x, y)$

În acest mod imaginea în spațiu 3D devine plană și este exprimată în spațiul 2D. Imaginea astfel rezultată este la rândul ei captată de senzori dispuși într-un plan 2D notat în general cu  $(u, v)$ . Așadar, imaginea reală, originală este transpusă într-o imagine plană datorită dispunerii senzorilor pe o suprafață plană. Senzorii sunt practic dispuși pe două axe de coordonate  $u$  și  $v$ , iar pe fiecare axă pot fi regăsiți un număr de  $n$  senzori.

Pentru a putea vizualiza și prelucra imagini în calculator acestea trebuie digitalizate, adică împărțite în elemente de dimensiuni foarte mici numite pixeli. Fiecare pixel este practic un eșantion extras din imaginea inițială. Cu cât este mai mare numărul de pixeli cu atât imaginea va fi mai aproape de cea reală. Pixelii sunt codificați la rândul lor în parte, primind fiecare câte o valoare binară exprimată zecimal. De exemplu, dacă un pixel este reprezentat pe 8 biți, valoarea acestuia este cuprinsă între 0 și  $(2^8 - 1)$ , respectiv 255. Convenția general adoptată este faptul că valoarea cea mai mică "0" pe care o poate lua un pixel exprimă culoarea neagră, iar valoarea cea mai mare 255 reprezintă culoarea alb. Intensitatea luminoasă a unei imagini este transpusă prin codificare binară în valori binare în funcție de rezoluția acesteia care reprezintă de fapt numărul de biți prin care fiecare pixel din imagine este codificat.

Pentru a converti imaginea captată într-o imagine digitală urmează procese de eșantionare spațială, respectiv de eșantionare temporală a imaginii [GUI99, JAI89]. Prin eșantionare spațială imaginea plană este descompusă într-o matrice de pixeli de  $M$  linii și  $N$  coloane. Fiecare element al matricii reprezintă un pixel, iar fiecare pixel este cuantificat în urma procesului de eșantionare în valori cuprinse între 0 și 256, dacă rezoluția imaginii este pe 8 biți.

Imaginile pot fi reprezentate în diferite moduri în funcție de necesitatea aplicațiilor care le utilizează. În acest fel se pot regăsi imagini binare, alb-negru sau color.

### 3.4 **Imagini binare**

Imaginile binare sunt semnale discrete, bidimensionale și datorită reprezentării lor foarte simple, sunt folosite doar în câteva aplicații ce pot fi întâlnite în practică sub formă de pagini tipărite, scrisori, documente, ziare, hărți geografice, hărți meteorologice, etc. De asemenea pot fi regăsite la rezultatele obținute în urma utilizării imprimantelor. Transmitia și stocarea imaginilor binare poate fi întâlnită în diverse domenii de activitate, cum ar fi: transmitia prin fax sau baze de date de amprente utilizate în criminalistică.

Intensitatea unei imagini binare este exprimată doar prin două valori, alb sau negru ale fiecărui pixel component. Pentru a stoca o imagine binară este necesar un volum mare de memorie și din acest motiv sunt binevenite aplicarea metodelor de compresie ce reduc practic timpul de transmisie, lărgimea de bandă necesară transmisiei și necesarul de capacitate de stocare.

Cele două valori, alb sau negru sunt reprezentate prin utilizarea unui singur bit (0/1) pentru fiecare pixel. Ca atare imaginea binară conține șiruri de 0 și 1 în funcție de modul cum sunt distribuiți pixelii albi și negri. În funcție de imaginea reprezentată, șirul poate fi constituit dintr-un număr variabil de 0, urmat de un număr oarecare de 1. Din acest motiv, imaginile binare pot deveni susceptibile în cazul aplicării unei metode de substituție unor astfel de pixeli redundanți ceea ce conferă unor astfel de imagini un grad scăzut de robustețe.

Un mod de ascundere a unui mesaj secret într-o imagine binară a fost prezentat în [KOC95]. În lucrare informația secretă este încorporată în pixelii ai căror vecini au culoarea opusă.

În imaginile binare în care există diferențe mari de contrast, modificările se fac la granița dintre pixelii albi și negri. În vederea creșterii robusteții se apelează la adaptarea procesului de încorporare în funcție de diferiți parametri ce specifică procentajul de pixeli ce își pot schimba culoarea.

Matsui și Tanaka prezintă în [MAT94] o altă metodă de ascundere ce utilizează un sistem de comprimare fără pierderi folosit pentru a codifica informația. Tehnicile aplicate țin cont de faptul că în imaginile binare există o probabilitate mare ca pixelii succesivi să aibă aceeași culoare, astfel că în aceste cazuri nu este codificată culoarea fiecărui pixel în mod explicit, ci pozițiile schimbărilor de culoare împreună cu numărul de pixeli succesivi de aceeași culoare.

### 3.5 **Imaginea alb-negru**

Componentele unei imagini alb – negru sunt reprezentate printr-un singur canal de culoare ce reprezintă practic intensitatea, luminanța sau densitatea imaginii. Fiecare pixel este reprezentat pe 8 biți (1 byte) și astfel poate lua valori între 0 și  $2^8 - 1$ , respectiv (0, 255). Valoarea 0 reprezintă intensitatea luminoasă minimă, respectiv cea mai închisă culoare (negru), iar 255 intensitatea luminoasă maximă, adică cea mai deschisă culoare (alb).

[YUC06] propune o metodă pentru ascunderea imaginilor alb-negru ce permite diferitor utilizatori să poată extrage imagini secrete în funcție de cheia



secretă pe care ei o cunosc. Pentru a reduce dimensiunea informațiilor ce urmează a fi încorporate, fiecare dintre imaginile secrete este mai întâi comprimată după care este ascunsă.

Pentru aplicațiile profesionale, cum ar fi: poze artistice din diferite domenii, imaginea alb – negru nu este foarte sugestivă. Ca atare, utilizatorul apelează la altă reprezentare a imaginii în care fiecare pixel este exprimat pe mai mult de 8 biți, cum ar fi spre exemplu utilizarea imaginilor color.

### 3.6 *Imagini color*

Datorită faptului că imaginile color au cel mai mare impact vizual asupra ochiului uman sunt și cele mai utilizate în aplicațiile profesionale, cum ar fi televiziune, foto, imprimare, etc. Fenomenul de percepție a culorilor este complex și foarte interesant în același timp și din acest motiv, de sute de ani a fost o țintă de cercetare a oamenilor de știință, psihologilor, filozofilor, artiștilor. Pentru a putea lucra cu imaginile digitale color este necesar ca utilizatorii să aibă cunoștințe despre diferitele tehnici și aspecte mai importante în ceea ce privește reprezentarea acestora.

O imagine color necesită, spre deosebire de una alb-negru, trei octeți pentru fiecare pixel. Percepția culorii este foarte importantă pentru oameni și depinde în principal de caracteristicile luminii și de procesul complex ce are loc între creier și ochi. Astfel, oamenii folosesc informația de culoare pentru a distinge mai bine obiectele, în mod practic, aceasta ajută la stabilirea unor detalii, contururile fiind practic aceleași. În imaginile color fiecare pixel este exprimat prin combinarea a trei culori de bază numite culori primare RGB.

Imaginile color reprezintă un suport atractiv pentru a fi utilizate în steganografie și permit încorporarea unei cantități mari de informații, cum se sugerează în [CHO08] în care se propune introducerea în mod dinamic a datelor secrete în culoarea albastră a imaginilor RGB și YUV, deoarece aceasta este insensibilă ochiului uman. În plus sunt luate o serie de măsuri steganolitice în vederea protejării datelor ascunse.

În [PIY04] se prezintă o metodă de încorporare a unei imagini color bazată pe tehnici de cuantizare în vederea protejării dreptului de autor. Rezultatele obținute permit utilizarea algoritmului și în alte aplicații multimedia ce se bazează pe tehnica de cuantizare a imaginilor color.

O altă aplicație steganografică ce utilizează imaginile color ca și suport de ascundere se prezintă în [CHO06]. Scopul lucrării constă în încorporarea unei cantități cât mai mare de informație menținând calitatea obiectului steganografic rezultat. Acest lucru se realizează prin manipularea imaginilor color în domeniul spațial și inserarea datelor secrete în bitul cel mai puțin semnificativ al imaginii suport. De asemenea se iau în considerare efectul vizual al ochiului uman. Metoda propusă permite ascunderea unei cantități de informație egală cu 60% din capacitatea obiectului de acoperire.

### 3.7 *Concluzii*

Imaginile digitale ca mediu purtător a unui mesaj secret constituie cea mai bună soluție pentru a genera un obiect steganografic. Este mediul ce permite ascunderea celor mai mari cantități de informație fără a genera suspiciuni că ar conține un mesaj secret.

Proprietatea de bază pe care se bazează steganografia utilizând imaginile digitale ca mediu steganografic constă în caracteristicile ochiului uman, ce are tendința de a integra informația primită. Din acest motiv, ochiul uman nu poate desluși aspectele legate de detaliile foarte fine. Chiar în situațiile în care ar putea să facă distincție de faptul că imaginea nu este foarte clară este nevoie de o referință (imaginea originală) pe care în schimb nu are cum să o dețină. Tocmai pe acest principiu se bazează steganografia, și anume faptul că atacatorul nu cunoaște imaginea purtătoare, nu cunoaște metoda de ascundere (algoritmul), nu cunoaște ce procesări s-au făcut asupra mesajului inițial și nu are cunoștință de eventualele metode de secretizare introduse. Pentru a parcurge toate etapele menționate mai sus este necesară o putere de calcul semnificativă și timp suficient pentru a ajunge la mesajul ascuns.

Având în vedere caracteristicile imaginilor digitale menționate mai sus, am ales ca principala mea direcție de cercetare să fie utilizarea acestora ca suport de bază pentru dezvoltarea unor noi sisteme steganografice. Algoritmii steganografici dezvoltați de mine au tendința de a exploata toate caracteristicile imaginilor digitale reprezentate în domeniul spațial, frecvență, respectiv vectorial. Încercările multiple de a crea și adapta algoritmi în cele trei domenii de reprezentare a imaginilor digitale au avut drept scop identificarea aceluiași algoritm care se pretează cel mai bine pentru a fi implementat pe un microprocesor utilizat în telefonia mobilă, cunoscând faptul că astfel de aplicații implică furnizarea mesajului într-un timp cât mai scurt.

## 4 DOMENII DE REPREZENTARE ALE IMAGINILOR DIGITALE

Pentru a aduce spațiul culorilor mai aproape de ochiul uman au fost generate sisteme de reprezentare a imaginilor în trei mari domenii, și anume: *spațial, frecvență, vectorial*.

Domeniul spațial constituie rezultanta firească a exprimării imaginii rezultate în urma eșantionării spațiale a acesteia în care fiecare culoare a unui pixel este reprezentată într-un sistem de 3 coordonate color. Fiecare culoare reprezintă o axă a sistemului de coordonate ce este cunoscut sub denumirea de domeniu spațial. Acesta poate fi reprezentat în diferite forme geometrice, dintre care cele mai cunoscute sunt cele cubice și piramidale.

Domeniul frecvență se bazează pe descompunerea semnalelor asociate imaginilor digitale într-o sumă de armonici având ca bază de plecare transformata Fourier (FT). Fiecare pixel a unei imagini la rândul lui poate să fie exprimat sub forma unui vector de o anumită valoare, ceea ce face ca orice imagine să poată fi exprimată și vectorial, într-un domeniu corespunzător.

### 4.1 *Domeniul spațial*

#### 4.1.1 Domeniul spațial – RGB

Imaginea color RGB este una dintre cele mai utilizate reprezentări. Pixelii componenți ai unei astfel de imagini sunt codificați după o schemă ce constă în combinarea a trei culori primare: roșu (R), verde (G) și albastru (B) pentru fiecare pixel în parte. Cele trei culori sunt folosite pentru reprezentarea, memorarea și transmiterea imaginii color fie sub formă analogică pentru a fi utilizată în televiziune, fie sub formă numerică pentru a fi utilizată în calculatoare, camere digitale, imprimante, scanere. Datorită aplicațiilor vaste, reprezentarea RGB este des întâlnită în procesări de imagini, programe grafice, biblioteci ce includ astfel de procesări, etc.

Realizarea diferitelor culori într-o imagine necesită modificarea intensității fiecărui pixel component. RGB este un sistem color aditiv, ceea ce înseamnă că toate culorile pornesc de la una singură, cum ar fi negru, iar diferitele nuanțe se creează prin adăugarea de culori primare. Fiecare pixel captează o anumită rază de lumină ce poate fi roșie, verde, albastră, iar pentru crearea diferitelor culori trebuie modificată intensitatea fiecăreia din cele trei culori în mod independent. Astfel că, intensitățile diferite a fiecărei culori primare controlează nuanța și luminozitatea culorii realizate. Pe monitoarele calculatoarelor sau ecranului TV color pot fi vizualizate imagini create prin executarea unor operații ce presupun mixarea celor trei culori primare la intensități diferite. Astfel pot fi create culorile alb și gri, iar punctele roșu, verde și albastru sunt stimulate simultan de către radiațiile de electroni la nivele de energie diferită (intensități) formând astfel o imagine color

continuă. Este cunoscut faptul că ochiul uman este astfel conceput încât integrează culorile. Spre exemplu, dacă într-o imagine există 10 pixeli vecini de culoare verde deschis și în interiorul lor există intercalat un pixel alb, practic acesta va fi nesesizat. Pentru a exprima rezultanta culorilor formate s-a generat așa numitul sistem a imaginii color RGB [HOG06, GUI99, JAI89]. Spațiul RGB color poate fi vizualizat sub forma a trei dimensiuni ce reprezintă un cub în care cele trei culori primare formează cele trei axe de coordonate și este cunoscut sub denumirea de *domeniu spațial RGB*.

O culoare formată  $C$  poate fi exprimată în funcție de ponderile celor trei culori primare, notate cu  $p_1, p_2, p_3$  după următoarea relație matematică:

$$C = p_1 \times R + p_2 \times G + p_3 \times B \quad (4.1)$$

Ponderile pot fi exprimate ca numere subunitare, procente sau numere întregi cuprinse în intervalul  $[0, 255]$  în cazul în care o culoare este codificată pe 8 biți. Valorile celor trei culori primare RGB sunt pozitive și sunt cuprinse în intervalul  $[0, c_{max}]$ , unde  $c_{max} = 255 = 2^8 - 1$  și sunt reprezentate în figura 4.1. Fiecare culoare posibilă  $c_i$  corespunde unui punct în cubul RGB și poate fi exprimată astfel:

$$c_i = (R_i, G_i, B_i) \quad ; \quad 0 \leq R_i, G_i, B_i \leq c_{max} \quad (4.2)$$

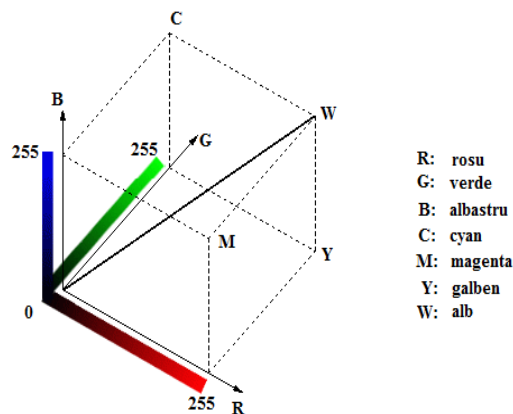


Figura 4.1 Distribuția culorilor în domeniul spațial RGB [JAI89].

Deoarece de cele mai multe ori valorile RGB sunt normalizate în intervalul  $[0, 1]$  pot fi vizualizate sub forma unui cub unitar, ca în figura 4.1. Punctul din originea sistemului de coordonate astfel format în care  $R=G=B=0$  reprezintă culoarea neagră, în timp ce punctul opus acestuia  $R=G=B=1$  reprezintă culoarea albă. Segmentul ce leagă cele două puncte reprezintă diferite nivele de gri formate din egalarea culorilor  $R=G=B$ .

Fiecare pixel dintr-o imagine color poate fi reprezentat printr-o culoare anume rezultată din combinarea culorilor de bază în diferite proporții. Pentru a obține rezultate cât mai profesionale în care imaginea constituită să fie cât mai apropiată de imaginea reală este indicat ca diferențele dintre culorile folosite să fie cât mai mici. În acest sens se ține cont de ordonarea componentelor unei imagini color și ordinea de împachetare a acestora.

O imagine  $I = (I_R, I_G, I_B)$  poate fi alcătuită dintr-un grup de imagini  $I_R, I_G, I_B$  reprezentat ca în figura 4.2

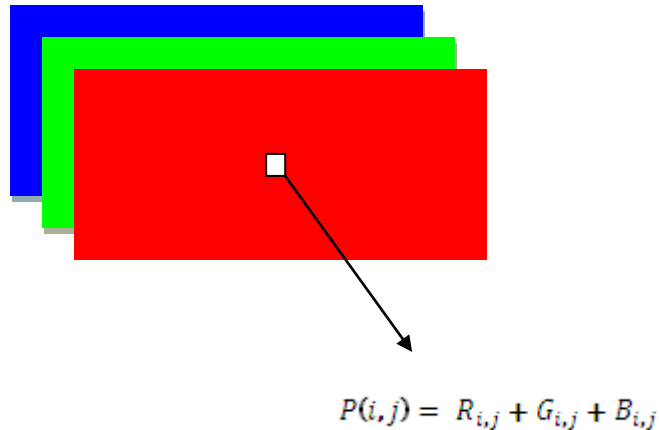


Figura 4.2. Grup de imagini  $I_R, I_G, I_B$

Astfel că, valoarea unei componente de culoare RGB a imaginii în funcție de poziția în planul senzorilor  $(u, v)$  se obține prin accesarea celor 3 imagini în felul următor:

$$\begin{bmatrix} R \\ G \\ B \end{bmatrix} = \begin{bmatrix} I_R(u, v) \\ I_G(u, v) \\ I_B(u, v) \end{bmatrix} \quad (4.3)$$

Ordinea de împachetare pentru fiecare valoare RGB a unei imagini  $I(u, v) = (R, G, B)$  se obține accesând individual componentele pixelilor color în felul următor :

$$\begin{bmatrix} R \\ G \\ B \end{bmatrix} = \begin{bmatrix} Red(I(u, v)) \\ Green(I(u, v)) \\ Blue(I(u, v)) \end{bmatrix} \quad (4.4)$$

$$I(u, v) = (I_1R(u, v), I_1G(u, v), I_1B(u, v)) \quad (4.5)$$

Sistemul de culori RGB este utilizat, programat, manipulat pe diferite dispozitive hardware. În cazul în care este modificată o culoare în spațiul RGB este important de remarcat faptul că metrica sau măsura distanței în acest spațiu al culorii nu este proporțională cu percepția ochiului uman asupra respectivei culori. Modificarea diferitelor culori a unui punct dintr-un spațiu de culoare în aceeași cantitate poate cauza modificări sesizabile în imagine. În plus, schimbarea luminozității în spațiul de culoare RGB este percepută ca o transformare neliniară. Deoarece orice modificare a unei coordonate modifică tonul culorii, saturarea și strălucirea corespunzătoare acestora, face ca selectarea spațiului culorii RGB să fie un proces destul de dificil și neintuitiv. S-a constatat în urma efectuării mai multor experimente că ochiul uman este mai sensibil la intensitatea luminoasă a culorii decât la nuanță. Pornind de la această observație s-a dezvoltat o altă modalitate de reprezentare a culorilor cunoscută sub numele YUV.

Domeniul spațial stă la bază multor algoritmi implementați pentru ascunderea datelor secrete. [JAE08] propune o metoda steganografică bazată pe imagini, care este un fel de tehnică a domeniului spațial. Astfel, pentru a ascunde datele secrete în imaginea de acoperire, se folosește tehnica diferențelor notabile și metoda sensibilității funcției de contrast.

#### 4.1.2 Domeniul spațial – YUV

YUV este un spațiu de culoare ce codifică o imagine colorată ținând seama de percepția umană, care permite reducerea lățimii de bandă pentru componentele cromatice și permite transmiterea de erori mai eficient mascate de percepția umană decât cu ajutorul unei simple reprezentări RGB [JAI89]. În acest caz, fiecărui pixel dintr-o imagine reprezentată într-un spațiu RGB i se aplică o funcție pentru a face trecerea în spațiul YUV. La această nouă reprezentare se utilizează în locul celor trei componente primare R,G,B alte trei mărimi derivate din acestea și anume:

$$\begin{aligned} Y &= 0.30R + 0.59G + 0.11B \\ U &= R - Y = 0.70R - 0.59G - 0.11B \\ V &= B - Y = -0.30R - 0.59G - 0.89B \end{aligned} \quad (4.6)$$

Astfel, fiecare culoare exprimată în domeniul spațial YUV are intensitatea luminoasă definită prin componenta  $Y$  întâlnită și sub numele de luminanță, iar coeficienții 0.30, 0.59 și 0.11 reprezintă strălucirile relative la alb ale celor trei culori primare roșu, verde și albastru. Celelalte două componente  $U$  și  $V$  definesc nuanța culorii și sunt denumite componente de cromaticitate. Ele sunt date de diferența dintre componenta roșie, respectiv albastră și cea de luminanță.

Reprezentarea imaginilor în spațiul YUV are ca utilizare practică domeniul televiziunii în culori ca urmare a compatibilității cu televiziunea alb-negru ce a fost utilizată deja pe scară largă. YUV este utilizat pentru codificarea culorilor în sisteme analogice, cum ar fi: PAL (Phase Alternate Line) și NTSC (National Television System Committee). Avantajul principal al unei astfel de reprezentări îl constituie separarea componentei de luminanță pentru care ochiul este foarte sensibil la detalii de componentele de nuanță pentru care sensibilitatea este mai redusă. Aceasta permite în cazul televiziunii în culori să aplice diferite compresii ce duc la limitarea benzii de frecvență alocată semnalelor de cromaticitate.

Metodele de ascundere a datelor secrete pot fi aplicate atât sistemelor color RGB, cât și YUV. [CHO08] propune o metodă de încorporare a unei cantități relative mari de date pentru imaginile color. Aceasta presupune să fie modificată valoarea albastră a pixelilor cu scopul de a ascunde datele secrete, deoarece valoarea albastră este o culoare insensibilă pentru ochiul uman.

#### 4.1.3 Alte domenii spațiale

Ca urmare, selecția culorii este mai intuitivă în alte spații de culoare cum ar fi spațiul HSV (hue, saturation, value) deoarece din punct de vedere perceptual una din caracteristicile culorii, respectiv saturarea poate fi reprezentată individual și totodată poate fi și modificată individual [JAI89].

Din punctul de vedere al capacității de percepere a detaliilor, s-a constatat, în urma diferitelor experimente făcute de-a lungul timpului că, ochiul uman este mai sensibil la intensitatea luminoasă a culorii decât la nuanță. Reprezentarea culorilor în spațiu RGB ține seama mai mult de modalitățile tehnice de captare și reproducere a imaginii, decât de mecanismul fiziologic de percepere a culorii, ca atare un vector în spațiul RGB descrie intensitatea luminoasă a celor trei culori primare folosite.

Din această cauză, s-a apelat la o altă modalitate de reprezentare a culorilor care să țină cont de această observație. În acest sens, se descrie un alt spațiu, cunoscut sub numele de  $YC_bC_r$  ce se distinge între luminozitatea  $Y$  și alte două componente cromatice  $C_b, C_r$ . Astfel,  $Y$  reflectă strălucirea culorii, iar  $C_b$  și  $C_r$  realizează distincția între gradele culorii. Un vector culoare în RGB poate fi convertit în vector  $YC_bC_r$  folosind următoarea transformată [KAT00]:

$$Y = 0.299R + 0.587G + 0.114B \quad (4.7)$$

$$C_b = 0.5 + \frac{(B - Y)}{2}$$

$$C_r = 0.5 + \frac{(R - Y)}{1.6}$$

Alternativele la spațiul culorilor RGB sunt la rândul lor folosite în diferite aplicații. Un exemplu ar fi, separarea automată a obiectelor din planurile îndepărtate (blue box tehnic în TV) sau codificarea semnalelor TV pentru transmisie sau imprimare. Așadar, distribuția culorilor unei imagini poate fi reprezentată în spații de culoare diferite, acestea urmând a fi alese în funcție de cerințele aplicației aflate în lucru. Cele mai des utilizate domenii spațiale de culoare sunt: RGB, HSV, HLS, YUV.

În [LIU08] sunt prezentate câteva domenii spațiale de culoare derivate din domeniul spațiul de culoare RGB ce sunt utilizate pentru recunoașterea facială, cum ar fi: domeniul spațial de culoare necorelat (UCS), domeniul spațial de culoare independent (ICS) și domeniul spațial culoare discriminator (DCS).

Pentru a se face trecerea dintr-un spațiu de culoare în altul există metode specifice de conversie ce pot fi regăsite în literatura de specialitate. [JAI89]

În concluzie, au fost generate diferite sisteme color reprezentate în domeniul spațial pentru a reprezenta culorile într-un mod mai prietenos față de ochiul uman. Sistemul imaginilor color RGB prezintă avantajul că reprezentarea culorilor în spațiu RGB ține seama mai mult de modalitățile tehnice de captare și reproducere a imaginii, în schimb are dezavantajul că nu ține cont de mecanismul fiziologic de percepere a culorii de către ochiul uman și de faptul că mărimea sau valoarea fiecărei culori de bază nu exprimă întotdeauna și culoarea reală, percepută de către ochiul uman. De exemplu, o creștere semnificativă a valorii unei culori primare nu conduce întotdeauna și la o modificare semnificativă a culorii. Din acest motiv au fost create și alte sisteme de reprezentare a culorilor în domeniul spațial plecându-se în schimb tot de la sistemul de bază RGB. Astfel, celelalte sisteme de reprezentare în domeniul spațial au fost dezvoltate de așa manieră încât imaginea să țină seama și de percepția umană pentru a genera o imagine color cât mai apropiată de realitate.

Domeniul spațial este deosebit de favorabil pentru a fi utilizat în steganografie deoarece permite încorporarea unei cantități mari de informații care poate permite efectuarea unor prelucrări multiple atât asupra obiectului de

acoperire, cât și a mesajului secret într-o așa manieră încât acesta din urmă să poată fi atât ascuns, cât și mascat prin algoritmi specifici sau proceduri de dispersie în diferite locuri ale obiectului de acoperire. Aceste aspecte pot conduce la realizarea unei imagini steganografice de o calitate extrem de bună și care în mod normal nu prezintă nici un fel de suspiciune.

Mai mult, algoritmi dezvoltați în domeniul spațial pot fi combinați cu metode de compresie, de criptare suplimentare care pot mări și mai mult performanțele sistemelor steganografice concepute pentru acest domeniu. Totodată algoritmi dezvoltați în acest domeniu pot prezenta anumite proprietăți ce permit adaptarea acestora pentru orice fel de arhitectură de procesoare, cum ar fi cele ce utilizează arhitecturi bazate pe banda de asamblare sau arhitecturi concepute pe mai multe nuclee, ceea ce poate conduce la scăderea costurilor, respectiv micșorarea semnificativă a timpului de execuție.

## 4.2 Domeniul frecvenței

În ultimul timp a avut loc o dezvoltare foarte rapidă a telecomunicațiilor și ca atare și cercetările în acest domeniu au dus la modificări multiple și importante în tehnologiile de telecomunicații. Televiziunea este unul dintre sistemele de telecomunicații ce poate fi regăsit în cele mai diversificate domenii de activitate: economie, industrie, medicină, etc.

Sistemele de televiziune actuale pot fi împărțite în funcție de modul în care imaginile sunt captate, prelucrate, transmise și reproduse în trei categorii: analogice, analog-digitale și digitale. Pe monitoarele calculatoarelor sau ecranului TV color pot fi vizualizate imagini create prin executarea unor operații ce presupun mixarea celor trei culori primare R,G,B la intensități diferite. Astfel pot fi create culorile alb și gri, iar punctele roșu, verde și albastru sunt stimulate simultan de către radiațiile de electroni la nivele de energie diferită (intensități) formând astfel o imagine color continuă.

Majoritatea transformărilor unitare au tendința de compactare a unei importante părți a informațiilor dintr-o imagine într-un număr relativ mic de coeficienți ai transformatei imaginii. Datorită faptului că energia totală se conservă, rezultă că o mare parte a coeficienților vor conține o cantitate foarte mică de energie și pot fi astfel neglijați. Datorită acestor proprietăți transformatele liniare sunt utile în compresia imaginilor și recunoașterea formelor. Un alt avantaj ce trebuie remarcat este faptul că reprezentarea imaginilor în domeniul frecvență ajută în diferite situații la reconstrucția semnalelor discrete prin folosirea unor metode de interpolare. În astfel de sisteme imaginile sunt semnale bidimensionale discretizate în timp și se bazează practic pe descompunerea semnalului imagine în funcții de sinus și cosinus, cunoscute sub denumirea de funcții armonice [HOG06 ,GUI99, JAI89].

Cele mai utilizate transformări utilizate în prelucrarea imaginilor pentru generarea de algoritmi steganografici sunt: Transformata Fourier (FT), Transformata Fourier Discretă (DFT), Transformata Cosinus Discretă (DCT). În mod cert mai există și alte tipuri de transformări, dar care au o utilitate mai redusă în steganografie.

În [TAC04] este propusă o metodă de ascundere a unui watermark digital prin selectarea unui coeficient diferit DCT a fiecărui bloc în procesul de încorporare. Alegând aleator coeficienții selectați în fiecare bloc, metoda propusă poate schimba calitatea imaginii în mod independent.



[CHE06] Spre deosebire de abordările domeniului spațial, mesajele secrete pot fi încorporate în coeficienții de înaltă frecvență rezultați din Transformata Discretă de Undă (DWT). În [CHE06] sunt executate câteva operații matematice de bază, astfel încât coeficienții din sub-banda de frecvență joasă sunt conservați fără a fi alterați, cu scopul de a îmbunătăți calitatea imaginii.

#### 4.2.1 Transformata Fourier

Trecerea de la *domeniul spațial* la *domeniul frecvență* se face cu ajutorul transformatei Fourier. Orice semnal periodic poate fi descompus într-o sumă de semnale sinusoidale și cosinus. Această sumă este cunoscută sub denumirea de serie Fourier [HOG06, GUI99, JAI89].

Pentru a descrie un astfel de proces se ia ca exemplu un semnal periodic, notat  $f(t)$  cu pulsația  $\omega_0$ . Seria Fourier pentru acest semnal are expresia:

$$f(t) = \sum_{k=0}^{\infty} [A_k \cos(k\omega_0 t) + B_k \sin(k\omega_0 t)] \quad (4.8)$$

O relație asemănătoare se poate scrie și pentru semnale neperiodice, diferența constă în aceea că de astă dată suma se transformă în integrală.

$$f(t) = \int_0^{\infty} (A_{\omega} \cos(\omega t) + B_{\omega} \sin(\omega t)) d\omega \quad (4.9)$$

$A_{\omega}$  și  $B_{\omega}$  sunt definite de următoarele expresii:

$$A_{\omega} = A(\omega) = \frac{1}{\pi} \int_{-\infty}^{\infty} f(t) \cos(\omega t) dt \quad (4.10)$$

$$B_{\omega} = B(\omega) = \frac{1}{\pi} \int_{-\infty}^{\infty} f(t) \sin(\omega t) dt$$

(4.11)

Transformata Fourier interpretează, atât semnalul inițial cât și spectrul rezultat ca valori complexe. Spectrul Fourier  $F(\omega)$  al unei funcții date  $f(t)$  se exprimă prin relația:

$$F(\omega) = \frac{\sqrt{\pi}}{\sqrt{2}} [A(\omega) - iB(\omega)] = \frac{1}{\sqrt{2\pi}} \int_{-\infty}^{\infty} f(t) [\cos(\omega t) - i \sin(\omega t)] dt = \frac{1}{2\pi} \int_{-\infty}^{\infty} f(t) \cdot e^{-i\omega t} dt \quad (4.12)$$

Tranziția inversă se face prin formula:

$$f(t) = \frac{1}{\sqrt{2\pi}} \int_{-\infty}^{\infty} F(\omega) e^{i\omega t} dt \quad (4.13)$$

#### 4.2.2 Transformata Fourier Discretă

În situația în care într-un proces de transformare între domenii se primește ca intrare un semnal discret, relațiile mai sus descrise nu pot fi folosite. Însă, în modul de lucru ce utiliza calculatorul era necesară existența unei transformate care să accepte astfel de semnale la intrare. Din acest motiv s-a introdus Transformata Fourier Discretă (Discrete Fourier Transform - DFT). Domeniul de frecvență obținut prin aplicarea acestei transformate nu conține toate frecvențele care compun imaginea, dar conține suficientă informație astfel încât să permită o descriere a acesteia [HOG06, GUI99, JAI89]. Spre exemplu, pentru o imagine 2D de dimensiune  $N \times N$  Transformata Fourier Discretă are relația :

$$F(k, l) = \frac{1}{N^2} \cdot \sum_{a=0}^{N-1} \sum_{b=0}^{N-1} f(a, b) e^{-i2\pi(\frac{ka}{N} + \frac{lb}{N})} \quad (4.14)$$

Funcția  $f(a, b)$  caracterizează imaginea în domeniul spațial.

Transformata inversă are expresia:

$$f(a, b) = \frac{1}{N^2} \cdot \sum_{k=0}^{N-1} \sum_{l=0}^{N-1} F(k, l) e^{2\pi i(\frac{ka}{N} + \frac{lb}{N})} \quad (4.15)$$

Se observă faptul că în relațiile (4.14) și (4.15) se calculează două sume pentru fiecare punct din imagine. Pentru a ușura calculele se face apel la proprietatea de separabilitate a transformatei Fourier și astfel se pot aplica următoarele formule:

$$F(k, l) = \frac{1}{N} \sum_{b=0}^{N-1} P(k, b) e^{-2\pi i \frac{lb}{N}} \quad (4.16)$$

Unde:

$$P(k, b) = \frac{1}{N} \sum_{a=0}^{N-1} f(a, b) e^{-2\pi i \frac{ka}{N}} \quad (4.17)$$

Cu ajutorul acestor formule într-o primă fază rezultă o imagine intermediară, calculând un număr de  $N$  transformate Fourier discrete unidimensionale după care este transformată în imaginea finală aplicând aceleași calcule. În acest mod se reduce practic numărul de calcule.

Cu toate acestea, complexitatea algoritmului este de  $N^2$ . Prin folosirea Transformatei Fourier Rapide (Fast Fourier Transform - FFT) se poate ajunge la complexitatea de  $N \times \log_2 N$ . Această îmbunătățire este semnificativă în special pentru imaginile de dimensiuni mari. Transformata Fourier Rapidă are același efect ca și Transformata Fourier Discretă, doar că efectuează calculele mult mai rapid.

### 4.2.3 Transformata Cosinus Discretă

Transformata similară cu DFT, dar care operează cu numere reale este cunoscută sub denumirea de Transformata Cosinus Discretă (Discrete Cosine Transform - DCT). Cu ajutorul acestei transformări un șir de valori poate fi exprimat ca o sumă de funcții cosinus de frecvențe diferite. Folosirea funcției cosinus în loc de sinus este importantă, deoarece în urma experimentelor se pare că în cazul unei comprimări funcția cosinus este mai eficientă.

Transformata cosinus discretă este o funcție  $F: R^N \rightarrow R^N$  care transformă secvența de  $N$  numere reale  $x_0 \dots x_{N-1}$  în numerele reale  $X_0 \dots X_{N-1}$  după una din formulele caracteristice [HOG06]. Cea mai des folosită formulă a transformatei cosinus discretă este următoarea:

$$X_k = \sum_{n=0}^{N-1} x_n \cos \left[ \frac{\pi}{N} \left( n + \frac{1}{2} \right) k \right] ; \quad k = 0, \dots, N-1 \quad (4.18)$$

Transformata inversă are formula:

$$x_k = \frac{1}{2} x_0 + \sum_{n=1}^{N-1} x_n \cos \left[ \frac{\pi}{N} n \left( k + \frac{1}{2} \right) \right] ; \quad k = 0, \dots, N-1 \quad (4.19)$$

În concluzie, reprezentarea în domeniul frecvență a semnalului imagine permite o îmbunătățire a operațiilor de procesare a imaginii, în special prin creșterea puterii de procesare a calculatorului. Aceste transformări au un impact în domeniul compresiei, reconstrucției și recunoașterii imaginilor și ajută mecanismul de discretizare a semnalului continuu. Domeniul frecvenței a fost exploatat și în steganografie cu rezultate bune din punct de vedere al robusteții mesajului secret, dar cu rezultate mai puțin mulțumitoare din punctul de vedere al cantității de informație ascunsă. Este de remarcat că în acest domeniu recuperarea imaginilor se poate obține în condiții bune, chiar și în cazul în care canalul de transmisie este afectat de zgomot.

### 4.3 Domeniul vectorial

În ultimii ani există o tendință tot mai mare pentru ca fotografiile clasice să fie înlocuite de imagini digitale deoarece aceste prezintă avantaje legate de claritatea imaginii captate (rezoluție), de stocarea și prelucrarea acestora în diferite formate.

Metodele și tehnicile folosite în prelucrarea imaginilor digitale au la bază un puternic fundament matematic bazat pe diferite transformări ce au loc în domeniile de reprezentare ale imaginilor.

Se poate constata că relația matematică (4.1) poate fi interpretată ca fiind expresia unui vector într-un sistem tridimensional considerând R, G și B versorii axelor. Pentru ca o imagine digitală să fie reprezentată în domeniul vectorial este necesară efectuarea unor transformări ce constau în reprezentarea imaginilor printr-o serie de funcții ortogonale având un set de vectori de bază, numit imagine de bază [HOG06]. Acest set este generat cu ajutorul unor matrice unitare. Ca alternativă la reprezentarea matricială, o imagine de dimensiuni  $n \times m$  poate fi considerată ca  $n$  vectori de dimensiune  $m$ . O transformare de imagini are ca rezultat un set de coordonate sau vectori de bază în acest spațiu vectorial. Ca punct de plecare îl constituie transformarea liniară ce are la bază un suport teoretic care a fost creat

înainte de dezvoltarea prelucrărilor numerice de imagini. Un caz particular îl prezintă transformarea unitară ce are ca efect concentrarea energiei și decorelarea datelor. Acest aspect poate fi utilizat la compresia imaginilor, recunoașterea formelor și prelucrarea rapidă în domeniul transformat. În urma schimbărilor de coordonate componentele obținute sunt numite proiecțiile vectorului inițial în noua bază.

Dacă elementele vectorilor de intrare sunt puternic corelați, coeficienții rezultați au tendința de a nu se corela. Prin transformare, fiecare element al matricei transformate reprezintă coeficientul cu care se înmulțește imaginea de bază corespunzătoare. Transformarea directă realizează descompunerea, prin determinarea coeficienților, iar transformarea inversă realizează reconstrucția prin însumarea imaginilor de bază, ponderate cu acești coeficienți.

Spre deosebire de domeniul spațial în care imaginea este reprezentată printr-o matrice de pixeli, în domeniul vectorial imaginea este reprezentată ca o matrice de vectori de pixeli. În acest sens, liniile sau coloanele unei matrice sunt considerate vectori de o anumită lungime. Fiecare vector de pixeli este format din valorile pixelilor în ordinea dată de linia de scalare.

Imaginile digitale reprezentate în domeniul vectorial derivă practic din utilizarea unor funcții matematice regăsite în algebra liniară [HOG06]. Stocarea unei astfel de imagini necesită ocuparea unui spațiu destul de mic în memoria calculatorului, iar dimensiunea acestora se poate mări oricât de mult, fără a se pierde din rezoluție, deoarece în acest proces se schimbă doar parametrii funcțiilor matematice și nu numărul elementelor imaginii.

#### 4.3.1 Transformata Karhunen Løeve bazată pe descompunerea în vectori și valori proprii

Deoarece imaginile digitale sunt caracterizate prin matrice de pixeli pe baza algebrei liniare acestea pot fi transformate din domeniul spațial RGB într-un domeniu al vectorilor și valorilor proprii definit în continuare ca fiind domeniul vectorial la care se face referire în această lucrare.

Cel mai optim algoritm de transformare liniară a unui spațiu în alt spațiu este cunoscut sub numele de KLT (Karhunen Løeve Transform). Ideea pe care se bazează acest algoritm este că face transformări dintr-o bază în alta, în urma cărora reține (cunoaște și recunoaște) informația cea mai importantă prin vectorii și valorile proprii corespunzătoare. Pe aceste considerente este de asemenea clasificat ca fiind cel mai optim în termeni de energie de compactare și eroare de reconstrucție [YUN99].

În algebra liniară [HOG06] un vector se notează astfel:

$$\vec{v} = \begin{pmatrix} 1 \\ 2 \\ 3 \\ 4 \end{pmatrix} \quad (4.20)$$

Sau pentru simplitate, se poate nota și:

$$\vec{v} = [1, \quad 2, \quad 3, \quad 4] \quad (4.21)$$

Fiecare vector are doi parametri ce îl caracterizează:

- *Dimensiunea unui vector:* este dată de numărul de elemente/componente din care este format; Un element al

vectorului se notează  $v_i$  și reprezintă valoarea vectorului  $\vec{v}$  în dimensiunea  $i$ ;

- *Lungimea unui vector*: reprezintă radical din suma pătratelor componentelor sale:

$$\vec{v} = \sqrt{\sum_{i=1}^n x_i^2} \quad (4.22)$$

De asemenea există diferite condiții matematice impuse astfel încât un vector oarecare poate fi definit ca vector propriu caracterizat de o valoare proprie. În acest sens, un vector propriu este un vector diferit de zero care satisface următoarea ecuație:

$$A\vec{v} = \lambda\vec{v} \quad (4.23)$$

Unde  $A$  este o matrice pătratică,  $\vec{v}$  este un vector propriu, iar  $\lambda$  este un scalar considerat valoare proprie. Valorile proprii și vectorii proprii sunt cunoscute și ca rădăcini caracteristice/singulare și vectori caracteristici/singulari [HOG06].

În transformata KLT se consideră o imagine ca fiind reprezentată sub forma unei matrice formată din "m" linii și "n" coloane. Această matrice poate fi interpretată și ca un tablou de vectori de dimensiune "m".

Transformata KLT aplică relația:

$$Y = Q^T X \quad (4.24)$$

Unde:

$X$  - este matricea inițială (de dimensiune  $m \times n$ ).

$Q$  - reprezintă o matrice de vectori proprii ai matricei de covarianță.

$Q^T$  - reprezintă matricea transpusă a matricei de vectori proprii.

$Y$  - este proiecția matricei inițiale în noile coordonate.

$$Cov = \begin{bmatrix} cov(x,x) & cov(x,y) & cov(x,z) \\ cov(y,x) & cov(y,y) & cov(y,z) \\ cov(z,x) & cov(z,y) & cov(z,z) \end{bmatrix} \quad (4.25)$$

Diagonala principală conține covarianța între o dimensiune și ea însăși  $(x,x), (y,y), (z,z)$  și reprezintă de fapt, varianța. O matrice de covarianță este simetrică față de diagonala principală deoarece:

$$cov(x,y) = cov(y,x) \quad (4.26)$$

$Cov(x,y)$  se calculează folosind relația:

$$Cov(x,y) = \frac{\sum_{i=1}^n [(x_i - \bar{x})(y_i - \bar{y})]}{n - 1} \quad (4.27)$$

Unde:

$\bar{x}, \bar{y}$  - media aritmetică a lui  $x_i$ , respectiv  $y_i$ , pentru  $i = 1, \dots, n$

$Q$  - matricea de vectori proprii ai matricei de covarianță

Pentru a obține matricea de vectori proprii se pleacă de la premisa că dacă  $A$  este o matrice pătratică, atunci un vector  $x \in \mathbb{R}^n$  se numește vector propriu în raport cu  $A$  [STR03];

Un vector propriu ( $\vec{x}$ ) este un vector diferit de zero care satisface următoarea ecuație:

$$A\vec{x} = \lambda\vec{x} \quad (4.28)$$

Numărul  $\lambda$  se numește și valoare proprie.

Valorile proprii și vectorii proprii se pot determina tratând o matrice ca un sistem de ecuații liniare, iar în urma rezolvării acestora se obțin valorile variabilelor ce formează în final componentele vectorilor proprii.

Sistemul de ecuații liniare descris de ecuația (4.28) se poate scrie:

$$(A - \lambda I) \times x = 0 \quad (4.29)$$

Acest sistem este omogen și admite o soluție nenulă dacă și numai dacă determinantul stemului are valoare zero.

Valorile proprii ale matricei  $A$  sunt rădăcinile polinomului caracteristic:

$$P(\lambda) = \det(A - \lambda I) = 0 \quad (4.30)$$

Polinomul de grad "n",  $P(\lambda)$  se numește polinom caracteristic al matricei  $A$ , iar ecuația (4.30) se numește ecuație caracteristică.  $I$  reprezintă matricea identitate. Dacă matricea  $A$  este simetrică, atunci valorile sale proprii sunt reale și există o bază formată din vectori proprii, ce transformă astfel matricea  $A$  într-o matrice diagonală.

Tehnica folosită de către transformata KLT are ca scop reducerea dimensiunilor seturilor de date pentru a fi analizate mai ușor. În principiu, din punct de vedere matematic transformata KLT este o transformare liniară, ortogonală ce transformă un set de date într-un nou sistem de coordonate.

Această transformare poate fi regăsită în multiple aplicații cum ar fi: generarea variabilelor random normale corelate [FEG02]. Alt tip de aplicații ale transformatei KLT constau în utilizarea tehnicilor de calculare pentru generarea filtrelor Wiener [PRA72].

În domeniul imaginilor digitale cu ajutorul transformatei KLT se poate obține o compresie optimă a semnalelor ceea ce reduce complexitatea calculelor prin aplicarea acestui algoritm [WAR97, QUI00]. În principiu se regăsesc aceleași valori ca și în cazul unei transformări DCT, dar tehnica KLT prezintă avantaje superioare când sunt utilizate scheme adaptive frecvent aplicate în industrie [SHI93], [EFF03].

Tot în domeniul video se pot utiliza transformări KLT în codificarea avansată audio pentru standardele MPEG [YAN01].

Transformata KLT are diverse aplicații, ceea ce permite prelucrarea statistică a unor informații din diferite domenii, cum ar fi: seismologie (domeniul prelucrărilor statistice ale semnalelor seismografice) [LON05] sau a semnalelor electrocardiografice (EKG) [HER06].

În mod frecvent în domeniul procesării semnalelor digitale, respectiv: procesarea imaginilor, a sunetului, recunoașterea semnalelor, în sistemele de comunicații și generarea de filtre, transformata KLT este considerată ca o prelucrare optimă a semnalelor pentru reprezentarea, compresia, analiza și procesarea datelor.

Astfel în [GAS06] transformata KLT reprezintă elementul cheie privind procesarea semnalelor și transmiterea obiectelor de procesare în mod distribuit.

Mai mult, în [UNS84] se demonstrează că transformata KLT este superioară altor tipuri de transformate, cum ar fi: DFT (Discret Fourier Transform), DCT (Discret Cosinus Transform), DREFT (Discret Real Even Fourier Transform), DOFT (Discret Odd Fourier Transform), DROFT (Discret Real Odd Fourier Transform).

Acest lucru devine cu atât mai evident dacă se utilizează o aproximare a transformatei KLT.

Fritsch propune în [FRI08] folosirea transformatei KLT pentru realizarea unor codoare și decodoare de imagini în momentul transmiterii acestora pe diferite canale de comunicații cum ar fi: Internetul, telefonia mobilă, etc.

Avându-se în vedere multitudinea aplicațiilor ce utilizează transformata KLT, aceasta constituie o alternativă în domeniul steganografiei, fiind folosită într-un proces de ascundere fie prin comprimarea mesajului ce urmează a fi încorporat, fie prin înlocuirea coordonatelor de grad inferior cu mesajul secret.

Transformata KLT poate fi folosită la comprimarea datelor secrete urmând ca acestea să fie încorporate prin diferite procedee în obiectul de acoperire ales.

O altă posibilitate de utilizare a transformatei KLT într-un proces steganografic o constituie proiecția în noi coordonate atât a mesajului, cât și a obiectului de acoperire, după care are loc substituirea proiecțiilor de grad inferior a obiectului de acoperire cu mesajul secret [DAF03].

### 4.3.2 Transformata bazată pe descompunerea în valori singulare

Transformata bazată pe descompunerea în valori singulare este notată prescurtat SVD (Singular Value Decomposition) și are ca fundament matematic faptul că orice matrice se poate descompune ca un produs de trei matrice [STR03]:

$$A_{mn} = U_{mm} S_{mn} V_{nn}^T \quad (4.31)$$

Unde:  $U$  - matricea ortogonală

$S$  - matricea diagonală

$V$  - transpusa matricei ortogonale

Cele trei matrice au următoarele proprietăți:  $U^T U = I$ ,  $V^T V = I$ , coloanele lui  $U$  sunt vectori proprii ortonormali ai lui  $AA^T$ , coloanele lui  $V$  sunt vectori proprii ai lui  $A^T A$ , iar  $S$  este o matrice diagonală conținând rădăcinile pătratice ale valorilor proprii ale lui  $U$  sau  $V$  în ordine descrescătoare.

În mod frecvent transformata SVD este utilizată pentru compresia imaginilor digitale, a semnalelor audio și mai nou în algoritmi steganografici deoarece prezintă proprietatea că sunt rezistenți la atacuri.

În concluzie, ca alternativă la reprezentarea matricială o imagine de dimensiuni  $n \times m$  poate fi considerată ca  $n$  vectori de dimensiune  $m$ . O transformare de imagini are ca rezultat un set de coordonate sau vectori de bază în acest spațiu vectorial ce realizează o rotație a coordonatelor de bază, iar componentele obținute sunt numite proiecțiile vectorului inițial în noua bază. Dacă elementele vectorilor de intrare sunt puternici corelați, coeficienții transformării au tendința de a nu se corela. În acest sens transformata KLT împachetează maximum de informații într-un număr dat de coeficienți ai transformării.

Domeniul vectorial este relativ puțin exploatat în momentul de față în steganografie deoarece utilizarea transformatei KLT este însoțită de costuri apreciabile, chiar dacă performanțele în domeniul prelucrării de date sunt foarte atrăgătoare. În realitate majoritatea algoritmilor steganografici pot implica costuri relativ mari indiferent de metoda aplicată, în special în cazul în care mediul utilizat este de tipul imagine digitală. Din acest motiv consider că domeniul vectorial poate constitui o îmbinare optimă calitate-cost, afirmație ce-o voi demonstra în capitolele următoare.

#### 4.4 **Concluzii referitoare la domeniile de reprezentare a imaginilor digitale**

Imaginea digitală este una dintre cele mai utilizate medii în steganografie datorită acțiunii directe cu sistemul senzorial uman și este dezvoltată în trei domenii de reprezentare prezentate în acest capitol.

Domeniul spațial s-a dezvoltat pe baza exprimării pixelilor într-un spațiu reprezentat prin cele trei axe de bază ce reprezintă culorile primare roșu, verde și albastru. La ora actuală există mai multe reprezentări spațiale ale pixelului, unele sunt bazate pe modalitatea de captare și reproducere a imaginilor, altele bazate pe mecanismele fiziologice de percepție a culorilor de către ochiul uman. Indiferent de formatul ales al domeniului spațial, imaginea digitală exprimată sub formă binară, alb-negru sau color este reprezentată printr-o matrice sau mai multe matrice de  $M$  coloane și  $N$  linii, unde dimensiunea matricei exprimă rezoluția imaginii respective.

Din acest motiv majoritatea algoritmilor steganografici constau în prelucrări de matrice de așa manieră încât mesajul ascuns să fie încorporat în imaginea purtătoare (obiectul de acoperire) prin substituirea unor valori ne semnificative a pixelilor din imaginea purtătoare cu valori semnificative ale mesajului încorporat, rezultând în felul acesta imaginea steganografică. Metodele folosite în steganografie trebuie astfel alese încât o analiză vizuală sau chiar matematică a imaginii steganografice să nu conducă la suspiciunea că aceasta este purtătoare de mesaj ascuns.

Plecând de la acest principiu se pot concepe strategii mult mai sofisticate prin care chiar în eventualitatea unei suspiciuni că în imaginea steganografică ar putea exista un mesaj secret, acesta să nu poată fi recuperat de către persoane neautorizate. Se poate afirma că algoritmi de ascundere ce utilizează ca domeniu de reprezentare domeniul spațial sunt unii dintre cei mai răspândiți la ora actuală având cele mai multe aplicații în domeniul steganografiei, fiind în general mai ușor de implementat pentru că necesită operații de calcul repetitive. În aceeași măsură presupun un volum mare de prelucrare în cazul încorporării unor mesaje de dimensiuni mari, ceea ce implică un timp de execuție relativ mare pentru astfel de algoritmi. O soluție pentru micșorarea timpului de execuție ar fi cablarea hardware a acestor algoritmi sau utilizarea unor microprocesoare dedicate acestui scop.

Reprezentarea imaginilor în domeniul frecvență se bazează pe descompunerea semnalelor din domeniul timp în domeniul frecvență plecându-se de la Transformata Fourier Discretă și ajungând la Transformata Cosinus Discretă. În funcție de tipul aplicației se pot utiliza și alte transformări. Ceea ce este caracteristic acestui domeniu este faptul că un număr mic de coeficienți ai transformatelor înglobează o cantitate mare din energia transformării imaginilor. Acest domeniu se pretează cu precădere în prelucrări de imagini, recunoașterea formelor și comprimarea datelor, dar este un domeniu potrivit și pentru ascunderea datelor.

Se poate spune că acest domeniu este unul dintre cele mai exploatate în steganografie și se constată că algoritmi steganografici care sunt implementați în domeniul frecvență prezintă un grad sporit de robustețe fiind cu precădere recomandați în ascunderea watermark-urilor. Pe de altă parte, indiferent de algoritmul implementat cantitatea de informații ascunsă este relativ redusă. Din



acest motiv, acest domeniu a constituit pentru mine o etapă tranzitorie de cercetare. Rezultatele obținute au condus la ascunderea unor mesaje watermark cu un grad ridicat de robustețe [STA07b, STA08a].

Domeniul vectorial prezintă un optim din punct de vedere statistic având performanțe ridicate și constă în interpretarea pixelilor sub formă de vectori. În urma transformării domeniului spațial în domeniul vectorial se generează valori și vectori proprii ce pot fi încorporați fie într-o imagine reprezentată în domeniul spațial, fie într-o imagine reprezentată în domeniul vectorial. Mai mult, acest domeniu permite o compresie a datelor fără pierderea calității imaginii. Datorită acestei ultime proprietăți acest domeniu poate fi atrăgător pentru aplicații steganografice. Cu toate acestea sunt puțini cercetători care au abordat acest aspect, fiindu-le probabil mai la îndemână procesările în domeniul frecvență.

În capitolele ce urmează voi dezvolta proprietățile acestui domeniu pentru a obține algoritmi steganografici cu o rată de încorporare care poate ajunge la o capacitate de 100% raportată la mărimea obiectului de acoperire, cu obținerea unei imagini steganografice de o foarte bună calitate și cu un grad de recuperare a mesajului ce poate atinge 99% din mesajul inițial. Menționez că domeniul vectorial este puțin abordat în literatura de specialitate în domeniul steganografiei, fiind folosit cu precădere în alte domenii.

Pe baza celor arătate mai sus apreciez că pentru domeniul steganografic în care cantitatea de informații ascunse este mare, domeniul spațial și cel vectorial prezintă candidaturile cele mai potrivite.

## 5 STEGANOGRAFIA BAZATĂ PE IMPLEMENTARE HARDWARE

Cercetarea în domeniul steganografiei se poate spune că a ajuns la maturitate atât prin generarea unor concepte de modele teoretice pentru dezvoltarea unor modele steganografice cu o siguranță sporită, cât și în realizarea unor algoritmi relativ puternici din punct de vedere al ascunderii de informație. Este de dorit ca algoritmi creați în acest sens să genereze obiecte steganografice robuste la atacurile din exterior, cu un grad de detectabilitate redus a mesajelor secrete, cu o recuperare bună a datelor la recepție și cu o capacitate mare de ascundere [MOS01].

După cum am arătat în Capitolul 4 privind mediile de ascundere în care se încorporează mesajul secret, flexibilitatea cea mai mare în abordarea sistemelor steganografice o reprezintă mediile digitale în general, respectiv imaginile digitale în particular. Ca urmare a utilizării acestor medii, după cum se va vedea în capitolele următoare au fost generați o serie de algoritmi steganografici care să îndeplinească principalele cerințe ale etapei actuale de dezvoltare în acest domeniu privind securitatea și capacitatea informațiilor ascunse.

Într-un raport Mark Owens de la Institutul de Securitate a Informațiilor din SUA [OWE02] se prezintă diferite modalități de securizare a informațiilor transmise pe căile de comunicație electronice. În acest raport autorul a abordat și "Problema prizonierilor" [SIM84] scoțând în evidență mai multe aspecte legate de steganografie, cum ar fi : ascunderea cât mai perfectă prin metode steganografice, cifrarea mesajelor sau/și folosirea combinată a celor două metode. Evident că aceste cerințe legate de securitate în domeniul steganografiei implică utilizarea tuturor resurselor hardware și software ale sistemelor numerice.

Dacă din punct de vedere software la ora actuală algoritmi de ascundere sunt bine reprezentați în literatura de specialitate, nu se poate spune același lucru despre utilizarea lor în hardware. În acest sens au fost realizate destul de puține încercări pentru implementarea algoritmilor steganografici în hardware. Acest domeniu ridică o serie de probleme, cum ar fi cunoștințe atât în domeniul programării în limbaj mașină, respectiv despre structura microsistemului, microprocesorului, simulare în arii programabile cât și o dotare de laborator corespunzătoare. Astfel de cerințe sunt mai greu de îndeplinit indiferent cât de puternic este calculatorul din dotarea cercetătorului. Mai mult, obiectivul final al cercetării implementării hardware al algoritmilor steganografici impune dezvoltarea sau adaptarea sistemelor hardware la cerințele domeniului, obținerea unor performanțe ridicate în special în domeniul timpului real, consum de putere mică pentru a fi folosite ca echipamente mobile (spre exemplu în telefonia mobilă). De asemenea soluțiile propuse trebuie să fie independente, sigure în funcționare și să prezinte costuri reduse.

O astfel de abordare poate fi obținută doar prin îmbinarea eficientă a unor implementări hardware și generarea unor algoritmi adecvați sistemului utilizat, respectiv adaptarea software la configurația echipamentului folosit. Acest aspect poate fi dezvoltat pe mai multe nivele, cum ar fi : integrarea la nivel de circuit prin dezvoltarea unor arhitecturi adecvate în conceperea de circuite dedicate scopului menționat. Un alt nivel ar consta în utilizarea microsistemelor, microprocesoarelor existente și generarea unor codoare și decodare steganografice pe acestea.

O colaborare cu firmele producătoare de procesoare ar putea îmbina universalitatea microprocesoarelor prin încorporarea în interiorul acestora a unor codoare - decodoare steganografice, care să fie folosite la transmiterea securizată a unor informații. În perspectivă se tinde la generarea unor astfel de micro sisteme, microprocesoare cu funcții de ascundere steganografice care să fie utilizate la ora actuală în telefonia mobilă.

## 5.1 **Steganografia în arii programabile**

Ariile programabile denumite FPGA (Field Programmable Gate Array) prezintă avantajul că sunt relativ simplu de programat, dispun de o largă documentație tehnică și o bibliotecă de programe și funcții bine susținută în literatura de specialitate. Din punct de vedere al costurilor FPGA - urile sunt scumpe și limitate în ceea ce privește flexibilitatea lor.

Printre primele încercări de implementare a unui mesaj ascuns pentru protecția proprietății intelectuale, în [LAC99] autorii prezintă o soluție tehnică verificată pe arii programabile FPGA - uri pentru protecția și integritatea mărcii unui produs privind măștile circuitelor integrate. Soluția rezultată este deosebit de robustă și face imposibilă copierea acestora. Arhitectura FPGA rezultată este considerată de autori ca fiind cu 25% mai mică decât în cazul folosirii microprocesoarelor pe 32 de biți din familia ARM de tip RISC. În lucrare nu sunt specificate clar costurile unei astfel de implementări hard care după părerea mea sunt mult mai ridicate decât în cazul utilizării unui microprocesor. Timpii de execuție rezultați pentru introducerea unei mărci ascunse sunt declarați a fi comparabili față de executarea algoritmului pe un microprocesor.

În [EIS00] sunt propuse mecanisme de reconfigurare pentru crearea unor sisteme de inserare axate pe partiționare și planificare. Toate detaliile de nivel inferior ale resurselor reconfigurabile sunt ascunse acoperind atât timpul de compilare a reconfigurării, cât și timpul de rulare. Se specifică faptul că există posibilitatea mapării aplicației atât pe același FPGA, cât și pe diferite alte foga-uri. Un studiu de caz demonstrează eficiența și utilitatea acestei abordări.

În [FAR05] autorii folosesc un algoritm hibrid de ascundere ce poate fi folosit în steganografie. Algoritmul a fost îmbunătățit prin utilizarea unui FPGA prin exploatarea posibilității de execuție paralelă ce conduce la obținerea unei cantități mari de prelucrare apreciată la 106 Mbps, ceea ce ar permite o execuție în timp real. Rezultatele implementării au fost verificate pe un FPGA din familia Spartan 2 și au fost comparate cu alte arhitecturi FPGA ce au utilizat algoritmi steganografici diferiți. Astfel a fost obținută o rată de transfer a obiectului steganografic de 95,53 Mbps.

În [ELT07] a fost implementată o tehnică de modificare a imaginii cu ajutorul coeficienților de bandă mijlocie. Tehnica propusă permite utilizarea a 49% din zona chip-ului și operează pe o frecvență de 36 MHz. În urma comparării performanțelor dintre implementarea soft și hard s-a obținut o îmbunătățire a timpului de execuție de 7 ori mai rapidă în comparație cu implementarea software.

O arhitectură de ascundere a unor mesaje discrete este propusă în lucrarea [MOH07] prin utilizarea a două moduri de implementare : prin folosirea unor circuite Xilinx de arii programabile, respectiv prin construirea unui circuit integrat modificat. Aceste prototipuri de circuite obținute prin simulare permit obținerea unor capacități de ascundere satisfăcătoare și obținerea unui mesaj steganografic robust.

Un proces de ascundere a informației este descris în lucrarea [GOM08] unde este folosită o metodă de depistare a schimbărilor abrupte ale nivelelor de gri și

ascunderea mesajului în astfel de regiuni. Autorii susțin că procesul de localizare a zonelor în care se ascunde mesajul este scump de implementat, iar cantitatea de informații inserate permite viteze mari de procesare, putând ajunge până la 61,5 Mbps.

Prin introducerea unei noi abordări prin care se ascunde însăși existența mesajului, El Zouka [ZOU08] utilizează un fișier gazdă a obiectului de acoperire, practic nemodificat, dar ce apelează la o cheie ce reprezintă elementul de start care va genera o secvență de numere ce vor identifica biții din fișierul gazdă a obiectului de acoperire și care conține de fapt mesajul secret. Prin urmare orice atac face imposibilă depistarea mesajului secret. Metoda prezintă dezavantajul că implică ascunderea unei cantități mici de informație ce ar putea fi îmbunătățită prin implementare hardware pe un FPGA.

Un algoritm de ascundere bazat pe transformata cosinus discretă DCT este implementat și descris în [SAL08]. Pentru materializarea implementării a fost utilizat un FPGA din familia Xilinx care utilizează aproximativ o treime din zonă având un timp de execuție de 2 ori mai mic decât în cazul implementării software. Din punct de vedere al eficienței algoritmului folosit este de remarcat faptul că un bit al imaginii secrete este ascuns într-un bloc de  $8 \times 8$  biți ai imaginii gazdă. Se remarcă faptul că algoritmul permite ascunderea unei cantități mici de date, dar folosind o implementare hardware a condus la îmbunătățirea timpului de execuție.

Toate încercările de implementare și dezvoltare a unor algoritmi steganografici care să poată fi implementați în arii programabile scot în evidență faptul că în urma alegerii unei arhitecturi adecvate și prin adaptarea corespunzătoare a acestora, rezultatele obținute sunt superioare implementărilor software, chiar dacă frecvența de lucru a ariilor programabile este semnificativ mai mică decât frecvența procesoarelor din calculatoare. În plus se obține o utilizare mai eficientă a memoriei operative, ceea ce face ca astfel de aplicații să devină atractive în viitorul apropiat. Cu toate acestea consider că ariile programabile pot constitui doar o etapă intermediară până la obținerea unui produs cablat care să încorporeze un sistem steganografic, deoarece din punct de vedere practic astfel de echipamente sunt relativ scumpe și nu se pot constitui ca un produs final, în schimb constituie un suport benefic în domeniul cercetării.

## 5.2 *Steganografia în circuite*

Altă modalitate de ascundere a datelor secrete se poate baza pe aranjarea fizică a unui obiect de acoperire ales în procesul steganografic. Aranjamentul poate fi o semnătură ascunsă care este unică pentru cel ce trimite mesajul. Un astfel de exemplu ar putea fi, traseul liniilor de cod distribuite într-un program sau schema unui circuit electronic pe o placă. Acest tip de marcare poate fi utilizat pentru identificarea unică a desenului original și nu poate fi șters fără schimbări semnificative.

[FAR04] prezintă un model steganografic ce constă în alegerea unui obiect de acoperire și implementarea unei chei secrete într-o micro-arhitectură. Pentru validarea ideii s-au folosit ariile programabile ce au fost utilizate în simularea procesului. Conținutul mesajului secret este distribuit în obiectul de acoperire într-un anumit mod, care se bazează pe o cheie secretă ce este cunoscută doar de emițător și receptor. În astfel de situații, chiar dacă o persoană neautorizată descoperă existența mesajului, fără cheia secretă nu este posibilă recuperarea

acestui. Scopul urmărit în astfel de cazuri este reasamblarea conținutului mesajului secret.

Datorită faptului că tot mai mulți oameni sunt tentați să copieze în mod ilegal diferite produse, a dus la dezvoltarea de noi tehnici în vederea protejării dreptului de autor prin introducerea unor informații ascunse și numere de serie în produse audio și video.

În [YUC08] se propune o schemă de watermarking ce se bazează pe diferite testări în vederea identificării proprietății intelectuale (IP). Se urmărește dezvoltarea unor proceduri de identificare a unui semn watermark. Conceptul de bază al procesului steganografic prezentat constă în încorporarea unui circuit de generare a semnelor watermark și a unui circuit de test. Ca urmare, schema propusă poate să reziste unor atacuri și poate identifica IP-ul la diferite nivele ale schemei. În timpul procesului general de testare este dovedită identitatea IP-ului fără a necesita o altă implementare în plus. Ca rezultat obținut în urma testelor pe o schemă reală se poate constata că schema hardware propusă conține un număr relativ mic de componente suplimentare, costuri reduse, un timp de procesare mic. Metoda propusă rezolvă problema identificării proprietății intelectuale.

[MOH05] prezintă o arhitectură integrată pe scară largă (VLSI) pentru implementarea a două imagini de watermarking pentru orice cameră digitală. Prototipul circuitului integrat implementat este constituit din aproximativ 28500 de porți folosind tehnologia de integrare de 0,35 μm cu un consum de 6,9 MW și operând la o frecvență de aproximativ 300 MHz. Scopul lucrării este de a asigura protecția intelectuală, iar pentru aceasta a fost folosit un algoritm steganografic bazat pe metoda celui mai puțin semnificativ bit. Autorii pretind că această arhitectură VLSI este prima din domeniu.

Mohanty continuă în [MOH07] cercetarea efectuată în lucrarea anterioară [MOH05] prin construirea unui prototip de circuit integrat modificat față de cel anterior cu scopul executării unor algoritmi de ascundere a unui mesaj secret invizibil într-o imagine. Ascunderea mesajului secret se face în domeniul spațial. Rezultatele implementării algoritmului de ascundere confirmă faptul că sunt generate mesaje robuste ce pot fi greu perturbate sau distruse de către un eventual atacator.

Este de remarcat că încercările de implementare a unui algoritm steganografic în măștile circuitelor integrate sau generarea unui circuit dedicat acestui scop prezintă până în prezent încercări timide, ceea ce poate fi explicat prin faptul că domeniul steganografic este unul relativ nou. Utilizarea microprocesoarelor pentru generarea de obiecte steganografice pot spune că este un domeniu și mai nou, ceea ce explică numărul redus de publicații pe această direcție de cercetare. Consider că utilizarea procesoarelor poate conduce la rezultate apreciable în implementarea și generarea unor algoritmi steganografici cu proprietăți deosebite în ceea ce privește timpul de execuție (care poate rezolva problema timpului real), a capacității de ascundere, respectiv dificultăți deosebite în detecția mesajelor ascunse.

### 5.3 **Steganografia în telefonia mobilă**

Se poate constata tot mai frecvent utilizarea telefonului mobil pentru comunicare fie utilizând transferul sigur de date dintre un calculator și un utilizator de telefoane mobile, fie prin comunicarea directă între doi utilizatori de telefonia mobilă. Este de dorit ca toate aceste comunicații să fie cât mai sigure și să asigure în același timp și confidențialitate.

Astfel în [SHA05] este prezentată o metodă pentru ascunderea datelor în imagini folosind algoritmi steganografici. Metoda descrisă constă în transferul de date sigure dintre un calculator către utilizatori de telefoane mobile ce au încorporat un decodor pentru extragerea informației ascunse folosind un program JAVA. Decodificatorul a fost implementat pe un telefon mobil și testat pe un aparat NOKIA 6600. Metoda constă în ascunderea unei informații într-o imagine trimisă de pe un calculator prevăzut cu o parolă personal. La trimiterea imaginii steganografice către utilizatorul de telefoane mobile, în cazul în care acesta are prevăzut un program de decodificare poate extrage mesajul ascuns. Se poate remarca faptul că în această lucrare decodorul implementat pe telefonul mobil este sub forma unui program de decodificare, iar mesajul recuperat este de tip static. Un caz particular în exploatarea algoritmului prezentat a constat în postarea notelor private ale unui student în cauză. În acest fel se constată că metoda permite transmiterea unei cantități mici de informații.

Pentru ascunderea informațiilor în cazul convorbirilor telefonice se propune o nouă metodă steganografică în [JUN02] pentru generarea unor comunicații sigure pe rețelele de telefonie publică. În vederea implementării unui astfel de sistem de convorbire telefonică securizată folosind tehnica ascunderii informației au fost utilizate microcontrolere de tip DSP (Digital Signal Processor) din familia TM (produs de Texas Instruments). Rezultatul cercetării confirmă posibilitatea transmiterii unei convorbiri telefonice suprapusă peste un obiect steganografic ce încorporează un mesaj confidențial.

În lucrarea [JUN03] se propune ascunderea informației prin utilizarea unui microcontroler DSP cu posibilități de lucru în paralel privind procesarea vorbirii. Acesta este încorporat într-un telefon cu rolul de a procesa mesajele verbale ce urmează a fi ascunse. Fiind folosită transmiterea informației pe cale audio este evident că în acest fel cantitatea de informații ce poate fi ascunsă este relativ redusă.

O aplicație interesantă a steganografiei prezentată în [SUZ08] constă în realizarea unor interacțiuni dintre telefonul mobil și alte dispozitive hardware folosind ca elemente de recunoaștere camera digitală a telefonului. Această interacțiune implică conexiunea a două echipamente hard fără nici un fel de soft suplimentar prin diferite proceduri, cum ar fi: selectarea imaginii, afișarea imaginii pe întreg ecranul sau conectarea camerei mobilului la dispozitivul cu care trebuie să fie interconectat. Cheia interacțiunii se bazează pe FPCode (Fine Picture code) ce utilizează o metodă de ascundere a codului dispozitivului hard ce urmează a fi conectat la mobil.

[KEJ04, KEJ05] propune partiționarea algoritmilor de inserare și extragere a mărcii de protecție intelectuală pentru produsele transmise prin telefonie mobilă. Autorii afirmă că algoritmi de ascundere necesită un consum mare de energie, iar telefoanele mobile nu posedă o cantitate de energie inepuizabilă. Pentru a soluționa problema consumului de energie este propus ca procesul de inserare și extragere să fie executat pe un server care ar putea reduce consumul total de energie a telefoanelor mobile cu 80% și îmbunătățește performanțele procesului steganografic. Practic telefonul mobil este folosit doar ca dispozitiv de transmitere.

Se constată un interes sporit în crearea unor soluții ce vin în întâmpinarea unui număr tot mai mare de utilizatori de telefonie mobilă privind securizarea comunicării și/sau confidențialitatea acesteia. O soluție în această direcție o poate asigura dezvoltarea unor algoritmi steganografici pentru telefoanele mobile existente sau adăugarea la microprocesoarele folosite în telefoanele mobile a unor astfel de soluții implementate hardware. În telefonie mobilă de regulă sunt utilizate

procesoare dedicate, multe din acestea făcând parte din clasa procesoarelor RISC (Reduced Instruction Set Computer). Printre cele mai cunoscute din această clasă sunt procesoarele ARM (Advanced RISC Machine). Ca atare, o parte din algoritmi steganografici pe care i-am dezvoltat au fost implementați pe un astfel de procesor.

## **5.4 Microprocesoare propuse pentru utilizare în steganografie**

Este foarte bine știut că în ultima vreme dispozitivele mobile prezintă performanțe deosebit de avansate încât pot face o mulțime de lucruri care înainte erau posibil de realizat doar cu ajutorul unor calculatoare performante. La ora actuală telefonia mobilă a trecut de la simple realizări de contacte la aplicații deosebit de complexe cum ar fi procesarea de sunet, imagini, ceea ce face ca la ora actuală telefoanele mobile să înlocuiască cu succes multe din necesitățile pe care ni le ofereau calculatoarele personale.

În privința dezvoltării telefoniei mobile până în prezent s-a pus accentul creșterii frecvenței de lucru a procesoarelor utilizate în acest scop, în ideea îmbunătățirii performanțelor computaționale. Evident, acest aspect nu poate merge la infinit pe această direcție. Din acest motiv marii producători de procesoare au căutat soluții alternative în acest scop. Una dintre aceste soluții impuse constă în paralelizarea calculelor și a fost adoptată pentru a fi utilizată în platformele mobile. Este de așteptat ca în cel mai scurt timp locul procesoarelor ARM ce sunt folosite în prezent în telefonia mobilă să fie luat în curând de microprocesoare cu mai multe nuclee. Ca urmare este de așteptat o scădere a puterii consumate și creșterea performanțelor permițând dezvoltări de aplicații complexe. O aplicație demult impusă dar dificil de realizat până în prezent constă în confidențialitatea transmiterii mesajelor tip: text, audio, imagine, video. Este de așteptat ca următoarele generații de telefoane mobile să conțină aplicații domeniile: inteligenței artificiale, grafică 3D, procesare audio-video, respectiv steganografie.

În continuare voi prezenta pe scurt două platforme ce au în componența lor microprocesoarele cele mai utilizate în telefonia mobilă în prezent (ARM), respectiv microprocesorul cu mai multe unități de prelucrare ISAAC produs de firma MOVIDIA ce va fi utilizat în viitor.

### **5.4.1 Microprocesoare cu o singură unitate de prelucrare. Caracteristici generale.**

Primele procesoare ARM au fost realizate de către compania Acorn Computer Group. Scopul inițial al acestei arhitecturi a fost construirea unor procesoare cu consum redus de energie și cu performanțe ridicate în același timp. Ulterior Acorn împreună cu Apple Computer a pus bazele companiei Advanced RISC Machines Ltd. Aceasta nu realizează fizic procesoare ci doar dezvoltă arhitectura pentru ele.

Procesoarele ce au ca fundament ARM7 sunt procesoare de tip RISC bazate pe arhitectură de tip Von Neumann sau Harvard, cu structuri de tip pipeline (bandă de asamblare) ce au ca și caracteristică de bază simplitatea fără a pierde din performanță și cu un consum de energie redus. Astfel de procesoare se pretează cel

mai bine scopului propus în această lucrare, mai mult, datorită consumului redus pot fi utilizate în telefonii mobile.

O variantă îmbunătățită a clasicei arhitecturi ARM7 este procesorul ARM7TDMI-S. Acesta aduce în plus modul Thumb (caz în care se înjumătățește dimensiunea unei instrucțiuni fără a afecta performanța), facilități în plus legate de depanarea codului precum și o unitate aritmetică și logică mai dezvoltată și mai rapidă [4].

Punctul forte al acestei arhitecturi este banda de asamblare. Aceasta este formată din 3 stagii: încărcarea, decodificarea și execuția instrucțiunii. Performanțele cele mai ridicate oferite de banda de asamblare sunt atunci când se operează pe cod liniar, astfel că majoritatea instrucțiunilor pot fi executate într-un singur ciclu mașină. În cazul apariției unei instrucțiuni de salt pipeline-ul o tratează printr-o tehnică de tip flush and refill (pipeline-ul se golește complet). Pentru a evita aceste situații când performanța este serios degradată, arhitectura pune la dispoziție un set de instrucțiuni ce ajută la evitarea salturilor, și anume un set de instrucțiuni cu condiție. Acest tip de instrucțiuni se execută normal în cazul unei condiții adevărate, iar în cazul unei condiții false acestea sunt înlocuite cu instrucțiuni de tip NOP (No Operation). Prin aceasta banda de asamblare nu se golește crescând astfel performanța. Din acest motiv aici nu sunt întâlnite clasicele hazarde de date întâlnite în benzile de asamblare cu mai multe stagii.

Arhitectura ARM pune la dispoziție 16 registre generale (R0 – R15) pe 32 biți, unde R13-R15 au funcții speciale. Dintre acestea, R13 (SP – stack pointer), R14 (LR – link register) – poartă numele de registru de încărcare, R15 (PC – program counter) este registrul numărator de program. R14 este folosit pentru a salva număratorul de programe în momentul unui apel de subrutină făcând posibilă întoarcerea din apel. Existența registrului LR oferă o facilitate ce reduce mult timpul de execuție în momentul în care se face apel de subrutină, nefiind nevoie în acest caz de a se salva conținutul registrului PC pe stivă așa cum se face în situațiile clasice. Se recurge în schimb la metode obișnuite de salvare în stivă doar atunci când se face apel de subrutină din interiorul unei alte subrutine. O altă facilitate a arhitecturii este aceea că registrele speciale gen numărator de program, stack pointer, registru de încărcare sunt considerate registre generale și astfel pot fi folosite ca argumente în orice instrucțiuni fără nici un fel de restricții.

Pe lângă setul de 16 registre arhitectura mai dispune de un registru de dimensiune 32 biți numit registru de stare (CPSR – Current Program Status Register) ce conține diferite fanioane care indică și controlează modul de funcționare al procesorului.

Procesoarele ARM7 prezintă mai multe moduri de lucru: System & User – mod utilizator, FIQ (fast interrupt) – mod ce intră în operare în momentul unei întreruperi rapide de tip FIQ, Supervisor – mod de lucru ce oferă privilegii maxime, Abort – mod ce se declanșează la o eroare internă, IRQ – mod ce intră în operare în momentul unei întreruperi clasice IRQ, Undefined Instruction – mod ce apare când se decodifică o instrucțiune necunoscută.

Comutarea între aceste moduri de lucru se poate face explicit prin cod dar poate apărea și în cazul unor evenimente speciale gen întrerupere rapidă sau instrucțiune nedefinită după care automat se comută în modul ce era stabilit înainte de eveniment. De exemplu, în cazul în care procesorul operează în modul supervisor și se generează o întrerupere rapidă (FIQ) acesta comută automat în modul respectiv și sare apoi la rutina de tratare a întreruperii. La ieșirea din această rutină procesorul comută înapoi în modul supervisor. În cazul unei astfel de comutări în modul de lucru FIQ utilizatorului i se pun la dispoziție un subset copiat al registrelor



R7-R12, conținutul anterior schimbării modului de lucru fiind salvat. Practic există mai multe subseturi de registre astfel că în momentul unei schimbări a modului de lucru nu este necesară salvarea acestora în memorie ca și la procesoarele clasice. De această facilitate beneficiază doar modul de lucru FIQ dar este totuși prezentă și la celelalte moduri de lucru, însă restricționată la registrele R13 și R14 (SP, PC). Astfel se poate spune ca fiecare mod de lucru are stiva proprie și numărătorul de program propriu. De asemenea fiecare mod de lucru beneficiază și de propriul registru CPSR. Procesoarele bazate pe ARM7 folosesc instrucțiuni cu lungime de 32 biți dar în cazul în care memoria de program este insuficientă se poate opta în detrimentul performanței la un set de instrucțiuni cu lungimea unei instrucțiuni de 16 biți. Setul de instrucții ce este pus la dispoziție de această arhitectură este unul foarte bogat și oferă, după cum s-a precizat anterior, mecanisme pentru evitarea instrucțiunilor de salt. După cum se știe există o mare diferență de viteză între nucleul unui procesor și memoria în care este stocat programul chiar dacă memoria este una extrem de performantă. Arhitectura ARM prezintă anumite mecanisme pentru a rezolva într-o oarecare măsură această situație.

În această situație în majoritatea cazurilor memoria în care este stocat programul este o memorie de tip FLASH cu un timp de acces de 50 ns limitând astfel procesorul la 20 MHz. Soluțiile clasice în acest caz constau în mare parte în introducerea între memoria FLASH și procesor a unei memorii de tip cache. Acest lucru ar complica prea mult arhitectura procesorului ridicând astfel și costul acestuia. În cazul arhitecturii ARM se introduce între memoria FLASH și nucleul procesorului un modul de accelerare numit Memory Accelerator Module (MAM). Ca și o memorie de tip cache acesta stochează următoarea instrucțiune și o furnizează procesorului când acesta o cere [TRE05].

Funcționarea acestui modul este strâns legată de organizarea memoriei FLASH. Aceasta este împărțită în două blocuri întrețesute ce pot fi accesate independent. În acest mod se încearcă furnizarea instrucțiunilor la viteza procesorului. Avantajul arhitecturii este acela că pentru programator modulul MAM este transparent.

Există trei moduri de funcționare pentru modulul MAM:

- Dezactivat complet (Disabled) – în acest caz modulul este ocolit iar memoria FLASH este accesată direct de către procesor. Astfel, performanțele procesorului sunt limitate de timpul de acces al memoriei.
- Activat parțial (Partially enabled) – în acest caz memoria FLASH este accesată de către modulul MAM dar numai în cazul codului liniar. Instrucțiunile de salt și datele constante sunt accesate direct de către procesor. Performanțele cresc față de modul precedent iar execuția codului este deterministă în sensul ca se poate garanta un anumit timp de execuție.
- Activat (Fully enabled) – în acest caz memoria FLASH este accesată doar de către modulul MAM. Ca urmare există și mecanisme de predicție în cazul instrucțiunilor de salt și performanțele sunt superioare modurilor de operare precedente. Totuși acest mod nu este determinist în sensul că este imposibil să se facă orice analiză a timpului de execuție al codului.

În [STA09] am adaptat un algoritm steganografic dezvoltat în domeniul spațial pentru un microprocesor ARM din familia RISC. Rezultatele implementării algoritmului conduc la obținerea unor soluții ce permit încorporarea unor mesaje de

dimensiuni relativ mari. Astfel, imaginea obiectului de acoperire și a obiectului steganografic au o dimensiune de 648 de kbiți, mesajul ascuns are aceeași dimensiune, iar metoda utilizată constă în ascunderea celor mai semnificativi biți din mesaj în cei mai puțini semnificativi biți din obiectul de ascundere. Obiectul steganografic rezultat nu prezintă modificări vizibile față de obiectul de acoperire. În vederea obținerii acestor rezultate am făcut adaptările necesare implementării algoritmului utilizat pe microprocesorul existent. Pentru experimentele mele privind implementarea algoritmilor steganografici am folosit o placă de dezvoltare produsă de Olimex (figura 5.1).

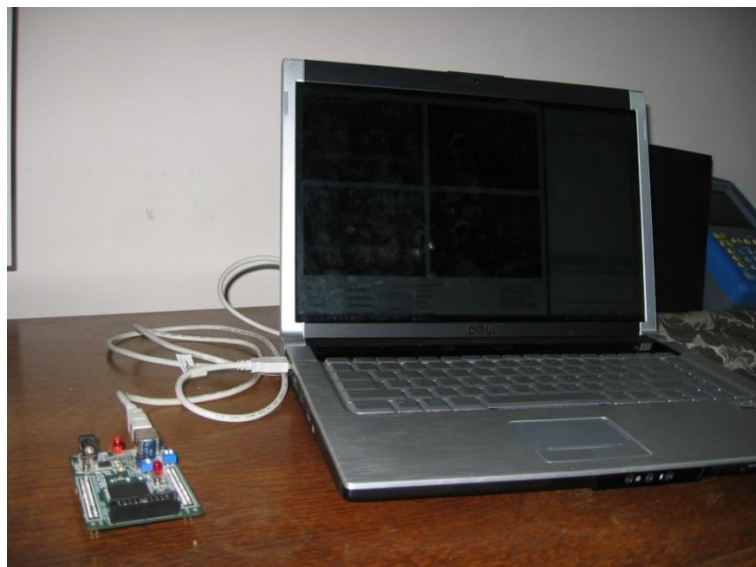


Figura 5.1 Placa de dezvoltare bazată pe microprocesorul ARM7

Modelul plăcii este Olimex LPC-H2294 [5] și conține printre altele un microprocesor ARM7 ce poate opera la o frecvență de 60 MHz, o memorie SRAM de 1 MB cu timp de acces de 12 ns, memorie FLASH de 4 MB cu timp de acces de 70 ns și interfețe de intrare - ieșire. Procesorul dispune de magistrale externe de date, adrese și control putând astfel adresa o memorie externă. Magistrala externă face parte dintr-un periferic specializat al microcontrolerului cu rolul de a controla memoriile externe conectate la procesor [6].

#### **5.4.2 Microprocesoare cu mai multe unități de prelucrare. Caracteristici generale.**

Unul dintre microprocesoarele cu mai multe unități de prelucrare ce va fi utilizat în telefonia mobilă în viitorul apropiat este microprocesorul ISAAC ce conține mai multe nuclee de procesare și este produs de MOVIDIA. Această nouă generație de procesoare are ca principal scop oferirea unor performanțe superioare de prelucrare grafică, în special în domeniul jocurilor și aplicațiilor video. Procesorul

este astfel conceput încât să fie folosit într-un sistem pe post de coprocesor fiind controlat de către un procesor gazdă, eventual unitatea de procesare ce controlează întregul sistem mobil. În interiorul capsulei se află 8 nuclee de procesare. Dintre acestea 6 sunt identice și nu pot adresa decât un MB din totalul de memorie, iar al 7-lea are capacitatea de a adresa întreg spațiul de memorie. Al 8-lea nucleu (LEON) este de tip RISC cu o arhitectură SPARC și poate adresa de asemenea întreg spațiul de memorie. Acest nucleu are următoarele caracteristici principale: bandă de asamblare cu 7 stagii, unitate specializată de înmulțire și împărțire, unitate de virgulă flotantă, cache separat pentru instrucții și date, unitate dedicată pentru depanarea codului și mod de lucru cu consum redus. LEON este cel care se ocupă de configurarea celorlalte 7 nuclee având grijă să genereze codul aplicației ce urmează a fi rulat pe ele, să configureze memoria și să dea startul execuției aplicației [7].

Procesorul MOVIDIA ISAAC prezintă performanțe de 27 Gflops la o frecvență a tactului până la maxim 200 MHz. Întregul procesor este integrat într-o platformă de test pe care se găsește microprocesorul ISAAC precum și câteva periferice, cum ar fi un ecran LCD color, camere video, interfață CD și o interfață I2S și un ecran cu senzor (figura 5.2).



Figura 5.2 Placă de dezvoltare bazată pe microprocesorul ISAAC

În cazul procesării algoritmilor steganografici este de remarcă că prezintă o adevărată provocare chiar și în cazul rulării pe un calculator personal performant. Algoritmii implică atât putere de calcul mare, dar și timp de rulare relativ mare. Din acest motiv implementarea acestora pe un procesor cu mai multe nuclee presupune utilizarea unor procedee de paralelizare a lor. Prin încercările făcute am constatat că această operație este dificilă și nu se pretează pentru orice tip de algoritm.

### 5.4.3 Concluzii privind rezultatele experimentale obținute prin utilizarea microprocesoarelor propuse în steganografie

Pentru a compara comportarea algoritmilor steganografici pe diferite platforme hardware am conceput un algoritm de ascundere pe biții cei mai puțini semnificativi ai obiectului de acoperire plecând de la aspectele teoretice prezentate în literatură [KAT00]. Modul în care a fost realizat acest algoritm a trebuit să țină seama de caracteristicile platformelor pe care a urmat să fie rulat. În acest sens s-a folosit un calculator personal de tipul Hewlett-Packard cu un procesor Intel de 2,4GHz, un sistem de dezvoltare ce are încorporat un microprocesor ARM utilizat în telefonia mobilă și o platformă de dezvoltare ce are în componență microprocesorul ISAAC ce urmează a fi încorporat în viitoarele telefoane iPhone. Pentru efectuarea experimentelor s-a încercat ca cele trei platforme să prezinte frecvențe de lucru compatibile.

Este de menționat faptul că în situația în care calculatorul execută algoritmul în mod secvențial, la microprocesorul ARM execuția acestuia trebuie să țină cont de arhitectura bazată pe banda de asamblare. Microprocesorul ISAAC prezintă particularitatea pe lângă faptul că are o arhitectură bazată pe bandă de asamblare, mai are în componență 6 nuclee ce pot procesa algoritmul în paralel coordonate de un nucleu numit LEON. Aceste arhitecturi diferite au impus adaptarea algoritmului steganografic de așa manieră încât executarea lui să fie cât mai unitară pentru a compara performanțele acestuia pe cele trei platforme.

De remarcat este faptul că pe microprocesorul ARM și ISAAC nu a mai fost implementat nici un algoritm steganografic până în prezent, iar din acest motiv consider că este prima aplicație de acest tip. Mai mult, implementarea algoritmului pe microprocesorul ISAAC a fost cerută de către firma producătoare a acestuia cu intenția de a fi furnizată ca aplicație viitorilor utilizatori de iPhone.

În figura 5.3 se dau două exemple privind rezultatele dezvoltării unor algoritmi steganografici pe cele două microprocesoare ARM și ISAAC.

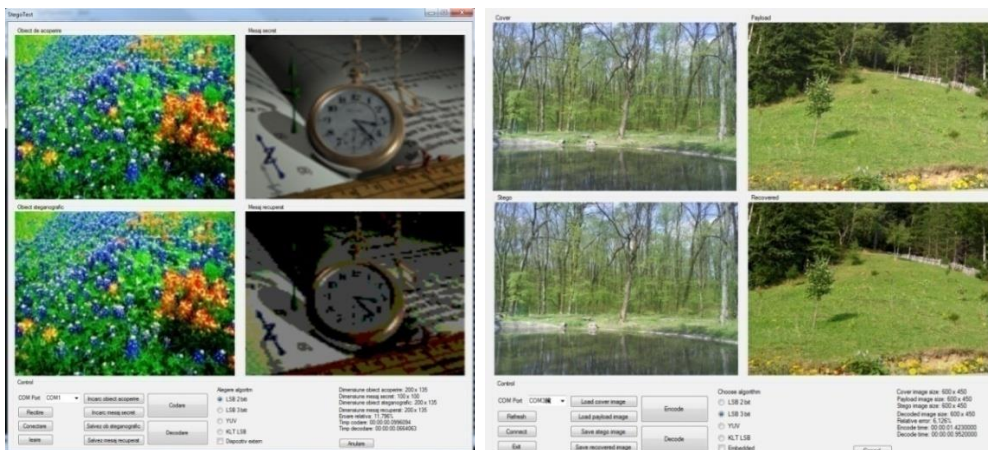


Figura 5.3 Rezultate experimentale obținute pe microprocesoarele ARM și ISAAC

Trebuie specificat că spre deosebire de celelalte platforme utilizate pentru comparare, în cazul microprocesorului ISAAC au fost concepute soluții originale de paralelizare a algoritmului steganografic.

Ca urmare timpul de execuție pe microprocesorul ISAAC se reduce semnificativ, respectiv de 4 până la 8 ori mai mic față de timpul de rulare pe microprocesorul ARM și de circa 12 până la 18 ori față de calculatorul utilizat. Aceste rezultate sunt prezentate în tabelul 5.1 și figura 5.4.

Tabel 5.1 Compararea timpului de execuție pentru algoritmul *LSB-F<sub>2</sub>*

Nr. crt.	Obiect de acoperire		Mesaj secret		PC	ARM	ISAAC
	Nume	Dimensiune(bytes)	Nume	Dimensiune(bytes)	[ms]	[ms]	[ms]
1	camp_cu_flori.jpg	81.000	porumbel.jpg	33.930	70	25	3,66
2	camp_cu_flori.jpg	81.000	ceas_2.jpg	45.450	72	25	3,66
3	camp_cu_flori.jpg	81.000	ceas_3.jpg	81.000	73	25	3,66
4	lac_3.jpg	202.500	porumbel.jpg	33.930	161	63	8,55
5	lac_3.jpg	202.500	ceas_3.jpg	81.000	160	63	8,55
6	lac_3.jpg	202.500	ceas_4.jpg	182.700	162	63	8,55
7	lac_2.jpg	360.000	porumbel.jpg	33.930	280	112	14,9
8	lac_2.jpg	360.000	ceas_3.jpg	81.000	276	112	14,9
9	lac_2.jpg	360.000	ceas_4.jpg	182.700	269	112	14,9
10	lac_2.jpg	360.000	peisaj_1.jpg	360.000	289	112	14,9
11	lac_1.jpg	810.000	porumbel.jpg	33.930	613	253	33,6
12	lac_1.jpg	810.000	ceas_3.jpg	81.000	616	253	33,6
13	lac_1.jpg	810.000	ceas_4.jpg	182.700	615	253	33,6
14	lac_1.jpg	810.000	peisaj_1.jpg	360.000	605	253	33,6
15	lac_1.jpg	810.000	peisaj_2.jpg	562.500	618	253	33,6
16	lac_1.jpg	810.000	peisaj_1.jpg	810.000	630	253	33,6

În tabelul 5.1 am ales pentru exemplificare o parte din testele efectuate pe cele trei platforme. În prima și a treia coloană se specifică numele obiectelor și mesajelor secrete folosite, în coloana a doua și a patra se prezintă dimensiunile imaginilor exprimate în octeți, iar în ultimele trei coloane se regăsesc timpii de execuție în milisecunde pentru algoritmul rulat, ce urmează a fi prezentat mai pe larg în capitolul 7. De menționat că o parte din testele efectuate pe cele trei platforme se regăsesc și în capitolele 7, respective 9, iar rezultatele obținute conduc la aceleași concluzii ca și cele din acest capitol.

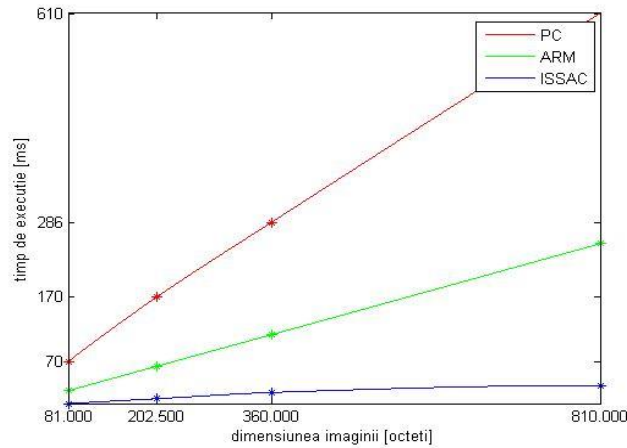


Figura 5.4 Reprezentarea grafică a timpilor de execuție pentru algoritmul  $LSB-P_2$

Urmărind tabelul de mai sus și figura 5.4 se poate constata că timpul de execuție al algoritmului steganografic este semnificativ influențat de dimensiunea imaginii de acoperire. Așadar, cu cât aceasta are dimensiuni mai mari și timpul de execuție crește. Însă este de observat faptul că dacă pe celelalte două platforme timpul de execuție crește proporțional cu dimensiunea obiectului de acoperire, respectiv de la 1 la 10, la microprocesorul ISAAC această creștere este doar de la 1 la 6 pentru dimensiuni ale obiectului de acoperire cu creștere de la 1 la 10. Acest rezultat confirmă faptul că paralelizarea algoritmului steganografic conduce la o îmbunătățire substanțială a timpului de execuție și validează soluțiile alese.

## 5.5 Concluzii

În cadrul acestui capitol a fost făcută o trecere în revistă a principalelor realizări în domeniul steganografiei bazată pe implementare hardware având ca suport circuite integrate, arii programabile, respectiv exploatarea unor facilități de care beneficiază actualele telefoane mobile. În prezent algoritmi steganografici cablați și integrați într-un circuit putem spune că reprezintă o opțiune de viitor fiind foarte puțin abordată din punct de vedere practic. Poate o soluție integrată să fie de actualitate în viitorul apropiat pe măsură ce cerințele pieței își vor spune cuvântul.

Din punct de vedere al cercetării o astfel de abordare a fost tratată cu multă timiditate existând poate o explicație legată de faptul că steganografia este un domeniu de curând abordat pe scară mai largă, iar o soluție steganografică care să se impună în acest moment față de altele ar trebui să implice o validare a valabilității ei. Poate în acest sens să se stabilească eventual un standard pe baza căruia să se poată concepe un circuit integrat dedicat steganografiei.

Până la găsirea unei astfel de soluții o serie de cercetători au folosit ca unealtă de lucru pentru implementarea unor algoritmi steganografici ariile programabile fie pentru a verifica unele aspecte legate de soluțiile abordate în domeniul steganografiei, fie de a testa valabilitatea vreunui algoritm propus de ei și

care să fie adaptabil configurației platformei deținute de aceștia. Sigur că o astfel de soluție poate fi abordată din punct de vedere al cercetării, dar din punct de vedere al obținerii unui astfel de produs este o direcție a cărei finalizare este mai greu de așteptat, în primul rând din motivul că ariile programabile necesită costuri mari, însă pot constitui în continuare unelte utile de lucru.

În continuarea capitolului am abordat o perspectivă cu totul nouă în sensul dorinței de a utiliza facilitățile microprocesoarelor folosite în telefonia mobilă și totodată având în vedere cerințele pieței de a exista un produs steganografic cu posibilități de încorporare într-un telefon mobil. În acest sens pornind de la cerințele manifestate de către un producător de microprocesoare ce vor fi utilizate în viitoarele generații de telefoane mobile, am direcționat tema mea de cercetare în ideea satisfacerii acestor cerințe.

Astfel, în acest capitol am prezentat rezultatele experimentelor efectuate pe o parte din algoritmi concepuți de mine pe două platforme dintre care una are încorporat un microprocesor utilizat în prezent în telefonia mobilă, respectiv a doua un microprocesor ce va fi utilizat în viitor în telefonia mobilă. Rezultatele experimentale obținute pe cele două platforme au fost comparate cu executarea acelorași algoritmi pe un calculator personal. Menționez că ultimul microprocesor se găsește în etapa de testare în cadrul firmei producătoare.

Scopul urmărit a fost multiplu, în sensul că s-a dorit a se identifica algoritmi cei mai performanți realizați de mine ce pot fi implementați pe astfel de microprocesoare și de a se găsi soluțiile cele mai potrivite pentru adaptarea acestora la arhitectura microprocesoarelor propuse a fi utilizate în telefonia mobilă. Totodată s-a urmărit optimizarea acestora în vederea obținerii unor timpi de execuție cât mai mici. În final s-au analizat performanțele din punct de vedere steganografic ale acestora. Evidențiez faptul că o astfel de abordare nu am identificat a mai fi abordată în literatură.

Consider că scopul ce mi l-am propus a fost atins dovedind în primul rând valabilitatea performanței algoritmilor propuși, cât și posibilitatea ca aceștia să facă parte dintr-un viitor produs.

## 6 MODELE STEGANOGRAFICE

### 6.1 Model clasic

Pentru a avea o viziune și o înțelegere mai bună asupra steganografiei, în cele ce urmează se face referire la modelul clasic pentru comunicarea invizibilă, propus de Simmons ca "Problema prizonierilor". [SIM84]

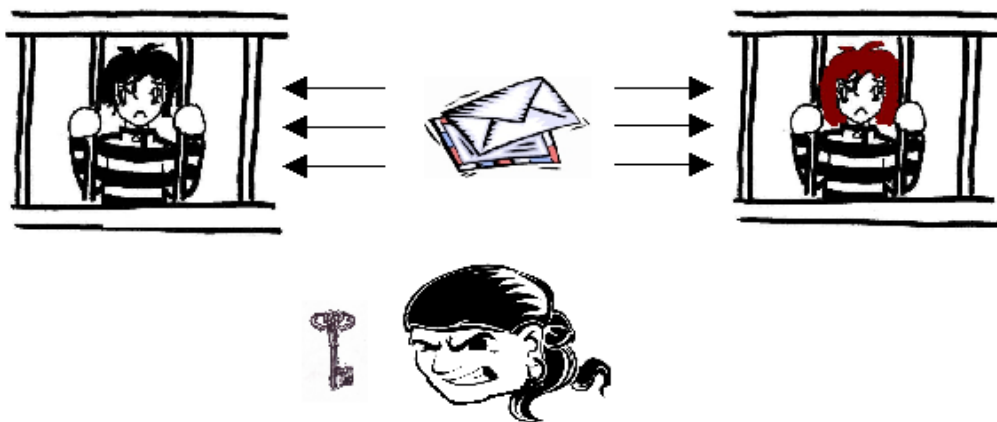


Figura 6.1 Modelul clasic steganografic "Problema prizonierilor"

După cum se observă în figura 6.1 Simmons pleacă de la premisa ca Alice și Bob sunt arestați datorită unor infracțiuni comise și sunt repartizați în celule diferite. Aceștia doresc să realizeze un plan de evadare. Comunicarea dintre cei doi este posibilă doar prin intermediul unui gardian, numit Wendy, care nu le permite comunicarea prin codare. În cazul în care observă orice tip de comunicare suspicioasă, îi va încarcera, astfel eliminând orice tip de schimburi de mesaje. Soluția aleasă de cei doi constă în ascunderea mesajului într-o informație la vedere inofensivă. De exemplu, Alice ar putea să primească de la Bob un desen pictat în care este reprezentat un câmp cu florile ei preferate. Acest mesaj pentru gardian ar fi doar o operă de artă, în timp ce pentru Alice codificarea culorilor reprezintă informația valoroasă, mesajul secret constând chiar într-un plan de evadare.

Modelul prezentat este aplicat în general în situațiile în care are loc comunicarea invizibilă și anume steganografia. Cei doi protagoniști din exemplul de mai sus, Alice și Bob se identifică cu cele două părți care doresc să comunice și să schimbe informații secrete într-un mod invizibil, iar gardianul poate fi considerat atacatorul ce încearcă să intercepteze și să extragă mesajul ascuns.

Cu toate că mesajul secret este ascuns, părțile care comunică trebuie să ia în permanență în calcul și interferența unui atacator, care în funcție de intențiile ce le are poate fi pasiv, activ sau rău voitor. În exemplul propus, Simmons face încă o presupunere pentru a explica mai bine mecanismul pe care se bazează comunicarea invizibilă, steganografia. Această presupunere constă în posibilitatea schimbării



mesajelor în diferite formate cum ar fi text, imagini digitale sau sunet digital, Alice și Bob având acces în celulele lor la sisteme computerizate. Chiar și acest mod de comunicare nu presupune lipsa potențialilor atacatori.

## 6.2 Model de bază propus pentru un sistem steganografic

În urma analizei "Problemei prizonierilor" [SIM84], în literatura de specialitate [KUR92, ZOL98, CAH04, KHA06] s-a adoptat modelul de comunicare steganografică prezentat în figura 6.2.

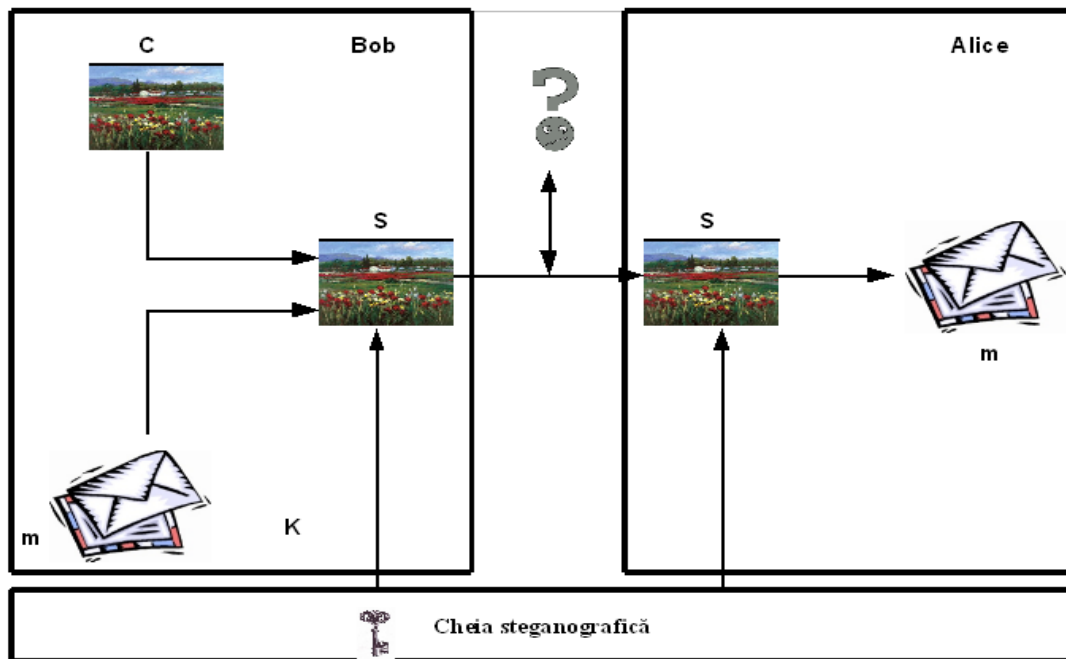


Figura 6.2 Model particularizat al "Problemei prizonierilor"

La analizarea acestui model se poate observa apariția unor termeni abstracți. În continuare se prezintă semnificația acestor termeni, făcând referire și la exemplul prizonierilor. Se notează cu „m” mesajul secret pe care Bob dorește să-l transmită lui Alice. Pentru aceasta are nevoie de un mesaj inofensiv în care să-l ascundă, denumit în continuare obiect de acoperire, notat cu „c”.

Pentru a crește securitatea transmiterii informației private, se poate apela la folosirea unei chei secrete notată cu „k” denumită în continuare cheie steganografică. Aceasta este cunoscută de ambii parteneri în procesul de comunicare și are rolul de a coda și decoda mesajul secret. Mesajul rezultat în urma procesului de încorporare și codare reprezintă obiectul steganografic și este notat cu „s”. În urma procesului de ascundere a unui mesaj secret „m” într-un obiect de acoperire „c” este necesar ca acesta să nu se deosebească de obiectul steganografic rezultat „s”. Dacă este îndeplinită această condiție se poate spune că sistemul steganografic și-a atins scopul.

Modalitatea prin care sunt transmise informațiile între cei doi protagoniști este reprezentată de canale nesecurizate, care au fost simbolizate în exemplul de mai sus prin gardianul Wendy. Singurii care înțeleg mesajul ascuns „m” sunt cei doi care comunică: emițătorul, care ascunde și codifică mesajul și receptorul, care este capabil să preia și să decodifice mesajul ascuns. Bineînțeles că obiectul de acoperire „c” care reprezintă interfața pentru mesajul secret poate fi de orice tip de date: text, sunet, imagine, etc. Securitatea și calitatea transmiterii de informații secrete constă în abilitatea celor ce transmit mesaje secrete într-o așa manieră încât să nu existe o distincție sesizabilă între obiectul de acoperire și obiectul steganografic.

Este de preferat ca obiectul de acoperire să conțină informații suplimentare, proporțional ca și număr cu datele secrete care se doresc a fi ascunse, deoarece aceste date suplimentare pot fi înlocuite cu informațiile secrete. Un exemplu elocvent îl reprezintă zgomotele care apar inerent datorită proceselor fizice. Chiar dacă sunt nedorite, datorită toleranțelor pe care le impun sistemelor, ele totodată pot constitui o modalitate de transmitere a mesajelor steganografice. Într-un mesaj pot fi introduse semnale suplimentare care să conțină informație secretă și care pentru un observator să fie interpretate ca simple zgomote, dar aceasta trebuie să se facă într-un mod controlat, pentru că ar putea exista cazul în care se adaugă zgomot suplimentar la cel deja existent într-un obiect de acoperire ceea ce ar putea duce la descoperirea procesului steganografic.

În cele prezentate anterior s-a făcut o trecere în revistă a principiilor steganografice de bază prin explicarea termenilor aferenți domeniului cu exemplificări elocvente ale acestora. În continuare vor fi abordate mai în detaliu cele mai reprezentative modele steganografice existente până în prezent.

### 6.3 **Model încorporat**

Transmiterea unui mesaj steganografic presupune parcurgerea unor etape bine definite ce presupun folosirea unor algoritmi matematici specifici care sunt implementați atât la încorporarea mesajului secret cât și la extragerea lui. Acești algoritmi vor avea ca date de intrare un mesaj secret, un obiect de acoperire și eventual o cheie secretă. În cazul în care se folosește o cheie secretă pentru codarea datelor ce urmează a fi transmise, aceasta este cunoscută atât emițătorului cât și receptorului de mesaj. Informația rezultată din acest proces constituie obiectul steganografic. La recepție, mesajul primit urmează a fi decodificat cu ajutorul aceleiași chei având ca rezultat obținerea mesajului secret și, ca informație secundară, obiectul de acoperire.

Sistemele steganografice pot fi fundamentate matematic în diferite moduri. În [ZOL98] a fost formalizat așa numitul “model încorporat” și este prezentat în figura 6.3.

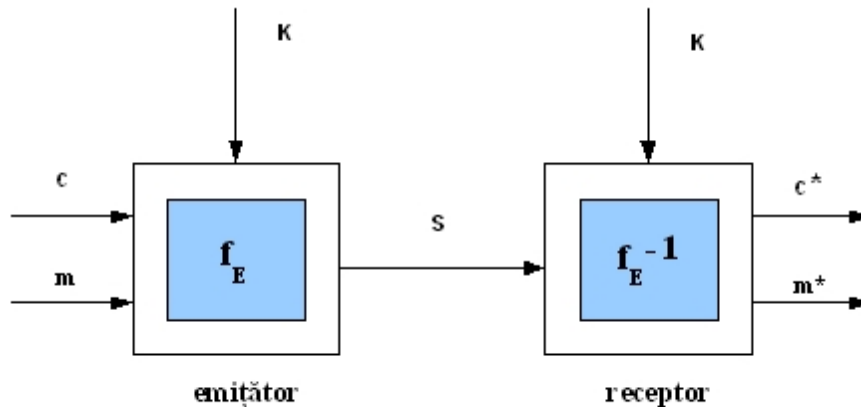


Figura 6.3 Model încorporat [ZOL98]

„Problema prizonierilor” prezentată de Simmons drept modelul clasic steganografic [SIM84] este abstractizată prin modelul propus în [ZOL98]. O primă observație este că cei doi protagoniști sunt acum reprezentați prin denumirile de „emițător” și „receptor”.

Emițătorul se exprimă printr-o funcție matematică directă  $f_E$ , iar receptorul prin funcția matematică inversă  $f_E^{-1}$ . Cele două funcții matematice  $f_E$  și  $f_E^{-1}$  folosesc algoritmi steganografici pentru a codifica și decodifica mesajul secret. Formalizând, se poate spune că  $f_E$  reprezintă funcția de „încorporare” a datelor secrete. Funcția matematică  $f_E^{-1}$  este utilizată la recepția mesajului și are rolul de a decodifica informația primită, aceasta realizând funcția de „extragere” a informației secrete.

Modelul propus are ca și date de intrare un obiect de acoperire „c” care constituie mesajul inofensiv. Tot la intrare se află și funcția de codare  $f_E$ , care prelucrează datele secrete „m” și le încorporează în „c”. În urma acestor operații se formează mesajul steganografic „s” care va fi transmis. Evident că acesta conține deja, mesajul secret „m”. Până în acest moment s-a făcut referire la datele de intrare și la modalitatea de prelucrare a acestora.

Pentru a decodifica mesajul de la ieșire se face apel la funcția  $f_E^{-1}$  care extrage datele încorporate. După această etapă vor rezulta doi termeni: „m\*” și „c\*”, iar dacă decodarea este corectă „m\*” ar trebui să fie egal cu „m”.

Ideile expuse până acum au avut rolul de a explica funcționalitatea principiului steganografic folosind doar datele reprezentate în figura 6.3. Acest fapt nu include o evaluare calitativă a modului prin care informația secretă este securizată sub obiectul de acoperire „c”.

Analiza siguranței sistemului steganografic presupune și existența unui eventual atacator. Drept urmare, presupunerile făcute și logica formulată nu sunt utile în cazul în care se dorește să se evalueze calitatea ascunderii informației.

Modelul propus poate fi comparat cu un sistem la care sunt cunoscute intrările și ieșirile, dar nu este luat în calcul modul de procesare a datelor de către un eventual interceptor.

[ZOL98] exemplifică și urmărește să demonstreze cu ajutorul teoriei informației cazul în care un sistem steganografic are cele mai mari șanse să fie sigur. Pentru aceasta pleacă de la presupunerea că un atacator are informații atât despre obiectul steganografic „s” rezultat în urma încorporării, cât și despre obiectul de acoperire „c” în care a fost ascuns mesajul secret „m” și demonstrează că în acest caz sistemul steganografic nu poate fi sub nici o formă sigur. Pentru a îmbunătăți această situație defavorabilă propune un set de posibilități de realizare a unui obiect de acoperire dat, astfel încât prin acest mod induce în eroare un eventual atacator deoarece acesta nu are acces la forma originală a obiectului de acoperire și în acest fel este mult mai greu de a depista unde a fost ascuns mesajul secret.

Așadar, dacă se dorește a avea o transmitere de informație secretă reușită, este necesar ca atacatorul să nu poată face diferența între mesajul „s” rezultat după prelucrarea datelor „c” cu ajutorul funcției  $f_E$ . Sistemul steganografic nu este sigur în cazul în care funcția  $f_E$  permite atacatorului să observe diferențe între „s” și „c”.

Un sistem steganografic presupune prelucrarea datelor de intrare (c, m și k) prin intermediul funcției  $f_E$  în modul următor [ZOL98]:

$$s = f_E(c, m, k) \quad (6.1)$$

Asupra diferitelor date de intrare sau ieșire corespunzătoare unui sistem steganografic pot exista incertitudini ce pot fi evaluate cu ajutorul unei mărimi denumită entropie. Entropia reprezintă gradul de dezordine sau de dispunere aleatoare a elementelor dintr-un sistem care conține energie sau informație.

Principiul steganografiei se referă la ascunderea unei informații secrete într-o informație oarecare astfel încât acest proces să treacă neobservat atât de ochiul uman cât și de programele de detecție și protecție ale unui calculator. În acest sens entropia prezintă o metrică importantă de care se poate ține seama în evaluarea securității transmiterii unei informații într-un proces steganografic. Există diferite metode prin care o informație secretă poate fi încorporată în alta, dar toate acestea implică o modificare atât a mesajului ascuns, cât și a obiectului de acoperire în care a fost ascuns. Entropia informației măsoară schimbările ce au loc în cadrul obiectelor implicate într-un proces steganografic. Pentru ca informația secretă să nu fie detectată de un eventual atacator, este foarte important ca entropia obiectului steganografic la care acesta poate avea acces să fie cât mai apropiată de cea a obiectului de acoperire.

În [ZOL98] se face o analiză abstractă a siguranței unui sistem steganografic prin evaluarea gradului entropiei rezultate în urma modificărilor ce au loc atât în mesajul secret ce urmează a fi încorporat, cât și în obiectul steganografic rezultat. În cele ce urmează se face o paralelă a acestui caz particular, cu definirea entropiei în conformitate cu teoria informației.

În acest sens, se consideră că pentru un set de valori  $\{x_1, \dots, x_n\}$  entropia elementului X, notată cu  $H(X)$  descrie „incertitudinea asociată lui X”. De asemenea, entropia poate fi văzută și ca și cantitatea de informație pe care o conține X.

Pentru exemplificare se prezintă în figura 6.4. diagrama ce exprimă legătura dintre entropiile a două elemente X și Y.

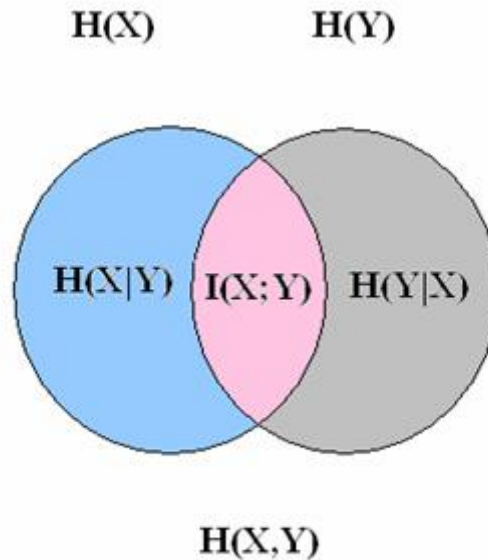


Figura 6.4 Diagrama entropiilor [BOR05]

Entropia condițională  $H(X|Y)$  rămâne incertitudinea lui X când este cunoscut Y.

Entropia de legătură este suma dintre entropia condițională și incertitudinea asociată elementului X [BOR05]:

$$H(X, Y) = H(X) + H(Y|X) \quad (6.2)$$

Informația mutuală  $I(X; Y)$  descrie volumul informației aflate despre Y dacă se obține X:

$$I(X; Y) = H(X) - H(X|Y) = H(Y) - H(Y|X) \quad (6.3)$$

Prin particularizarea celor două elemente X și Y cu obiectele implicate într-un proces steganografic  $\mathcal{C}$  respectiv  $\mathcal{S}$  autorii fac o serie de presupuneri în ceea ce privește cunoștințele și abilitățile unui atacator de succes și iau în calcul toate rezultatele raportate la gradul de modificare a entropiei unui element în urma încorporării de informație suplimentară. Pentru obținerea rezultatelor se ia în considerare analiza a două tipuri de sisteme: deterministe și nedeterministe.

O caracteristică a sistemelor steganografice deterministe este faptul că se pleacă de la presupunerea că atacatorul cunoaște atât obiectul de acoperire „c” cât și obiectul steganografic „s” obținut în urma încorporării mesajului secret „m”. Fiind vorba de un model abstract, „c” este exprimat la modul general, fiind asimilat cu o mulțime de obiecte de acoperire, notate cu  $\mathcal{C}$ , același principiu fiind valabil și pentru mulțimea obiectelor steganografice  $\mathcal{S}$ . Pentru ca procesul de ascundere să nu fie identificat este necesar ca la o simplă comparație făcută de un observator cele

două obiecte să pară identice. Din punct de vedere matematic, dacă două elemente sunt egale se presupune că și entropiile lor sunt egale, astfel că:

$$S = C \Rightarrow H(S) = H(C) \quad (6.4)$$

Autorii din [ZOL98] demonstrează că acest lucru este imposibil de realizat deoarece adăugarea de informație suplimentară într-unul din obiecte duce la creșterea entropiei acestuia și astfel nu poate fi îndeplinită condiția de securitate impusă, prin care diferența dintre entropiile celor două elemente supuse comparării să fie zero.

Condiția de securitate care ar trebui îndeplinită pentru ca sistemul steganografic să fie sigur este:

$$H(S|C) = H(C|S) = 0 \quad (6.5)$$

Dar, datorită faptului că există totuși informație încorporată în „C” rezultă:

$$H(S|C) = H(C|S) > 0 \quad (6.6)$$

Ca urmare, se poate spune că nu este îndeplinită în totalitate condiția de securitate.

Din aceasta rezultă că un sistem steganografic determinist nu poate fi sigur atunci când un atacator cunoaște  $S$  și  $C$ .

În sistemele steganografice nedeterminate se aleg obiecte de acoperire inofensive  $C$  în care se ascund informații secrete  $M$  rezultând astfel obiecte steganografice  $S$  ce sunt vizibile și sunt transmise pe canale publice, putând fi astfel interceptate și chiar atacate de persoane neautorizate. Astfel, analiza siguranței unui sistem steganografic considerat nedeterminist de astă dată, pleacă de la presupunerea că orice obiect de acoperire  $C$  are la dispoziție o Sursă notată cu  $C_S$  din care poate fi realizat în diferite moduri. Obiectul de acoperire se obține din această Sursă în urma unor procedee de transformare care introduc mici perturbări aleatoare în rezultat. Chiar dacă se cunoaște Sursa și procedeul de transformare, de către un eventual atacator, mai multe realizări succesive vor genera rezultate diferite.

Pentru ca sistemul steganografic să fie sigur este necesar ca atacatorul să nu obțină nici un fel de informație despre mesajul ascuns  $M$  la examinarea Sursei  $C_S$ , respectiv  $S$ . Autorii din [ZOL98] demonstrează faptul că atâta timp cât nu se poate obține obiectul de acoperire original în care a fost ascuns mesajul pentru a-l compara cu obiectul steganografic rezultat, poate fi îndeplinită condiția fundamentală a securității sistemului steganografic pentru cazul de față.

$$H(M|(S, C_S)) = H(M) \quad (6.7)$$

Din punct de vedere matematic relația (6.7) exprimă faptul că entropia mesajului secret  $H(M)$  nu trebuie să se micșoreze la aflarea lui  $S$  și  $C_S$ . Altfel spus, pentru a avea un proces steganografic îndeplinit cu succes este absolut necesar ca incertitudinea lui  $C$  să fie mai mare decât entropia indusă de mesaj în tot sistemul.

$$H(C|(S, C_S)) \geq H(M) \quad (6.8)$$

Rezultă din cele prezentate mai sus că sistemele steganografice nedeterminate devin sigure atunci când atacatorul nu cunoaște obiectul de acoperire  $C$  chiar dacă are acces la obiectul steganografic  $S$ . Întreaga tehnologie privind generarea obiectelor steganografice constă în furnizarea unor informații cât mai reduse eventualilor atacatori. Cele mai sigure sisteme steganografice rezultate pe baza analizei gradului de securitate sunt sistemele steganografice nedeterminate

care printr-o metodă de randomizare furnizează obiectul de ascundere realizat într-un mod aleator și de preferat să fie adecvat mesajului ce urmează a fi ascuns.

În concluzie, în [ZOL98] se consideră că eventualii atacatori pot avea acces doar la obiectul steganografic. Ca urmare orice prelucrare de informații ce ar putea avea loc înaintea transmiterii obiectului steganografic poate conduce la o îmbunătățire a procesului. În acest scop, fără a face o demonstrație teoretică, ci doar bazându-se pe deducție logică, autorii propun adăugarea unei funcții de preprocesare asupra obiectului de acoperire introdusă înaintea generării acestuia.

#### 6.4 Model probabilistic

Pentru dezvoltarea unui model steganografic cu un grad ridicat de securitate în [CAH04] se presupune că un atacator are putere de calcul nelimitată și este capabil să efectueze o varietate de atacuri. Dacă acesta nu poate să confirme ipoteza lui că obiectul testat conține mesaj secret, atunci sistemul este teoretic sigur.

Cachin ridică problema securității unui sistem steganografic plecând de la presupunerea că emițătorul are la dispoziție un set de obiecte de acoperire în care încorporează în mod aleator informație secretă și le trimite către receptor. În acest mod, un eventual atacator care interceptează informațiile transmise astfel pe un canal nesecurizat nu poate stabili care dintre ele conțin mesaj secret și care nu. Practic acesta nu poate deosebi obiectele steganografice care conțin date secrete față de obiectele de acoperire simple trimise doar pentru a-l induce în eroare.

Pentru a face o analiză a securității sistemului steganografic în acest caz Cachin consideră că unui obiect de acoperire  $C$  îi corespunde distribuția de probabilitate  $P_C$ , iar prin încorporarea unui mesaj în acesta rezultă un obiect steganografic  $S$  cu distribuția de probabilitate  $P_S$ .

În cazul în care introducerea mesajului modifică distribuția de probabilitate, adică  $P_S$  devine diferit de  $P_C$ , atunci această diferență poate da un semnal de alarmă atacatorului. Autorul presupune că deși atacatorul nu cunoaște obiectul de acoperire, cunoaște distribuția de probabilitate a acestuia  $P_C$  și funcția de ascundere a mesajului.

Securitatea perfectă a unui sistem steganografic este definită în [CAH04] pe baza entropiei relative  $D(P_C|P_S)$  care este o măsură a diferenței dintre distribuțiile de probabilitate a obiectelor ce caracterizează procesul de ascundere.

Astfel condiția care trebuie îndeplinită pentru a obține un sistem steganografic perfect sigur este ca:

$$D(P_C|P_S)=0 \quad (6.9)$$

Practic, autorul admite că entropia relativă  $D(P_C|P_S)$  poate să nu fie 0, ci mai mică decât un  $\epsilon$  dat.

$$D(P_C|P_S) \leq \epsilon \quad (6.10)$$

În acest caz denumește sistemul steganografic  $\epsilon$  sigur.

Dacă este îndeplinită această condiție un atacator nu poate stabili din punct de vedere probabilistic dacă obiectul ce-l interceptează este obiect de acoperire sau obiect steganografic. Acest lucru nu poate să-l facă nici receptorul, iar pentru a rezolva această problemă autorul presupune că acesta are acces la un oracol care îi spune când emițătorul este activ și când nu. În cazul în care distribuțiile de probabilitate a celor două obiecte sunt egale, din punct de vedere statistic informația existentă în acestea este distribuită la fel în ambele cazuri (cu și fără

mesaj secret). În cazul în care atacatorul are cunoștință de distribuția de probabilitate  $P_C$  și entropia relativă este mai mare decât 0, îi induce acestuia un grad de suspiciune deoarece observă că cele două distribuții sunt diferite. Acest fapt îl poate determina să bănuiască existența unui mesaj ascuns. Din acest motiv, cazul ideal pentru ca un sistem steganografic să fie sigur este ca distribuțiile de probabilitate  $P_C$  și  $P_S$  ce corespund celor două obiecte  $C$  și  $S$  să nu poată fi deosebite.

Pentru a demonstra existența unui astfel de sistem, precum și pentru a încerca eliminarea noțiunii de oracol, se propun două exemple în [CAH04], dar aceste exemple se bazează pe reprezentarea unui mecanism criptografic. Putem spune că exemplificările făcute fac referire mai mult la criptografie decât la steganografie în sensul clasic al cuvântului.

Cachin remarcă faptul că un sistem steganografic poate fi sigur din punctul de vedere al teoriei probabilităților ca urmare a analizării modelului propus, dar în realitate un asemenea model face abstracție de mediile purtătoare utilizate în mod practic la realizarea obiectelor steganografice. Acestea au o distribuție de probabilitate mai complexă, nu sub forma ideală cum este considerat în [CAH04]. Ca exemplu, într-o imagine aleasă ca și obiect de acoperire probabilitatea ca toți pixelii din imagine să aibă aceeași culoare tinde la 0. Cum cele mai utilizate medii pentru steganografie rămân obiectele text, audio, imagine, video care se adresează în ultimă instanță ființei umane și care au o bogată structură statistică în termeni de corelație, modelul propus rămâne o unealtă utilă din punct de vedere teoretic, dar cu reduse aplicabilități practice. Mai mult, nu se specifică modalitatea de scădere a distribuției dintre  $P_C$  și  $P_S$ .

## 6.5 Model adaptiv

Pentru a crește gradul de protecție a datelor unii autori [FRA04] au propus diferite sisteme steganografice adaptive. Soluția propusă constă în suprapunerea unei măști peste obiectul de acoperire. Mască ia valori de 0 și 255 (alb, negru). Noua imagine obținută este utilizată pentru încorporarea mesajului secret rezultând în felul acesta o imagine steganografică directă. O a doua prelucrare constă în utilizarea obiectului de acoperire inițial, a obiectului steganografic prelucrat în care se încorporează mesajul, rezultând o imagine steganografică mascată. Cele două imagini steganografice sunt emise către receptor, urmând ca din ele să se extragă mesajul ascuns. Pentru alegerea măștii autorii calculează un prag în vederea stabilirii valorii fiecărui pixel component. În acest fel, mască se construiește pixel cu pixel în funcție de intensitatea imaginii originale. Mesajul secret este ascuns în biții cei mai puțini semnificativi ai obiectului de acoperire. Pentru a face mai dificilă detectarea mesajului, în algoritmul de ascundere se apelează la utilizarea unor șiruri de numere pseudoaleatoare cunoscute atât de emițător cât și de receptor. Prin acest procedeu autorii arată că rata de detecție a unui eventual atacator scade semnificativ.

Un alt model propus în [CHA04] constă în adaptarea modelului steganografic de bază într-un model ce permite obținerea obiectului steganografic prin utilizarea unui cod aleator pentru ascunderea mesajului secret în așa numitele "zgomote albe".



În [BOH04] se adaptează modelul steganografic de bază prin divizarea obiectului de acoperire în două variabile: deterministe și nedeterministe. Prin aceasta se încearcă găsirea distribuției condiționate dintre acestea folosind ca parametrii variabilele deterministe, iar pe baza unei funcții de decompresie biții mesajului sunt distribuiți în variabilele nedeterministe. În final se însumează cele două tipuri de variabile rezultând obiectul steganografic.

## 6.6 *Optimizarea modelelor steganografice*

Toate modelele steganografice tind să ascundă cât mai bine o informație secretă.

Scopul steganografiei este ca transmiterea informațiilor ascunse să fie făcută astfel încât să nu creeze suspiciuni, deoarece există și metode ce ar putea distruge mesajul transmis în cazul în care acesta poate fi descoperit. În [CHE08b] sunt prezentate discuții despre soluțiile propuse pentru rezolvarea unor astfel de probleme ce pot apărea în timpul unui proces steganografic.

Generarea unor metode de comunicare ascunsă care să permită construirea unor obiecte steganografice cât mai rezistente la potențiale atacuri este o direcție de cercetare diferită de steganografie și este cunoscută ca steganaliză. Este de menționat faptul că generarea algoritmilor de steganaliză este tot timpul dependentă de generarea unor noi algoritmi steganografici. Din acest motiv astfel de algoritmi au apărut permanent în urma algoritmilor steganografici [WAT08, KER08, HUL08, MEH08, FER08, YUX08, KHO09].

Pentru ca un mesaj ascuns să fie detectat un prim pas l-ar putea constitui observarea de către un analist a unor diferențe sesizabile în imaginea steganografică rezultată în urma încorporării informației secrete în obiectul de acoperire ales. Pasul următor ar presupune un atac asupra imaginii detectate, astfel că prin diferite tehnici de distorsiune aplicate imaginii steganografice, mesajul încorporat în ea va fi astfel modificat încât nu mai poate fi recuperat. Așadar, dacă algoritmul ales pentru ascundere nu a fost bine conceput sau implementat, nu este necesar ca mesajul secret să fie identificat, ci este suficient să fie depistată existența lui. În acest caz sunt foarte mari șansele ca informația ascunsă să fie distrusă sau deteriorată.

Un exemplu în acest sens se poate regăsi în [BON07a] unde este prezentată o metodă de steganaliză pentru imagini ce conțin informații secrete ascunse în cei mai puțini semnificativi biți ai imaginii de acoperire aleasă. Pentru a genera statistici în vederea obținerii unor rezultate comparative este folosită compresia fără pierderi a imaginilor .

Atacurile asupra sistemelor steganografice pot fi clasificate în două categorii: pasive și active [JOH01]. Deoarece acestea nu pot fi stopate se fac în permanență cercetări pentru a fi contracarate. În literatura de specialitate se poate remarca frecvent faptul că aceiași autori care concep algoritmi steganografici, concep și măsuri de atac și contraatac [GUL06, GUL07a, GUL08a]. Astfel că, o parte din algoritmi steganografici propuși pentru a ascunde o informație secretă presupun și măsuri de precauție în cazul în care sunt atacați. O posibilă contramăsură pentru a evita distorsionarea presupune încorporarea datelor secrete în zonele percepute ca fiind cele mai semnificative din imaginea de acoperire, această metodă face foarte dificilă alterarea informației ascunse [JOH01].

Pentru marea majoritate a algoritmilor steganografici pentru care au fost concepuți algoritmi de atac s-au găsit măsuri de contraatac prin mărirea rezistenței la detecția mesajului ascuns [ABO08, LIX08, ZHA07a, XIA08a, XIA08b].

Alte metode concepute pentru a mări rezistența obiectelor steganografice la diferite atacuri constă în combinarea unor algoritmi diferiți, cum ar fi: metoda bitului celui mai puțin semnificativ (LSB) cu transformata cosinus discretă (DCT) [RAJ05].

În [ABR09] se prezintă o metodă robustă la atacuri prin zgomot și distorsionarea imaginii prin combinarea metodei SSIS (Spread-Spectrum Steganography Sistem) cu tehnici de ascundere în domeniul frecvenței (DCT). Această metodă prezintă imperceptibilitate mare la imaginea steganografică, iar recuperarea datelor se face complet.

În [CHI05a] se propune o soluție prin care imaginea este comprimată, apoi criptată, iar încorporarea imaginii se face în domeniul frecvenței DCT.

[CHI09] propune o metodă de încorporare a datelor pe nivele pentru îmbunătățirea capacității de ascundere din schemele DCT, iar rezultatele experimentale confirmă faptul că se obține o capacitate de ascundere mai eficientă decât în alte lucrări luate ca referință.

În [MOH08, GUL07a] este propusă o tehnică de ascundere bazată pe descompunerea valorii singulare (SVD) (Singular Value Decomposition) și pe metode de cuantizare. Prin aceste metode autorii sugerează obținerea unor imagini digitale steganografice deosebit de robuste, aproape nedetectabilă la aplicarea metodelor steganalitice existente.

Algoritmul propus în [GOR03] se bazează tot pe tehnica SVD și introducerea unor combinații liniare de valori aparținând imaginii de acoperire. Această tehnică nu-și propune realizarea unei capacități mari de ascundere, ci doar realizarea unei imaginii steganografice robuste.

În [NAV08] se propune o combinație bazată pe trei metode DWT (transformata de undă discretă) (Discret Wavelette Transform), DCT și SVD. Metoda ascunderii discrete dovedește că recuperarea mesajului poate fi făcută în condiții bune și în situații de atac asupra sistemului.

Pentru realizarea unui proces steganografic sunt utilizate diferite tehnici de bază ce pot fi diferențiate în funcție de metodele de ascundere folosite, dintre care cele mai cunoscute sunt:

a) Metoda injectiei se bazează pe inserarea mesajelor secrete în diferite zone dintr-un obiect de acoperire, ce ar putea fi ignorate la prima vedere. Un dezavantaj al acestei metode de ascundere îl constituie modificarea mărimii obiectului de acoperire folosit. În cazul în care datele înserate modifică prea mult dimensiunile acestuia, procesul steganografic poate fi mai ușor detectat.

b) Metoda substituției are ca principal scop găsirea informațiilor nesemnificative dintr-un obiect de acoperire și înlocuirea acestora cu date secrete [CHI05b]. Dezavantajul acestei metode constă în faptul că este posibil ca obiectul steganografic obținut să fie puțin diferit față de obiectul de acoperire, ceea ce ar putea conduce la detectia eventuală a mesajului secret. Cu toate acestea metoda conduce la rezultate foarte bune dacă algoritmi steganografici utilizați sunt bine concepuți.

c) Metoda generării realizează crearea unor noi obiecte steganografice ca urmare a încorporării informațiilor secrete în obiectele de acoperire folosite în acest scop.

În [CHI05a] se propune un model bazat pe ascunderea unei imagini secrete într-o imagine fractală ce pare inofensivă la prima vedere. Pentru aceasta se alege o imagine de acoperire și se folosește metoda compresiei imaginii. După implementarea imaginii secrete, scopul procesului steganografic a fost îndeplinit cu succes. Prin metoda generării, obiectul de acoperire este ales și folosit pentru a crea obiectul steganografic ce este public. Această metodă este totodată expusă riscului

detectării procesului steganografic. În cazul în care o persoană neautorizată obține accesul la amândouă obiectele, aceasta are posibilitatea de a observa existența a două structuri binare diferite. Dacă se apelează la folosirea imaginilor fractale ca și imagini steganografice este de preferat să se țină seama de profilul unui eventual atacator. În acest sens, nu este indicat să se trimită imagini fractale la persoane ce nu au mai primit astfel de imagini, deoarece acest lucru ar trezi suspiciuni.

Pentru ca un proces steganografic să fie realizat cu succes un rol important îl are alegerea unor algoritmi adecvați pentru ascunderea mesajului.

În acest sens algoritmi utilizați trebuie să îndeplinească mai multe caracteristici, cum ar fi: posibilitatea de a ascunde o cantitate cât mai mare de informații fără degradarea imaginii putătoare în mod vizibil, iar în cazul unui atac cu intenția de a distruge informația algoritmi trebuie să fie suficienți de robuști pentru a face față unor astfel de încercări.

De asemenea este foarte importantă și puterea de calcul, respectiv timpul de execuție al algoritmilor în timp real, resursele consumate, memoria necesară adițională.

Pentru testarea gradului de rezistență a informației ascunse în vederea obținerii unui model steganografic cât mai robust sunt necesare parcurgerea următoarelor etape:

1. Folosirea obiectelor de acoperire standard existente și crearea unor noi obiecte pentru testare. Contracurarea acestui obiectiv constă în utilizarea unor obiecte cât mai inofensive necunoscute eventualului atacator.
2. Încorporarea mesajelor secrete în obiectele de acoperire prin folosirea unor algoritmi care să permită un proces de ascundere cât mai eficient. În acest sens este de dorit implementarea unor algoritmi care să difere de cei clasici existenți.
3. Verificarea obiectelor steganografice rezultate în urma încorporării mesajului urmată de compararea obiectelor steganografice cu obiectele originale în vederea obținerii unor erori relative cât mai mici între ele.
4. Căutarea unor obiecte de ascundere adecvate mesajului încorporat astfel încât o terță persoană să nu poată sesiza prezența acestuia.
5. Generarea unor procedee de procesare a obiectelor de acoperire care să inducă în eroare un eventual atacator, dar care să nu afecteze mesajul ascuns.

În timpul realizării unor astfel de teste obiectele de acoperire, respectiv informațiile secrete pot trece prin trei tipuri de operații: conversie, procesare și extragerea mesajului.

Prin conversia obiectelor de acoperire se poate realiza transpunerea acestora dintr-un domeniu în alt domeniu (ex: din domeniul spațial în domeniul frecvență, vectorial sau chiar alt domeniu spațial).

Procesarea obiectelor constă în utilizarea diferitelor tehnici ce pot presupune introducerea zgomotului, comprimarea mesajului sau dispersarea lui în cadrul acestora într-un mod pseudoaleator prin utilizarea unor algoritmi specifici. Extragerea mesajului presupune aplicarea inversă a procesării și conversiei obiectelor steganografice pentru obținerea cu o fidelitate cât mai bună a mesajului ascuns. Un mesaj recuperat este considerat de bună calitate dacă eroarea relativă dintre el și mesajul inițial este mică.

Pentru optimizarea modelelor steganografice propun în continuare două soluții, dintre care una presupune prelucrarea obiectelor de acoperire înainte de

încorporarea informației secrete, iar a doua implică atât procesarea obiectelor de acoperire, cât și a mesajului ce urmează a fi ascuns.

## 6.7 Model bazat pe procesare

Pe baza modelelor prezentate în paragrafele anterioare dezvoltate în literatura de specialitate [ZOL98] și [CAH04] se poate desprinde concluzia că singura modalitate prin care un atacator poate ajunge la mesajul secret o constituie intervenția acestuia pe căile de comunicare. Din acest punct de vedere o posibilitate de a mări gradul de securizare a unui sistem steganografic o constituie protejarea informațiilor doar pe două căi:

- a) Procesarea informației
- b) Transmiterea informației

În obținerea obiectului steganografic un eventual atacator nu are nici un fel de acces, ceea ce permite ca în această etapă să fie generate diferite procedee ce-l pot induce în eroare și îi pot îngreuna încercările de a extrage sau a distruge informația ascunsă. Soluțiile alese constau în procesarea obiectelor de acoperire rezultând astfel alte obiecte total necunoscute unui eventual atacator, și/sau prelucrarea mesajului secret pentru a-l face neinteligibil în cazul unei detecții de către terțe persoane.

Transmiterea informației reprezintă calea de comunicare între emițător și receptor. Un eventual atacator ar putea avea acces doar la obiectul steganografic transmis. Pentru ca procesul steganografic să fie realizat cu succes este necesar ca obiectul steganografic să fie astfel obținut încât să nu trezească nici un fel de suspiciune.

Voi prezenta în continuare două modele steganografice bazate atât pe procesarea obiectelor de acoperire, cât și pe procesarea mesajului secret.

### 6.7.1 Procesarea obiectelor de acoperire: MPOA

#### 6.7.1.1 Descrierea modelului MPOA

Modelul MPOA presupune combinarea celor două obiective privind îmbunătățirea procesului de ascundere amintite mai sus folosind procesarea și transmiterea obiectelor de acoperire într-o așa manieră care să conducă din punct de vedere matematic și practic la creșterea gradului de securizare.

În figura 6.5 prezintă schematic modelul propus, iar în continuare voi descrie modalitatea de funcționare a acestuia.

În prima etapă se pleacă de la premisa că emițătorul are la dispoziție o mulțime de obiecte de acoperire originale  $C_R$  în vederea obținerii unui set de obiecte de acoperire  $C$  folosite ulterior în procesul steganografic.

În a doua etapă se prevede introducerea unei funcții de procesare  $f_p$  ce permite prelucrarea fiecărui obiect din setul dat  $C_R$  astfel încât să rezulte un set de

obiecte de acoperire  $C$ . Pentru a induce în eroare un eventual atacator emițătorul încorporează aleator informația secretă doar în câteva obiecte de acoperire, acestea devenind astfel obiecte steganografice  $S$ . Către receptor este trimis tot setul de obiecte de acoperire, respectiv atât cele care conțin informație secretă, cât și cele care nu conțin. Procedul de selecție este făcut cu ajutorul unui întrerupător „k” ce poate fi regăsit în figura 6.5.

În cazul în care întrerupătorul este pe „0”, emițătorul trimite doar obiectul de acoperire, care poate îndrepta atacatorul pe o pistă falsă. Din punct de vedere teoretic, acest obiect nu este considerat obiect steganografic, deoarece nu conține informație suplimentară.

Dacă întrerupătorul este pe „1” emițătorul trimite obiecte steganografice. Comanda întrerupătorului se va face după o funcție aleatoare cunoscută atât de emițător cât și de receptor.

Funcția de procesare poate fi realizată prin metode ce urmează un anumit algoritm, cunoscut de emițător, dar nu neapărat și de receptor, în funcție de posibilitățile de îmbunătățire a entropiei obiectului rezultat. S-a prezentat în subcapitolul 6.3 că în momentul în care se introduce informație suplimentară într-un anumit obiect de acoperire, crește gradul entropiei acestuia. Acest fapt, ar putea fi sesizat de către un eventual atacator, în cazul în care obiectul de acoperire nu a fost ales în mod corespunzător.

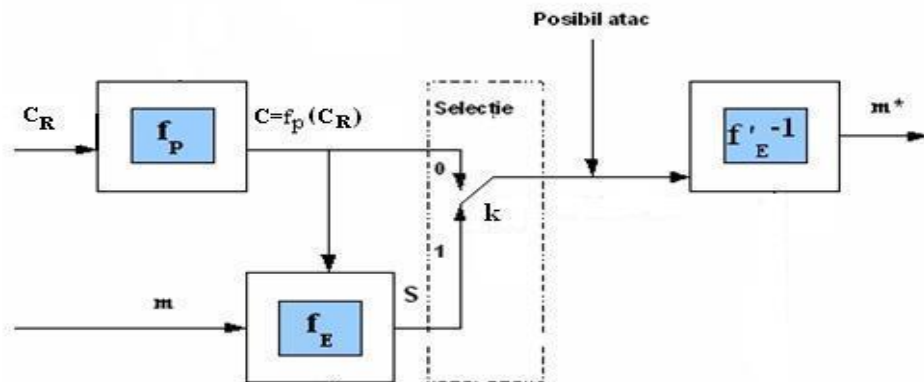


Figura 6.5. Model steganografic cu preprocesare directă și inversă a obiectului de acoperire

Modificările făcute cu ajutorul funcției de procesare vor urmări ca diferența dintre realizarea obiectului de acoperire original să nu difere prea mult de cea a obiectului rezultat în urma prelucrării. Așadar prin intermediul funcției de procesare  $f_p$ , se pot face diferite prelucrări, cum ar fi: eventuale zgomote, deplasarea informației binare spre valori mai mari sau mai mici, etc. Astfel de prelucrări apar de astă dată, la toate obiectele de acoperire rezultate, astfel încât crește gradul

entropiei în aceeași măsură la toate obiectele, nu doar la cel care urmează să aibă informație secretă. În acest fel, la un eventual atac este mai greu de detectat care obiect de acoperire din setul trimis ar putea conține mesajul ascuns. Condiția esențială este ca atacatorul să nu aibă acces la obiectul de ascundere original.

În a treia etapă urmează încorporarea mesajului secret în obiectul de acoperire ales prin intermediul funcției steganografice  $f_E$  și transmiterea de la emițător la receptor atât a obiectelor de acoperire rezultate în urma preprocesării, cât și a obiectului steganografic rezultat în urma încorporării informației secrete.

La receptor are loc extragerea mesajului secret, reprezentată în figura 6.5 prin funcția inversă  $f_E^{-1}$ , care poate fi alcătuită din funcția de preprocesare inversă  $f_p^{-1}$ , compusă cu funcția steganografică inversă  $f_E^{-1}$ . Compunerea celor două funcții are rolul de a recupera mesajul secret obținut la ieșire „ $m^*$ ” într-o formă cât mai apropiată de cel original.

Folosirea cheilor steganografice poate conduce la o îngreunare a descoperirii mesajului în cazul unui eventual atac. Se menționează faptul că în cazul steganografiei pure prezența unei chei de codare nu este obligatorie, dacă algoritmi de ascundere folosiți sunt bine aleși [KAT00].

În continuare voi încerca să demonstrez din punct de vedere matematic îmbunătățirile aduse prin modelul propus de mine mai sus în figura 6.5.

### 6.7.1.2 Demonstrarea teoretică a modelului MPOA

Conform [CAH04] un sistem steganografic este perfect sigur dacă este îndeplinită condiția:

$$D\left(\frac{P_C}{P_S}\right) = 0 \quad (6.11)$$

Unde  $P_C$  este distribuția de probabilitate a obiectului de acoperire  $C$ , iar  $P_S$  este distribuția de probabilitate a obiectului steganografic  $S$ .

De asemenea  $D\left(\frac{P_C}{P_S}\right)$  reprezintă entropia relativă sau discriminarea dintre două probabilități distribuite  $P_C, P_S$  și exprimă o măsură a diferenței dintre distribuțiile de probabilitate a obiectelor ce caracterizează procesul de ascundere. În [PET07] entropia relativă este dată de relația:

$$D\left(\frac{P_C}{P_S}\right) = \sum_{c \in C} P_C(c) \cdot \frac{\log(P_C(c))}{P_S(c)} \quad (6.12)$$

În situația în care  $D\left(\frac{P_C}{P_S}\right) = 0$  rezultă că nu există diferențe între cele două distribuții, ca atare cel ce dorește să intercepteze mesajul steganografiat nu poate face diferența dintre obiectul de acoperire  $C$  și obiectul steganografic  $S$ . În acest caz, atacatorul trebuie să analizeze toate obiectele trimise ( $S$  și  $C$ ) nefiind în stare să extragă în timp real mesajul ascuns în  $S$  printr-un algoritm polinomial.

Dacă între  $P_S$  și  $P_C$  există diferențe atunci cel ce dorește să extragă mesajul secret se poate concentra doar pe obiectele steganografice putând astfel desprinde mesajul ascuns în  $S$  într-un algoritm polinomial.

Deoarece o steganografie perfectă este greu de realizat în practică se caută o distribuție  $P_S$  care să nu difere prea mult de  $P_C$ . În această situație tot Cachin definește în [CAH04] o stenografiere  $\epsilon$ -securizată dacă:

$$D\left(\frac{P_C}{P_S}\right) \leq \epsilon \quad (6.13)$$

Cu cât  $\epsilon$  este mai mic cu atât va fi mai greu pentru cel ce interceptează obiectele trimise să facă deosebirea dintre  $C$  și  $S$  și astfel să reușească să desprindă mesajul ascuns în  $S$ .

Pornim de la presupunerea că avem la dispoziție un comutator  $k$  ce poate avea două stări:

$$k = \begin{cases} 0, & \text{dacă } c \in C_0 \\ 1, & \text{dacă } c \in C_1 \end{cases} \quad (6.14)$$

unde alfabetul  $C$  se scrie ca:

$$C = C_0 \oplus C_1 \quad (6.15)$$

adică  $C_0$  și  $C_1$  reprezintă o partiție a lui  $C$ :

$$C_0 \cup C_1 = C, \text{ respectiv } C_0 \cap C_1 = \emptyset$$

(6.16)

Conform [CAH04], în cazul descris mai sus o stenografie este  $\epsilon$ -securizată pentru:

$$\epsilon = \frac{\delta^2}{\ln 2} \quad (6.17)$$

unde :

$$\delta = P_T[c \in C_0] - P_T[c \in C_1]$$

(6.18)

În relația (6.18)  $\delta > 0$  deoarece  $P_T[c \in C_0] > P_T[c \in C_1]$  altfel ar exista diferențe mari între  $P_S$  și  $P_C$ .

Toate acestea sunt demonstrate pornind de la relația:

$$P_S(c) = \begin{cases} \frac{P_C(c)}{1 + \delta}, & \text{dacă } c \in C_0 \\ \frac{P_C(c)}{1 - \delta}, & \text{dacă } c \in C_1 \end{cases} \quad (6.19)$$

Care rezultă din partiționarea lui  $C = C_0 \oplus C_1$

Pe baza probabilității totale [PET07]:

$$P(A) = \sum_{i \in I} P(A_i) \cdot P\left(\frac{A}{A_i}\right) \quad (6.20)$$

și a probabilității condiționate:

$$P\left(\frac{A}{B}\right) = \frac{P(A \cap B)}{P(B)} \quad \text{sau} \quad P(A \cap B) = P\left(\frac{A}{B}\right)P(B) \quad (6.21)$$

Într-adevăr avem:

$$P_r[S = c] \cong P_r\left[S = \frac{c}{c \in C_0}\right] \cdot P_r[c \in C_0] + P_r\left[S = \frac{c}{c \in C_1}\right] \cdot P_r[c \in C_1]$$

(6.22)

Dar,

$$P_r\left[S = \frac{c}{c \in C_0}\right] = P_r\left[C = \frac{c}{c \in C_0 \text{ sau } c \notin C_1}\right] = \frac{P_r[C = c \text{ si } (c \in C_0 \text{ sau } c \in C_1)]}{P_r[c \in C_0 \text{ sau } c \in C_1]} = \frac{P_r[C = c]}{1 + \delta}$$

(6.23)

Dacă  $c \in C_0$ , pentru că:

$$\begin{aligned} 1 + \delta &= 1 + P_r[c \in C_0] - P_r[c \in C_1] = P_r[c \in C_0] + 1 - P_r[c \in C_1] \\ &= P_r[c \in C_0] + P_r[c \notin C_1] = P_r[c \in C_0 \text{ sau } c \notin C_1] \end{aligned}$$

(6.24)

Analog:

$$P_r\left[S = \frac{c}{c \in C_1}\right] = P_r\left[C = \frac{c}{c \in C_1 \text{ sau } c \notin C_0}\right] = \frac{P_r[C = c \text{ si } (c \in C_1 \text{ sau } c \in C_0)]}{P_r[c \in C_1 \text{ sau } c \in C_0]} = \frac{P_r[C = c]}{1 - \delta}$$

(6.25)

Dacă  $c \in C_1$  pentru că:

$$\begin{aligned} 1 - \delta &= 1 - P_r[c \in C_0] + P_r[c \in C_1] = P_r[c \notin C_0] + P_r[c \in C_1] \\ &= P_r[c \in C_1 \text{ sau } c \notin C_0] \end{aligned}$$

(6.26)

Iar,

$$P_r[c \in C_1] = \begin{cases} 0, & \text{dacă } c \in C_0 \\ 1, & \text{dacă } c \in C_1 \end{cases}$$

(6.27)

$$P_r[c \in C_0] = \begin{cases} 0, & \text{dacă } c \in C_1 \\ 1, & \text{dacă } c \in C_0 \end{cases}$$

(6.28)

Din cele prezentate în [ZOL98] anterior se remarcă faptul că sistemele steganografice nu pot fi sigure în cazul în care un atacator cunoaște  $C$  și  $S$ , adică are posibilitatea să compare două obiecte de aceeași natură ce par identice, dar care totuși conțin informații diferite. Pentru a găsi o soluție la această problemă, autorii introduc un grad de incertitudine la unul din obiecte  $C$  pentru a deruta atacatorul, deoarece de astă dată va compara un obiect ce conține informație  $S$  cu un obiect pe care nu îl cunoaște  $C$ , ci doar își imaginează cum ar putea arăta. Ca să poată fi realizată această analiză se recurge la cercetarea comportării unui parametru, numit entropie, ce caracterizează ambele elemente supuse comparației de către atacator: incertitudinea și informația.

Un exemplu în acest sens îl constituie realizarea unei poze și alegerea acesteia ca mediu purtător pentru ascunderea unei informații secrete. Așadar se stabilește sursa, adică imaginea care urmează a fi captată și se transformă în poză cu ajutorul unui aparat foto urmând un proces de prelucrare specific acestuia. Poza astfel obținută constituie obiectul de acoperire  $C$  în care se încorporează în continuare un mesaj secret și devine astfel obiect steganografic  $S$  care este trimis la vedere pe un canal nesecurizat. În momentul în care este interceptat de un observator sau atacator, acesta recunoaște practic Sursa, adică imaginea ce a fost fotografiată, dar nu are acces direct la poza originală  $C$ , ce a fost obținută imediat în urma captării, fapt care induce o incertitudine asupra acestui element. Neavând obiectul de acoperire original nu are termen de comparație cu ce are la vedere, și anume obiectul steganografic  $S$  și astfel nu poate depista mesajul secret.



Pentru a obține obiectul original în care a fost ascunsă informația atacatorul poate apela la diferite metode. În primul rând ar putea încerca să identifice locul unde a fost făcută poza cu scopul de a face poze similare ca să poată compara cu  $S$ . Se poate presupune că ar obține acces chiar la aparatul foto cu ajutorul căruia a fost făcută poza. Acesta are în interiorul său un senzor de captare format din circuite CMOS sau CCD, care sunt mai mult sau mai puțin sensibile la temperatură. Datorită faptului că temperatura este un factor ce nu poate fi controlat cu mare precizie, în cazul în care atacatorul hotărăște să facă 10 poze consecutive pentru testare va constata că acestea vor diferi puțin una față de cealaltă. Existând această diferență între ele, poate trage concluzia că și poza steganografică „ $S$ ” interceptată este normal să fie puțin diferită. Dacă ar exista situația ca toate cele 10 poze să fie identice și doar cea steganografică să difere ar putea bănuși cu ușurință că e vorba de mesaj ascuns în ea.

În concluzie, se poate spune că indiferent câte încercări ar face atacatorul pentru a obține obiectul de acoperire original  $C$ , dacă aceste încercări vor diferi între ele datorită factorilor externi ce apar și nu pot fi controlați de acesta, atunci faptul că obiectul steganografic  $S$  este și el diferit, nu dă de bănușit. În caz contrar, dacă toate încercările atacatorului ar avea rezultate identice și doar obiectul steganografic  $S$  diferă, l-ar face să se gândească la posibilitatea existenței unui mesaj ascuns.

Ca atare, modelul propus de Zollner presupune alegerea unui obiect de acoperire necunoscut unui eventual atacator. Acesta este supus în prealabil unui proces de preprocesare ce presupune fie folosirea unor echipamente diferite de achiziție și digitizare a lui, fie realizarea unor prelucrări asupra sa. Odată ales, obiectul de acoperire este utilizat în obținerea obiectului steganografic. În [ZOL98] nu se demonstrează matematic că modelul steganografic propus are siguranță sporită.

Modelul propus în [CAH04] constă în alegerea unui set de obiecte de acoperire în care doar unele sunt folosite la realizarea obiectului steganografic. La receptor se trimit atât obiecte de acoperire cât și obiecte steganografice.

Modelul propus de mine constă în alegerea unui set de obiecte de acoperire ce urmează a fi prelucrate individual urmând ca doar o parte dintre acestea să fie utilizate ca și obiecte steganografice. În cele ce urmează voi demonstra matematic că introducerea unei funcții de procesare asupra obiectelor de acoperire poate conduce la creșterea gradului de securitate a unui sistem steganografic.

În acest sens în modelul propus în figura 6.5 aplic pentru fiecare obiect de acoperire ales o funcție de procesare care să genereze o mărime  $\varepsilon$  de o valoare mai mică decât cea obținută în Teorema 2 de către Cachin în [CAH04]. Noua valoare a lui  $\varepsilon$  va fi estimată atât printr-o demonstrație matematică, cât și pe baza unor experimente.

Dacă presupunem că funcția de procesare aleasă este de forma:

$$f_p(x) = a \cdot x, \text{ unde } a > 1 \quad (6.29)$$

Cu ajutorul acestei funcții se va genera setul de obiecte de acoperire  $C$  obținute din setul inițial  $C_R$ , în următorul mod:

$$C = f_p(C_R) \quad (6.30)$$

În urma procesării voi demonstra că:

$$\varepsilon = \frac{1}{a^2} \cdot \frac{\delta^2}{\ln 2} \quad (6.31)$$

Mărima  $\varepsilon$  obținută este mai mică decât  $\varepsilon$  rezultat în [CAH04].

Pentru a demonstra afirmația exprimată de relația (6.31) se pleacă de la Teorema 1 și Teorema 2 din [CAH04], conform căreia:

$$D\left(\frac{P_C}{P_S}\right) \leq D\left(\frac{P_{C_R}}{P_S}\right) \leq \frac{\delta^2}{\ln 2} \quad (6.32)$$

Însă,

$$D\left(\frac{P_C}{P_S}\right) = \sum_{c \in C} P_C(c) \cdot \frac{\log(P_C(c))}{P_S(c)} \quad (6.33)$$

Pe de altă parte se poate face o schimbare de variabilă astfel că relația (6.33) poate fi exprimată în funcție de noua variabilă:

$$D\left(\frac{P_C}{P_S}\right) = \sum_{d \in C} P_C(d) \cdot \frac{\log(P_C(d))}{P_S(d)} \quad (6.34)$$

Dar,

$$P_S(d) = \begin{cases} \frac{P_C(d)}{1 + \delta} & , \quad \text{dacă } d \in C_0 \\ \frac{P_C(d)}{1 - \delta} & , \quad \text{dacă } d \in C_1 \end{cases} \quad (6.35)$$

Unde:

$$\delta = P_C[d \in C_0] - P_C[d \in C_1] \quad (6.36)$$

Deci:

$$D\left(\frac{P_C}{P_S}\right) = \sum_{d \in C_0} P_C(d) \cdot \log(1 + \delta) + \sum_{d \in C_1} P_C(d) \cdot \log(1 - \delta) \quad (6.37)$$

Dacă:

$$C = f_p(C_R)$$

Atunci, conform [CIU71]:

$$P_C(d) = \left| \frac{1}{f_p'(f_p^{-1}(d))} \right| \cdot P_{C_R}(f_p^{-1}(d)) \quad (6.38)$$

Dacă:

$$f_p(x) = a \cdot x \quad \Rightarrow \quad \begin{cases} f_p^{-1}(x) = \frac{x}{a} \\ f_p'(x) = a \end{cases} \quad (6.39)$$

În continuare se adoptă următoarea notație:

$$f_p^{-1}(d) = \frac{d}{a} = c \quad (6.40)$$

Unde  $d \in C$ , ceea ce implică:

$$c \in C_a = \frac{1}{a} C \quad (6.41)$$

În cazul nostru mulțimea  $C$  constituie mulțimea pixelilor dintr-o imagine. În mod identic și  $C_a$  reprezintă tot o mulțime a pixelilor, dar scalată cu valoarea  $a$ . Astfel din relațiile (6.37, 6.38) rezultă:

$$\begin{aligned} D\left(\frac{P_C}{P_S}\right) &= \frac{1}{a} \cdot \sum_{d \in C_0} P_{C_R}\left(\frac{d}{a}\right) \cdot \log(1 + \delta) + \frac{1}{a} \cdot \sum_{d \in C_1} P_{C_R}\left(\frac{d}{a}\right) \cdot \log(1 - \delta) = \\ &= \frac{1}{a} \cdot \sum_{c \in C_0} \frac{1}{a} P_{C_R}(c) \cdot \log(1 + \delta) + \frac{1}{a} \cdot \sum_{c \in C_1} \frac{1}{a} P_{C_R}(c) \cdot \log(1 - \delta) = \\ &= \frac{1}{a^2} \cdot \sum_{c \in C_0} P_{C_R}(c) \cdot \log(1 + \delta) + \frac{1}{a^2} \cdot \sum_{c \in C_1} P_{C_R}(c) \cdot \log(1 - \delta) \end{aligned} \quad (6.42)$$

Cum:

$$\log(1 + x) \leq \frac{x}{\ln 2} \quad (6.43)$$

Iar:

$$\sum_{c \in C_0} P_{C_R}(c) = \frac{1 + \delta}{2} \quad (6.44)$$

$$\sum_{c \in C_1} P_{C_R}(c) = \frac{1 - \delta}{2} \quad (6.45)$$

Știm că:

$$\sum_{c \in C} P_{C_R}(c) = 1 \quad (6.46)$$

deoarece  $P_{C_R}$  este o distribuție.

Rezultă:

$$\begin{aligned} D\left(\frac{P_C}{P_S}\right) &= \frac{1}{a^2} \sum_{c \in C_0} P_{C_R}(c) \cdot \log(1 + \delta) + \frac{1}{a^2} \sum_{c \in C_1} P_{C_R}(c) \cdot \log(1 - \delta) = \\ &= \frac{1}{a^2 \left[ \frac{1 + \delta}{2} \log(1 + \delta) + \frac{1 - \delta}{2} \log(1 - \delta) \right]} \end{aligned} \quad (6.47)$$

Pe baza relației (6.43), relația (6.47) devine:

$$D\left(\frac{P_C}{P_S}\right) \leq \frac{1}{a^2 \left( \frac{1 + \delta}{2} \cdot \frac{\delta}{\ln 2} + \frac{1 - \delta}{2} \cdot \frac{-\delta}{\ln 2} \right)} = \frac{1}{a^2 \ln 2} \delta^2 \quad (6.48)$$

Pe de altă parte:

$$D\left(\frac{P_{C_R}}{P_S}\right) = \log(1 + \delta) \cdot \sum_{c \in C_0} P_{C_R}(c) + \log(1 - \delta) \cdot \sum_{c \in C_1} P_{C_R}(c) \quad (6.49)$$

Iar:

$$\delta = P_{C_R}(c \in C_0) - P_{C_R}(c \in C_1) \quad (6.50)$$

$$\begin{aligned} 1 + \delta &= P_{C_R}(c \in C_0) + 1 - P_{C_R}(c \in C_1) = \\ &= P_{C_R}(c \in C_0) + P_{C_R}(c \in C_1) \end{aligned} \quad (6.51)$$

Dacă  $|C_0| = |C_1|$ , atunci

$$\sum_{c \in C_0} P_{C_R}(c) = \sum_{c \in C_1} P_{C_R}(c) = \frac{1}{2} \quad (6.52)$$

Pentru că:

$$\sum_{c \in C} P_{C_R}(c) = 1$$

Rezultă:

$$\begin{aligned} D\left(\frac{P_{C_R}}{P_S}\right) &= \frac{1 + \delta}{2} \log(1 + \delta) + \frac{1 - \delta}{2} \log(1 - \delta) \leq \frac{1 + \delta}{2} \cdot \frac{\delta}{\ln 2} + \frac{1 - \delta}{2} \cdot \frac{-\delta}{\ln 2} = \\ &= \delta^2 / \ln 2 \end{aligned} \quad (6.53)$$

În final se poate constata că:

$$\frac{D\left(\frac{P_C}{P_S}\right)}{D\left(\frac{P_{C_R}}{P_S}\right)} = \frac{1}{a^2}$$

(6.54)

Unde  $a > 1$ .

Pe baza celor demonstrate mai sus rezultă că o prelucrare a obiectelor de

acoperire cu un coeficient de forma  $\frac{1}{a^2}$  unde  $a > 1$  conduce la micșorarea entropiei relative dintre distribuțiile obiectului steganografic rezultat și obiectul de acoperire folosit ca suport.

Ca urmare, modelul propus permite o îmbunătățire a siguranței sistemelor steganografice pe baza a trei principii: generarea unui set de obiecte de acoperire cunoscute de către emițător și nu neapărat și de receptor, procesarea individuală a acestora și alegerea în mod aleator a unui sau mai multe obiecte de acoperire în care urmează să fie încorporate mesaje secrete. Pentru a veni în sprijinul informațiilor ascunse de către receptor este de dorit ca acesta să fie informat asupra modalității de alegere a obiectelor de acoperire folosite ca obiecte steganografice.

Dacă această informație lipsește receptorul va trebui să aplice funcția inversă de decodare  $f_E^{-1}$  pentru întregul set de obiecte primite, ceea ce ar mări timpul de recuperare al mesajului. Este posibil totodată ca mai multe mesaje recuperate să aibă o anumită semnificație putând induce în eroare astfel receptorul. Pentru a elimina astfel de situații o soluție ar fi ca receptorul să cunoască funcția după care este ales obiectul de acoperire în procesul steganografic.

### 6.7.1.3 Verificarea experimentală a modelului MPOA

Pentru validarea modelului am făcut o serie de experimente bazându-mă pe algoritmul *ASAC* descris în capitolul 9. În cadrul experimentelor am încorporat mesaje secrete exprimate sub forma unor imagini color în obiecte de acoperire reprezentate de asemenea sub formă de imagini color. Am utilizat imagini de dimensiuni și tipologii diferite, cât și modalități de ascundere în cei mai puțini semnificativi 1, 2, respectiv 4 biți ai obiectului de acoperire.

Asupra acestuia am efectuat o serie de prelucrări relativ simple în concordanță cu rezultatele teoretice menționate mai sus. În acest sens am efectuat o deplasare a fiecărui pixel cu diferiți pași spre culoarea negru, respectiv alb. Rezultatele acestor prelucrări sunt prezentate în tabelele 6.1, 6.2 și 6.3.

În cele 3 tabele pe primele două coloane se prezintă denumirea obiectului de acoperire și dimensiunea exprimată în pixeli, pe următoarele două coloane se exprimă același lucru pentru mesajul secret, în următoarele cinci coloane exprim erorile obținute între obiectul de acoperire și obiectul steganografic pentru cinci cazuri distincte: eroarea exprimată în cazul unei deplasări a pixelului spre valoarea negru cu 10, 6 unități, obiectul de acoperire fără nici o prelucrare, respectiv deplasarea fiecărui pixel a obiectului de acoperire cu 6, 10 unități spre valoarea alb. În ultima coloană am exprimat în procente îmbunătățirea erorii relative dintre obiectul de acoperire și obiectul steganografic obținută în urma prelucrării.

Se poate constata în urma analizării rezultatelor obținute că o procesare a obiectului de acoperire duce la micșorarea erorii relative dintre obiectul de acoperire și obiectul steganografic, adică rezultatele acestei prelucrări conduc la obținerea unui obiect steganografic superior în cazul în care procesarea nu ar fi avut loc.

Tabel 6.1. Procesare obiect de acoperire.

Experimente efectuate cu algoritmul steganografic *ASAC* pe 1 bit

Nr. Crt	Obiect de acoperire		Mesaj secret		Prelucrare obiect de acoperire					
	Nume	Dimensiune (pixeli)	Nume	Dimensiune (pixeli)	$\varepsilon_{la-10}$	$\varepsilon_{la-6}$	$\varepsilon_{la0}$	$\varepsilon_{la+6}$	$\varepsilon_{la+10}$	%
1	lena	256x256	firefox	128x128	0,19735	0,19744	0,19745	0,19760	0,19778	2,17
2	Aquaria	256x256	firefox	128x128	0,19558	0,19611	0,19657	0,19652	0,19664	5,42
3	dogs	640x480	wildflowers	200x135	0,19510	0,19530	0,19592	0,19595	0,19605	4,86
4	dogs	640x480	watch	200x135	0,19506	0,19545	0,19617	0,19637	0,19689	9,38
5	fruit	512x512	lena	256x256	0,19428	0,19460	0,19557	0,19635	0,19664	1,21
6	fruit	512x512	Aquaria	256x256	0,19413	0,19452	0,19554	0,19635	0,19670	1,32
7	Lena512	512x512	Aquaria	256x256	0,19630	0,19631	0,19631	0,19638	0,19646	0,08
8	Lena512	512x512	lena	256x256	0,19619	0,19620	0,19620	0,19625	0,19628	0,04
9	building	640x480	wildflowers	200x135	0,18922	0,19062	0,19504	0,19772	0,19850	4,10
10	building	640x480	watch	200x130	0,18731	0,18930	0,19586	0,20201	0,20422	9,02
11	Alicia	1024x1024	Lena512	512x512	0,19419	0,19505	0,19576	0,19576	0,19576	0,8
12	Alicia	1024x1024	fruit	512x512	0,19102	0,19402	0,19566	0,19566	0,19566	2,4
13	Alicia	1024x1024	dogs	640x480	0,19081	0,19384	0,19565	0,19565	0,19565	2,5
14	car	1024x1036	dogs	640x480	0,19457	0,19459	0,19459	0,19461	0,19461	0,02
15	car	1024x1036	fruit	512x512	0,19400	0,19402	0,19402	0,19402	0,19403	0,015
16	car	1024x1036	Lena512	512x512	0,19638	0,19639	0,19639	0,19639	0,19640	0,01
17	football	1600x1200	building	640x480	0,19305	0,19416	0,19574	0,19629	0,19641	1,74
18	football	1600x1200	hawk	800x600	0,19301	0,19426	0,19590	0,19646	0,19660	1,86
19	football	1600x1200	sphinx	800x600	0,19435	0,19493	0,19583	0,19609	0,19617	0,9
20	fish	1600x1200	building	640x480	0,19373	0,19454	0,19559	0,19575	0,19586	1,1
21	fish	1600x1200	hawk	800x600	0,19353	0,19437	0,19552	0,19568	0,19580	1,17
22	fish	1600x1200	sphinx	800x600	0,19497	0,19538	0,19585	0,19591	0,19596	0,5

Tabel 6.2. Procesare obiect de acoperire.

Experimente efectuate cu algoritmul steganografic *ASAC* pe 2 biți

Nr. Crt	Obiect de acoperire		Mesaj secret		Prelucrare obiect de acoperire					
	Nume	Dimensiune (pixeli)	Nume	Dimensiune (pixeli)	$\varepsilon_{la-10}$	$\varepsilon_{la-6}$	$\varepsilon_{la0}$	$\varepsilon_{la+6}$	$\varepsilon_{la+10}$	%
1	lena	256x256	merlin	128x128	0,54283	0,54341	0,54516	0,54465	0,54605	0,59
2	Lena	256x256	firefox	128x128	0,54657	0,54734	0,54914	0,54873	0,55023	0,53
3	Aquaria	256x256	firefox	128x128	0,54226	0,54432	0,54822	0,55144	0,55219	1,83
4	Aquaria	256x256	merlin	128x128	0,53958	0,54173	0,54277	0,54904	0,54979	1,89
5	Aquaria	256x256	watch	200x135	0,51725	0,51843	0,52248	0,52335	0,52403	1,31
6	Lena	256x256	watch	200x135	0,52042	0,52071	0,52238	0,52155	0,52341	0,57
7	Lena512	512x512	Aquaria	256x256	0,55789	0,55791	0,55757	0,55833	0,55864	0,13
8	fruit	512x512	lena	256x256	0,56109	0,54215	0,54268	0,56330	0,56588	4,58
9	fruit	512x512	Aquaria	256x256	0,56718	0,54826	0,56248	0,57653	0,57993	5,77
10	sphinx	800x600	fruit	512x512	0,50414	0,50415	0,52086	0,53481	0,53739	8,57
11	hawk	800x600	fruit	512x512	0,51281	0,51281	0,51001	0,51974	0,52670	2,70
12	Alicia	1024x1024	hawk	800x600	0,51574	0,53007	0,53995	0,54134	0,54134	4,96
13	Alicia	1024x1024	sphinx	800x600	0,51144	0,52137	0,52615	0,52680	0,52680	3,00
14	car	1024x1036	hawk	800x600	0,53980	0,53995	0,53938	0,56009	0,54019	0,07
15	car	1024x1036	sphinx	800x600	0,52675	0,52677	0,52362	0,52679	0,52683	0,02
16	fish	1600x1200	Alicia	1024x1024	0,54490	0,54790	0,55266	0,55661	0,55705	2,22
17	football	1600x1200	Alicia	1024x1024	0,54110	0,54497	0,55655	0,56314	0,56442	4,30
18	football	1600x1200	car	1024x1036	0,52558	0,52844	0,53536	0,53898	0,53951	2,65

Tabel 6.3. Procesare obiect de acoperire.

Experimente efectuate cu algoritmul steganografic *ASAC* pe 4 biți

Nr. Crt	Obiect de acoperire		Mesaj secret		Prelucrare obiect de acoperire					
	Nume	Dimensiune (pixeli)	Nume	Dimensiune (pixeli)	$\epsilon la - 10$	$\epsilon la - 6$	$\epsilon la 0$	$\epsilon la + 6$	$\epsilon la + 10$	%
1	merlin	128x128	firefox	128x128	2,20065	2,21202	2,23028	2,21129	2,21925	0,85
2	Wildflowes	200x135	watch	200x135	2,11924	2,10974	2,10306	2,09935	2,16363	2,09
3	Lena	256x256	Aquaria	256x256	2,34364	2,37548	2,43198	2,35479	2,39349	2,12
4	Aquaria	256x256	lena	256x256	2,19141	2,23095	2,23256	2,211317	2,25572	2,93
5	Lena512	512x512	Fruit	512x512	2,22543	2,26987	2,27184	2,22689	2,27292	2,13
6	building	640x480	Dogs	640x480	2,36194	2,36677	2,47886	2,55992	2,60113	10,12
7	sphinx	800x600	Hawk	800x600	2,41660	2,44265	2,65467	2,72818	2,74720	13,68
8	hawk	800x600	Sphinx	800x600	2,34786	2,32531	2,28728	2,41975	2,48425	5,80
9	Alicia	1024x1024	Car	1024x1036	2,36585	2,39247	2,41650	2,53694	2,47603	4,65
10	car	1024x1036	Alicia	1024x1024	2,64180	2,75105	2,55188	2,64529	2,75354	4,22
11	fish	1600x1200	football	1600x1200	2,32144	2,32860	2,35385	2,36267	2,36583	1,91

Menționez că deplasarea pixelilor spre culoarea negru (întunecarea imaginii) conduce la obținerea unor erori relative mai mici pentru toate cazurile analizate. Aceste rezultate s-au obținut în mod asemănător atât în cazul în care ascunderea realizată cu algoritmul *ASAC* s-a făcut pe 1 bit (tabelul 6.1), pe 2 biți (tabelul 6.2), cât și în cazul ascunderii pe 4 biți (tabelul 6.3). Din analiza rezultatelor obținute în urma procesării obiectului de ascundere se poate constata o îmbunătățire a erorii relative de până la 13, 68%. Sigur, sunt experimente la care îmbunătățirea erorii este nesemnificativă, însă în această situație se constată că obiectul de acoperire prezintă zone mari având aceeași culoare (spre exemplu un fundal). Din această constatare putem face afirmația fără a greși că astfel de obiecte de acoperire nu sunt indicate a fi utilizate în steganografie.

În figura 6.6 se prezintă un exemplu de prelucrare a obiectului steganografic prin deplasarea pixelilor acestuia spre negru (figura 6.6.b), respectiv alb (figura 6.6.c) comparativ cu situația în care obiectul de ascundere nu este prelucrat. Menționez că în urma prelucrărilor obiectelor de acoperire pot exista și rezultate superioare celor menționate anterior, așa cum am prezentat mai sus.



a)Obiect de acoperire neprelucrat

Obiect steganografic

b) Obiect de acoperire  
cu deplasare spre negru

Obiect steganografic

c) Obiect de acoperire  
cu deplasare spre alb

Obiect steganografic

Figura 6.6 Exemplu de prelucrare a obiectului de ascundere

Se constată că diferența dintre obiectul de acoperire și obiectul steganografic este nesensibilă în toate cele trei cazuri, dar din punctul de vedere al erorii relative dintre obiectul de acoperire și obiectul steganografic, valorile cele mai bune se obțin în cazul deplasării spre negru cu o îmbunătățire de 2% (pentru acest exemplu). Rezultatele experimentale sunt prezentate și în tabelul 6.3, linia 2. Procesarea obiectelor de acoperire și a mesajelor secrete: MPOAM

#### 6.7.1.4 Descrierea modelului MPOAM

Așa cum s-a văzut în paragraful anterior o prelucrare a obiectelor de acoperire conduce atât din punct de vedere teoretic, cât și experimental la creșterea siguranței sistemelor steganografice deoarece este introdus un grad de nedeterminare în plus. În acest sens un eventual atacator este obligat să identifice și funcția de procesare a obiectelor de acoperire pentru a extrage mesajul ascuns.

De asemenea se constată că procesul de prelucrare a fiecărui pixel așa cum s-a arătat mai sus, conduce la micșorarea entropiei relative dintre cele două distribuții de probabilitate ale obiectului de acoperire și obiectului steganografic rezultat. Acest aspect implică obținerea unui sistem steganografic mai sigur.

Pe baza observațiilor de mai sus și având în vedere că mesajul secret nu este cunoscut de către un eventual atacator conduce logic la ideea că o prelucrare asupra mesajului va micșora și mai mult entropia relativă dintre cele două distribuții. Modul de



prelucrare poate avea un grad foarte mare de flexibilitate depinzând numai și numai de ingeniozitatea și posibilitățile de prelucrare ale emițătorului.

Plecând de la aceste idei, propun în continuare un al doilea model care prevede pe lângă procesarea obiectelor de acoperire, aplicarea unei funcții de procesare și asupra mesajului original.

Modelul dezvoltat în figura 6.7 prezintă un grad ridicat de securitate prin faptul că există o procesare atât la nivelul obiectelor de acoperire, reprezentată prin funcția,  $f_p$ , cât și la nivelul mesajului original, reprezentată prin funcția  $f_m$ .

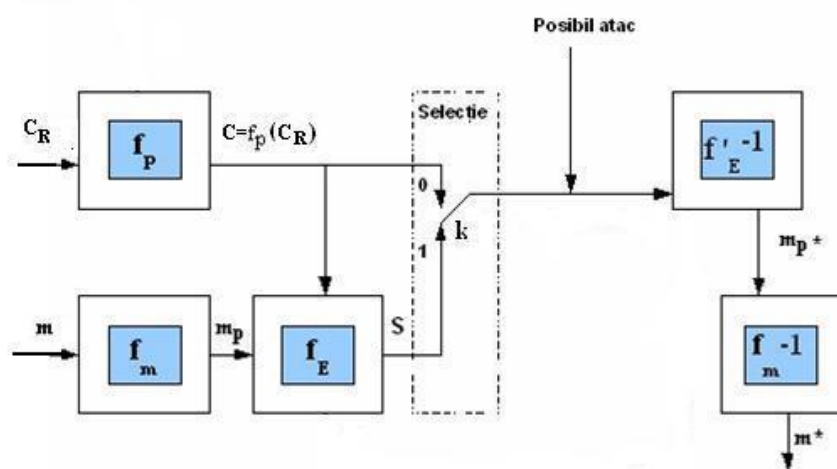


Figura 6.7. Model steganografic cu procesarea obiectului de acoperire și a mesajului secret

Funcția de procesare aplicată obiectelor de acoperire este diferită de funcția de procesare aplicată mesajului secret.

Datorită faptului că acesta este invizibil și prelucrările efectuate asupra sa pot fi mai complexe spre deosebire de cele aplicate asupra obiectelor de acoperire, care sunt trimise la vedere și supuse direct unui eventual atac.

Un prim exemplu posibil de prelucrare a informației secrete ar fi împărțirea acestora în diferite cadrane, după care poate urma amestecarea acestora, astfel încât entropia fiecărui cadran să fie cât mai apropiată de cea a cadranelor din imagine. În felul acesta, vor putea crește posibilitățile de îndeplinire a condițiilor necesare în vederea realizării unui proces steganografic cât mai sigur [STA07a].

A doua modalitate de prelucrare a mesajului secret ar fi utilizarea unei funcții  $f_m$ , de procesare directă a acestuia, urmată de încorporarea ulterioară a informației astfel procesate,  $m_p$  în obiectul de acoperire. Funcția de procesare se va alege de așa manieră încât entropia relativă dintre distribuțiile de probabilitate dintre obiectele de acoperire și cele steganografice să conducă la o eroare relativă cât mai mică.

O astfel de soluție a condus la obținerea unor rezultate foarte bune în special prin scăderea erorii relative dintre mesajul original și mesajul recuperat la receptor, așa cum se va vedea în continuare.

A treia modalitate ar consta în distribuirea modului de încorporare a mesajului secret pe baza unor funcții pseudoaleatoare ce pot fi considerate ca o cheie suplimentară pentru protecția datelor. Această abordare va fi exemplificată în capitolul 9.

Etapă de extragere a mesajului secret este reprezentată în figura 6.7 de funcția  $f_E^{-1}$ , ce realizează un proces de prelucrare inversă, în care într-o primă etapă, funcția steganografică inversă  $f_E^{-1}$  compusă cu eventuala funcție de procesare a obiectului de acoperire,  $f_p^{-1}$  vor genera atât obiectul de acoperire folosit, cât și mesajul secret  $m_p^*$ , ce se găsește într-o fază deocamdată imperceptibilă receptorului, pentru că nu este încă procesat. Mesajul secret  $m^*$  va rezulta în urma prelucrării funcției inverse  $f_m^{-1}$ . Menționez că algoritmul folosit pentru procesarea mesajului va fi cunoscut atât de emițător, cât și de receptor.

### 6.7.1.5 Verificarea experimentală a modelului MPOAM

Mesajul secret este singurul obiect al modelului steganografic care nu trebuie să fie descoperit de către un eventual atacator atât în procesul de transmitere, cât și în timpul procesului de recuperare al lui. Din acest motiv este de presupus că asupra mesajului secret se pot efectua o serie de operații care să conducă la îngreunarea eventualei recuperări a lui de către terțe persoane. În situația prezentă privind modelul prezentat mai sus îmi propun să demonstrez că o prelucrare asupra mesajului secret poate conduce la îmbunătățirea erorii de recuperare a acestuia de către receptor în cazul aplicării algoritmului de recuperare. În acest sens folosindu-mă de același algoritm *ASAC* am efectuat o serie de prelucrări asupra mesajului secret ce a fost încorporat în obiectul de acoperire asupra căruia nu am efectuat de astă dată nici un fel de procesare.

Rezultatul prelucrării mesajului secret se prezintă în tabelele 6.4, 6.5 și 6.6. Semnificația coloanelor din aceste tabele este asemănătoare cu cele arătate în tabelele anterioare, cu singura observație că de data aceasta prelucrările s-au făcut asupra mesajelor secrete prin deplasarea pixelilor acestora spre negru (întunecarea imaginii) ținând cont de rezultatele obținute în paragraful anterior.

Tabel 6.4

Procesare mesaj. Experimente efectuate cu algoritmul steganografic *ASAC* pe 1 bit

Nr. Crt	Obiect de acoperire		Mesaj secret		Prelucrare obiect de acoperire			
	Nume	Dimensiune (pixeli)	Nume	Dimensiune (pixeli)	$\varepsilon_{la-0}$	$\varepsilon_{la-10}$	$\varepsilon_{la-20}$	%
1	lena	256x256	firefox	128x128	5,27817	5,14270	4,45639	18,44
2	Aquaria	256x256	firefox	128x128	5,27817	5,14270	4,45639	18,44
3	dogs	640x480	wildflowers	200x135	1,33722	1,11358	1,00878	32,55
4	dogs	640x480	watch	200x135	0,77849	0,67695	0,63560	22,48
5	fruit	512x512	lena	256x256	3,29353	3,12670	2,82671	16,51
6	fruit	512x512	Aquaria	256x256	1,69496	1,68684	1,57271	7,77
7	Lena512	512x512	Aquaria	256x256	1,69496	1,68684	1,57271	7,77
8	Lena512	512x512	lena	256x256	3,29353	3,12670	2,82671	16,51
9	building	640x480	wildflowers	200x135	1,33722	1,11358	1,00878	32,55
10	building	640x480	watch	200x130	0,77849	0,67695	0,63560	22,48
11	Alicia	1024x1024	Lena512	512x512	1,69670	1,58939	1,48997	13,87
12	Alicia	1024x1024	fruit	512x512	1,42178	1,38428	1,32253	7,50
13	Alicia	1024x1024	dogs	640x480	0,80019	0,73135	0,69422	15,26
14	car	1024x1036	dogs	640x480	0,80019	0,73135	0,69422	15,26
15	car	1024x1036	fruit	512x512	1,42178	1,38428	1,32253	7,50
16	car	1024x1036	Leno512	512x512	1,25137	1,20761	1,16164	7,72
17	football	1600x1200	building	640x480	1,66823	1,60827	1,47824	12,85
18	football	1600x1200	hawk	800x600	1,77819	1,72532	1,66885	6,55
19	football	1600x1200	sphinx	800x600	4,64491	4,54116	4,38335	5,96
20	fish	1600x1200	building	640x480	1,66823	1,60827	1,47824	12,85
21	fish	1600x1200	hawk	800x600	1,77819	1,72532	1,66885	6,55
22	fish	1600x1200	sphinx	800x600	4,64491	4,54116	4,38335	5,96

Tabel 6.5

Procesare mesaj. Experimente efectuate cu algoritmul steganografic *ASAC*

pe 2 biți

Nr. Crt	Obiect de acoperire		Mesaj secret		Prelucrare obiect de acoperire			
	Nume	Dimensiune (pixeli)	Nume	Dimensiune (pixeli)	$\varepsilon_{la-0}$	$\varepsilon_{la-10}$	$\varepsilon_{la-20}$	%
1	lena	256x256	merlin	128x128	1,11953	1,06875	0,98156	14,06
2	Lena	256x256	firefox	128x128	5,27817	5,14270	4,45639	18,44
3	Aquaria	256x256	firefox	128x128	5,27817	5,14270	4,45639	18,44
4	Aquaria	256x256	merlin	128x128	1,11953	1,06875	0,98156	14,06
5	Aquaria	256x256	watch	200x135	0,77849	0,67695	0,63560	22,48
6	Lena	256x256	watch	200x135	0,77849	0,67695	0,63560	22,48
7	Lena512	512x512	Aquaria	256x256	1,89496	1,68684	1,57271	7,77
8	fruit	512x512	lena	256x256	3,29353	3,12670	2,82671	16,51
9	fruit	512x512	Aquaria	256x256	1,69496	1,68684	1,57271	7,77
10	sphinx	800x600	fruit	512x512	1,42178	1,38428	1,32253	7,50
11	hawk	800x600	fruit	512x512	1,42178	1,38428	1,32253	7,50
12	Alicia	1024x1024	hawk	800x600	1,77819	1,72532	1,66885	6,55
13	Alicia	1024x1024	sphinx	800x600	4,64491	4,54116	4,38335	5,96
14	car	1024x1036	hawk	800x600	1,77819	1,72532	1,66885	6,55
15	car	1024x1036	sphinx	800x600	4,64491	4,54116	4,38335	5,96
16	fish	1600x1200	Alicia	1024x1024	1,03804	0,85331	0,62588	65,85
17	football	1600x1200	Alicia	1024x1024	1,03804	0,85331	0,62588	65,85
18	football	1600x1200	car	1024x1036	1,23172	1,20449	1,12108	9,86

Tabel 6.6

Procesare mesaj. Experimente efectuate cu algoritmul steganografic *ASAC* pe 4 biți

Nr. Crt	Obiect de acoperire		Mesaj secret		Prelucrare obiect de acoperire			
	Nume	Dimensiune (pixeli)	Nume	Dimensiune (pixeli)	$\varepsilon_{la-0}$	$\varepsilon_{la-10}$	$\varepsilon_{la-20}$	%
1	merlin	128x128	firefox	128x128	5,27817	5,14270	4,45639	18,44
2	Wildfloues	200x135	watch	200x135	0,77849	0,67695	0,63560	22,48
3	Lena	256x256	Aquaria	256x256	1,69496	1,68684	1,57271	7,77
4	Aquaria	256x256	lena	256x256	3,29353	3,12670	2,82671	16,51
5	Lena512	512x512	Fruit	512x512	1,42178	1,38428	1,32253	7,50
6	building	640x480	Dogs	640x480	0,80019	0,73135	0,69422	15,26
7	sphinx	800x600	Hawk	800x600	1,77819	1,72532	1,66885	6,55
8	hawk	800x600	Sphinx	800x600	4,64491	4,54116	4,38335	5,94
9	Alicia	1024x1024	Car	1024x1036	1,71707	1,64837	1,52477	12,61
10	car	1024x1036	Alicia	1024x1024	1,03804	0,85331	0,62588	65,85
11	fish	1600x1200	football	1600x1200	1,09190	1,00797	0,7278	50,02

În urma aplicării algoritmului *ASAC* pe 1 bit (tabelul 6.4), pe 2 biți (tabelul 6.5), respectiv pe 4 biți (tabelul 6.6) am constat că în urma recuperării mesajului secret eroarea relativă dintre acesta și mesajul original se îmbunătățește semnificativ, obținându-se astfel îmbunătățiri de până la 65%.

Evident că plaja erorilor îmbunătățite depinde în mod semnificativ de tipologia mesajului ce urmează a fi încorporat. Spre exemplu, dacă mesajul conține mulți pixeli cu valori ce se apropie de culoarea negru, îmbunătățirea erorii este semnificativă, iar în situația în care mesajul secret conține pixeli cu valori mai apropiate de culoarea alb, aceste îmbunătățiri sunt mai puțin semnificative.

În toate exemplele utilizate am constatat că indiferent de tipul mesajului ascuns se obține o îmbunătățire a erorilor relative la recuperarea acestuia. Mai mult, eroarea relativă nu este dependentă de dimensiunea mesajului ascuns și nici de dimensiunea obiectului de acoperire.

O altă constatare remarcată constă în faptul că indiferent de tipul algoritmului *ASAC* utilizat la recuperarea mesajului se obțin aceleași erori. Concluzia pe care o pot trage constă în faptul că eroarea obținută în cazul mesajului recuperat este dependentă de tipul acestuia, cât și de ponderea pixelilor apropiați de culoarea negru.

În figura 6.8 prezint un exemplu în care prelucrarea s-a efectuat asupra mesajului secret original prin deplasarea pixelilor acestuia spre culoarea alb (figura 6.8.b), respectiv negru (figura 6.8.c). În urma acestor prelucrări am constat o îmbunătățire a raportului de recuperare a mesajului secret de 22,5%, rezultat ce se regăsește în tabelul 6.6, linia 2.



Figura 6.8 Exemplu de prelucrare a mesajului

În situația în care prelucrarea se efectuează atât asupra obiectului de acoperire, cât și a mesajului secret, am constatat că observațiile menționate mai sus se păstrează și în cazul acesta în sensul că deplasarea obiectului de ascundere spre

culoarea neagră îmbunătățește eroarea dintre obiectul steganografic și obiectul de acoperire, iar deplasarea spre negru a mesajului îmbunătățește eroarea de recuperare a mesajului. Mai mult, aceste aspecte se întâmplă simultan în cazul prelucrării atât a obiectului de acoperire, cât și a mesajului secret.

Pentru exemplificare voi arăta în tabelele 6.7, 6.8 și 6.9 doar 3 astfel de prelucrări. Menționez că și în cazul celorlalte câtorva zeci de prelucrări pe care le-am efectuat rezultatele au aceeași tendință.

În tabelul 6.7 este dat un exemplu pentru un obiect de acoperire reprezentat printr-o imagine digitală color de dimensiunea 640 x 480 pixeli, iar mesajul secret încorporat constituie tot o imagine digitală color de dimensiune 200 x 135 pixeli.

Tabel 6.7 Exemplu de prelucrare a obiectului de acoperire și a mesajului secret folosind algoritmul **ASAC** pe 1 bit

Nr.crt.	Mesaj secret	Obiect de acoperire
1	fara prelucrarea mesajului  $\epsilon=0,778499$	prelucrarea obiectului de acoperire $\epsilon$ la -10 : 0,187311 $\epsilon$ la -8 : 0,188259 $\epsilon$ la -6 : 0,189305 $\epsilon$ la -4 : 0,190402 $\epsilon$ la -2 : 0,191885 $\epsilon$ la 0 : 0,195865 $\epsilon$ la +2 : 0,199360 $\epsilon$ la +4 : 0,200855 $\epsilon$ la +6 : 0,202012 $\epsilon$ la +8 : 0,203152 $\epsilon$ la +10 : 0,204229
2	prelucrarea mesajului : -10  $\epsilon=0,676959$	prelucrarea obiectului de acoperire $\epsilon$ la -10 : 0,187166 $\epsilon$ la -8 : 0,188111 $\epsilon$ la -6 : 0,189155 $\epsilon$ la -4 : 0,190256 $\epsilon$ la -2 : 0,191749 $\epsilon$ la 0 : 0,195726 $\epsilon$ la +2 : 0,199056 $\epsilon$ la +4 : 0,200475 $\epsilon$ la +6 : 0,201589 $\epsilon$ la +8 : 0,202667 $\epsilon$ la +10 : 0,203721
3	prelucrarea mesajului : -20  $\epsilon=0,635603$	prelucrarea obiectului de acoperire $\epsilon$ la -10 : 0,187157 $\epsilon$ la -8 : 0,188108 $\epsilon$ la -6 : 0,189147 $\epsilon$ la -4 : 0,190242 $\epsilon$ la -2 : 0,191747 $\epsilon$ la 0 : 0,195725 $\epsilon$ la +2 : 0,199050 $\epsilon$ la +4 : 0,200449 $\epsilon$ la +6 : 0,201559 $\epsilon$ la +8 : 0,202617 $\epsilon$ la +10 : 0,203687

În urma prelucrării atât a mesajului secret, cât și a obiectului de acoperire se constată o îmbunătățire a recuperării mesajului secret de aproximativ 22,48% în comparație cu mesajul secret neprelucrat. Pe de altă parte obiectul steganografic prezintă o îmbunătățire de 9,12% în comparație cu cazul în care obiectul de acoperire nu este prelucrat. Menționez că mesajul secret a fost prelucrat printr-o

deplasare din 10 în 10 a fiecărui pixel spre negru, pe când obiectul de acoperire a fost deplasat cu valori din 2 în 2 atât spre negru cât și spre alb. Am constatat că deplasarea spre negru duce atât la îmbunătățirea raportului de recuperare a mesajului secret, cât și la îmbunătățirea obiectului steganografic.

În tabelul 6.8 este dat un exemplu pentru un obiect de acoperire reprezentat printr-o imagine digitală color de dimensiunea 800 x 600 pixeli, iar mesajul secret încorporat constituie tot o imagine digitală color de dimensiune 512 x 512 pixeli. Modul de prelucrare s-a efectuat ca și în exemplul anterior obținându-se o îmbunătățirea a raportului mesajului recuperat de 25,54% comparativ cu situația în care acesta nu a fost prelucrat. În cazul obiectului steganografic s-a obținut o îmbunătățire de 7,06% în comparație cu situația în care obiectul de acoperire nu a fost prelucrat.

Tabel 6.8 Exemplu de prelucrare a obiectului de acoperire și a mesajului secret folosind algoritmul **ASAC** pe 2 biți

Nr.crt.	Mesaj secret	Obiect de acoperire
1	fara prelucrarea mesajului  $\epsilon=1,421784$	prelucrarea obiectului de acoperire $\epsilon$ la -10 : 0,504149 $\epsilon$ la -8 : 0,520862 $\epsilon$ la -6 : 0,504159 $\epsilon$ la -4 : 0,520865 $\epsilon$ la -2 : 0,504159 $\epsilon$ la 0 : 0,520865 $\epsilon$ la +2 : 0,529569 $\epsilon$ la +4 : 0,533377 $\epsilon$ la +6 : 0,534816 $\epsilon$ la +8 : 0,536720 $\epsilon$ la +10 : 0,537294
2	prelucrarea mesajului : -10  $\epsilon=1,384285$	prelucrarea obiectului de acoperire $\epsilon$ la -10 : 0,503384 $\epsilon$ la -8 : 0,519614 $\epsilon$ la -6 : 0,503397 $\epsilon$ la -4 : 0,519617 $\epsilon$ la -2 : 0,503396 $\epsilon$ la 0 : 0,519617 $\epsilon$ la +2 : 0,528330 $\epsilon$ la +4 : 0,532013 $\epsilon$ la +6 : 0,533548 $\epsilon$ la +8 : 0,535328 $\epsilon$ la +10 : 0,536060
3	prelucrarea mesajului : -20  $\epsilon=1,132530$	prelucrarea obiectului de acoperire $\epsilon$ la -10 : 0,501953 $\epsilon$ la -8 : 0,518559 $\epsilon$ la -6 : 0,501968 $\epsilon$ la -4 : 0,518562 $\epsilon$ la -2 : 0,501970 $\epsilon$ la 0 : 0,518562 $\epsilon$ la +2 : 0,527786 $\epsilon$ la +4 : 0,531351 $\epsilon$ la +6 : 0,533191 $\epsilon$ la +8 : 0,534754 $\epsilon$ la +10 : 0,535878

Tabel 6.9 Exemplu de prelucrare a obiectului de acoperire și a mesajului secret folosind algoritmul **ASAC** pe 4 biți.

Nr.crt.	Mesaj secret	Obiect de acoperire
1	fara prelucrarea mesajului $\epsilon=0,800194$	prelucrarea obiectului de acoperire $\epsilon$ la -10 : 2,361944 $\epsilon$ la -8 : 2,357427 $\epsilon$ la -6 : 2,66775 $\epsilon$ la -4 : 2,389200 $\epsilon$ la -2 : 2,429299 $\epsilon$ la 0 : 2,478860 $\epsilon$ la +2 : 2,502242 $\epsilon$ la +4 : 2,533042 $\epsilon$ la +6 : 2,559920 $\epsilon$ la +8 : 2,578005 $\epsilon$ la +10 : 2,601133
2	prelucrarea mesajului : -10 $\epsilon=0,731351$	prelucrarea obiectului de acoperire $\epsilon$ la -10 : 2,367609 $\epsilon$ la -8 : 2,366596 $\epsilon$ la -6 : 2,374465 $\epsilon$ la -4 : 2,397374 $\epsilon$ la -2 : 2,437545 $\epsilon$ la 0 : 2,488185 $\epsilon$ la +2 : 2,511806 $\epsilon$ la +4 : 2,541580 $\epsilon$ la +6 : 2,569289 $\epsilon$ la +8 : 2,591867 $\epsilon$ la +10 : 2,614072
3	prelucrarea mesajului : -20 $\epsilon=0,694220$	prelucrarea obiectului de acoperire $\epsilon$ la -10 : 2,359342 $\epsilon$ la -8 : 2,359459 $\epsilon$ la -6 : 2,371537 $\epsilon$ la -4 : 2,396896 $\epsilon$ la -2 : 2,437531 $\epsilon$ la 0 : 2,488804 $\epsilon$ la +2 : 2,511648 $\epsilon$ la +4 : 2,541081 $\epsilon$ la +6 : 2,568793 $\epsilon$ la +8 : 2,590085 $\epsilon$ la +10 : 2,614960

În tabelul 6.9 a fost dat un exemplu pentru un obiect de acoperire reprezentat printr-o imagine digitală color de dimensiunea 640 x 480 pixeli, iar mesajul secret încorporat constituie tot o imagine digitală color de dimensiune 640 x 480 pixeli. Și în acest exemplu se constată o îmbunătățire a recuperării mesajului secret cu 15,26% față de situația în care acesta nu e prelucrat, respectiv o îmbunătățire de 10, 83% a obiectului steganografic față de situația în care obiectul de acoperire folosit nu este prelucrat.

În concluzie, pot spune că pentru toate exemplele utilizate am constatat îmbunătățiri în ceea ce privește atât recuperarea mesajului secret, cât și a obiectului steganografic comparativ cu situațiile în care obiectul de acoperire, respectiv mesajul secret nu sunt prelucrate, ceea ce confirmă faptul că cele două variante ale modelului propus de mine pot conduce la îmbunătățirea sistemelor steganografice. Menționez că modalitatea de prelucrare a mesajului secret și a obiectului de acoperire, nu constituie un obiect de sine stătător. Modalitatea de prelucrare aleasă a fost relativ simplă dorind doar să verific în acest moment valabilitatea modelului propus, însă poate constitui o direcție de cercetare viitoare pentru găsirea celor mai bune soluții de prelucrare în acest sens.

### 6.7.2 Concluzii privind comportarea modelelor MPOA și MPOAM

Pe baza rezultatelor obținute și a observațiilor constatate mi-am propus să realizez un set de algoritmi steganografici care să înglobeze totalitatea principiilor de



funcționare a celor două modele prezentate. În acest sens am conceput algoritmi steganografici care să acopere domeniile de reprezentare ale imaginilor și care să prevadă posibilitatea de prelucrare atât a obiectului de ascundere, cât și al mesajului secret. Scopul urmărit constă în îmbunătățirea obiectului steganografic, a recuperării cu fidelitate sporită a mesajului secret, a creșterii cantității de informație ce poate fi ascunsă fără a afecta proprietățile menționate anterior.

Menționez că toți algoritmi dezvoltați de mine prezintă într-o formă sau alta aspecte legate de procesarea obiectului de acoperire și/sau a mesajului secret. În mod evident se pot imagina foarte multe idei de procesare, în schimb problema care se pune constă în faptul că acestea sunt mari consumatoare de timp. În situația în care acești algoritmi steganografici trebuie să lucreze în timp real se pune problema ca etapele de procesare a obiectului steganografic, a mesajului secret și de generare a obiectului steganografic să fie executate într-un interval de timp cât mai scurt. Din acest motiv am considerat că este mai prioritar ca aceste prelucrări multiple să fie executate într-un timp cât mai scurt pentru a putea fi implementate sub formă concretă, cum ar fi un telefon mobil. Efortul depus în acest sens a constat în găsirea unor soluții optime a tuturor proprietăților implicate în procesul steganografic, cum ar fi: timpul de execuție al algoritmului, cantitatea de informații ce poate fi ascunsă, modul de protejare a mesajului secret încorporat, generarea unui obiect steganografic care să nu trezească suspiciuni, timpul necesar recuperării mesajului secret. Aceste obiective au călăuzit generarea algoritmilor steganografici expuși în capitolele 7, 8 și 9.

## 6.8 Concluzii

În acest capitol într-o primă etapă s-a elaborat un studiu de sinteză privind principalele modele steganografice existente la ora actuală în literatura de specialitate plecându-se de la problema prizonierilor care tratează unitar esența ideii de steganografie, respectiv transmiterea unei informații secrete între două persoane printr-un mesaj transmis la vedere și care să nu trezească suspiciuni că ar conține și alte informații decât cele vizibile.

Pornind de la această idee ținând cont de evoluția tehnologiei de transmitere a informațiilor și de posibilitatea utilizării unor diferiți algoritmi de ascundere a fost dezvoltat un model steganografic de bază și enumerate principalele criterii pe care trebuie să le îndeplinească un astfel de model. Plecând de la modelul de bază au fost dezvoltate și alte modele steganografice prin care s-au enunțat principiile teoretice legate de securitatea acestora.

Astfel, în cazul modelului încorporat dezvoltat de Zollner s-a analizat gradul de securitate a unui model steganografic în funcție de diferența dintre entropia relativă a obiectului steganografic obținut după încorporarea mesajului secret și a obiectului de acoperire original.

Rezultatul studiului conduce la concluzia că procesul steganografic devine sigur atunci când diferența dintre cele două entropii relative tinde spre zero. Obținerea unei astfel de cerințe a condus la dezvoltarea unui model steganografic nedeterminist prin care se propune ca obiectul de acoperire să fie generat în mod aleator pentru a crește astfel gradul de incertitudine asupra lui. Mai mult, se sugerează că orice prelucrare făcută asupra obiectului de acoperire ales va mări și mai mult această incertitudine, ceea ce va îngreuna căutarea și găsirea mesajului secret de către un eventual atacator. Soluția rezultată în urma analizei făcută de autor conduce la concluzia că un proces steganografic are un grad de securitate

ridicat dacă obiectul de acoperire nu este cunoscut de către un eventual atacator.

Cachin dezvoltă un nou model steganografic prin care propune ca pe canalele de transmisie să fie trimis un set de obiecte de acoperire, urmând ca doar în unele dintre acestea să fie încorporat mesajul secret pentru a induce în eroare un eventual atacator în cazul în care acesta analizează setul de obiecte primite. În ceea ce privește securitatea modelului propus se face o analiză teoretică dezvoltată pe baza distribuțiilor de probabilitate corespunzătoare obiectelor steganografice, respectiv obiectelor de acoperire.

Concluzia la care a ajuns autorul constă în afirmația că un astfel de sistem steganografic este sigur atunci când diferența dintre cele două distribuții de probabilitate este zero. Constatând însă că o astfel de condiție este imposibil de realizat din punct de vedere practic se admite ca diferența dintre distribuțiile de probabilitate să tindă spre o valoare  $\epsilon$  cât mai mică. Chiar și cu această mențiune este de precizat că un astfel de model matematic face abstracție de mediile purtătoare utilizate în mod practic pentru realizarea obiectului steganografic deoarece acestea au distribuțiile de probabilitate mai complexe, nu sub o formă ideală așa cum este considerat de către autor.

Pornind de la ideile prezentate în modelele matematice amintite în acest capitol am dezvoltat un model steganografic cu două variante de prezentare. În prima variantă propun ca dintr-un set de obiecte de acoperire să se aleagă în mod aleator un număr de astfel de obiecte în care urmează să se încorporeze informație secretă. Precizez că fiecare obiect de acoperire este procesat înainte de încorporarea mesajului și menționez faptul că datele secrete se vor însera doar în unele dintre acestea. În continuare se vor trimite către emițător atât obiectele de acoperire, cât și obiectele steganografice. În acest fel, unui eventual atacator îi va fi foarte dificil de a determina care dintre obiecte conține mesajul secret.

Funcția de procesare adăugată obiectelor de acoperire va conduce la creșterea dificultății extragerii mesajului secret de către o persoană neautorizată.

Modelul steganografic astfel conceput a fost demonstrat din punct de vedere matematic în sensul că diferența distribuțiilor de probabilitate scade odată cu efectuarea unei funcții de procesare asupra obiectelor de acoperire.

Din punct de vedere practic modelul a fost testat pe un set de imagini digitale, iar rezultatele obținute confirmă faptul că în urma procesării obiectelor de acoperire sistemul steganografic prezintă o îmbunătățire față de situația cazului în care obiectele de acoperire nu sunt prelucrate. Acest fapt se evidențiază prin scăderea erorii relative dintre obiectul steganografic și obiectul de acoperire, atingând astfel un raport de până la 13%, ceea ce face ca diferența dintre acestea să nu fie vizibilă, deci să nu creeze suspiciuni.

În a doua variantă a modelului propus pe lângă prelucrarea obiectelor de acoperire am propus și o prelucrare asupra mesajului secret. Menționez că asupra acestuia se pot efectua prelucrări cu un grad de complexitate mult mai mare decât asupra obiectului de acoperire, deoarece acesta nu este vizibil. Sub acest aspect, prelucrarea mesajului conduce la îngreunarea extragerii acestuia de către un eventual atacator, iar pe de altă parte permite îmbunătățirea ratei de recuperare a acestuia.

Din punct de vedere practic și această variantă a modelului a fost testată pe un set de imagini digitale și a confirmat faptul că un anumit gen de prelucrare conduce în mod vizibil la creșterea gradului de recuperare a mesajului de până la 65% în condițiile utilizării unor imagini adecvate ca și obiecte de acoperire.

## 7 STEGANOGRAFIA ÎN DOMENIUL SPAȚIAL

Așa cum au fost dezvoltate diferite modalități de reprezentare și de transformare a imaginilor digitale, de-a lungul timpului au fost generați și implementați algoritmi steganografici într-un anumit domeniu de reprezentare.

Una din tehnicile des utilizate o constituie metoda substituției prin care sunt obținute rezultatele cele mai bune în domeniul steganografiei, iar prin îmbinarea cu algoritmi de ascundere dezvoltați în domeniul spațial, aceasta conduce până în prezent la cele mai numeroase soluții steganografice.

Algoritmii steganografici în domeniul spațial prezintă avantajul că sunt relativ ușor de implementat, oferă o diversitate extrem de mare, asigură o cantitate mare de informație ascunsă și pot fi combinați cu algoritmi specifici altor domenii de reprezentare. Ca un dezavantaj îl constituie faptul că acești algoritmi sunt relativ cunoscuți, ceea ce îi predispune la diferite atacuri, unele având chiar și succes. Cu toate acestea în steganografie se caută noi soluții pentru îmbunătățirea algoritmilor în reprezentarea spațială și acest lucru are ca mărturie numeroase lucrări din acest domeniu.

O tendință remarcată în ultima vreme constă în implementarea algoritmilor pe microprocesoare sau generarea unor circuite dedicate acestui scop. Ideea ce se desprinde din această tendință constă în faptul că echipamentele hardware pot fi prevăzute cu elemente suplimentare ce pot împiedica atacul asupra obiectului steganografic.

Tehnicile de ascundere a informațiilor în imaginile digitale reprezentate în domeniul spațial încorporează datele secrete direct în biții imaginii aleasă ca obiect de acoperire, fără a implica o transformare a domeniului spațial în alte domenii.

Cei mai cunoscuți algoritmi steganografici ce folosesc tehnica domeniului spațial sunt: LSB (Least Significant Bit), YUV, BPCS (Bit-Plane Complexity Segmentation Steganography) și vor fi prezentați mai pe larg în cele ce urmează.

### 7.1 **Algoritmi steganografici bazați pe ascunderea informației în cei mai puțini semnificativi biți (LSB-P)**

Una dintre cele mai timpurii și cele mai des folosite tehnici ale domeniului spațial este cea numită inserarea în cel mai puțin semnificativ bit cunoscută sub denumirea de LSB (Least Significant Bit) [SUN07]. Metoda este foarte populară datorită faptului că este ușor de implementat și prezintă o flexibilitate mare de aplicare. Din acest motiv, cu toate că algoritmul e relativ simplu, prin diversitatea sa această metodă continuă să fie utilizată pe larg. Prin ascunderea informației secrete în bitul (biții) cei mai puțin semnificativi ai obiectului de acoperire se obțin două caracteristici importante: se pot masca o cantitate mare de informații și/sau se poate recupera într-o proporție mare mesajul inițial. Sigur există și un dezavantaj, în sensul că bruierea mesajului steganografic face dificilă recuperarea mesajului ascuns de către receptor.

Algoritmul LSB este un algoritm relativ simplu, iterativ și funcționează după următorul principiu: biții cei mai puțini semnificativi ai fiecărui pixel dintr-o imagine purtătoare, se înlocuiesc cu biți ai informației secrete ce se dorește a fi ascunsă. În principiu se iau biții cei mai semnificativi ai mesajului secret sau chiar toți biții mesajului secret. Această tehnică permite ascunderea unei cantități destul de mari de informație și poate fi dezvoltată în diferite variante plecând de la reprezentarea în domeniul spațial atât a obiectului de acoperire, cât și a mesajului secret ce urmează a fi ascuns. În funcție de modalitatea de încorporare a mesajului secret în obiectul de acoperire pentru a obține obiectul steganografic se pot obține o diversitate relativ mare de rezultate în funcție de situația concretă de rezolvare.

Metoda se aplică atât imaginilor color pe 24 de biți, cât și a celor alb-negru pe 8 biți. Ideea se bazează pe convingerea generală că, schimbările făcute în cadrul celui mai puțin semnificativ bit din culorile existente nu pot fi detectate, de un observator. Eventualele neclarități pot fi interpretate ca zgomote legate de transmitere, care pot fi prezente tot timpul în imaginile digitale [FRI01].

O metodă steganografică ce folosește tehnica de ascundere LSB în domeniul transformatei de undă cu o capacitate mare de ascundere și o eroare relativă mică pentru un semnal audio este prezentată în [SHA07a]. Capacitatea de ascundere menționată este de 200 de kbiți-per-secundă (kbps) cu o rată de eroare de 0,3%.

[YAN08, JUN08] propun metode steganografice în care mesajele secrete sunt ascunse în cei mai puțini semnificativi biți folosind valorile diferențiale ale pixelilor imaginilor de acoperire alese. Aceste metode permit ascunderea unei capacități mari de informație și au ca rezultat imagini steganografice de o foarte bună calitate.

Un algoritm steganografic ce folosește metoda LSB este propus în [POR08] pentru imagini în format GIF.

Autorii din [RAJ05] prezintă un algoritm steganografic bazat pe metoda bitului cel mai puțin semnificativ combinată cu transformata cosinus discretă și tehnici de compresie pentru a spori securitatea imaginii steganografice.

În [AND05] imaginile digitale sunt folosite pentru ascunderea unei informații secrete folosind bitul cel mai puțin semnificativ a unui alt mesaj constituit tot dintr-o imagine digitală. Metoda propusă prezintă robustețe la steganaliză pentru toate cazurile analizate în articol.

Este cunoscut faptul că toate metodele de ascundere de informație care modifică cei mai puțini semnificativi biți, introduc distorsiuni în obiectele de acoperire. În [KIM07] se propune un algoritm ce folosește pentru încorporarea datelor secrete numai coeficienți ai căror modificare nu introduce mari distorsiuni. În acest sens se folosește o codificare matricială pentru a alege coeficienții ai căror modificare să introducă distorsiunea cea mai mică în urma inserării.

Necesitatea dezvoltării unor metode de protecție a convorbirilor particulare a facilitat începerea unei serii de cercetări în vederea conceperii unor codoare și decodare steganografice care să fie atașate sistemelor mobile. Ca primă încercare s-au utilizat FPGA - urile ca modalitate de simulare a unor astfel de dispozitive. Din nefericire FPGA - urile implică costuri mari și nu sunt adaptate pentru a fi integrate în microprocesoarele utilizate în telefonia mobilă.

O arhitectură hardware de implementare a unei tehnici steganografice în care mesajul este ascuns în modificările abrupte de la alb la negru este prezentată în lucrarea [GOM08]. Utilizarea FPGA - urilor a condus la creșterea vitezei de procesare.

Autorii din [FAR04] folosesc pentru ascunderea mesajului o cheie secretă pentru a crește siguranța protecției mesajului ascuns.

Pentru protejarea proprietății intelectuale este propusă în [LAC99] utilizarea steganografiei prin folosirea unui FPGA în vederea inserării unui watermark.

Pe lângă aceste încercări în vederea conceperii unui codor și decodor hard, în [SUZ08] autorii au conceput un algoritm de protecție privind interconectarea unei camere de luat vederi cu un mobil și cu un laptop PC. Transferul de date se poate realiza doar pe baza cunoașterii algoritmului de ascundere între echipamentele menționate.

În lucrările enumerate mai sus, algoritmi steganografici bazați pe ascunderea unor informații în biții cei mai puțini semnificativi prin utilizarea FPGA-urilor nu au condus la realizarea efectivă a unor dispozitive steganografice cu utilitate practică, fiind doar implementările unor algoritmi prin care s-a încercat îmbunătățirea performanțelor acestora.

Pentru a veni în întâmpinarea unui astfel de deziderat mi-am propus implementarea unor algoritmi steganografici pe microprocesoare utilizate în telefonia mobilă. În acest sens algoritmi implementați pe calculator am încercat să-i adaptez scopului menționat mai sus, și anume: să prezinte atât caracteristici legate de capacitatea limitată a memoriei a unui procesor folosit în telefonia mobilă, cât și satisfacerea cerințelor legate de codarea și decodarea algoritmilor steganografici în timp real. Pentru toate acestea trebuie păstrate caracteristicile esențiale ale steganografiei: invizibilitatea mesajului, recuperarea mesajului în condiții cât mai bune, capacitate mare de ascundere.

Un prim rezultat de succes a fost prezentat în lucrarea [STA09] în care a fost adaptat pentru un microprocesor din familia ARM frecvent utilizat în telefonia mobilă un algoritm de încorporare a unui mesaj secret în biții cei mai puțini semnificativi (LSB-P). Rezultatele obținute confirmă faptul că algoritmul pe microprocesor permite îmbunătățirea semnificativă a timpului de execuție, ceea ce conduce la ideea că acesta poate fi executat chiar și în timp real.

### 7.1.1 Algoritm de ascundere pe un bit (LSB-P<sub>1</sub>)

Algoritmul LSB-1 folosește cel mai puțin semnificativ bit al obiectului de acoperire tip imagine pentru a ascunde informația secretă în el. Probabilitatea ca acest bit să se modifice față de valoarea lui inițială este de 0,5.

Tot procesul de ascundere este realizat la nivel de biți în obiectul de acoperire, iar pentru ca informația să nu se piardă trebuie ales un format corespunzător pentru imaginile implicate. Este cunoscut faptul că imaginile sunt disponibile sub diverse formate, cum ar fi: TGA, GIF, JPEG, BMP, etc. Pentru implementarea algoritmului sunt necesare date ce caracterizează matricea de pixeli atât a obiectului de acoperire, cât și a mesajului secret. Altfel spus, dacă se cunoaște organizarea internă a formatului se poate afla matricea de pixeli, doar prin citirea binară a acestuia. Din antet se obțin informații despre dimensiunile imaginii precum și despre locul de unde încep efectiv biții ce reprezintă imaginea (matricea propriu zisă de pixeli).

Dacă se folosesc imagini color, matricea de pixeli care este practic formată dintr-o matrice de puncte colorate, iar cum fiecare punct de culoare e format din procente ale celor trei culori de bază: roșu (Red - R), verde (Green - G) și albastru (Blue - B), la fel și pixelul este format din 3 canale sau vectori de biți R, G, B. Astfel că pentru procesul de ascundere toți cei 3 biți, mai puțin semnificativi ai obiectului

de ascundere, din fiecare pixel vor fi înlocuiți cu biții (cei mai semnificativi) ai mesajului secret. Ochiul uman nu poate vedea că imaginea rezultată este diferită de cea inițială, deoarece nu poate distinge o diferență ne semnificativă (0,39%) într-unul din canalele de culoare.

Este cunoscut faptul că substituirea LSB care este folosită cel mai des în steganografie degradează semnificativ calitatea obiectului de acoperire în momentul încorporării unei cantități mari de informație. În vederea rezolvării unei astfel de probleme în [RON06] se propune o metoda de mapare a blocurilor LSB bazată pe un algoritm ce aplică regula selectării celei mai bune mărimi a blocurilor.

Ideea principală urmărită în această lucrare este de a minimiza degradarea imaginii steganografice prin găsirea celei mai bune funcții de mapare ce face legătura între blocurile corespunzătoare obiectului de acoperire și cele ale imaginii secrete.

#### *Algoritm de ascundere*

O privire de ansamblu a algoritmului LSB pe 1 bit se prezintă în figura 7.1.

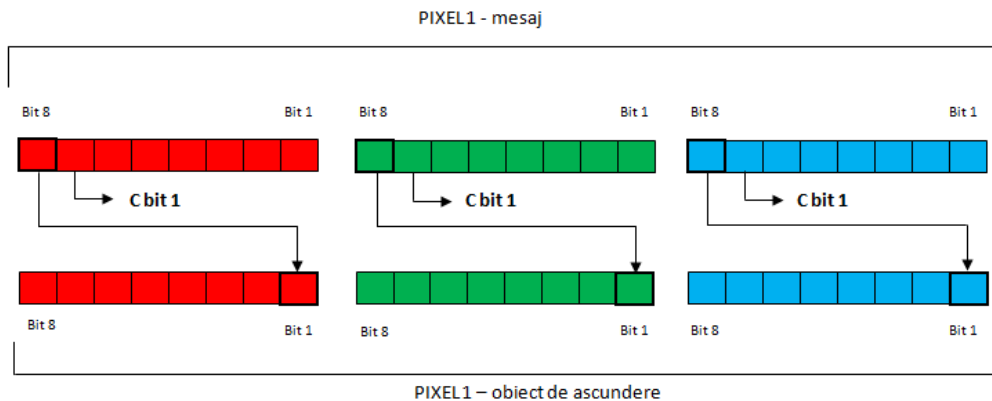


Figura 7.1. Algoritmul LSB pe 1 bit

Procedura teoretică a algoritmului steganografic LSB-1 poate fi descrisă în următorii pași:

- 1) Extragerea matricei de pixeli dintr-o imagine.
- 2) Reprezentarea pe biți a fiecărui pixel a obiectului imagine.
- 3) Reprezentarea pe biți a mesajului ce urmează a fi ascuns.
- 4) Încorporarea fiecărui bit al mesajului secret în cel mai puțin semnificativ bit al fiecărui pixel din imaginea de acoperire

Practic se parcurg toate câmpurile obiectului de acoperire, iar la fiecare iterație se ia următorul bit din imaginea de ascuns și se suprascrivește peste cel mai puțin semnificativ bit al câmpului curent al imaginii în care se ascunde. În situația implementării algoritmului pe microprocesoare s-au efectuat modificări de așa manieră încât să se valorifice particularitățile funcționale ale acestora.

În cazul microprocesorului ARM pentru a beneficia de arhitectura bazată pe asamblare au fost evitate instrucțiunile de salt permițând microprocesorului să poată opera liniar în majoritatea situațiilor, ceea ce conduce la executarea tuturor operațiilor într-un singur ciclu de mașină. Ca urmare a acestor adaptări ce au condus practic la generarea unui alt algoritm s-au obținut timpi de execuție de 3 ori

mai buni în comparație cu implementarea aceluiași algoritm pe un PC ce are performanțe comparabile cu a microprocesorului ARM.

Pentru implementarea pe microprocesorul ISAAC ce permite executarea în paralel a operațiilor pe mai multe unități de procesare simultan, algoritmul a fost adaptat de așa manieră încât să permită executarea lui în secvențe paralele. Gestionarea procesării în paralel pe 6 unități de procesare s-a efectuat prin împărțirea imaginii în secvențe de operare paralelă pentru cele 6 unități de procesare prin executarea algoritmului într-un astfel de mod în care prima linie din matricea imagine să fie executată de prima unitate de procesare, a doua linie de cea de-a doua unitate de procesare, ș.a.m.d. În final rezultatul executării algoritmului de ascundere s-a concatenat într-o imagine steganografică.

Managementul executării paralelismului este coordonat de cel de-al 8-lea nucleu de procesare care la rândul lui trebuie să fie coordonat de modificările ce au fost aduse în algoritmul de ascundere pe biții cei mai puțini semnificativi în așa fel încât să se utilizeze toate facilitățile microprocesorului. În principiu modalitatea de paralelizare poate fi utilizată și pe alte microprocesoare cu mai multe unități de prelucrare efectuându-se eventual mici adaptări specifice arhitecturii particulare a acestora, în special în zona de organizare.

Toate modificările aduse asupra algoritmului pentru microprocesorul ARM și ISAAC au fost realizate asupra tuturor algoritmilor bazați pe bitul cel mai puțin semnificativ. Consider ca aceste modificări sunt benefice deoarece conduc la îmbunătățirea timpului de execuție în mod spectaculos, respectiv de 3 ori pentru microprocesorul ARM și de 8 ori pentru microprocesorul ISAAC. Rezultatele experimentale vor fi prezentate mai jos.

#### *Algoritmul de extragere*

Pentru extragerea mesajului secret se aplică procedura inversă caracteristică algoritmului de ascundere și implică următorii pași:

- 1) Extragerea matricei de pixeli din imaginea steganografică.
- 2) Extragerea ultimului bit al câmpului curent, bit care este apoi înserat în următoarea poziție din mesajul ascuns.
- 3) Reconstituirea mesajului ascuns bit cu bit.

Pentru a putea face comparații între rezultatele obținute în urma procesului steganografic se definește ca și parametru de calcul eroarea relativă, notată cu  $\epsilon_{rel}$ .

Formula de calcul pentru eroarea relativă este:

$$\epsilon_{rel} = \frac{\sum_{i=1}^{m \times n} \left( \frac{|R - R^*|}{255} + \frac{|G - G^*|}{255} + \frac{|B - B^*|}{255} \right)}{3 \times m \times n} \times 100\%$$

(7.1.)

R, G, B reprezintă cele trei componente de culoare ale pixelilor mesajului inițial ce urmează a fi ascuns sau a obiectului de acoperire;

R\*, G\*, B\* reprezintă cele trei componente de culoare ale pixelilor mesajului recuperat la recepție sau a obiectului steganografic.

Metoda prezintă avantajul că eroarea relativă dintre obiectul de acoperire și cel steganografic se reduce la 0,39%, în schimb cantitatea de informație ce poate fi

introdusă este de 12,5% în cazul în care mesajul este format dintr-o imagine color și 37,5% în cazul în care mesajul este o imagine alb-negru. Eroarea relativă dintre mesajul inițial și mesajul recuperat tinde la zero dacă obiectul steganografic nu a fost afectat de zgomot.

### 7.1.2 Algoritm de ascundere pe 2 biți (LSB-P<sub>2</sub>)

În cazul în care se dorește ascunderea unei cantități mai mari de informație, tehnica LSB poate fi extinsă prin încorporarea datelor secrete și în biții de ordin superior ai fiecărui pixel. Înlocuind astfel cei mai puțini semnificativi N biți ai fiecărui pixel cu informație de ascuns va crește de N ori capacitatea de încorporare. Ca urmare, intensitatea fiecărui pixel variază corespunzător cu numărul de biți înlocuiți, iar din acest motiv metoda nu ar trebui să fie extinsă la biții de ordin superior fără discriminare.

Algoritmul ar consta în astfel de situații în înlocuirea celor N biți mai puțini semnificativi ai fiecărui pixel din obiectul de acoperire cu biții mai semnificativi ai mesajului secret [MIE06]. În acest caz biții mai puțini semnificativi ai obiectului de acoperire se vor pierde, la fel ca și biții mai puțini semnificativi ai mesajului ascuns.

Procesul de substituție realizat prin încorporarea datelor secrete în cei 2 cei mai puțini semnificativi biți, și nu doar în cel mai puțin semnificativ bit, prezintă dezavantajul că în timpul procesului de ascundere sunt alterați mai mulți biți, iar aceasta implică și creșterea gradului de distorsionare a imaginii. Algoritmul presupune de astă dată înlocuirea primilor doi biți cei mai puțini semnificativi ai pixelilor din imaginea considerată obiect de acoperire, cu primii doi biți mai semnificativi ai mesajului secret. Următorii 2 biți ai mesajului luați în ordinea semnificației se înlocuiesc în biții mai puțini semnificativi ai pixelului următor.

Metoda LSB pe 2 biți poate prezenta un număr relativ mare de variante în funcție de scopul urmărit. De exemplu, dacă se dorește ascunderea unei cantități mai mare de informație pot fi neglijați biții mai puțini semnificativi din mesaj, în schimb dacă se dorește o recuperare cu o eroare cât mai mică a mesajului secret, trebuie încorporați toți biții acestuia. În acest caz cantitatea de informație ascunsă va scădea în mod evident. Varianta aleasă depinde și de tipul obiectului de acoperire utilizat.

Procesul de înlocuire LSB pe 2 biți este prezentat în figura 7.2:

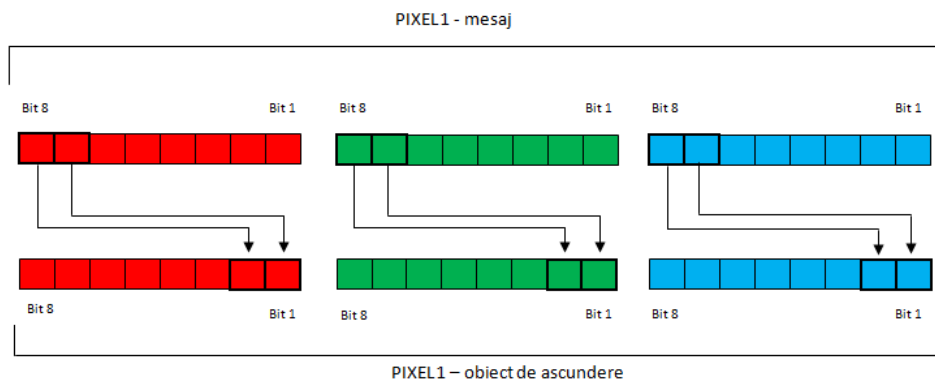




Figura 7.2. Algoritmul LSB pe 2 biți

În cazul în care se lucrează cu imagini digitale color, unde fiecare pixel conține 3 componente RGB, procesul de încorporare a mesajului în obiectul de acoperire se face pentru fiecare culoare în parte.

Dacă se consideră că obiectul de acoperire este o imagine reprezentată sub forma unei matrice de  $m \times n$  (linii și coloane) se constată că prin aplicarea acestui

algoritm se poate ascunde o cantitate de informație de la  $\frac{m \times n}{2}$  până la  $\frac{m \times n}{4}$ , care este practic de două ori mai mare decât în cazul LSB-ului pe 1 bit.

Avantajul acestei metode constă în faptul că obiectul de acoperire este afectat foarte puțin, astfel că eroarea relativă dintre obiectul de acoperire și obiectul steganografic se reduce la 1,1%, menținându-se eroarea relativă dintre mesajul original și mesajul recuperat de la 0% la 6%, funcție de varianta aleasă. Pentru a micșora eroarea relativă dintre mesajul inițial și mesajul recuperat se pot ascunde în obiectul de acoperire 6 biți din mesaj sau chiar 8 biți din mesaj.

Adaptarea acestui algoritm pentru microprocesoarele ARM și ISAAC a condus în mod evident la îmbunătățirea timpilor de obținere a obiectului steganografic, cât și la recuperarea mesajului ascuns. Din punct de vedere al erorilor relative nu s-a constatat o diferență semnificativă.

### 7.1.3 Algoritm de ascundere pe 4 biți (LSB-P<sub>4</sub>)

În figura 7.3 se prezintă modul de desfășurare al procesului de înlocuire LSB pe 4 biți.

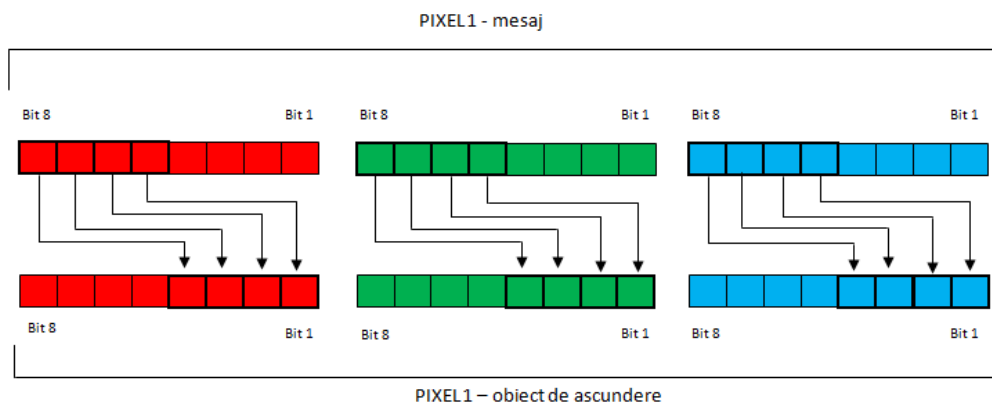


Figura 7.3. Algoritmul LSB pe 4 biți

Algoritmul constă în înlocuirea celor 4 mai semnificativi biți din mesaj cu cei 4 biți mai puțin semnificativi din obiectul de acoperire. Și aici se ține cont de faptul că în cazul în care se lucrează cu imagini digitale color, procesul de încorporare a mesajului în obiectul de acoperire se face pentru fiecare culoare în parte. Această variantă a metodei LSB permite ascunderea unei capacități mari de

informație. Practic, un mesaj de capacitate  $m \times n$  pixeli poate fi ascuns într-un obiect de acoperire de aceeași capacitate.

Dezavantajul acestei metode ar consta în faptul că atât obiectul de acoperire, cât și mesajul secret vor fi degradate în raport cu valoarea biților cei mai puțini semnificativi. Mai mult, există posibilitatea să apară diferențe vizibile între obiectul de acoperire inițial și obiectul steganografic rezultat, fapt ce ar putea permite unui atacator să fie atenționat de prezența unui mesaj ascuns.

Se pot imagina variante ale acestui algoritm în funcție de situația concretă ce trebuie rezolvată, fie crescând cantitatea de informație încorporată cu obținerea unor erori mai mari de recuperare a mesajului, fie reducând cantitatea de informație ascunsă pentru a obține o eroare cât mai mică la extragerea mesajului.

Un calcul simplu arată că eroarea relativă este de maxim 5,8% atât pentru diferența dintre obiectul de acoperire și obiectul steganografic, cât și pentru diferența dintre mesajul imagine inițial și cel recuperat.

În urma aplicării acestui algoritm, orice zgomot ce poate afecta transmiterea mesajului steganografic ar conduce la degradarea într-o măsură și mai mare a mesajului recuperat, datorită faptului că atât din obiectul de acoperire, cât și din mesaj sunt păstrați doar 4 biți mai semnificativi. Din acest motiv se poate considera că metoda LSB pe 4 biți este cea mai puțin robustă. În procesul de extracție cel mai puțin semnificativ bit este extras din subșetul în care a fost ascuns, urmând ca mesajul ascuns să fie reconstituit din biții extrași. În [SUK06] este propusă o metodă modificată pentru a combate problemele ce pot apărea în cazul în care datele încorporate nu pot fi extrase corect.

Dacă algoritmi de ascundere pe biții cei mai puțini semnificativi ai obiectului de acoperire par la prima vedere relativ simplii, modalitatea lor de aplicare poate conduce la o diversitate foarte mare de cazuri de algoritmi particulari. În plus, modalitatea de utilizare a algoritmilor poate genera o diversificare mare de astfel de situații. Spre exemplu, încorporarea mesajului nu este obligatoriu să fie secvențială. Ascunderea poate urmări diferite reguli pseudoaleatoare care să conducă la un proces de încorporare a mesajului secret.

În acest sens pot fi folosiți algoritmi de inscripționare a datelor pe CD. Acești algoritmi sunt astfel concepuți încât doi biți alăturați dintr-un cuvânt se găsesc în zone diferite, ceea ce face ca în momentul citirii CD-ului dacă se deteriorează suprafața acestuia există posibilitatea de a se pierde un șir de biți succesivi. Cum aceștia nu fac parte din același cuvânt refacerea informației se poate face fără pierderi semnificative. Sigur că ascunderea poate fi făcută în funcție de puterea de creație a emițătorului și totodată de resursele pe care le are la dispoziție acesta.

Pentru implementarea algoritmului pe microprocesoarele ARM și ISAAC s-au folosit aceleași idei prezentate mai sus în scopul îmbunătățirii timpului de execuție al acestuia, iar rezultatele experimentale sunt evidențiate în tabelele 5.1 și 7.1.

#### 7.1.4 Experimente

În scopul comparării performanțelor algoritmilor steganografici ce sunt executați pe platforma unui calculator personal, respectiv pe platformele microprocesoarelor ARM și ISAAC au fost realizate o serie de experimente în care au fost utilizate imagini de acoperire de dimensiuni variabile, respectiv mesaje sub formă de imagini de capacități diferite.

Rezultatele experimentale au condus la observația că timpul de execuție descrește semnificativ, astfel că pentru microprocesorul ARM scade de 3 ori, iar pentru microprocesorul ISAAC de 20 de ori. Aceste performanțe au fost obținute în condițiile în care este cunoscut faptul că pentru un calculator problemele referitoare la memorie nu sunt stringente legate de executarea algoritmului.

În cazul microprocesoarelor ARM și ISAAC care au memorie limitată, a fost necesară și o gestionare suplimentară a resurselor de memorie internă care în mod evident implică consum de timp. În plus, procesul de paralelizare al algoritmului steganografic pentru microprocesor ISAAC implică și el un timp de organizare internă. Cu toate acestea se poate constata că din punct de vedere al timpului de execuție se obțin rezultate deosebit de bune pe cele două microprocesoare utilizate în telefonia mobilă. În tabelele 5.1 și 7.1 sunt prezentate doar o parte din rezultatele experimentale prin care doresc să evidențiez aspectele menționate mai sus.

Tabel 7.1 Compararea timpului de execuție pentru algoritmul *LSB-F*

Nr. Crt.	Obiect de acoperire		Mesaj secret		PC	ARM	ISAAC
	Nume	Dimensiune (bytes)	Nume	Dimensiune (bytes)	[ms]	[ms]	[ms]
1	camp_cu_flori.jpg	81.000	porumbel.jpg	33.930	64	25	5,38
2	camp_cu_flori.jpg	81.000	ceas_2.jpg	45.450	78	25	5,38
3	camp_cu_flori.jpg	81.000	ceas_3.jpg	81.000	68	25	5,38
4	lac_3.jpg	202.500	porumbel.jpg	33.930	161	63	12,8
5	lac_3.jpg	202.500	ceas_3.jpg	81.000	160	63	12,8
6	lac_3.jpg	202.500	ceas_4.jpg	182.700	180	63	12,8
7	lac_2.jpg	360.000	porumbel.jpg	33.930	286	112	22,5
8	lac_2.jpg	360.000	ceas_3.jpg	81.000	281	112	22,5
9	lac_2.jpg	360.000	ceas_4.jpg	182.700	291	112	22,5
10	lac_2.jpg	360.000	peisaj_1.jpg	360.000	278	112	22,5
11	lac_1.jpg	810.000	porumbel.jpg	33.930	611	253	33,6
12	lac_1.jpg	810.000	ceas_3.jpg	81.000	627	253	33,6
13	lac_1.jpg	810.000	ceas_4.jpg	182.700	600	253	33,6
14	lac_1.jpg	810.000	peisaj_1.jpg	360.000	605	253	33,6
15	lac_1.jpg	810.000	peisaj_2.jpg	562.500	610	253	33,6
16	lac_1.jpg	810.000	peisaj_1.jpg	810.000	609	253	33,6

O parte din rezultatele experimentelor au fost publicate în lucrarea [STA09] și ca urmare a continuării cercetării în acest domeniu conform celor menționate mai sus algoritmi de ascundere pe biții cei mai puțini semnificativi au fost implementați și pe microprocesorul ISAAC, ce momentan este în faza de a fi utilizat în noua generație de telefonie mobilă și care printre alte aplicații va include și unul dintre algoritmi steganografici experimentați în această lucrare. Varianta de algoritm ce urmează a fi implementată va fi dependentă de solicitările clienților. În acest sens le putem pune la dispoziție algoritmi steganografici cu timp de execuție cât mai scurt sau varianta necesară pentru ascunderea unor cantități mari de informații (cum ar fi cei prezentați mai sus). Astfel de algoritmi pot permite practic și lucrul în timp real.

Pentru a scoate în evidență caracteristicile de timp a celor trei platforme privind timpul de execuție al algoritmului bazat pe ascunderea în biții cei mai puțini

semnificativi, în figura 7.4 se reprezintă comparativ timpul necesar de execuție exprimat în funcție de capacitatea obiectului de acoperire. Menționez că timpul este exprimat în milisecunde, iar capacitatea obiectului de acoperire în octeți.

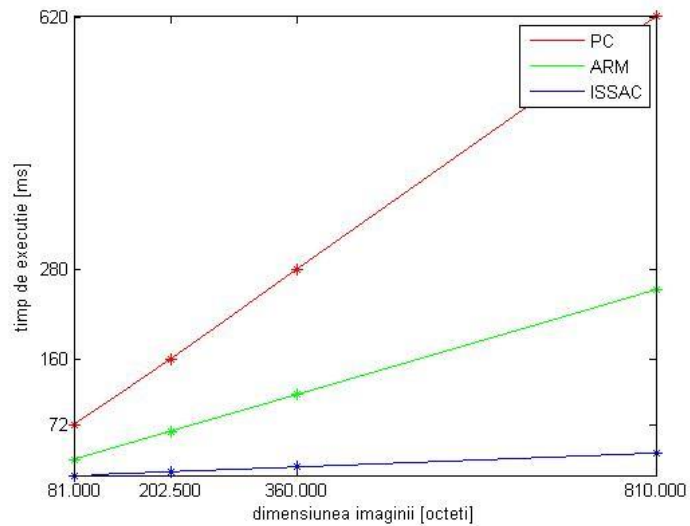


Figura 7.4 Reprezentarea grafică a timpului de execuție pentru algoritmul *LSB- $P$* .

În figura 7.5 este prezentat un exemplu de realizare a unui algoritm steganografic ce permite ascunderea unui mesaj secret în 1, 2, respectiv 4 biți cei mai puțin semnificativi ai obiectului de acoperire ales.



Mesajul recuperat pe 2 biți

Mesaj recuperat pe 4 biți

Figura 7.5. Rezultate experimentale LSB pe 1, 2, respectiv 4 biți pe microprocesorul ARM și ISAAC.

În urma testelor se poate observa că indiferent de natura lor imaginile ascunse sunt extrase la o calitate mai superioară în cazul în care se ascund în obiecte de acoperire formate din imagini cu foarte multe nuanțe de culori și la o calitate mai redusă (apar pixeli de zgomot) în cazul imaginilor ce prezintă puține nuanțe de culori. Din punct de vedere al cantității de informație ascunsă se poate constata că aceasta depășește în cazul meu rezultatele experimentale din lucrarea [CHE08a] în care este permisă ascunderea unei cantități de informații reprezentând 50% din obiectul de acoperire.

### **7.1.5 Concluzii privind algoritmi steganografici bazați pe ascunderea în biții cei mai puțini semnificativi**

În concluzie, algoritmi care folosesc tehnici de ascundere în biții cei mai puțin semnificativi ai obiectului de ascundere prezintă avantajul că sunt relativ ușor de implementat și permit ascunderea unor cantități mari de informații, iar din acest motiv i-am adaptat pentru generarea unor algoritmi steganografici performanți în special din punct de vedere al timpului de rulare pe cele două microprocesoare amintite în acest paragraf. Menționez că unul dintre microprocesoare este frecvent utilizat la ora actuală în telefonia mobilă, iar cel de-al doilea este în faza de testare finală constituind următoarea generație de microprocesoare ce vor fi folosite în telefonia mobilă modernă. Rezultatele testelor efectuate scot în evidență faptul că în condițiile de funcționare la frecvențe de lucru asemănătoare ambele microprocesoare conduc la obținerea unor timpi de execuție net inferiori față de cazul utilizării unui calculator personal ce prezintă aceleași performanțe. Acest lucru a fost posibil datorită exploatării la maxim a arhitecturii interne a acestora și confirmă faptul că modificările aduse algoritmilor au creat condiții pentru executarea algoritmilor în timp real. Aceasta face posibilă includerea unor astfel de facilități în viitoarele echipamente de telefonie mobilă așa cum se dorește la ora actuală, ca urmare a unor cerințe exprimate de beneficiarii echipamentelor mobile în ideea existenței comunicărilor confidentiale.

## **7.2 Algoritmul steganografic YUV-P**

Având în vedere rapida dezvoltare a echipamentelor digitale, imaginile color au devenit un mediu comun în multe aplicații, inclusiv în domeniul steganografiei. Se cunoaște că o imagine color poate fi reprezentată în diferite sisteme de coordonate, spre exemplu RGB, HSV, YUV. Cum în sistemele de transmisie TV frecvent este folosit domeniul spațial YUV s-au căutat generarea unor algoritmi steganografici care să permită transmiterea de informații secrete prin intermediul canalelor TV.

În [CHO08] se propune modificarea culorii albastru cu scopul de a ascunde date secrete deoarece valoarea albastru este o culoare insensibilă ochiului uman. Pentru a mări și mai mult complexitatea metodei de ascundere, autorii sugerează în lucrare o soluție de ascundere a pixelilor în mod dinamic pentru a încorpora o cantitate cât mai mare de date secrete. Se menționează că metoda propusă poate fi aplicată atât sistemelor color RGB, cât și sistemelor YUV. În urma testelor efectuate s-a constatat că sistemele RGB permit o capacitate de încorporare a datelor cu o

distorsiune a imaginii mai mică, metoda steganografică fiind mai puțin vulnerabilă la algoritmi steganalitice.

În [CHA06b] se realizează transformarea unei imagini RGB într-o imagine YUV, iar încorporarea mesajului secret se realizează cu metoda bitului cel mai puțin semnificativ în componentele Y ai pixelilor imaginii secrete. Pentru a mări calitatea imaginii se adoptă un mecanism de prag care ia în considerare efectul vizual al omului. Se menționează că diferența dintre imaginea steganografică și obiectul de acoperire este aproape imperceptibilă. Metoda propusă poate insera mesaje secrete având capacitatea relativ mare cu condiția ca mesajul secret să aibă formatul cerut în experimentele menționate.

În general algoritmi steganografici folosiți în domeniul spațial YUV prezintă un mare dezavantaj în ceea ce privește cantitatea de informație ascunsă, în sensul că ascunderea mesajului se poate face doar într-una din cele trei componente fără a se pierde din informațiile inițiale ale obiectului de acoperire, ceea ce conduce la rate extrem de mici ale raportului dintre mesajul secret și obiectul de acoperire. Se apreciază un rezultat mulțumitor la acest raport de circa 5%.

Algoritmul ar prezenta avantaje dacă metodele de ascundere ar putea fi combinate cu procedee de dispersare a informației secrete și/sau de comprimare a mesajului ascuns și poate nu în ultimul caz, de o procesare inițială, fie a obiectului de ascundere, fie a mesajului secret, fie a amândurora.

Bazat pe transformata YUV am implementat un algoritm care a fost executat pe un calculator personal, microprocesorul ARM și microprocesorul ISAAC. Pentru cele două microprocesoare, datorită arhitecturii lor, a rezultat practic o nouă variantă de algoritm bazat pe transformarea YUV pe care l-am notat YUV-P. Algoritmul a fost dezvoltat pe baza celor prezentate în lucrarea [STA07c].

### 7.2.1 Transformare RGB-YUV-RGB

Algoritmul steganografic YUV se bazează pe ascunderea informațiilor secrete în obiecte de acoperire tip imagini digitale reprezentate în domeniul spațial YUV. În primă fază imaginea aleasă pentru ascunderea informației secrete este reprezentată în domeniul spațial RGB, dar trecerea acesteia în spațiul YUV este relativ simplă. Practic trecerea de la un spațiu la altul se face prin câteva înmulțiri de matrice, în modul următor [BUR08]:

$$\begin{bmatrix} Y \\ U \\ V \end{bmatrix} = \begin{bmatrix} 0.299 & 0.587 & 0.114 \\ -0.14713 & -0.28886 & 0.436 \\ 0.615 & -0.51498 & 0.10001 \end{bmatrix} \times \begin{bmatrix} R \\ G \\ B \end{bmatrix} \quad (7.2)$$

Transformarea inversă se face după formula:

$$\begin{bmatrix} R \\ G \\ B \end{bmatrix} = \begin{bmatrix} 1 & 0 & 1.13983 \\ 1 & -0.39465 & -0.58060 \\ 1 & 2.03211 & 0 \end{bmatrix} \times \begin{bmatrix} Y \\ U \\ V \end{bmatrix} \quad (7.3)$$

### 7.2.2 Etapele algoritmului steganografic YUV-P

Pentru ascunderea în domeniul YUV se folosesc practic aceiași algoritmi, de ascundere și extragere ca cei prezentați la algoritmul steganografic LSB, cu mențiunea că procesarea datelor nu se face pe tabloul matricei de pixeli RGB, ci pe tabloul YUV ce se bazează pe proprietățile vizuale ale ochiului uman [CHO06]. În general ascunderea se face în domeniul Y, deoarece ochiul uman nu este sensibil la variații mici de luminozitate. În principiu algoritmul de ascundere se bazează pe următoarele etape:

#### *Algoritmul de ascundere*

- 1) Se citește formatul imagine (TGA, JPEG, BMP, etc.) al obiectului de acoperire ales și al mesajului secret după care se transformă în matrice de pixeli fiecare dintre ele. Mesajul secret este în principiu mai mic decât obiectul în care urmează a fi ascuns deoarece biții ce formează mesajul secret trebuie distribuiți în ultimii biți ai pozei sau imaginii în care se va ascunde.
  - 2) În cazul în care se ascunde o imagine color în altă imagine color reprezentate fiind în spațiul RGB, se extrage din matricea de pixeli corespunzătoare obiectului de acoperire fiecare pixel și i se aplică transformarea din spațiul RGB în spațiul YUV după formula (7.2).
  - 3) Urmează transformarea Y-ul în întreg și bitul cel mai puțin semnificativ se înlocuiește cu un bit din mesaj rezultând astfel imaginea steganografică, ce este foarte asemănătoare cu obiectul de acoperire (imaginea inițială).
  - 4) Pentru a memora imaginea purtătoare în care s-a încorporat mesajul se face transformarea inversă, din spațiul YUV în RGB prin aplicarea formulei (7.3).
  - 5) Se rețin într-un fișier rezultatele procesului steganografic.
- Pentru extragerea mesajului se pleacă de la obiectul steganografic asupra căruia se aplică algoritmul invers de ascundere pentru obținerea mesajului secret. Pașii algoritmului sunt prezentați mai jos.

#### *Algoritmul de extragere*

- 1) Se citește imaginea originală care în acest caz este formată din obiectul steganografic.
- 2) Se transformă în matrice de pixeli.
- 3) Se face conversia din spațiul RGB în spațiul YUV aplicând formula (7.2).
- 4) Se extrag cei mai puțin semnificativi biți și sunt aliniați pentru reconstrucția mesajului secret.
- 5) Se rețin într-un fișier datele obținute în urma procesului steganografic.

În [STA07c] am aplicat acest algoritm și am ascuns informația în canalul V deoarece am constatat că e mai bine să se ascundă în cromaticitate. Rezultatele experimentului sunt prezentate în figura 7.6. Coeficientul folosit în transformarea YUV poate fi schimbat, ca de altfel și matricea de transformare din RGB în YUV, precum și matricea inversă (din YUV în RGB). După o astfel de transformare nu se mai obține același spațiu YUV, însă ceva asemănător notat cu  $Y'U'V'$ . În noua matrice pe baza unui algoritm asemenea celui prezentat mai sus, se va ascunde informația secretă. Alegerea coeficientului folosit în transformarea YUV este foarte importantă, deoarece este posibil ca atunci când se încorporează informație pe un

canal, să se distrugă imaginea în cazul în care se schimbă canalul. Odată ce un canal este compromis, devine vizibil faptul că ceva este ascuns acolo și este posibil ca extragerea imaginii ascunse să fie compromisă. Acești coeficienți pot fi cheia secretă a datelor încorporate, și odată cu schimbarea acestora scade și rata de detecție. Cheia secretă poate fi încorporată sau poate fi cunoscută.

În cazul algoritmului utilizat pot fi folosite toate cele trei canale de culoare pentru încorporarea mesajului secret sau se poate folosi unul singur. Totul depinde de raportul de ascundere și de calitatea imaginii purtătoare. Se poate ascunde pixel cu pixel în toate cele trei canale simultan sau se poate ascunde într-un canal și apoi în altul.

În [STA07c] am ascuns într-un singur canal pentru că am dorit să obținem o calitate maximă. O calitate maximă a obiectului de acoperire implică o imagine greu de detectat. Am ascuns în primă fază în canalul V deoarece este cel mai potrivit să ascunzi în cromatică, fiind mai flexibil pentru imaginile alese. Testând o serie de imagini, am observat că ascunderea informației în canalele U sau V diferă de la imagine la imagine. Distrugând un anumit canal se poate distruge o culoare și mesajul poate fi astfel detectat. Spre exemplu în figura 7.7 ascunderea informației în componenta U conduce la deplasarea culorii de la albastru spre violet, ceea ce este nefiresc pentru o imagine în care se regăsește un ochi de apă. Ascunderea informației în canalul Y se obține cu succes de fiecare dată, așa cum se poate vedea în figura 7.8. În plus mesajul recuperat se obține cu o eroare relativă foarte bună ( $\epsilon_{rel} = 0,76\%$ ). Această diferență foarte mică face dificilă detectarea de către ochiul uman a prezenței unui mesaj secret în obiectul steganografic. Trebuie remarcat că algoritmul steganografic aplicat în spațiul YUV nu este la fel de comun ca și algoritmul bazat pe ascunderea în cei mai puțini semnificativi biți aplicat în spațiul RGB, deci este mai greu de detectat.

### 7.2.3 Experimente YUV-P

În continuare voi prezenta câteva din experimentele efectuate în aplicarea algoritmului steganografic utilizat în spațiul YUV, unde ascunderea mesajului s-a făcut pe unul din cele 3 canale: V – figura 7.6, U – figura 7.7, Y – figura 7.8.





Obiect de acoperire  
Dimensiune 192x192 x 24biti



Mesaj secret  
Dimensiune 32x48 x 24biti  
Rata de ascundere:4,1%

Obiect steganografic  
Dimensiune 192x192 x 24biti



Mesaj recuperat  
Dimensiune 32x48x 24biti

Figura 7.6. Ascunderea in componenta V



Obiect de acoperire  
Dimensiune 192x192 x 24biti



Obiect steganografic  
Dimensiune 192x192 x 24biti



Mesaj secret  
Dimensiune 32x48 x 24biti  
Rata de ascundere 4,1%



Mesaj recuperat  
Dimensiune 32x48x 24biti

Figura 7.7 Ascunderea in componenta U



Obiect de acoperire  
Dimensiune 192x192 x 24biti



Obiect steganografic  
Dimensiune 192x192 x 24biti



Mesaj secret  
Dimensiune 32x48 x 24biti  
Rata de ascundere:4,1%



Mesaj recuperat  
Dimensiune 32x48x 24biti

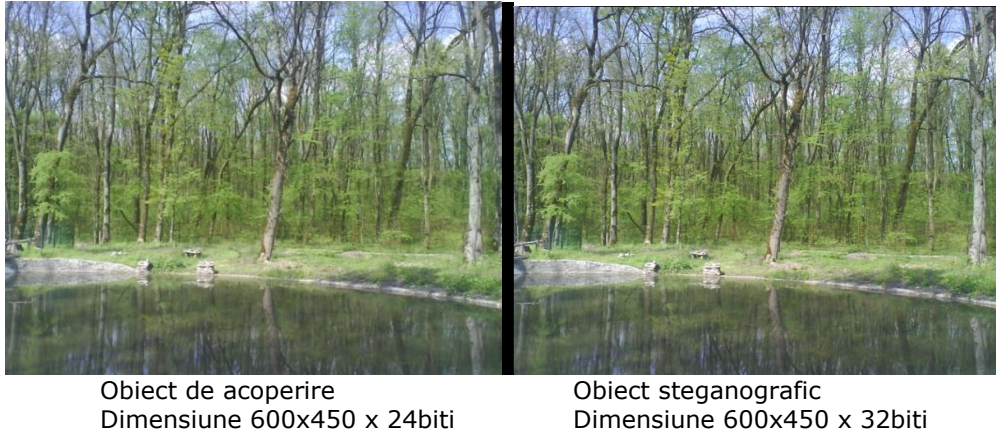
Figura 7.8 Ascunderea in componenta Y

Pe baza testelor a rezultat faptul că ascunderea în componenta Y este ușor de realizat, diferența dintre imaginea obiectului de acoperire și obiectul steganografic rezultat este imperceptibilă, dar este totodată posibil ca prin metode steganolitice să existe posibilitatea detecției și eventual a distrugerii mesajului ascuns în eventualitatea cunoașterii coeficienților de transformare. Ascunderea în componenta V prezintă rezultatele cele mai bune, obiectul steganografic este aproape imposibil de deosebit de obiectul de acoperire, iar metodele steganolitice sunt greu de aplicat. Ca dovadă a acestor afirmații în literatura de specialitate nu am identificat lucrări care să trateze astfel de probleme.

Algoritmul de ascundere ce utilizează reprezentarea imaginilor în domeniul YUV prezintă un grad mare de robustețe și este relativ ușor de implementat. De asemenea, încorporarea informației în canalele Y, U sau V poate scădea riscul ca informația să fie detectată. Fiind o tehnică relativ simplă, ascunderea în domeniul YUV prezintă avantajul că algoritmi steganografici se pretează pentru a construi un

codor și un decodor steganografic implementat cu ajutorul unui microprocesor. Rezultatele experimentale, pe o astfel de platformă, conduc la concluzia că această metodă oferă rezultate promițătoare în protejarea informațiilor prin ascundere.

În figura 7.9, se pot observa rezultatele experimentale obținute pentru algoritmul ce utilizează reprezentarea în YUV ce este implementat pe microprocesoarele ARM și ISAAC.



Mesaj secret  
Dimensiune 200x135 x 24biti  
Rate de ascundere: 10%



Mesaj recuperat  
Dimensiune 200x135x 24biti

Figura 7.9 Ascunderea YUV pe microprocesorul ARM7TDMI-S.

Adaptând algoritmul steganografic reprezentat în domeniul spațial YUV la microprocesoarele ARM și ISAAC am reușit să îmbin proprietățile acestui algoritm cu principalele caracteristici ale arhitecturii acestora pentru obținerea unor performanțe maxime din această implementare. Aplicând această metodă de ascundere la microprocesoarele ARM și ISAAC am constatat o îmbunătățire substanțială în primul rând a ratei de ascundere, care a crescut de la 4,1% la 10%. Această îmbunătățire s-a obținut prin utilizarea mai bună a resurselor de care dispune algoritmul la nivel de bit, cât și de exploatare corespunzătoare a performanțelor microprocesoarelor ARM și ISAAC [SLO04, HYU06].

În tabelul 7.2 prezint câteva rezultate comparative ale executării algoritmului YUV-P pe un calculator personal și pe cele două microprocesoare ARM și ISAAC. Menționez că toate platformele sunt echivalente din punctul de vedere al performanțelor de timp specifice fiecăruia.

Plecând de la tabelul 7.2 se prezintă în figura 7.10 exprimarea grafică a raportului dintre timpul de execuție pentru algoritmul YUV-P dezvoltat, verificat și testat pe cele trei platforme : calculator personal și microprocesoarele ARM, respectiv ISAAC. Menționez faptul că timpii sunt exprimați în milisecunde, iar capacitatea obiectului de acoperire în octeți.

Tabel 7.2 Compararea timpului de execuție pentru algoritmul YUV-P

Nr. Crt.	Obiect de acoperire		Mesaj secret		PC	ARM	ISAAC
	Nume	Dimensiune (bytes)	Nume	Dimensiune (bytes)	[ms]	[ms]	[ms]
1	lac_1.jpg	810.000	porumbel.jpg	33.930	521	3162	420,47
2	lac_1.jpg	810.000	ceas_3.jpg	81.000	952	7550	1.006,6
3	peisaj_2.jpg	562.500	watch70x70.jpg	14.700	232	1369	182,04
4	peisaj_1.jpg	360.000	watch70x70.jpg	14.700	249	1371	182,32

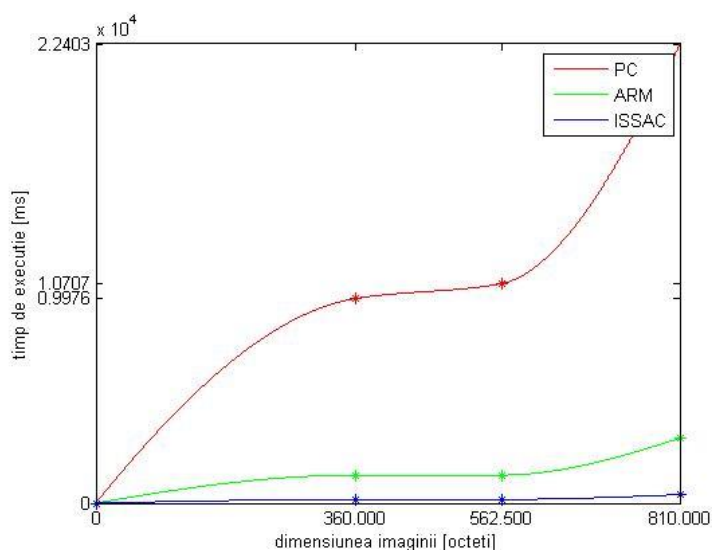


Figura 7.10 Représentarea grafică a timpului de execuție pentru algoritmul YUV-P

Se poate constata că implementarea pe microprocesorul ARM conduce la îmbunătățirea performanțelor legate de timpul de execuție de aproximativ 7 ori, iar rularea pe microprocesorul ISAAC permite scăderea timpilor de execuție cu o rată de până la 50 de ori. Aceste performanțe se obțin datorită folosirii cu succes a celor două arhitecturi, dintre care una exploatează proprietățile bazate pe banda de asamblare și cealaltă pe executarea în paralel a procesării imaginilor. Trebuie să precizăm faptul că dacă timpii executați pe cele două microprocesoare prezintă

valori constante la rulări diferite în timp, timpul de execuție pe calculator prezintă diferențe de la o rulare la alta în funcție de modul de încărcare și de execuție al algoritmului, asupra căruia sistemul de operare al calculatorului joacă un rol hotărâtor. Chiar și cu această rezervă pot spune că timpul de execuție al algoritmului pe cele două microprocesoare este net mai mic decât în cazul rulării pe calculator.

Se poate remarca faptul că în literatura de specialitate o astfel de implementare pe microprocesor nu a fost încă realizată, din cele cunoscute de mine. Motivul lipsei unei astfel de abordări poate fi pusă pe seama dificultății implementării unor astfel de algoritmi steganografici pe un microprocesor existent, ce nu este adaptat unor astfel de prelucrări de semnale sau imagini. În eventualitatea utilizării unor procesoare grafice se ridică o altă problemă legată de implementarea algoritmilor steganografici. În primul rând trebuie să se țină cont de numărul limitat de instrucțiuni de altă natură decât cele grafice pe care le au astfel de echipamente.

Algoritmii steganografici în domeniul YUV își pot găsi aplicații în domeniul transmițitorilor TV prin plasarea unor informații utile doar acelor persoane sau abonați care dețin codoare, respectiv decodoare steganografice. Datorită faptului că Y are ponderea cea mai mare în formula de transformare a spațiului RGB -YUV, modificările care se fac la nivelul lui se vor propaga liniar în toate canalele RGB. Din acest motiv rezultă o ușoară detectabilitate în cazul unui atac. Ascunderea informațiilor secrete în componentele U sau V duc la o detectabilitate mai scăzută, dar rezultatele ascunderii diferă de la imagine la imagine (la unele este mai indicat ca ascunderea să se facă în U, iar la altele în V)

#### 7.2.4 Concluzii YUV-P

În concluzie, utilizarea algoritmului YUV-P prezintă avantajul robusteții în cazul unui atac prin prisma faptului că într-o primă etapă atât imaginea purtătoare, cât și mesajul secret sunt imagini RGB. În etapa a doua, imaginea considerată obiect de acoperire este convertită din RGB în YUV, după care biții mesajului secret sunt încorporați unul câte unul cu ajutorul algoritmului bazat pe ascunderea în biții cei mai puțini semnificativi în fiecare canal al fiecărui pixel din imaginea purtătoare, rezultând astfel o imagine steganografică YUV care va fi convertită, la rândul ei în RGB și abia apoi transmisă printr-un canal de comunicație unui anumit receptor. În cazul în care obiectul steganografic astfel rezultat ar fi interceptat, atacatorul va încerca să decodifice algoritmul de ascundere folosind o procedură caracteristică unui algoritm bazat pe ascunderea în biții cei mai semnificativi aplicat unei imagini RGB. El nu are acces la obiectul de acoperire inițial și astfel nu știe că mesajul secret a fost de fapt ascuns în imaginea convertită în YUV. Pentru a extrage mesajul are nevoie de această conversie inversă, de care nu are cunoștință. Din acest motiv crește gradul de rezistență în cazul unui atac inoportun.

Trebuie remarcat faptul că în cazul algoritmului YUV-P adaptat pentru a fi executat pe cele două microprocesoare se constată că datorită multiplelor prelucrări, atât asupra obiectului de acoperire, cât și asupra mesajului secret timpul de execuție crește în comparație cu algoritmi bazați pe biții cei mai puțini semnificativi. Mai mult, timpul de execuție depinde atât de mărimea obiectului de acoperire, cât și de cantitatea de informații ascunse, ceea ce face ca acest algoritm prezintă și dezavantajul timpului de execuție. Din acest motiv acest algoritm se recomandă a fi

utilizat pentru ascunderea unor cantități mai mici de informații, cât și în cazul ascunderii unei informații ce nu necesită transmiterea ei în timp real. În acest sens, ca viitor obiectiv voi încerca aducerea unor noi îmbunătățiri în vederea scăderii timpului de execuție.

### **7.3 Algoritmi steganografici bazați pe complexitatea planurilor de biți**

Algoritmii steganografici bazați pe complexitatea planurilor de biți, denumiți pe scurt BPCS (Bit-Plane Complexity Segmentation Steganography) se află printre cei mai utilizați algoritmi de ascundere deoarece au proprietatea de a include o cantitate relativ mare de informații de aproximativ 30% din capacitatea obiectului de ascundere, iar imaginea steganografică rezultată prezintă o vizibilitate redusă. În plus acești algoritmi sunt relativ robuști la încercările de atac datorită faptului că utilizează o mască de conjugare aleasă de către autorul algoritmului și care poate juca rolul unei chei de acces.

În [NOD02a, NOD02b, NOD04, FUR03] sunt prezentate metode steganografice ce folosesc combinarea unui algoritm de tip BPCS cu o soluție de comprimare a imaginilor video. Ideile propuse permit un grad relativ mare de ascundere fără degradarea vizibilă a calității imaginilor video implicate în procesul steganografic. Este de remarcat faptul că autorii acestor articole și-au direcționat eforturile pentru creșterea cantității de informație ce poate fi ascunsă ajungând să crească această cantitate de la 15% la 28% din capacitatea obiectului de ascundere.

Niimi și colaboratorii săi dezvoltă în [NII02a, NII02b] metode de ascundere a informațiilor secrete bazate pe complexitatea planurilor de biți (BPCS) în domeniul spațial reprezentat în RGB prin memorarea vectorilor de informație.

[TOR06] introduce în algoritmii de tip BPCS coduri de control a erorii (ECC) ce au ca scop reducerea ratei de eroare BER (bit error rate) la extragerea datelor din imaginea steganografică chiar și în cazul apariției unor distorsiuni pe canalele de transmitere. Folosirea codurilor de control al erorilor a condus la o creștere a capacității de ascundere cu mai mult de doi biți pe pixel față de lucrările de referință luate de către autori.

Se dovedește că algoritmii ce folosesc tehnica BPCS sunt și rezistenți la atacuri concepute prin steganaliză. În lucrarea [ZHA06] autorii propun algoritmul BPCS pentru ascunderea mesajului secret deoarece aceștia se dovedesc a fi deosebit de rezistenți la analiza statistică folosită în procesul de steganaliză. Mai mult, acest algoritm permite și obținerea unor contramăsuri în cazul unor atacuri [NII04].

Algoritmul de ascundere BPCS este util și în alte domenii. Spre exemplu în medicină este propus în [SRI04] spre a fi folosit pentru protecția înregistrărilor medicale în vederea asigurării confidențialității datelor pacienților.

#### **7.3.1 Conceptele de bază ale algoritmilor steganografici bazați pe complexitatea planurilor de biți**

Algoritmul steganografic BPCS ascunde o informație secretă într-un obiect de acoperire tip imagine digitală, iar pentru aceasta se folosește tehnica domeniului spațial care înglobează informația direct în biții imaginii digitale. BPCS este o tehnică care profită de proprietatea sistemului vizual uman [KAW98], [KAW02].

Tehnica presupune divizarea imaginii de preferat în blocuri de dimensiune 8x8, însă pot fi concepute și alte dimensiuni. Fiecare imagine este descompusă în regiuni de 8x8, care la rândul lor sunt descompuse în 8 planuri de biți. Pentru implementarea algoritmului este necesară calcularea complexității binare pentru fiecare plan de biți.

În general nu există o definiție standard a complexității planurilor de biți. Spre exemplu Kawaguchi a propus trei tipuri de măsuri ale complexității în [KAW86], [KAW89], [KAM95]. Pentru determinarea complexității și înglobarea datelor în aceste regiuni individuale se folosește pentru calculul acestora o măsură a complexității binare a planurilor de biți individuale din fiecare regiune.

În mod frecvent complexitatea imaginii se definește prin lungimea graniței dintre alb și negru. Lungimea totală a graniței între alb și negru este egală cu însumarea numărului de schimbări negru/alb în lungul liniilor și al coloanelor dintr-o imagine.

Complexitatea imaginii este definită în [KAW86] prin relația :

$$\alpha = \frac{k}{M} \quad (7.4.)$$

În relația (7.4),  $k$  este lungimea totală a graniței dintre negru și alb sau numărul total de treceri de la 0 la 1 a imaginii și  $M$  este numărul maximum posibil de schimbări între alb și negru. Desigur, valoarea complexității variază între limitele  $[0,1]$ . Pentru ca un bloc să fie considerat complex și a putea fi înlocuit cu mesajul de ascuns, trebuie ca acesta să aibă de obicei complexitatea mai mare decât o complexitate de prag, notată  $\alpha_r = 0.3$ .

Codificarea binară a planurilor de biți poate crea generarea pe anumite regiuni a unor complexități foarte mari cu toate că din punct de vedere valoric planurile de biți nu se deosebesc semnificativ. Una din soluțiile propuse în [KAW86] constă în transformarea codului binar în cod Gray.

În procesul de ascundere la început se realizează o descompunere a imaginii în planuri de biți după care se calculează complexitatea fiecărei regiuni locale din fiecare plan de biți. Dacă o regiune are complexitatea mai mică decât complexitatea de prag, atunci regiunea este lăsată așa cum e, însă dacă complexitatea este mai mare sau egală cu pragul, atunci regiunea este înlocuită cu informația care se dorește a fi ascunsă.

La extragerea informației înglobate din imagine steganografică, procesul este inversat. Se realizează o descompunere a imaginii în planuri de biți și se calculează complexitatea fiecărei regiuni din fiecare plan de biți. Regiunile cu o complexitate mai mică decât complexitatea de prag sunt presupuse ca fiind informație din imaginea originală și sunt sărite. Regiunile cu complexitatea mai mare sau egală cu complexitatea de prag vor conține informația ascunsă.

Problema acestei metode după cum a fost prezentată este aceea că este posibil ca informația ascunsă, deși în general aleatoare prin natură, ar putea avea o complexitate mai mică decât complexitatea de prag. O astfel de regiune ar fi sărită în mod greșit în procesul de extragere deoarece având o complexitate scăzută este plasată în categoria informației simplu structurate din imagine.

Pentru a rezolva această problemă se utilizează o operație de conjugare, ce poate fi privită ca o operație sau-exclusiv a pixelilor din regiune cu un tipar în formă de tablă de șah. În acest fel are loc convertirea unei imagini cu complexitate mai mică decât pragul ales într-una cu o complexitate mai mare. Este posibil ca în funcție de caracteristicile sistemului vizual uman ca pragul ales să difere de la un plan de biți la altul. Se cunoaște că ochiul uman este mai sensibil la regiuni cu



degradări mai mari. Avându-se în vedere acest aspect se pot selecta praguri care să satisfacă această caracteristică, lucru ce a fost încercat în [ZHA06].

### 7.3.2 Etapele algoritmul steganografic bazat pe complexitatea planurilor de biți

Pe baza principiilor de bază enumerate mai sus am dezvoltat un algoritm bazat pe complexitatea planurilor în scopul efectuării unei analize privind caracteristicile acestui gen de algoritm, cât și performanțele lui. Algoritmul constă în următoarele etape:

#### *Algoritm de ascundere*

1. Se realizează conversia obiectului de acoperire în codul Gray canonic.
2. Se descompune imaginea în planuri de biți. Imaginea alb negru prezintă  $1 \times 8$  planuri de biți, iar imaginea color  $3 \times 8$  planuri de biți.
3. Se partiționează fiecare plan de biți în regiuni de  $8 \times 8$  blocuri.
4. Se generează masca de conjugare.
5. Se parcurge, într-o ordine prestabilită, fiecare bloc în parte și se calculează complexitatea planului de biți.
6. Primul plan de biți care are complexitatea mai mare decât complexitatea de prag este rezervat pentru a fi completat atât cu lungimea (exprimată în octeți) a mesajului ascuns, cât și cu numele fișierului ce are complexitate. Acesta se va completa la sfârșitul operației de ascundere și constituie antetul obiectului steganografic.
7. Se parcurge următorul bloc care a mai rămas în secvența regiunilor imaginii. Pentru fiecare regiune se calculează complexitatea acesteia.
  - a) Dacă complexitatea este mai mică decât complexitatea de prag, atunci se ignoră regiunea curentă și se trece la regiunea următoare. În acest caz blocul rămâne nemodificat.
  - b) Dacă complexitatea blocului este mai mare sau egală cu complexitatea de prag atunci regiunea este considerată complexă și planul de biți a obiectului de acoperire este înlocuit cu planul de biți al mesajului, după care se conjugă.
8. Blocul conjugat este marcat printr-un bit indicator.
9. Se continuă pasul 7, 8 până la terminarea blocurilor.
10. Se completează primul bloc complex, pasul 6, cu datele menționate.
11. Se realizează conversia planurilor de biți în codul Gray canonic înapoi în formatul imagine binară RGB care constituie imaginea steganografică.

#### *Algoritm de extragere.*

1. Imaginea steganografică se convertește în imagini în codul Gray canonic urmată de descompunerea acesteia în planuri de biți.
2. Se partiționează fiecare plan de biți în regiuni de  $8 \times 8$  blocuri și se recrează secvența imaginii acestor regiuni folosite în procesul de ascundere.
3. Se parcurg regiunile imaginii în aceeași secvență până când se găsește prima care are complexitatea mai mare sau egală cu cea de prag. Aceasta este regiunea antet.
4. Se conjugă regiunea antet dacă bitul său indicator este unu. De aici se extrage lungimea fișierului mesajului.
5. Se parcurge secvența regiunilor imaginii începând cu regiunea următoare după antet. Pentru fiecare regiune se calculează complexitatea. Dacă aceasta este mai mică decât complexitatea de prag, atunci regiunea curentă se ignoră și se trece la următoarea regiune.
6. Dacă complexitatea este mai mare sau egală cu complexitatea de prag atunci regiunea conține informație secretă și aceasta va fi extrasă.

7. Dacă bitul indicator este "1" atunci informația extrasă se conjugă și apoi urmează plasarea ei în fluxul de informație secretă.
8. Operația continuă până s-a extras cantitatea de informație specificată de dimensiunea fișierului găsită în pasul 4.

### 7.3.3 Rezultate experimentale - BPCS

În figurile 7.11, 7.12, 7.13 sunt prezentate câteva rezultate experimentale obținute în urma aplicării algoritmului bazat pe complexitatea planurilor de biți, iar în tabelul 7.3 sunt prezentate comparații între eroarea relativă rezultată și cantitatea de informație ascunsă cu acest algoritm.



Obiect de acoperire -  
Dimensiuni: 900,1kbiți

Obiect steganografic  
900,1kbiți



Mesaj secret  
Dimensiuni: 317k biți

Mesaj recuperat  
317kbiți

Figura 7.11 Algoritmul BPCS - Experimentul a

$\alpha = 0,3$

Raport de ascundere : mesaj/obiect de acoperire: 0.3521

Eroarea relativă dintre imaginea obiect de acoperire și imaginea steganografică: 0,92%

Eroarea relativă dintre mesajul secret și mesajul extras: 1,59%



Obiect de acoperire  
Dimensiuni: 900,1kbiți

Obiect steganografic  
900,1kbiți



Mesaj secret  
Dimensiuni: 265kbiți

Mesaj recuperat  
265kbiți

Figura 7.12 Algoritmul BPCS - Experimentul b

$\alpha = 0,3$

Raport de ascundere : mesaj/obiect de acoperire: 0.293

Eroarea relativă dintre imaginea obiect de acoperire și imaginea steganografică: 0,92%

Eroarea relativă dintre mesajul secret și mesajul extras: 0,80%



Obiect de acoperire  
Dimensiuni: 900,1kbiți

Obiect steganografic  
900,1kbiți



Mesajul secret  
Dimensiuni: 96,2kbiți

Mesajul recuperat  
96,2k biți

Figura 7.13 Algoritmul BPCS - Experimentul c

$\alpha = 0,3$

Raport de ascundere : mesaj/obiect de acoperire:0,107

Eroarea relativă dintre imaginea obiect de acoperire și imaginea steganografică:0,92%

Eroarea relativă dintre mesajul secret și mesajul extras: 0,17%

Pentru efectuarea testelor în tabelul 7.3 se prezintă unul dintre experimentele efectuate având următoarele date: complexitatea pragului ales este de 0,2, respectiv 0,3, capacitatea mesajului ascuns este aleasă variabil, iar ca rezultat în ultima coloană se prezintă eroarea relativă dintre imaginea de acoperire și imaginea steganografică rezultată. Capacitatea obiectului de acoperire folosit în experimente este de 700 kbiți. Din tabel se constată că raportul maxim de ascundere este de 0,34% din imaginea de acoperire, în cazul când  $\alpha = 0,3$ , respectiv 0,43% pentru cazul  $\alpha = 0,2$ .

Tabel 7.3 Comparații eroare relativă și cantitate ascunsă BPCS

alfa	Capacitatea maxima de informație ce se poate ascunde [kbiți]	Capacitate a mesajului ascuns [kbiți]	Eroarea relativă dintre obiect de acoperire/ obiect steganografic
0.3	244	20	0.0004
		40	0.0009
		60	0.0013
		80	0.0018
		100	0.0025
		120	0.0031
		140	0.0038
		180	0.0050
		200	0.0081
		220	<b>0.0105</b>
		240	0.0157
0.2	313 k	40	0.0009
		80	0.0018
		120	0.0031
		160	0.0045
		200	0.007
		240	<b>0.0103</b>

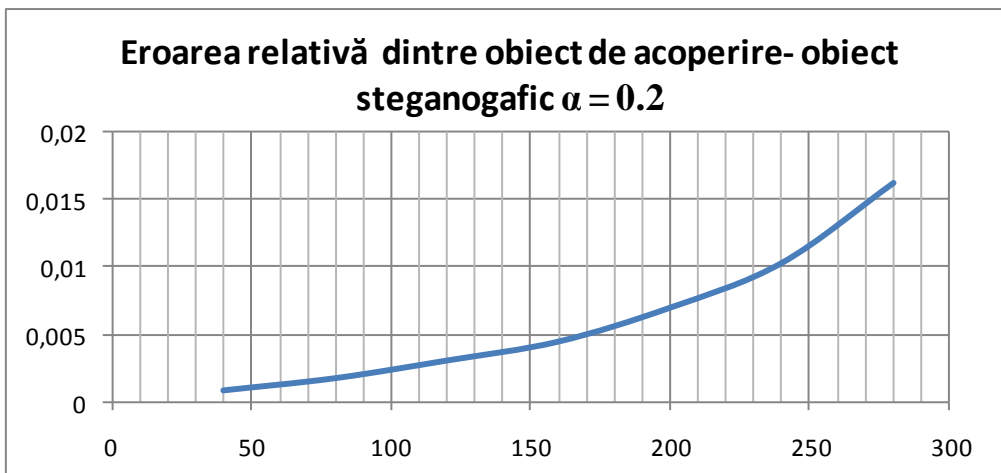
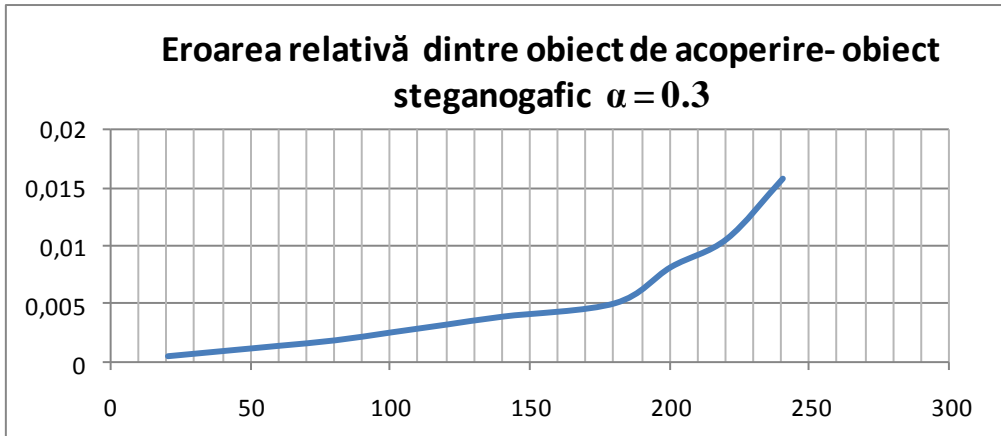


Figura 7.14 Eroare relativă – BPCS

În figura 7.14 se prezintă raportul dintre cantitatea de informații ascunsă și eroarea relativă dintre obiectul de acoperire și obiectul steganografic. Pe axa orizontală este reprezentată cantitatea informației ascunse exprimată în kbiți, iar pe verticală se regăsește eroarea relativă. Consider că obținerea unei erori relative mai mici de 1% implică reducerea cantității de informații ascunse, așa cum se remarcă în figura 7.14 unde se observă o creștere exponențială a erorii pentru o capacitate de ascundere mărită, ceea ce poate afecta în mod evident și degradarea obiectului steganografic.

#### 7.3.4 Concluzii - BPCS

În concluzie este de remarcat faptul că prelucrările multiple efectuate în cadrul procesului de generare a obiectului steganografic implică timpuri de execuție cu atât mai mari cu cât procesul de prelucrare este mai complex. Din acest motiv

algoritmul bazat pe complexitatea planurilor de biți este inoperant în executarea lui în timp real.

Pe de altă parte algoritmul poate prezenta avantajul că prelucrările multiple nu sunt cunoscute de către un eventual atacator, ceea ce face dificilă recuperarea neautorizată a acestuia.

Mai mult, dacă ascunderea se face doar în planurile de biți mai puțin semnificative, calitatea imaginii steganografice este deosebit de bună, neatrăgând atenția celui care dorește analiza obiectului steganografic. Astfel de algoritmi pot implica o mare varietate de soluții care să conducă la creșterea rezistenței unui eventual atac.

Algoritmul bazat pe complexitatea planurilor de biți a constituit pentru mine un bun exemplu ca studiu de caz permițându-mi totodată realizarea unei comparații în ceea ce privește calitatea sistemului steganografic vis-à-vis de timpul de execuție al acestuia. În acest sens se poate constata faptul că multiplele prelucrări pot îmbunătăți calitatea obiectului steganografic, ceea ce confirmă încă o dată valabilitatea modelului steganografic propus în capitolul 6. Totodată efectuarea prelucrărilor multiple duce la ridicarea unor noi bariere în calea eventualilor atacatori.

Ca direcție de cercetare viitoare doresc să adaptez și această implementare pentru a face posibilă ascunderea informațiilor prin intermediul unui microprocesor în ideea găsirii altor variante de procesare care să reducă timpul de execuție fără a afecta avantajele câștigate până în prezent. Identificarea unor noi metode de procesare ar putea conduce la utilizarea și a acestui algoritm în scopul propus. În plus, este de așteptat ca următoarele generații de microprocesoare mai performante din punct de vedere al frecvenței de lucru și al capacității memoriei să permită și adaptarea acestui algoritm în condiții optime.

#### **7.4 Concluzii - Algoritmi steganografici aplicați în domeniul spațial**

Algoritmii de ascundere ce utilizează imagini reprezentate în domeniul spațial prezintă avantajul că au un timp relativ redus de generare a imaginii steganografice, pot recupera mesajul secret cu o eroare relativ mică și sunt ușor de implementat. Ca dezavantaj al acestor algoritmi se poate aminti faptul că ar putea fi vulnerabili la anumite tipuri de atacuri, cum ar fi încercarea introducerii unor zgomote pe canalul de transmitere a mesajului steganografic. În general introducerea zgomotelor pe canalul de transmitere este o problemă care nu ține de generarea unei imaginii steganografice de bună calitate, ci este legată de securitatea canalelor de transmisie care reprezintă un alt domeniu, de care nu mă ocup în această lucrare.

Prin calitatea generării unui mesaj steganografic bun și prin repetitivitatea etapelor de generare a imaginii steganografice, așa cum am arătat mai sus, astfel de algoritmi se pretează foarte bine pentru a fi implementați hard.

Făcând o comparație între cei trei algoritmi steganografici realizați în domeniul spațial se pot desprinde următoarele observații:

- Cantitatea cea mai mare de informații ce poate fi încorporată se poate obține cu algoritmi steganografici bazați pe ascunderea în biții cei mai puțini semnificativi, putându-se ajunge chiar la un raport dintre obiectul de acoperire și mesaj de 100%.

- Cantitatea cea mai mică de informații ce poate fi ascunsă se obține cu algoritmi bazați pe transformata YUV.
- Algoritmii care ar putea prezenta cele mai dificile posibilități de detecție a mesajului sunt algoritmi bazați pe complexitatea planurilor de biți care implică multiple prelucrări atât asupra mesajului ascuns, cât și a obiectului de acoperire. De asemenea și algoritmi bazați pe transformata YUV implică o serie de prelucrări ale mesajului. Mai mult, modul de transformare poate fi considerat ca o cheie suplimentară de protecție.
- Eroarea relativă sub 1% se obține practic cu toți algoritmi implementați de mine în domeniul spațial, dar bineînțeles având câteva elemente specifice. Astfel că: algoritmul bazat pe transformata YUV nu în toate experimentele generează eroarea menționată, iar algoritmul bazat pe complexitatea planurilor de biți impune în mod obligatoriu reducerea cantității informației ascunse pentru obținerea unei astfel de erori.
- Din punctul de vedere al timpului de rulare algoritmi bazați pe ascunderea informațiilor în biții cei mai puțini semnificativi ai obiectului de acoperire prezintă valori minime. Comparativ cu acesta, algoritmul bazat pe transformata YUV implică un timp de execuție de 40 de ori mai mare, iar algoritmul bazat pe complexitatea planului de biți un timp de 30 până la 40 de ori mai mare.

În concluzie consider că algoritmi bazați pe ascunderea datelor în cei mai puțini semnificativi biți prezintă un raport optim între cantitatea de informație ce poate fi ascunsă, timpul de execuție și calitatea obiectului steganografic obținut. Din acest motiv am ales acest algoritm pentru a fi experimentat și pe microprocesoarele ARM și ISAAC ce sunt sau vor fi folosite în telefonia mobilă.

În continuare voi încerca să aduc noi îmbunătățiri schemei de implementare, prin mărirea capacității memoriei alocate, o paralelizare mai accentuată a algoritmului, pentru a scădea timpul de execuție. Mă gândesc că un astfel de algoritm ar putea fi implementat și pe alte tipuri de microprocesoare folosite în telefoanele mobile fără prea mari modificări, pentru a asigura securitatea transmiterii mesajelor SMS și de ce nu a convorbirilor, care la ora actuală au un grad de securitate redus.



## 8 STEGANOGRAFIA ÎN DOMENIUL FRECVENȚĂ

Din cele prezentate anterior se poate constata faptul că tehnicile bazate pe modificări ale celor mai pușini semnificativi biși reprezintă modalități uoare de a încorpora informașii secrete, însă acestea ar putea fi vulnerabile dacă nu se iau în considerare tehnici de protejare a informașiei. În multe cazuri chiar și schimbările mici rezultate în urma comprimărilor cu pierderi pot duce la o degradare parțială sau totală a informașiei ascunse [JOH01]. Aceste afirmașii la ora actuală pot fi combătute relativ simplu deoarece există foarte multe metode de contracarare a atacurilor așa cum am arătat în capitolul precedent.

S-a observat de-a lungul timpului că prelucrarea informașiiilor în domeniul frecvenșei conduce la micșorarea timpului de procesare, ceea ce face ca multe dintre sistemele steganografice cunoscute azi să opereze în domeniul frecvenșei folosind diferite transformate specifice acestuia [YUA08].

Metodele bazate pe domeniul transformatelor ascund mesaje în zone semnificative ale imaginii de acoperire ceea ce le poate face mai puternice împotriva atacurilor. Astfel de metode sunt: comprimarea, decuparea și alte procesări ale imaginii, acestea fiind diferite de cele abordate în procesarea efectuată în algoritmi bazași pe ascunderea în bișii cei mai pușini semnificativi ai obiectului de acoperire. Totodată, în timp ce ele sunt mai viguroase față de alte procesări ale semnalului, rămân imperceptibile sistemului senzorial uman. Există numeroase variașii ale domeniului transformatelor.

Există numeroase metode bazate pe domeniul transformatei, acestea fiind independente față de formatul imaginii. Pot de asemenea apărea conversii între formate cu pierdere și fără pierdere. Cele mai utilizate metode de ascundere în domeniul frecvenșei se bazează pe transformări de tipul DCT (Discret Cosinus Transform), FFT(Fast Fourier Transform), DFT(Discret Fourier Transform), cu menșionarea că prima transformată este cea mai frecvent utilizată.

### 8.1 *Algoritm steganografic bazat pe transformata cosinus discretă DCT*

Se dovedește că steganografia este o arie importantă dezvoltată în ultimii ani în securizarea informașiiilor în încorporarea unui mesaj ascuns într-un obiect de acoperire rezultând un obiect steganografic ce este imperceptibil simșurilor umane și /sau unor algoritmi de steganaliză. Astfel obiectul de acoperire devine purtătorul unor mesaje secrete.

Pe baza acestor afirmașii la ora actuală s-a dezvoltat steganografia modernă ce-și propune ca sarcină de bază încorporarea mesajelor într-un obiect de ascundere fără posibilitatea de detecție. Ca urmare a acestui obiectiv în [RAJ05] sunt prezentate mai multe metode steganografice care combină algoritmi steganografici LSB și DCT și alte tehnici de comprimare ale imaginilor în vederea creșterii securității imaginii steganografice. Într-o primă etapă algoritmul LSB este folosit pentru a încorpora bișii mesajului secret, iar în etapa următoare imaginea

steganografică rezultată este transformată din domeniul spațial în domeniul frecvență utilizând transformata DCT.

Un număr mare de programe steganografice comerciale folosesc ca metode de ascundere metoda LSB, atât a imaginilor color (24 biți), cât și a imaginilor alb negru (8 biți). În general se constată că modificările făcute în cel mai puțin semnificativ bit nu pot fi detectate datorită zgomotului care este prezent tot timpul în imaginile digitale. Pentru a mări și mai mult gradul de rezistență la atacuri [HAS05] descrie o tehnică LSB, combinată cu o tehnică de inserare DCT.

Transformata discretă a cosinusului este una dintre cele mai populare sisteme de comprimare a imaginilor digitale folosite în ziua de azi. Una din provocările majore ale steganografiei este rezistența informației la transmiterea imaginii steganografice pe canale afectate de zgomot. Cu ajutorul algoritmilor de ascundere ce folosesc transformata DCT sunt permise modificări imperceptibile ale imaginilor steganografice în cazul recepționării ei, iar recuperarea datelor se poate face complet în absența zgomotului. Un astfel de exemplu se prezintă în lucrările [AGR09] și [TAN08]. Transformatele pot fi aplicate asupra întregii imagini dar și asupra anumitor blocuri din imagine [SAJ08]. Influența celor mai înalți coeficienți DCT este redusă, deoarece de obicei ei sunt acoperiți de zgomot și nu se așteaptă să contribuie semnificativ la alcătuirea detaliilor imaginilor. Pasul următor presupune aplicarea transformatei DCT inverse cu scopul de a reconstrui datele. În acest fel, imaginea reconstruită va fi foarte aproape de cea originală, însă nu identică cu ea. Dacă valorile cuantizării sunt stabilite în mod corespunzător, nu ar trebui să existe diferențe observabile de către un eventual atacator [SAR07].

Pentru creșterea securității imaginii steganografice sunt utilizați algoritmi prin intermediul cărora mesajul secret este comprimat de așa manieră încât pierderile să fie nesemnificative. În acest mod poate crește capacitatea de ascundere cunoscând faptul că utilizarea unor astfel de transformate implică cantități mici de informații ce pot fi încorporate. În [YAH08] este propus un algoritm de ascundere bazat pe transformata cosinus discretă DCT în vederea creșterii capacității de ascundere, dar și a robusteții.

O metodă eficientă de ascundere bazată pe strategii de încorporare a datelor pe nivele este descrisă în [CHI09]. Autorii afirmă că această soluție ce utilizează transformata DCT este superioară altora citate în lucrare pentru majoritatea imaginilor testate.

Practic, în transformarea JPEG mai întâi se convertește imaginea care trebuie comprimată în spațiul culorii  $YCbCr$  și împarte fiecare zonă de culoare în blocuri  $8 \times 8$  pixeli [XIA08c]. Apoi pentru toate blocurile se aplică transformata cosinus discretă. În următorul pas al cuantizării toți coeficienții DCT sunt împărțiți cu ajutorul unor valori de cuantizare predefinite, și rotunjite spre cel mai apropiat întreg. După declarația autorilor, metoda propusă se dovedește a fi eficientă în steganaliză.

Pentru a contracara eventualele atacuri asupra obiectelor steganografice, Koksheik propune în [KOK07] o metodă steganografică ce folosește transformata DCT și un set de operații aritmetice modulo 4 pentru a încorpora o pereche de biți în imaginea de ascundere. Algoritmii se dovedește a fi deosebit de rezistent metodelor de atac prin steganaliză.

[RUF04] prezintă un algoritm steganografic care se bazează pe similaritatea ce există între coeficienții DCT ce aparțin blocurilor adiacente ale imaginii. Pe baza acestor observații distorsiunile apărute se împrăștie spre blocurile adiacente ale imaginii. Rezultatele obținute demonstrează rezistența la atacurile tipice. Este

cunoscut faptul că scopul principal al metodelor steganografice este de a încorpora o imagine secretă într-o imagine purtătoare în așa fel încât imaginea rezultată să rămână cât mai asemănătoare cu versiunea originală. Pe lângă aceasta, imaginea purtătoare ar trebui să rămână robustă la atacurile clasice. În [KER05] este prezentată o metodă ce încearcă să acopere toate aceste preocupări.

În lucrările [CRU06, CAI07] au fost implementate în imagini video în format MPEG-2 și MPEG-4 metode de ascundere pentru imagini video cu rezultate bune privind imaginile steganografice. Cele două lucrări utilizează ca și modalitate de ascundere algoritmi bazați pe transformata cosinus discretă DCT.

Pentru testarea și validarea performanțelor algoritmilor steganografici bazați pe transformata cosinus discretă am implementat două soluții prezentate în lucrările [STA07b] și [STA08a].

Un prim algoritm realizat de mine în [STA07b] a condus la încorporarea datelor în cadrele unor imagini video. Datorită caracteristicilor sale în timp real transmiterea cadrelor de date reprezintă un subiect înrudit cu constrângerile impuse de lărgimea benzii de frecvență. Pornind de la principiul de funcționare al algoritmului MPEG – 2 am propus un algoritm ce utilizează ascunderea de date pentru a transmite informații adiționale fără a necesita o lărgime de bandă suplimentară rezultând astfel o degradare aproape de neperceptibilă a imaginii. Datele adiționale transmise pot fi subtitrări, semnale de corecție sau watermarking. Astfel, în articol s-a aplicat algoritmul bazat pe transformata cosinus discretă pentru compresia unor imagini MPEG2 și generarea unor imagini steganografice. Folosind cadre de mărime 720×576 pixeli au fost încorporate un text generând astfel imagini steganografice fără a avea diferențe semnificative față de obiectul de acoperire inițial.

În [STA08a] am prezentat tehnici steganografice referitoare la watermarking punându-se accent pe robustețe și cantitatea de informație ascunsă. Robustețea este obținută utilizând o transformare optimă, iar rata biților este obținută procesând înaintea semnalului de watermark. Se aplică totodată și transformata KLT cu ajutorul căreia se transformă obiectul de acoperire, după care se pregătește watermark-ul pentru încorporarea sa. Acest lucru se realizează prin utilizarea unor tehnici folosite în comprimarea JPEG: separarea blocurilor, transformata cosinus discretă și cuantificarea. Imaginea watermark este divizată în  $n \times n$  blocuri, utilizându-se aceeași valoare pentru  $n$  ca și pentru imaginea purtătoare. Având un mare grad de concentrare a energiei, KLT este ales ca fiind potrivit pentru ascunderea datelor.

De asemenea, în [STA08a] s-a arătat și faptul că metoda propusă este foarte robustă împotriva atacurilor severe precum filtrul trece jos, codarea comprimată, având o performanță foarte bună. Mai mult, transformarea cosinus discretă permite încorporarea watermark-urilor dintr-o singură culoare, și implică sporirea cantității de date ce pot fi ascunse. Mai multe amănunte în legătură cu capacitatea sa de rezistență împotriva atacurilor se află sub investigație, de exemplu utilizarea unui model partionat al imaginii, și nu un bloc fix  $n \times n$ . Precizez că imaginea steganografică rezultată prezintă o robustețe ridicată satisfăcând scopul urmărit, putându-se astfel recupera în întregime mesajul ascuns, chiar în cazul aplicării unor zgomete puternice pe imaginea steganografică.

### 8.1.1 Experimente DCT

În figura 8.1. se prezintă un exemplu de ascundere a unui mesaj folosind transformata cosinus discretă. Menționez că asupra acestui algoritm nu voi insista în această lucrare fiind descris în [STA08a]. Se constată că imaginea recuperată în

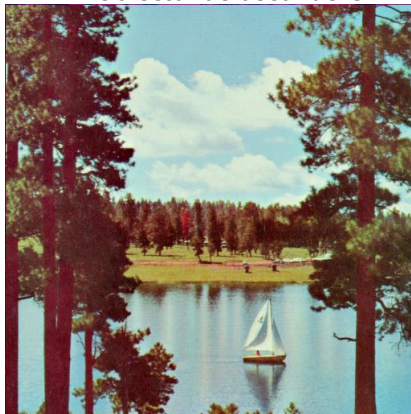
cazul aplicării unui semnal de zgomot este afectată într-o proporție foarte mică fiind relativ simplu de recunoscut imaginea inițială.



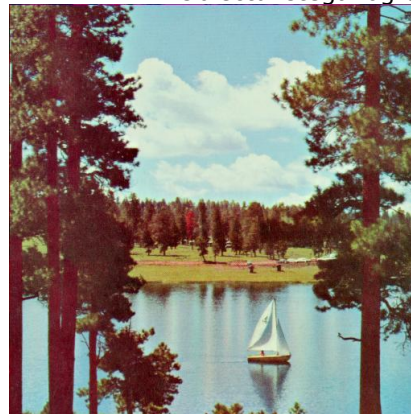
Obiectul de ascundere



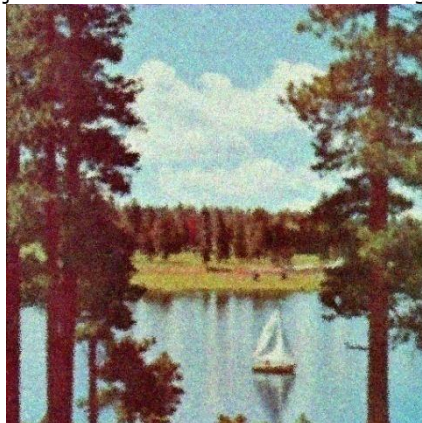
Obiectul steganografic



Imaginea inițială



Imaginea recuperată



Imaginea recuperată în cazul aplicării unui semnal de zgomot  
Figura 8.1 DCT – Rezultate experimentale

Datorită caracteristicilor algoritmilor ce se bazează pe transformata cosinus discretă cantitatea de informații ascunse a fost cu 3 ordine de mărime mai mică decât în cazul utilizării algoritmilor bazați pe ascunderea în bitul cel mai puțin semnificativ, respectiv algoritmi bazați pe complexitatea planurilor de biți, și cu 2 ordine de mărime mai mic decât în cazul utilizării algoritmilor bazați pe transformata YUV. În plus, erorile relative obținute depășesc de 1 până la 5 ori erorile relative obținute cu algoritmi implementați în domeniul spațial.

Sigur că obiectivele algoritmilor menționați au urmărit proprietăți legate de robustețea obiectului steganografic, însă am ținut cont și de faptul că unul din algoritmi a fost implementat pe un mediu relativ rar folosit în steganografie, și anume imagini video.

Rezultatele comparative ale algoritmilor ce folosesc transformata DCT se regăsesc în tabelul 10.1 din capitolul 10. Se poate constata că acest algoritm este unul dintre cei mai puțini performanți în ceea ce privește cantitatea de informație ascunsă. Din acest motiv, acest algoritm l-am implementat doar în dorința de a constitui un studiu de caz privind compararea performanțelor lui față de alți algoritmi prezentați în această lucrare. Utilizarea transformatei cosinus discretă este utilă în prelucrări de imagini și comprimarea acestora, în schimb nu prezintă aceleași rezultate și în steganografie, fiind utilizat cu precădere în watermarking pentru protecția proprietății intelectuale.

### 8.1.2 Concluzii

Algoritmii care utilizează domeniul frecvență, datorită capacității de compactare a imaginilor au fost în atenția numeroșilor autori de algoritmi steganografici. Ceea ce dezavantajează acești algoritmi constituie rata mică de ascundere, în schimb prezintă o robustețe sporită, ceea ce îi face utili la generarea semnăturilor digitale sau la încorporarea de watermark-uri.

În domeniul frecvenței au loc diferite transformări ale imaginilor bazate pe modificarea anumitor coeficienți specifici transformatei aplicate, fapt ce permite ascunderea de informații secrete în aceste transformări. Acest domeniu poate fi utilizat pentru a crește rezistența la detectarea informației ascunse. De asemenea astfel de transformări permit obținerea unor imagini digitale sau video cu un anumit grad de comprimare, ceea ce poate fi benefic în cazul sistemelor steganografice.

O concluzie legată de aplicarea algoritmului bazat pe transformata cosinus discretă constă în faptul că timpul de execuție este relativ redus și cu rezultate bune în ceea ce privește obținerea unei imagini steganografice corespunzătoare. Utilitatea acestui algoritm prin combinarea cu alte tehnici cum ar fi LSB, YUV ar putea rămâne ca direcție viitoare de cercetare.

## 9 STEGANOGRAFIA ÎN DOMENIUL VECTORIAL

Unul dintre cele mai importante atribute ale steganografiei îl constituie alegerea unei tehnici potrivite pentru ascunderea unor informații secrete. Gradul de reușită a unui proces steganografic constă în abilitatea unei astfel de alegeri. În situația în care o altă persoană decât cele implicate direct în procesul steganografic (emițătorul și receptorul) poate să observe existența unor date ascunse într-un obiect steganografic la care are acces, atunci tehnica steganografică utilizată este inutilă.

Atunci când oamenii utilizează o anumită tehnologie într-un scop propriu, urmarea firească este ca în continuare aceștia să ceară diferite îmbunătățiri. Astfel că în permanență are loc dezvoltarea de noi tehnologii în domeniul steganografiei. Deoarece lumea a devenit în mare parte digitală și tehnicile steganografice dezvoltate în ultimii ani au necesitat anumite modificări pentru a fi aplicate în acest domeniu.

În marea lor majoritate tehnologiile existente prezintă anumite limitări, iar procesul de îmbunătățire a acestora constă în înțelegerea lor și luarea unor măsuri în vederea minimalizării impactului acestora în procesul steganografic.

Sistemele steganografice existente permit încorporarea unei anumite cantități de informație secretă fără a degrada obiectul de acoperire astfel încât să nu trezească suspiciuni unui eventual interceptor. La ora actuală steganografia are tendința de a ascunde o cantitate cât mai mare de date, ceea ce necesită în permanență dezvoltarea unor astfel de algoritmi care să permită comprimarea unei cantități mari de date, iar stocarea acestora să fie în fișiere cât mai mici. Așadar, capacitatea de a ascunde cantități mari de date cu ajutorul tehnicilor steganografice este un domeniu care poate fi îmbunătățit.

Pentru sporirea securizării o soluție ar fi codarea mesajului secret cu o cheie cunoscută doar de emițător și receptor, similar ca în criptografie. Aceasta ar putea constitui o tehnică de combinare a metodelor steganografice cu cele criptografice. Dacă nu este aleasă o tehnică potrivită pentru a ascunde date, iar obiectul steganografic trezește suspiciune atunci este posibil ca informația secretă să fie depistată. În cazul în care informațiile secrete sunt protejate suplimentar cu o anumită cheie, la o detecție se poate obține conținutul mesajului, însă acesta va fi de neînțeles atacatorului, datorită prezenței cheii suplimentare. Ca atare, cu cât steganografia devine mai sofisticată, rezistența sa împotriva analizării sau chiar a recunoașterii sale devine din ce în ce mai puternică. Astfel că se vor face în permanență eforturi considerabile pentru a face steganografia să fie de nedetectat pentru oricine în-afara celor care au realizat-o.

Pornind de la reprezentarea imaginilor în diferite domenii sunt într-o continuă dezvoltare și algoritmi steganografici ce pot fi aplicați în domeniile respective. Astfel că, pe lângă domeniul spațial și frecvență există și un alt spațiu în care imaginile pot fi reprezentate, cunoscut sub numele de spațiu vectorial [HOG06]. Conceptul de spațiu vectorial este bazat pe ideea de vectori. Cel mai simplu exemplu de vector care se poate imagina este desenarea unei săgeți într-un plan fix de două sau trei coordonate, care începe dintr-un punct fix. Vectorii sunt utilizați în general pentru obiecte asupra cărora se pot aplica două tipuri de operații,

și anume adunarea, respectiv înmulțirea vectorilor cu un scalar. O mare parte dintre algoritmi steganografici care utilizează într-un mod sau altul vectori și valori proprii prezintă un grad ridicat în ceea ce privește robustețea, datorită faptului că vectorii și valorile proprii păstrează foarte bine informația.

Cele mai cunoscute aplicații în domeniul steganografiei bazate pe domeniul vectorial sunt cele care utilizează transformatele SVD, respectiv KLT. Ambele transformate prezintă proprietăți ce pot fi exploatate în algoritmi steganografici, atât pentru obținerea comprimării imaginii, cât și pentru generarea unor procesări suplimentare asupra obiectelor ce sunt folosite în sistemele steganografice. Procesarea asupra acestor obiecte conduce la îmbunătățirea erorilor rezultate în urma ascunderii prin generarea unui obiect steganografic de calitate superioară. Mai mult, se obține îmbunătățirea procesului de recuperare cu mai multă acuratețe a mesajului secret, cât și creșterea robusteții obiectului steganografic.

### 9.1 **Transformata SVD aplicată în steganografie**

Tehnicile de ascundere ce folosesc transformata SVD urmăresc să facă recuperarea mesajului secret cât mai dificilă de către terțe persoane. În acest scop algoritmi bazați pe transformata SVD implică obținerea unui obiect steganografic care să nu trezească suspiciune, ceea ce presupune o procesare suplimentară asupra obiectelor participante în sistemul steganografic. Cunoscând faptul că transformata SVD implică un grad mic de încorporare de date, tendința care se manifestă în ultimul timp constă în mărirea capacității de ascundere. O soluție în acest sens ar fi compactarea fără pierderi a informațiilor din mesajul secret.

În [GOR03] se prezintă un studiu experimental al proprietăților unei noi tehnici de ascundere a informației bazate pe imagini ce sunt critice pentru comunicarea ascunsă. Tehnica presupune aplicarea transformatei SVD asupra unei imagini digitale și folosește inserarea unui bit de date prin mici modificări a unei combinații liniare ale unei valori dintr-un bloc de dimensiuni mici aparținând imaginii de acoperire. Ideea principală a acestui studiu constă în găsirea unei dependențe între rata de încorporare a datelor invizibile și robustețea obiectului steganografic. Un alt obiectiv urmărit constă în realizarea unor recomandări practice referitoare la ajustarea atributelor controlabile ale procedurii de încorporare de date bazată pe transformata SVD. Rezultatele studiului oferă informații privind modalitatea abordării procesului steganografic.

Pentru creșterea capacității de încorporare a datelor secrete și obținerea unui obiect steganografic robust în [BAB07] este propus un algoritm ce utilizează transformata SVD și se bazează pe două proprietăți importante ale acesteia, și anume: valorile singulare reprezintă luminozitatea sau energia imaginii digitale, iar perechea relevantă a vectorilor singulari reprezintă geometria imaginii, astfel că mici variații ale transformatei SVD nu pot afecta perceperea vizuală a imaginii. Pe baza acestor observații obiectul de acoperire este transformat, iar mesajul secret ce urmează a fi transmis se încorporează în valorile singulare ale acestuia. Din punctul de vedere al performanțelor algoritmul prezintă caracteristici superioare față de algoritmi luați în calcul de autori.

Pe baza transformatei SVD bazându-se și pe proprietățile sistemului auditiv uman folosind ca obiect de acoperire formatul MP3 utilizat în domeniul audio, în

[BA004] se descrie un sistem steganografic deosebit de robust cu o recuperare sigură a datelor.

Se remarcă faptul că folosirea transformatei SVD îndepărtează dependența liniară relativă dintre rândurile și coloanele unei imagini [GUL08b]. Cunoscând faptul că imaginile care prezintă asemenea dependențe pot crea suspiciuni că ar conține informații secrete, rezultă că prin folosirea transformatei SVD la astfel de imagini s-ar putea crește gradul de robustețe în cazul unor atacuri.

Prin schimbarea valorilor singulare a unei imagini se constată că acest lucru nu afectează calitatea imaginii prea mult. În [YAV07] se dezvoltă unele metode bazate pe SVD prin care informația secretă este încorporată în valorile singulare ale imaginii de acoperire. În situația unui atac, dacă vectorii singulari ai altei imagini sunt folosiți în detrimentul imaginii originale acest lucru ar genera un fals, ceea ce ar permite detectarea dreptului de proprietate a originalului.

### 9.1.1 Algoritm steganografic bazat pe descompunerea în valori singulare

În [STA08b] prezintă un algoritm bazat pe descompunerea matricei corespunzătoare obiectului de acoperire, cât și pe compresia mesajului folosind un algoritm ce cuantizează valorile acestuia. Pașii algoritmului sunt următorii:

*Algoritm de ascundere*

- 1) Din fișierul obiectului de acoperire tip imagine se formează matricea  $M$  cu valorile corespunzătoare pixelilor. Dacă imaginea este alb-negru se va construi o singură matrice, iar dacă este color pentru fiecare culoare R,G,B se vor forma 3 matrice.
- 2) Matricea (matricele)  $M$  se împarte în sub-blocuri de dimensiune  $8 \times 8$ , notate  $A$ . Submatricele rezultate sunt împărțite la rândul lor în matrice pare  $A_l$ , respectiv impare  $A_r$ . Dacă matricea  $M$  nu poate fi împărțită exact în submatrice  $A$ , atunci surplusul de linii și coloane se poate ignora.
- 3) Folosind transformata SVD se determină matricele  $U$ ,  $S$ ,  $V$  pentru fiecare bloc.
- 4) Asupra mesajului secret care este format din biți ce au valori 0 sau 1 se face o conversie prin care valorile  $[0,1]$  sunt convertite în valori de  $[-1,1]$  folosind următoarea formulă de calcul: „0” se va înlocui cu  $2 \times 0 - 1 = -1$ ; „1” se va înlocui cu  $2 \times 1 - 1 = 1$ .
- 5) Mesajul secret este împărțit în blocuri de  $4 \times 4$ , iar fiecare bloc este comprimat folosind o compresie DXT [KRA07]. Ca urmare, prin cuantizarea fiecărei valori din bloc obținută cu relația:
 
$$c = \alpha \times low + (1 - \alpha) \times high \quad (9.1)$$
- 6) Pentru încorporarea mesajului secret se va folosi numai matricea  $U$ , care este împărțită în 3 regiuni, așa cum se constată în figura 9.1.



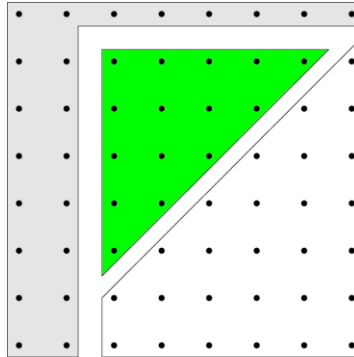


Figura 9.1 Regiunile de bază ale matricii U

Informația secretă va fi încorporată numai în zona de deasupra diagonalei secundare (regiunea verde). În total pot fi ascunși 15 biți în blocul par și 15 biți în blocul impar.

- 7) Formula folosită pentru ascunderea datelor secrete este:

$$u'_{ij} = p_k \times |u_{ij}|$$

(9.2)

Unde,  $i = 3 \dots 8$ , iar  $j = 2 \dots 9 - i$

$p_k$  reprezintă biții din informația secretă,

$u_{ij}$  reprezintă elementele matricii  $A$ .

De menționat că valorile lui  $p_k$  vor fi +1 sau -1 în funcție de valoarea bitului ascuns. Ca urmare efectul produs de relația (9.2) determină ca valorile lui  $u'_{ij}$  să genereze o nouă matrice  $U'$  diferită de cea originală  $U$

numai prin semn (+ sau -). Semnul elementului  $u'_{ij}$  din matricea  $U'$  va fi de fapt informația ascunsă. Din cauză că elementele ce se află deasupra diagonalei secundare sunt modificate și având în vedere că  $U'$  trebuie să fie ortogonală, rezultă că este necesară și modificarea elementelor de sub diagonala secundară. Ortogonalitatea presupune calcularea unui sistem de ecuații liniare ce folosește algoritmul de eliminare Gauss - Jordan [STR03]. În felul acesta matricea  $U'$  va fi ortogonală.

- 8) Se calculează matricele de forma :  $A' = U' \times S \times V^T$ . Acest pas presupune reconstituirea blocurilor de pixeli, dar de data aceasta sunt incorporate și informațiile secrete.
- 9) Se reconstituie matricea  $M'$  folosind noile submatrici  $A'$  determinate în pasul anterior. Matricea  $M'$  constituie de fapt obiectul steganografic.

#### Algoritmul de extragere

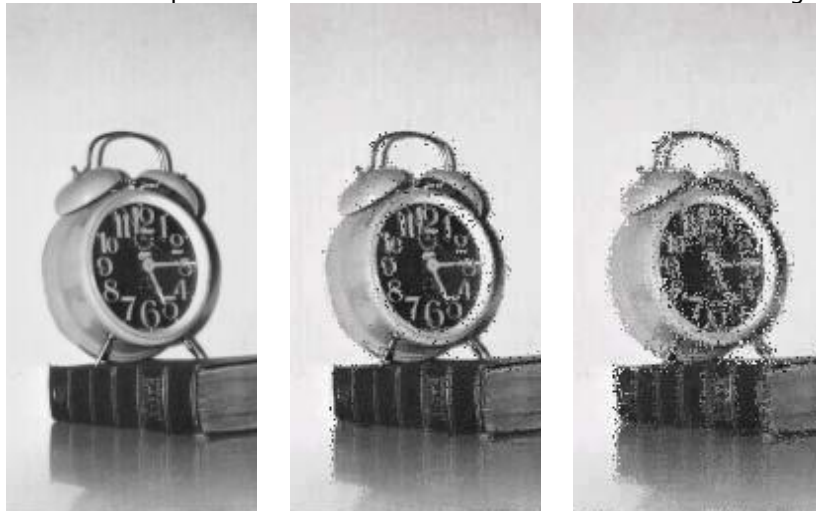
- 1) Matricea obiectului steganografic  $M'$  se descompune în submatrice  $\bar{A}$  de dimensiune  $8 \times 8$ .
- 2) Folosind transformata SVD se determină matricele  $\bar{U}, \bar{S}, \bar{V}^T$ .
- 3) Se extrag biții cu informația ascunsă din  $\bar{U}$  din semnul elementelor de deasupra diagonalei principale folosind formula:

$$p_k = \frac{\overline{u_{ij}}}{|\overline{u_{ij}}|} \quad (9.3)$$

- 4) Se concatenează toți biții rezultați în urma extragerii informației ascunse din matricele  $\overline{A}$  obținându-se în final mesajul secret.

### 9.1.2 Experimente SVD

Pentru experimentarea algoritmului bazat pe descompunerea în valori singulare pentru unul din experimente, prezentat în figura 9.2 s-a folosit ca obiect de acoperire o imagine alb negru, de dimensiune  $512 \times 512$  pixeli (72,7Kbiți, în format JPEG). Mesajul secret este o imagine alb negru, de dimensiune  $128 \times 256$  pixeli (9Kbiți, în format JPEG).



Mesaj secret

Mesaj recuperat

Mesaj recuperat în prezența  
zgomotului

Figura 9.2 Rezultate algoritm steganografic bazat pe transformata SVD

Se constată din figura 9.2 că imaginea recuperată chiar și în prezența unor zgomote poate fi recunoscută comparativ cu imaginea inițială, ceea ce dovedește caracteristicile de robustețe ale algoritmului steganografic bazat pe transformata SVD.

### 9.1.3 Concluzii

Am constatat în urma implementării algoritmului menționat mai sus la care am adus unele modificări legate de compactarea mesajului secret că raportul de

ascundere este  $\frac{1}{8}$  din imaginea de acoperire, ceea ce este mult inferior algoritmilor bazați pe bitul cel mai puțin semnificativ, cât și cei bazați pe complexitatea planurilor de biți, fiind doar comparabili cu algoritmi bazați pe transformata YUV și pe cei bazați pe transformata cosinus discretă. O statistică privind compararea algoritmilor bazați pe descompunerea în valori singulare se prezintă în tabelul 10.1 din capitolul 10. Se poate constata pe baza comparațiilor unor performanțe legate de cantitatea de informație ascunsă, calitatea imaginii steganografice și raportul de recuperare al mesajului că astfel de algoritmi se clasează printre algoritmi cu performanțe relativ reduse din punct de vedere steganografic. Pe de altă parte datorită prelucrărilor multiple efectuate asupra obiectului de acoperire astfel de algoritmi permit creșterea gradului de securizare a datelor ascunse, precum și o robustețe sporită la eventualele atacuri. Din acest motiv astfel de algoritmi sunt recomandați în domeniul watermarking-ului pentru protejarea proprietății intelectuale. Algoritmul constituie un studiu de caz pentru eventualele dezvoltări ulterioare.

Legat de timpul de execuție se poate constata că algoritmul bazat pe transformata SVD necesită un număr relativ mare de operații care în mod evident sunt consumatoare de timp, ceea ce conduce la faptul că timpul de execuție a unui astfel de algoritm devine relativ mare în cazul în care obiectul de acoperire și mesajul secret au dimensiuni mai mari. Din acest motiv este de presupus că un astfel de algoritm nu poate satisface condițiile de lucru în timp real, fiind puțin probabil că poate fi utilizat în prezent în telefonia mobilă. O soluție de viitor legată de astfel de algoritmi ar consta în proiectarea unei scheme cablate pentru executarea algoritmilor. Interesul pentru astfel de algoritmi este firesc la ora actuală deoarece se caracterizează printr-o robustețe mare chiar și în cazul unui atac.

## 9.2 Transformata KLT aplicată în steganografie

După cum am arătat în paragrafele anterioare, transformata KLT este considerată ca fiind o prelucrare optimă a semnalelor pentru reprezentarea, compresia, analiza și procesarea datelor. Această transformată este utilizată în foarte multe domenii unde apar secvențe sau procese aleatoare, fiind optimă din punct de vedere statistic, în sensul că oferă cea mai bună compactare în raport cu recorelarea datelor și păstrarea celor mai importante informații din acestea. Prezintă însă o problemă, și anume faptul că necesită un număr mare de prelucrări de date, unele de capacitate mare ceea ce face ca timpul de execuție să fie mare [HOG06]. Dar în cazul unor divizări pe blocuri a imaginii digitale, așa cum se va vedea în

continuare, aceste costuri de timp se pot reduce semnificativ, iar rezultatele generării unor algoritmi steganografici foarte puternici sunt de apreciat.

În [WUZ96] este realizat un studiu ce utilizează histograma imaginii pentru a identifica locul unde trebuie ascunse datele secrete. În acest sens se pune accentul pe proprietățile transformatei KLT aplicate unei imagini pentru a identifica histograma cea mai potrivită pentru încorporarea datelor astfel încât să se obțină imagini de o calitate cât mai bună.

Rata de distorsiune a imaginilor în urma unui proces steganografic și complexitatea transformatorilor liniari pentru comprimarea datelor cu pierderi sunt două probleme importante ce sunt analizate în [FEN02]. Scopul urmărit în lucrare este o mai bună înțelegere a aspectelor legate de performanță/complexitate asociate transformatei KLT și aproximărilor sale imediate.

Prin aplicarea transformatei KLT asupra unei imagini rezultă o nouă imagine ale cărei componente (pixelii) sunt într-un mod ideal independente din punct de vedere statistic. Utilizarea transformatei KLT poate fi luată în considerare și pentru generarea unui algoritm steganografic fie prin modul de procesare a imaginii, fie prin comprimarea mesajului secret, ceea ce implică în mod normal realizări multiple ale unei imagini. Pornind de la aceasta, în [DAF03] se propune o metodă pentru ascunderea unei imagini monocrome digitale, folosind transformarea Karhunen-Loeve (KLT).

Pentru creșterea capacității de ascundere și mărirea robusteții imaginii ascunse în [PIV00] se prezintă o metodă de ascundere în domeniul RGB bazată pe transformata KLT. Această transformată se aplică componentelor RGB, iar ascunderea se face în domeniul transformatei Fourier discretă.

În [CHE07] este prezentat un cadru pentru realizarea unei monitorizări vizuale robuste folosind proprietățile transformatei KLT, deoarece este foarte importantă pentru multe aplicații vizuale.

O soluție interesantă de transmitere a unui mesaj secret în timp real este dezvoltată în lucrarea [MOU03] prin care se propune o metodologie de joc teoretic la care participă doi sau mai mulți adversari / aliați. Mesajul secret este încorporat în imagini în prezența adversarilor fără ca aceștia să sesizeze schimbul de informații. Este de precizat faptul că transformata KLT joacă un rol central în distribuția optimă a mesajului. Mai mult, la atacurile adversarilor pentru sustragerea informației ascunse metoda s-a dovedit deosebit de eficientă la astfel de situații.

O analiză a transformatorilor discreți ortogonali este făcută în lucrarea [CAN08] unde se face o paralelă a proprietăților imaginilor digitale ce urmează a fi ascunse cu ajutorul transformatorilor DCT și KLT. Comparând cele două metode de ascundere a imaginilor digitale se constată că în cazul compresiei imaginii are loc o pierdere de informație. S-a constatat că aceste pierderi sunt mai semnificative în cazul folosirii transformatei DCT. Pierderile rezultate la folosirea transformatei KLT sunt imperceptibile.

În [STA07a] și [STA08a] am implementat două aplicații utilizând transformata KLT, în care s-a evidențiat robustețea imaginii steganografice.

În continuare voi prezenta alți trei algoritmi ce se bazează pe proprietățile transformatei KLT prin care voi scoate în evidență, în funcție de caz: robustețea mesajului steganografic, capacitatea lui de ascundere, respectiv timpul de execuție. Pentru realizarea obiectivelor propuse, au fost adoptate anumite artificii de calcul, spre exemplu: folosind soluții de comprimare a mesajului secret prin aplicarea transformatei KLT, combinate cu metode de ascundere a acestuia în biții cei mai puțin semnificativi ai obiectului de acoperire. Alte soluții posibile ar fi dispersia mesajului secret în obiectul de acoperire pe baza unor algoritmi pseudoaleatori ce pot fi considerați ca o cheie de acces în recuperarea acestuia. Pentru inducerea în eroare a unui eventual atacator în obiectul de ascundere se pot adăuga zgomote

care la rândul lor să conțină mesajul secret. Toate aceste soluții pot utiliza cu succes transformata KLT.

### 9.2.1 Algoritm steganografic pentru ascundere prin comprimare - ASAC

Pentru a mări capacitatea de ascundere a unui mesaj secret am dezvoltat un algoritm în care procesul de ascundere se realizează în biții cei mai puțini semnificativi ai obiectului de acoperire reprezentat în domeniul spațial RGB prin comprimarea datelor folosind proprietățile transformatei KLT. Prin combinarea celor două proceduri am urmărit practic trei direcții de cercetare: creșterea capacității de ascundere a unor mesaje de capacitate mare, obținerea unui obiect steganografic de o calitate foarte bună astfel încât deosebirea față de obiectul de acoperire să fie imperceptibilă și îmbunătățirea timpului de execuție a programului prin segmentarea procesării imaginilor în ideea implementării acestui algoritm pe un microprocesor cu mai multe unități de procesare. Scopul final în realizarea acestui algoritm constă în paralelizarea procesului de execuție în ideea implementării lui pe unul din telefoanele mobile ce urmează a fi lansate pe piață.

#### 9.2.1.1 Descrierea algoritmului ASAC

În acest paragraf transformata KLT este utilizată pentru a comprima un mesaj ce urmează a fi încorporat într-un obiect de acoperire cu ajutorul algoritmului bazat pe ascunderea în biții cei mai puțini semnificativi ai acestuia. În cele ce urmează se face o prezentare mai detaliată a pașilor urmați în algoritmul propus:

##### *Compactarea mesajului secret*

1.a.) Se consideră mesajul secret ca fiind exprimat printr-o matrice RGB notată cu  $M$  formată din  $m$  linii și  $n$  coloane:

$$M = \begin{bmatrix} m_{1,1} & \dots & m_{1,n} \\ \vdots & & \vdots \\ m_{m,1} & \dots & m_{m,n} \end{bmatrix} \quad (9.4)$$

Unde  $m_{i,j}$  reprezintă un pixel în cadrul imaginii. Fiecare pixel este compus din cele 3 culori de bază: roșu (R), verde (G) și albastru (B).

$$m_{i,j} = (R_{i,j}, G_{i,j}, B_{i,j}) \quad (9.5)$$

1.b) Se împarte matricea  $M$  în blocuri de submatrice de dimensiunea  $(5 \times n)$ , unde (5 reprezintă numărul de linii, iar  $n$  numărul de coloane) rezultând o matrice de  $(3 \times 5)$  linii și  $n$  coloane, unde 3 reprezintă cele trei componente R,G,B ale unui pixel.

$$M^* = \begin{bmatrix} r_{1,1} & & r_{1,n} \\ g_{1,1} & \dots & g_{1,n} \\ b_{1,1} & \dots & b_{1,n} \\ r_{2,1} & & r_{2,n} \\ \vdots & \ddots & \vdots \\ r_{5,1} & & r_{5,n} \\ g_{5,1} & \dots & g_{5,n} \\ b_{5,1} & & b_{5,n} \end{bmatrix} \quad (9.6)$$

2) Se construiește matricea de covarianță a submatricei  $M^*$  corespunzătoare mesajului secret  $M$  pentru cele  $(15 \times n)$  linii și coloane, obținându-se:

$$\text{Cov}(M^*) = \begin{bmatrix} a_{1,1} & \dots & a_{1,15} \\ \vdots & & \vdots \\ a_{15,1} & \dots & a_{15,15} \end{bmatrix} \quad (9.7)$$

3) Se calculează polinomul caracteristic, din care se determină valorile proprii  $\lambda_1, \lambda_2, \lambda_3, \dots, \lambda_{15}$  care constituie de fapt și rădăcinile polinomului caracteristic.

4) Se calculează vectorii proprii  $\vec{v}_1, \vec{v}_2, \dots, \vec{v}_{15}$  și se formează astfel matricea  $Q$ , care este matricea vectorilor proprii a matricei de covarianță exprimată în relația următoare :

$$Q = \vec{v}_1, \vec{v}_2, \dots, \vec{v}_{15} \quad (9.8)$$

5) Se ordonează valorile proprii în ordine descrescătoare.

6) Se calculează coeficientul de calitate  $q$ , după relația:

$$q = \frac{\lambda_1 + \lambda_2 + \lambda_3 + \dots + \lambda_k}{\lambda_1 + \lambda_2 + \lambda_3 + \dots + \lambda_{15}} \quad ; \quad k \text{ se alege astfel încât } q < 99 \quad (9.9)$$

Numărul 0.99 reprezintă un coeficient prin care se exprimă gradul de compactare astfel încât diferența între imaginea inițială și cea compactată să fie mai mică decât 1%.



a) Obiect de acoperire

b) Obiect steganografic, unde mesajul s-a compactat cu reținerea a 99% din datele inițiale





c)  
Obiect steganografic, unde  
mesajul s-a compactat cu reținerea a 97%  
din datele inițiale



d)  
Obiect steganografic, unde  
mesajul s-a compactat cu reținerea a 95%  
din datele inițiale



e)  
Obiect steganografic, unde  
mesajul s-a compactat cu reținerea a 90%  
din datele inițiale

Figura 9.3 Prezentarea obiectului de acoperire și a obiectelor steganografice pentru diferite grade de reținere a mesajului secret



a) Mesaj secret original

b) Mesaj recuperat, obținut în urma compactării cu reținerea a 99% din datele inițiale



c) Mesaj recuperat obținut în urma compactării cu reținerea a 97% din datele inițiale

d) Mesaj recuperat obținut în urma compactării cu reținerea a 95% din datele inițiale



e) Mesaj recuperat, obținut în urma compactării cu reținerea a 90% din datele inițiale

Figura 9.4 Mesajul original și mesajele recuperate pentru diferite grade de reținere a mesajului secret

În figura 9.3 și 9.4 am prezentat un exemplu cu privire la obținerea obiectului steganografic sau a mesajului recuperat pentru diferite valori ale coeficientului  $q$ , atribuindu-i acestuia valorile de 0,99 până la 0,90. Pe baza experimentelor rezultate se constată că în cazul unei valori mai mici pentru  $q$ , calitatea mesajului recuperat se degradează vizibil, dar acesta nu este afectat din punctul de vedere al recunoașterii lui. Apar diferențe doar în zonele cu suprafețele mari de aceeași culoare. Avantajul unei valori mici pentru  $q$ , conduce la posibilitatea creșterii gradului de încorporare. Pe de altă parte, în urma experimentelor efectuate am constatat că între obiectele steganografice nu există diferențe vizibile. Din acest motiv în continuare am utilizat pentru  $q$  valoarea de 0,99. În situații extreme în care se dorește o compactare mai mare, se poate alege un coeficient chiar mai mic pentru  $q$ .

În urma experimentelor efectuate, coeficientul  $k$  a rezultat a fi cuprins între  $1/4$  și  $1/3$  din numărul de linii  $m = 15$ . În funcție de blocul de imagine prelucrat se constată că parametrul  $k$  este cuprins între valoarea 4 și maxim 7.

7) Se păstrează primele  $k$  coloane ale matricii  $Q$  formată din vectorii proprii rezultând astfel o matrice de vectori proprii  $Q^*$  de dimensiune  $m$  linii și  $n$  coloane. În cazul acestui algoritm  $m = 15$ .

8) Se calculează transpusa matricii  $Q^*$  rezultând matricea  $Q^{*T}$  de dimensiuni  $k$  linii și  $m$  coloane.

9) Se aplică transformata KLT:

$$Y = Q^{*T} \times M \quad (9.10)$$

Unde, matricea  $Y$  este formată din  $k$  linii și  $n$  coloane.

Pașii 1.b – 9 se repetă până la comprimarea întregii imagini. Procesarea se poate executa atât secvențial în cazul existenței unei singure unități de prelucrare, dar și în paralel în cazul în care procesorul are la dispoziție mai multe unități de procesare.

#### Ascunderea mesajului secret

10.a) Mărimile  $Y, Q^*, k$  se ascund în obiectul de acoperire care este o imagine în format RGB. Ascunderea se realizează în ordinea menționată, cu precizarea că asupra obiectului de acoperire nu se fac prelucrări în acest caz. Pentru a efectua procesul de ascundere s-a ales utilizarea algoritmului bazat pe încorporarea în cei mai puțini semnificativi biți, respectiv 1, 2 și 4 biți.

Pentru a testa valabilitatea modelelor prezentate în capitolul 6 am efectuat câteva prelucrări atât asupra obiectului de acoperire, cât și asupra mesajului secret. Menționez că asupra obiectului de acoperire s-a efectuat o scalare spre negru a fiecărui pixel, respectiv spre alb. Rezultatele prelucrării au fost descrise în capitolul 6. Precizez că astfel de deplasări a fiecărui pixel conduce la constatarea că deplasarea spre negru a imaginii de acoperire conduce la îmbunătățirea erorii relative dintre obiectul de acoperire și obiectul steganografic cu o valoare medie de 6%. Asupra mesajului secret înaintea procesului de comprimare am efectuat de asemenea o scalare a fiecărui pixel spre negru, respectiv spre alb, obținându-se și în acest caz îmbunătățiri ale erorii relative dintre mesajul secret inițial și cel recuperat, în medie de 16%. În urma compresiei se constată că este posibilă încorporarea unei cantități mai mari de informații ce poate fi ascunsă fără a pierde din calitatea obiectului steganografic și a mesajului secret recuperat, deoarece vectorii proprii și proiecția au încorporată o cantitate de 99% din imaginea inițială.

10.b) Întregul algoritm se repetă de atâtea ori până se parcurg toate blocurile matricei mesaj de 5 linii. Dacă matricea mesaj are  $m$  linii, numărul de cicluri va fi  $\frac{m}{5}$ .

11) În final se obține imaginea steganografică, notată cu  $S$  care este o imagine în format RGB:

$$S = \begin{bmatrix} s_{1,1} & \dots & s_{1,m} \\ \vdots & & \vdots \\ s_{n,1} & \dots & s_{n,m} \end{bmatrix} \quad (9.11)$$

Unde  $s_{i,j}$  reprezintă pixelul  $i, j$  din imaginea steganografică:  $i = \overline{1, n}$  și  $j = \overline{1, m}$

#### Extragerea mesajului secret

12) La recepție din imaginea steganografică  $S$  se aplică algoritmul de recuperare invers, prin care se extrag biții cei mai puțini semnificativi, din care se obțin mărimile:  $Y$  - proiecția matricei inițiale în noile coordonate, vectorii proprii  $Q^*$  și mărimea  $k$ . Precizez că pentru fiecare ciclu mărimea  $k$  are valori diferite ce dimensionează matricea de vectori proprii  $Q^*$ , care este de dimensiune 15 linii și  $k$  coloane.

13) Se extrage mesajul secret aplicând relațiile:

$$Y = Q^{-1} Q^T M \quad (9.12)$$

Relația (9.12) se înmulțește cu  $Q^*$  și rezultă:

$$Y \times Q^* = Q^* Q^{-1} Q^T M = M_R \quad (9.13)$$

Unde:  $Q^* Q^{-1} Q^T = 1$ .

Calitatea mesajului ascuns este calculată în funcție de eroarea relativă ce constituie diferența dintre mesajul inițial și mesajul recuperat. În urma testelor efectuate a rezultat că eroarea relativă este cuprinsă între 0,8% și 4,5%, depinzând atât de tipul imaginii utilizate în procesul steganografic, cât și de dimensiunea acestora. Eroarea relativă dintre obiectul de acoperire și obiectul steganografic rezultat în urma ascunderii mesajului secret variază între 0,2% în cazul ascunderii în cel mai puțin semnificativ bit, crește la 0,5% în cazul ascunderii în ultimii 2 biți mai puțin semnificativi, până la 2% în situația utilizării ultimilor 4 biți mai puțin semnificativi. În paragraful următor vor fi date câteva exemple în acest sens.

### 9.2.1.2 ASAC - Experimente

În figurile 9.5, 9.6, 9.7, 9.8 sunt arătate câteva exemple de imagini prelucrate cu algoritmul ASAC pe 1 bit.



Obiect de acoperire - C

Obiect steganografic - S



Mesajul secret ascuns  $M$

Mesajul secret recuperat  $M_R$

Figura 9.5 ASAC pe 1 bit

Mărimea obiectului de acoperire  $C$  și a obiectului steganografic  $S$  : 1600 x 1200 x 24 biți

Mărimea mesajului: 640 x 480 x 24 biți

Eroarea relativă dintre  $C$  și  $S$  : 0.195%

Eroarea relativă dintre mesajul ascuns și mesajul recuperat: 1.668%

Raport mesaj secret/ obiect de acoperire  $C$  : 0.16



Obiect de acoperire -  $C$

Obiect steganografic -  $S$

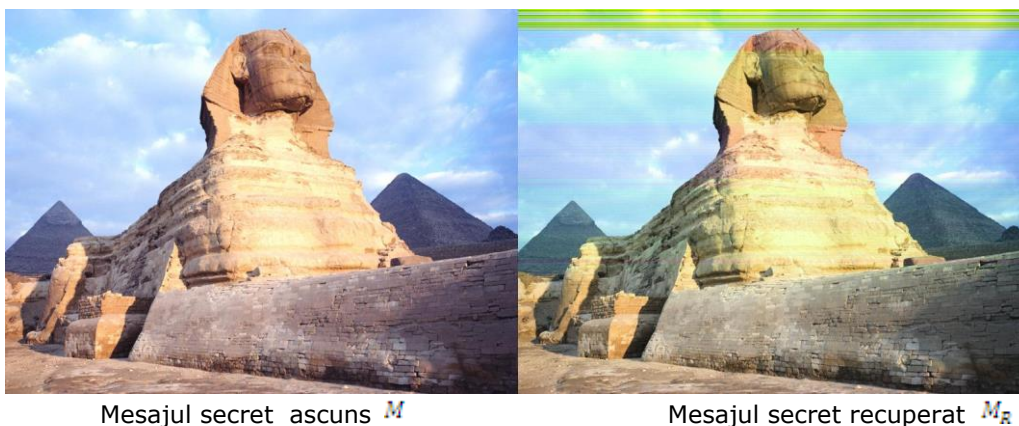
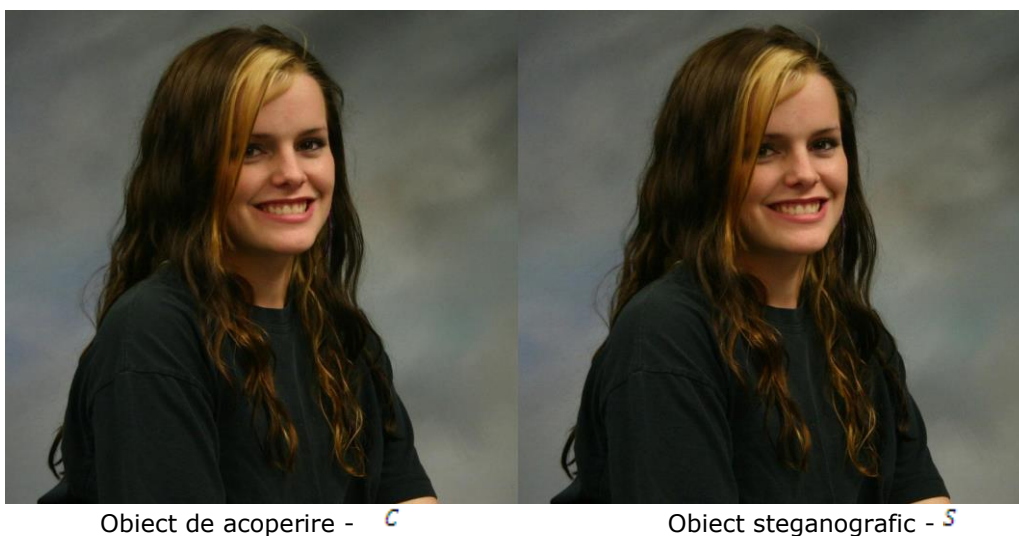


Figura 9.6 ASAC pe 1 bit

Mărimea obiectului de acoperire  $C$  și a obiectului steganografic  $S$  : 1600 x 1200 x 24 biți  
 Mărimea mesajului: 800 x 600 x 24 biți  
 Eroarea relativă dintre  $C$  și  $S$  : 0.195%  
 Eroarea relativă dintre mesajul ascuns și mesajul recuperat: 4.644%  
 Raport mesaj secret / obiect de acoperire  $C$ : 0.25





Mesajul secret ascuns  $M$

Mesajul secret recuperat  $M_R$

Figura 9.7 ASAC pe 1 bit

Mărimea obiectului de acoperire  $C$  și a obiectului steganografic  $S$  : 1024 x 1024 x 24 biți

Mărimea mesajului: 512 x 512 x 24 biți

Eroarea relativă dintre  $C$  și  $S$  : 0.195%

Eroarea relativă dintre mesajul ascuns și mesajul recuperat: 1.421%

Raport mesaj secret / obiect de acoperire  $C$ : 0.25



Obiect de acoperire -  $C$

Obiect steganografic -  $S$



Mesajul secret ascuns  $M$ Mesajul secret recuperat  $M_R$ 

Figura 9.8 ASAC pe 1 bit

Mărimea obiectului de acoperire  $C$  și a obiectului steganografic  $S$  : 1024 x 1024 x 24 biți

Mărimea mesajului: 640x 480x 24 biți

Eroarea relativă dintre  $C$  și  $S$  : 0.195 %

Eroarea relativă dintre mesajul ascuns și mesajul recuperat: 0.800%

Raport mesaj secret / obiect de acoperire  $C$  : 0.29

Din cele câteva exemple prezentate în figurile anterioare se pot trage câteva concluzii de bază în ceea ce privește algoritmul steganografic ASAC pe 1 bit, și anume: calitatea obiectului steganografic este obținută cu o eroare extrem de mică (0,195%), ceea ce practic este de nesensibil de către ochiul uman. În acest sens, se poate constata făcând o analiză comparativă dintre obiectul de acoperire și obiectul steganografic din figura 9.5 că și unele elemente de detalii practic nu pot fi sesizate (ex. scrisul din dreapta sus), dar nu numai atât, toate elementele de detalii sunt deosebit de clare, ceea ce conferă obiectului steganografic o calitate indiscutabilă. Mai mult, și eroarea dintre mesajul secret original și cel recuperat este relativ mică având o medie de 1,25, însă existând și situații în care poate scădea chiar sub 1% (ex. figura 9.8). În mare parte timpul de execuție a acestui algoritm este dependent în mare parte de mărimea obiectului de acoperire, fiind puțin influențat de mărimea obiectului ce urmează a fi încorporat. O altă observație ce trebuie remarcată constă în faptul că timpul de extragere al mesajului secret este aproape la jumătate față de timpul de încorporare a lui. Acest lucru poate fi benefic în cazul în care mesajul secret trebuie recuperat într-un timp real. Este cunoscut faptul că încorporarea unui mesaj nu implică o astfel de funcție.

În figurile 9.9, 9.10, 9.11, 9.12 sunt arătate câteva exemple de imagini prelucrate cu algoritmul ASAC pe 2 biți.



Figura 9.9 ASAC pe 2 biți

Mărimea obiectului de acoperire  $C$  și a obiectului steganografic  $S$  : 256 x 256 x 24 biți

Mărimea mesajului: 128 x 128 x 24 biți

Eroarea relativă dintre  $C$  și  $S$  : 0.545 %

Eroarea relativă dintre mesajul ascuns și mesajul recuperat: 1.119 %

Raport mesaj secret / obiect de acoperire  $C$  : 0.25



Obiect de acoperire -  $C$

Obiect steganografic -  $S$



Mesajul secret ascuns  $M$

Mesajul secret recuperat  $M_R$

Figura 9.10 ASAC pe 2 biți

Mărimea obiectului de acoperire  $C$  și a obiectului steganografic  $S$  : 1024 x 1024 x 24 biți

Mărimea mesajului: 800 x 600 x 24 biți

Eroarea relativă dintre  $C$  și  $S$  : 0.526 %

Eroarea relativă dintre mesajul ascuns și mesajul recuperat: 4.644%

Raport mesaj secret / obiect de acoperire  $C$ : 0.45



Obiect de acoperire -  $C$

Obiect steganografic -  $S$



Mesajul secret ascuns  $M$

Mesajul secret recuperat  $M_R$

Figura 9.11 ASAC pe 2 biți

Mărimea obiectului de acoperire  $C$  și a obiectului steganografic  $S$  : 1600 x 1200 x 24 biți

Mărimea mesajului: 1024 x 1024 x 24 de biți

Eroarea relativă dintre  $C$  și  $S$  : 0.556 %

Eroarea relativă dintre mesajul ascuns și mesajul recuperat: 1.038 %

Raport mesaj secret / obiect de acoperire  $C$  : 0.54

Obiect de acoperire -  $C$ Obiect steganografic -  $S$ Mesajul secret ascuns  $M$   
recuperat  $M_R$ 

Mesajul secret

Figura 9.12  $ASAC$  pe 2 biți

Mărimea obiectului de acoperire  $C$  și a obiectului steganografic  $S$  : 1600 x 1200 x 24 Mărimea mesajului: 1024 x 1036 x 24 de biți

Eroarea relativă dintre  $C$  și  $S$  : 0.534 %

Eroarea relativă dintre mesajul ascuns și mesajul recuperat: 1.231%

Raport mesaj secret / obiect de acoperire  $C$  : 0.55

În cazul algoritmului  $ASAC$  pe 2 biți, din exemplele prezentate mai sus se poate constata că eroarea dintre obiectul de acoperire și obiectul steganografic este de asemenea relativ mică (0,5%) și foarte greu de sesizat de ochiul uman, în schimb spre deosebire de algoritmul  $ASAC$  pe 1 bit se dublează cantitatea de

informație ce poate fi ascunsă (de la 29% la 55% din mărimea obiectului de acoperire). Pe de altă parte calitatea mesajului recuperat se îmbunătățește în mod vizibil (figura 9.9). Menționez că imaginile au fost mărite pentru a se constata cu mai multă acuratețe asemănarea dintre mesajul secret ascuns și cel recuperat.

În figurile 9.13, 9.14, 9.15, 9.16 sunt arătate câteva exemple de imagini prelucrate cu algoritmul ASAC pe 4 biți.



Obiect de acoperire -  $C$

Obiect steganografic -  $S$



Mesajul secret ascuns  $M$

Mesajul secret recuperat  $M_R$

Figura 9.13 ASAC pe 4 biți

Mărimea obiectului de acoperire  $C$  și a obiectului steganografic  $S$  : 1600 x 1200 x 24 Mărimea mesajului: 1600 x 1200 x 24 de biți

Eroarea relativă dintre  $C$  și  $S$  : 2.353 %

Eroarea dintre mesajul secret și mesajul recuperat: 1.091 %

Raport mesaj secret / obiect de acoperire  $C$  : 1,00



Obiect de acoperire -  $C$

Obiect steganografic -  $S$



Mesajul secret ascuns  $M$

Mesajul secret recuperat  $M_R$

Figura 9.14 ASAC pe 4 biți

Mărimea obiectului de acoperire  $C$  și a obiectului steganografic: 1024 x 1024 x 24 biți

Mărimea mesajul: 1024 x 1036 x 24 biți

Eroarea relativă dintre  $C$  și  $S$  : 2.4165 %

Eroarea dintre mesajul secret și mesajul recuperat: 1.71 %

Raport mesaj secret / obiect de acoperire  $C$  : 1.01



Obiect de acoperire -  $C$

Obiect steganografic -  $S$



Mesajul secret ascuns  $M$

Mesajul secret recuperat  $M_R$

Figura 9.15 ASAC pe 4 biți

Mărimea obiectului de acoperire  $C$  și a obiectului steganografic  $S$  : 512 x 512 x 24 biți

Mărimea mesajul: 512 x 512 x 24 biți

Eroarea relativă dintre  $C$  și  $S$  : 2.199 %

Eroarea dintre mesajul secret si mesajul recuperat: 1.686 %

Raport mesaj secret / obiect de acoperire  $C$  : 1,00



Obiect de acoperire -  $C$ Obiect steganografic -  $S$ Mesajul secret ascuns  $M$ Mesajul secret recuperat  $M_R$ Figura 9.16 *ASAC* pe 4 biți

Mărimea obiectului de acoperire  $C$  și a obiectului steganografic: 200 x 135 x 24 biți

Mărimea mesajului secret: 200 x 135 x 24 de biți

Eroarea relativă dintre  $C$  și  $S$  : 2.102 %

Eroarea dintre mesajul secret și mesajul recuperat: 0.778 %

Raport mesaj secret / obiect de acoperire  $C$  : 1,00

În cazul utilizării variantei algoritmului *ASAC* pe 4 biți se constată o creștere semnificativă a cantității de informație ce poate fi ascunsă, aceasta ajungând la valoarea de 100% din mărimea obiectului de acoperire, fără pierderea semnificativă din calitatea obiectului steganografic a cărei eroare atinge erori ce nu depășesc 2,4% comparat cu obiectul de acoperire. În schimb mesajul recuperat este foarte asemănător cu mesajul original, chiar și în cazul analizării unor detalii. Singurele modificări ce pot apărea sunt cele legate de mici schimbări ale nuanțelor regăsite în fundalul imaginilor dacă acestea sunt de dimensiuni mari.

Cantitatea mare de informații ce poate fi ascunsă cu algoritmul creat de mine *ASAC* pe 1, 2 sau 4 biți, respectiv de la 29% la 100% din mărimea obiectului de acoperire este superioară cantității de informații ce poate fi ascunsă de algoritmi

dezvoltați în [CHA08] unde raportul de ascundere este cuprins între 6% și 18% (1,5 biți per pixel - bpp) în funcție de imaginea folosită ca obiect de acoperire, respectiv în [CHI08] unde se atinge o cantitate maximă de ascundere de 41,37% (3,31 bpp). Practic, cu algoritmul *ASAC* pe 4 biți pot ascunde o cantitate de 2,5 ori mai mare, iar calitatea imaginii steganografice din cele câteva exemple prezentate se poate observa că este superioară.

Ceea ce definește acest algoritm constă în faptul că înainte de ascundere se realizează o compactare a mesajului fără pierderi semnificative datorită utilizării transformatei KLT, ceea ce rezultă și din exemplele prezentate mai sus. Totodată această compactare are și un rol de a îngreuna posibilitatea de extragere a mesajului, în sensul modelului prezentat în capitolul 6 prin care se propune ca pe calea de generare a mesajului steganografic să existe o prelucrare a mesajului de ascundere. Această cerință este realizată în algoritmul prezentat.

Având în vedere calitatea algoritmului prezentat în acest capitol mi-am propus ca acesta să fie implementat pe un microprocesor în vederea creșterii vitezei de procesare și de a micșora timpul de generare a mesajului steganografic, respectiv de scădere a timpului de extragere a mesajului secret. În acest sens, în cadrul algoritmului propus se constată că timpul de extragere e de două ori mai mic decât timpul de încorporare al mesajului. Astfel s-a urmărit că prin implementarea cu ajutorul unui microprocesor performant să atribui algoritmului și proprietăți de timp real.

În vederea măsurării performanțelor algoritmului *ASAC* am utilizat două platforme de comparare constituite dintr-un calculator personal și un suport de dezvoltare prevăzut cu un microprocesor ARM. În tabelul 9.1 sunt prezentate câteva exemple mai semnificative dovedind faptul că timpul de execuție pe microprocesorul ARM scade de cel puțin 4 ori. Această scădere se datorează valorificării superioare a facilităților algoritmului pe o astfel de platformă, deoarece este pusă în valoare întreaga arhitectură a acestuia bazată pe banda de asamblare, a cărei exploatare implică o regândire a întregului algoritm în vederea beneficiii la maxim a acestor proprietăți.

Tabel 9.1 Compararea timpului de execuție pentru algoritmul *ASAC*

Nr. Crt.	Obiect de acoperire		Mesaj secret		PC	ARM
	Nume	Dimensiune (bytes)	Nume	Dimensiune (bytes)	[ms]	[ms]
1	camp_cu_flori.jpg	81.000	porumbel.jpg	33.930	124	1243
2	camp_cu_flori.jpg	81.000	ceas_2.jpg	45.450	135	1340
3	camp_cu_flori.jpg	81.000	ceas_3.jpg	81.000	156	1370
4	arthas.jpg	120.000	gryphon.jpg	120.000	204	2040
5	arthas.jpg	120.000	ceas_3.jpg	81.000	187	2097
6	lac_3.jpg	202.500	porumbel.jpg	33.930	254	1283

În figura 9.17 se prezintă sub formă grafică modul cum variază timpul de execuție al algoritmului *ASAC* pe 4 biți pe un calculator personal, respectiv pe microprocesorul ARM. Menționez că algoritmul *ASAC* s-a comportat foarte bine și pe

simulatorul microprocesorului ISAAC, însă datorită faptului că timpurile de execuție nu sunt reali nu i-am menționat în tabelul 9.1, respectiv în figura 9.17.

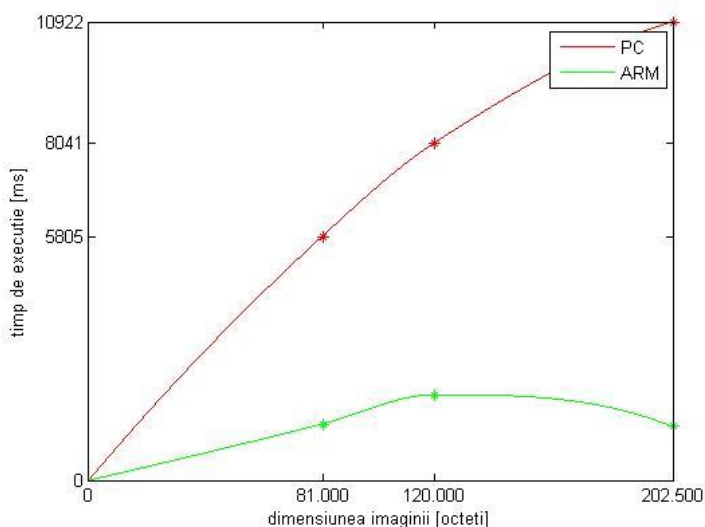


Figura 9.17 Rețea grafică a timpurilor de execuție pentru algoritmul ASAC

Din figura 9.17 se poate observa o îmbunătățire a timpului de execuție între 4 până la 9 ori, totul depinzând în mare parte de dimensiunea obiectului de acoperire și mai puțin de dimensiunea mesajului secret. Îmbunătățirea timpului de execuție este de așteptat să fie mai semnificativă în situația utilizării unui microprocesor cu mai multe unități de prelucrare.

### 9.2.1.3 ASAC – Concluzii

Teoretic cu algoritmul descris mai sus se poate ascunde în condiții foarte bune fără degradarea imaginii steganografice o cantitate de informații foarte mare ce poate atinge valori de 100% din cantitatea informațiilor deținută de obiectul de acoperire. Acest aspect este confirmat de cele câteva exemple prezentate în acest capitol, cât și de numărul mare de teste efectuate. Din punct de vedere calitativ am constatat faptul că imaginea steganografică este foarte asemănătoare cu imaginea purtătoare, putând atinge diferențe minime de 0,19 %. Imaginea recuperată prezintă în schimb o diferență ce poate atinge valori minime de 0,8 % raportată față de mesajul original. Este de specificat că în realizarea unei imagini steganografice de bună calitate, respectiv în obținerea unui mesaj recuperat foarte asemănător cu cel original un rol important îl joacă tipologia imaginilor alese și utilizate în algoritm.

Referitor la timpul de execuție al algoritmului obținut în urma adaptării pe un microprocesor utilizat în telefonia mobilă se poate observa că acesta prezintă valori relativ mici. Consider că în urma experimentării acestui algoritm pe un microprocesor mult mai performant decât cel utilizat să poată fi realizată și posibilitatea executării în timp real a acestuia. Astfel, microprocesorul ISAAC prezentat în capitolul 5, a cărei arhitectură se bazează pe existența mai multor

nuclee ce pot lucra în paralel poate fi un candidat în acest sens. Trebuie menționat că algoritmul *ASAC* a fost astfel conceput încât să permită o procesare în paralel în vederea generării obiectului steganografic prin faptul că mesajul secret este divizat în mai multe blocuri ce pot fi ascunse în mod simultan dacă arhitectura microprocesorului permite acest lucru. Apreciez că timpul de execuție pe un astfel de microprocesor poate scădea semnificativ.

Ca viitoare cercetare îmi propun implementarea algoritmului *ASAC* pe noua variantă a microprocesorului ISAAC. Menționez că în urma rulării algoritmilor steganografici dezvoltați în domeniul spațial, cum ar fi algoritmul bazat pe ascunderea în cei mai puțini semnificativi biți, respectiv algoritmul bazat pe transformata YUV au fost depistate câteva neconcordanțe de proiectare. Pe lângă acestea compania producătoare a mai adus și alte modificări impuse de cerințele beneficiarilor, astfel că în momentul în care cea mai mare parte din problemele sesizate vor fi rezolvate voi putea continua studiului în domeniul steganografiei folosind această nouă variantă a microprocesorului.

## 9.2.2 Algoritm steganografic pentru ascundere în zgomot – ASAZ

Creșterea gradului de robustețe se poate obține prin realizarea unor prelucrări suplimentare prin care atacatorului să i se pună o serie de piedici în depistarea mesajului secret, însă toate acestea conduc la scăderea cantității de informație ce poate fi ascunsă. Bazându-mă pe acest principiu am dezvoltat un algoritm steganografic ce utilizează ca obiect de acoperire imagini color, iar mesajul ascuns îl constituie o imagine binară ce urmează să fie încorporată în zgomotele generate artificial pe obiectul de acoperire. Ideea acestui principiu constă în inducerea în eroare a unui eventual atacator cunoscând faptul că pe canalele de transmisie astfel de zgomote se regăsesc în orice caz. Algoritmul se bazează în mare parte pe transformata KLT și pe o serie de prelucrări ce au drept scop distragerea atenției unui eventual intrus.

### 9.2.2.1 ASAZ – Algoritmul de ascundere

#### *Procesarea obiectului de acoperire*

Procesul steganografic urmat în acest algoritm presupune ca o primă etapă prelucrarea obiectului de acoperire, urmată de ascunderea, respectiv extragerea mesajului secret.

- 1) Imaginea obiectului de acoperire în format RGB e reprezentată printr-o matrice de  $n$  linii și  $m$  colane, în care fiecare element al matricei reprezintă un pixel format din elementele RGB :

$$C = \begin{bmatrix} c_{1,1} & \dots & c_{1,m} \\ \vdots & & \vdots \\ c_{n,1} & \dots & c_{n,m} \end{bmatrix}; \quad c_{i,j} = (R_{i,j}, G_{i,j}, B_{i,j}) \quad (9.14)$$

- 2) Se transformă fiecare componentă a matricei  $C$  într-o matrice de 1 linie și  $n \times m$  coloane de forma:

$$\begin{aligned} C_R &= [R_{11}, R_{12}, \dots, R_{1m}, R_{21}, \dots, R_{nm}] \\ C_G &= [G_{11}, G_{12}, \dots, G_{1m}, G_{21}, \dots, G_{nm}] \\ C_B &= [B_{11}, B_{12}, \dots, B_{1m}, B_{21}, \dots, B_{nm}] \end{aligned} \quad (9.15)$$

- 3) Se începe prelucrarea obiectului de acoperire calculând prima dată media celor trei matrice din relațiile (9.15) cu formulele:

$$\begin{aligned}
 M(C_R) &= \frac{1}{n \cdot m} \sum_{i,j}^{n,m} R_{ij} \\
 M(C_G) &= \frac{1}{n \cdot m} \sum_{i,j}^{n,m} G_{ij} \\
 M(C_B) &= \frac{1}{n \cdot m} \sum_{i,j}^{n,m} B_{ij}
 \end{aligned}
 \tag{9.16}$$

- 4) Se generează o matrice diferență dintre matricele  $C_R, C_G, C_B$  și matricele obținute cu relațiile (9.16).

$$C^* = \begin{bmatrix} C_R \\ C_G \\ C_B \end{bmatrix} - \begin{bmatrix} M(C_R) & \dots & M(C_R) \\ M(C_G) & \dots & M(C_G) \\ M(C_B) & \dots & M(C_B) \end{bmatrix} = \begin{bmatrix} c_{R_{i,j}}^* & \dots & c_{R_{n,m}}^* \\ c_{G_{i,j}}^* & \dots & c_{G_{n,m}}^* \\ c_{B_{i,j}}^* & \dots & c_{B_{n,m}}^* \end{bmatrix}
 \tag{9.17}$$

Unde fiecare element al matricei  $C^*$  se obține cu ajutorul relațiilor:

$$\begin{aligned}
 c_{R_{i,j}}^* &= c_{R_{i,j}} - M(C_R) \\
 c_{G_{i,j}}^* &= c_{G_{i,j}} - M(C_G) \\
 c_{B_{i,j}}^* &= c_{B_{i,j}} - M(C_B)
 \end{aligned}
 \tag{9.18}$$

Pentru  $i = 1 \dots n, j = 1 \dots m$

- 5) Se generează matricea de covarianță notată  $Cov$  a matricei  $C^*$ , rezultând o matrice de 3 linii și 3 coloane:
- 6) Se determină valorile proprii:  $\lambda_1, \lambda_2, \lambda_3$
- 7) Se determină vectorii proprii ai matricei  $Cov$  :  $\vec{v}_1, \vec{v}_2, \vec{v}_3$  .
- 8) Se formează matricea  $Q$  care are drept linie componentele fiecărui vector propriu:  $\vec{v}_1, \vec{v}_2, \vec{v}_3$  , unde matricea  $Q$  are 3 linii și 3 coloane.

Aceasta reprezintă exprimarea matricei  $C$  a obiectului de ascundere în baza formată de vectorii proprii. Se remarcă la această bază faptul că fiecare dintre cei 3 vectori ai bazei corespund unei valori proprii, iar cu cât valoarea proprie este mai mare cu atât va fi mai mare domeniul în care variază proiecția "norului" de pixeli (fiecare pixel are 3 coordonate) pe vectorul corespunzător acelei valori proprii. Ceea ce urmărește algoritmul este ca ascunderea mesajului să altereze cât mai puțin obiectul de ascundere. Din acest motiv ascunderea se poate face în proiecția care corespunde valorii proprii minime, această proiecție fiind cea mai omogenă, în sensul că are cele mai mici abateri de la media sa.

Se ordonează valorile proprii în ordine descrescătoare. În cazul de față valoarea proprie cu indicele 3 presupunem ca are valoarea minimă, iar acestea îi corespunde vectorul propriu  $\vec{v}_3$  .

- 9) Se construiește matricea  $Y$  :

$$Y = Q \times C^*
 \tag{9.19}$$

În matricea  $Y$  se va înlocui a 3-a linie, pe baza comentariilor făcute la punctul (8), cu mesajul secret conform punctului (17) al acestui algoritm.

- 10) Pe baza transformatei KLT se generează o nouă matrice de o linie și  $n \times m$  coloane notată  $I_K$  :

$$I_K = \vec{v}_3 \times C^* \quad (9.20)$$

*Prelucrarea mesajului secret*

- 11) Mesajul ce urmează a fi ascuns, notat cu  $M$  este o imagine binară ("0" pentru alb și "1" pentru negru) și are aceeași dimensiune ca și obiectul de acoperire:  $n$  linii și  $m$  coloane:

$$M = \begin{bmatrix} m_{1,1} & \dots & m_{1,m} \\ \cdot & & \\ m_{n,1} & \dots & m_{n,m} \end{bmatrix}; \text{ unde } m_{i,j} = \{0,1\} \quad (9.21)$$

- 12) Se formează matricea linie  $M_L$  :

$$M_L = [m_{1,1} \dots m_{1,m}, m_{2,1} \dots \dots m_{n,m}] \quad (9.22)$$

- 13) Din  $M_L$  se formează o matrice prin care se înlocuiește valoarea "0" cu "-1" și "1" cu "1". În acest fel se dorește să se introducă un zgomot în care se va ascunde mesajul secret.

$$M^* = [m_{1,1}^*, m_{1,2}^*, \dots m_{n,m}^*] \quad (9.23)$$

Unde fiecare element al matricei se calculează cu formula:

$$m_{i,j}^* = 2m_{i,j} - 1 \quad (9.24)$$

- 14) Se construiește matricea  $R_S$  ce se generează pseudoaleator, astfel încât modul de generare este cunoscut doar de către emițător și receptor. În acest fel, chiar dacă mesajul va putea fi interceptat de către un eventual atacator, acesta nu va putea descifra mesajul fără cunoașterea modului de generare a matricei  $R_S$ .

$$R_S = \begin{bmatrix} s_{1,1} & \dots & s_{1,m} \\ \cdot & & \\ s_{n,1} & \dots & s_{n,m} \end{bmatrix} \quad (9.25)$$

Unde  $s_{i,j} = \{-1,1\}$  se generează pseudoaleator cu probabilitatea:

$$P(s_{i,j} = 1) = P(s_{i,j} = -1) = \frac{1}{2} \quad (9.26)$$

- 15) Se construiește matricea linie  $W$  formată din  $n \times m$  coloane, ce are rolul de a scunde mesajul în zgomot.

$$W = [w_{1,1} \dots w_{1,m}, w_{2,1} \dots \dots w_{n,m}] \quad (9.27)$$

Unde fiecare element se obține ca un produs de 2 termeni, astfel:

$$w_{i,j} = s_{i,j} \times m_{i,j}^*; \text{ pentru } i = \overline{1, n} \text{ și } j = \overline{1, m} \quad (9.28)$$

Dacă se notează:

$$P(m_{i,j}^* = 1) = \beta \quad (9.29)$$

Rezultă în acest caz că:

$$P(w_{i,j} = 1) = P(s_{i,j} * m_{i,j}^* = 1) = P((s_{i,j} = 1, m_{i,j}^* = 1) \cup (s_{i,j} = -1, m_{i,j}^* = -1)) = P(s_{i,j} = 1, m_{i,j}^* = 1) + P(s_{i,j} = -1, m_{i,j}^* = -1) \quad (9.30)$$

La fel și:

$$P(w_{i,j} = -1) = \frac{1}{2} \tag{9.31}$$

16) Pe baza matricei corespunzătoare imaginii  $I_X$  și a matricei  $W$  se generează o nouă matrice linie de forma:

$$I_W = I_X + \alpha w \tag{9.32}$$

Unde  $\alpha = 1,10$ .

În această etapă se încorporează mesajul secret cu zgomot în linia vector propriu corespunzător celor mai mici valori proprii.

Coeficientul  $\alpha$  s-a luat prin încercări pentru a permite creșterea calității imaginii steganografice obținute. Pentru  $\alpha = 1$  rezultă o calitate mai bună, iar pentru  $\alpha = 10$  se obține o calitate mai slabă atât a imaginii steganografice, precum și a mesajului recuperat. Valoarea lui  $\alpha = 1$  se va alege în funcție de tipul imaginii digitale, a obiectului de acoperire. Cea mai bună valoare pentru o gamă mare de imagini este  $\alpha = 4$ .

*Ascunderea mesajului secret*

17) În matricea  $Y$  obținută la punctul (9) se înlocuiește a 3-a linie cu  $I_W$  și se obține matricea  $Z$  care are 3 linii și  $n \times m$  coloane.

18) Se generează imaginea steganografică exprimată intermediar sub forma unei matrice de 3 linii și  $n \times m$  coloane și se consideră în continuare ca fiind imagine steganografică linie:

$$I_{S_1} = Q^T * Z + \begin{bmatrix} M(C_R) & \dots & M(C_R) \\ M(C_G) & \dots & M(C_G) \\ M(C_B) & \dots & M(C_B) \end{bmatrix} \tag{9.33}$$

Unde matricea  $Q^T$  are 3 linii și 3 coloane, matricea  $Z$  este de 3 linii și  $n \times m$  coloane, iar matricea mediilor este de 3 linii și  $n \times m$  coloane. Rezultă că matricea  $I_{S_1}$  este de 3 linii și  $n \times m$  coloane și este de forma:

$$I_{S_1} = \begin{bmatrix} s_{1,1}^R & \dots & s_{1,1}^R, s_{1,2}^R & \dots & s_{1,n}^R \\ s_{1,1}^G & \dots & s_{1,1}^G, s_{1,2}^G & \dots & s_{1,n}^G \\ s_{1,1}^B & \dots & s_{1,1}^B, s_{1,2}^B & \dots & s_{1,n}^B \end{bmatrix} \tag{9.34}$$

19) Pe baza matricei  $I_{S_1}$  se obține imaginea steganografică  $S$  care este de forma RGB:

$$S = \begin{bmatrix} s_{1,1} & \dots & s_{1,m} \\ \vdots & & \vdots \\ s_{n,1} & \dots & s_{n,m} \end{bmatrix} \tag{9.35}$$

Unde  $s_{i,j} = (s_{i,j}^R, s_{i,j}^G, s_{i,j}^B)$  reprezintă pixelul  $i, j$  din imaginea steganografică: pentru  $i = \overline{1, n}$  și  $j = \overline{1, m}$ .

20) Obiectul steganografic  $S$  exprimat sub forma unei imaginii RGB se trimite în continuare pe canalele de transmisie.

**9.2.2.2 ASAZ– Algoritmul de extragere**

- 1) Se recepționează imaginea steganografică  $S$ , exprimată în relația (9.35).
- 2) Se transformă matricea  $S$  în trei matrice linie de  $n \times m$  coloane, una pentru fiecare componentă RGB, sub următoarea formă:

$$\begin{aligned} S_R &= [R_{11}, R_{12}, \dots, R_{1m}, R_{21}, \dots, R_{nm}] \\ S_G &= [G_{11}, G_{12}, \dots, G_{1m}, G_{21}, \dots, G_{nm}] \\ S_B &= [B_{11}, B_{12}, \dots, B_{1m}, B_{21}, \dots, B_{nm}] \end{aligned} \quad (9.36)$$

- 3) Se calculează media elementelor celor 3 matrice linie:

$$\begin{aligned} M(S_R) &= \frac{1}{n \cdot m} \sum_{i,j} R_{ij} \\ M(S_G) &= \frac{1}{n \cdot m} \sum_{i,j} G_{ij} \\ M(S_B) &= \frac{1}{n \cdot m} \sum_{i,j} B_{ij} \end{aligned} \quad \text{unde: } i = \overline{1, n} \text{ și } j = \overline{1, m} \quad (9.37)$$

- 4) Se calculează o matrice diferență dintre matricele  $S_R, S_G, S_B$  și media obținută cu relația (9.37) pentru fiecare culoare și se obține o matrice  $S^*$  formată din 3 linii și  $n \times m$  coloane:

$$S^* = \begin{bmatrix} S_R \\ S_G \\ S_B \end{bmatrix} - \begin{bmatrix} M(S_R) & \dots & M(S_R) \\ M(S_G) & \dots & M(S_G) \\ M(S_B) & \dots & M(S_B) \end{bmatrix} \quad (9.38)$$

- 5) Se generează matricea de covarianță a matricei  $S^*$ , formată din 3 linii și 3 coloane, cu relația:

$$\text{Cov}(S^*) = S^* \times S^{*T} \quad (9.39)$$

- 6) Se determină valorile proprii și vectorii proprii corespunzători matricei  $\text{Cov}(S^*)$ :

$$\lambda_1, \lambda_2, \lambda_3 \text{ și } \vec{v}_1, \vec{v}_2, \vec{v}_3$$

Valorile proprii sunt ordonate descrescător, iar vectorul propriu corespunzător valorii proprii cu valoarea cea mai mică corespunde proiecției mesajului ascuns, ce urmează a fi extras. Fie acest vector  $\vec{v}_3$

- 7) Se aplică transformata KLT asupra imaginii steganografice  $S^*$  și a vectorului propriu  $\vec{v}_3$  (exprimat pe linie).

$$K = \vec{v}_3 \cdot S^* \quad (9.40)$$

Rezultă în acest mod o matrice transformată sub următoarea formă:

$$K = \begin{bmatrix} k_{1,1} & \dots & k_{1,m} \\ k_{n,1} & \dots & k_{n,m} \end{bmatrix} \quad (9.41)$$

- 8) Pentru a asigura o anumită corelație între valori, se aplică o funcție de uniformizare ce are ca rezultat următoarea matrice de uniformizare  $K_S$  a matricii K:



$$K_S = \begin{bmatrix} k_{s,1,1} & \dots & k_{s,1,m} \\ \vdots & \ddots & \vdots \\ k_{s,n,1} & \dots & k_{s,n,m} \end{bmatrix} \quad (9.42)$$

Unde termenii  $k_s$  se obțin cu relațiile:

$$k_{s,i,j} = (k_{i-1,j-1} + k_{i-1,j} + k_{i-1,j+1} + k_{i,j-1} + k_{i,j} + k_{i,j+1} + k_{i+1,j-1} + k_{i+1,j} + k_{i+1,j+1})$$

Pentru  $i = \overline{2, n-1}$  și  $j = \overline{2, m}$  ;

$$\begin{aligned} k_{s,i,j} &= k_{i,j} \text{ pentru } i = \overline{1, n} \text{ și } j = \overline{1, m}; \\ k_{s,i,j} &= k_{i,j} \text{ pentru } j = \overline{1, m} \text{ și } i = \overline{1, n}; \\ k_{s,i,j} &= k_{i,j} \text{ pentru } j = \overline{1, m} \text{ și } i = \overline{1, n}; \end{aligned}$$

$$k_{s,i,j} = k_{i,j} \text{ pentru } i = n \text{ și } j = \overline{1, m}; \quad (9.43)$$

- 9) Se calculează matricea diferență  $D$  dintre matricea  $K$  și matricea  $K_S$  rezultând o imagine diferență de forma:

$$D = K - K_S,$$

sau:

$$D = \begin{bmatrix} d_{1,1} & \dots & d_{1,m} \\ \vdots & \ddots & \vdots \\ d_{n,1} & \dots & d_{n,m} \end{bmatrix}; \text{ unde: } d_{i,j} = d_{i,j} - k_{s,i,j} \quad (9.44)$$

Prin diferență se recuperează practic mesajul și zgomotul introdus.

- 10) Se generează matricea  $R_S$  într-un mod pseudoaleator fiind identică cu cea generată la emisie.

$$R_S = \begin{bmatrix} s_{1,1} & \dots & s_{1,m} \\ \vdots & \ddots & \vdots \\ s_{n,1} & \dots & s_{n,m} \end{bmatrix}; \text{ unde: } s_{i,j} \in \{-1,1\} \quad (9.45)$$

- 11) Cu ajutorul matricei diferență  $D$  și a matricei pseudoaleatoare  $R_S$  se obține mesajul secret recuperat  $M_R$  în format RGB de dimensiune  $n$  linii și  $m$  coloane:

$$M_R = \begin{bmatrix} m_{r,1,1} & \dots & m_{r,1,m} \\ \vdots & \ddots & \vdots \\ m_{r,n,1} & \dots & m_{r,n,m} \end{bmatrix}; \text{ unde: } m_{r,i,j} = s_{i,j} * d_{i,j} \quad (9.46)$$

În acest pas se elimină zgomotul și se recuperează mesajul.

### 9.2.2.3 ASAZ– Experimente

Este de consemnat faptul că mesajul extras la recepție este de bună calitate în special pentru imagini purtătoare de dimensiuni mari. În acest fel diferențele existente sunt nesemnificative față de mesajul ascuns inițial de către emițător. Conform modelului prezentat în capitolul 6 în vederea creșterii siguranței sistemului steganografic s-a propus și aplicat o funcție de procesare  $f_m$  asupra mesajului original.

Funcția de procesare constă în introducerea unor zgomote în mesajul secret ce urmează a fi ascuns. Acestea sunt obținute cu ajutorul unui generator pseudoaleator. În cazul unei eventuale interceptări, atacatorul ar trebui să aibă cunoștințe atât despre algoritmul de ascundere steganografic, cât și despre modelul de procesare aplicat la prelucrarea realizării obiectului de acoperire. Probabilitatea ca un atacator să reușească obținerea unor astfel de informații este foarte mică, ceea ce duce în mod evident la îmbunătățirea siguranței sistemului steganografic și confirmă propunerea făcută pentru modelul steganografic amintit.

În continuare vor fi prezentate câteva experimente și rezultatele obținute. În primele două figuri 9.18 și 9.19 s-a adoptat pentru parametrul  $\alpha$  valori mari constatându-se că între obiectul de acoperire și obiectul steganografic sunt diferențe nesemnificative, eventualele diferențe apar în zonele ce conțin culori unice, iar pentru o mai bună analiză obiectul de acoperire și obiectul steganografic au fost mărite. Pe de altă parte se constată că recuperarea mesajului nu se face în condiții bune.

Se poate remarca în experimentele prezentate în figurile 9.20, 9.21, 9.22 că prin metoda propusă de mine, mesajul secret ascuns este recuperat la recepție într-o formă apropiată de cea originală pentru cazul în care  $\alpha = 4$ , iar eroarea mesajului recuperat se îmbunătățește vizibil pe măsură ce mărimea obiectului de acoperire este mai mare.

Toate experimentele prezentate dovedesc că obiectul steganografic nu diferă semnificativ de obiectul de acoperire, ceea ce în mod evident nu va trezi suspiciuni unui eventual atacator.



Object de acoperire - C



Object steganografic - S



Mesajul secret ascuns  $M$

Mesajul secret recuperat  $M_R$

Figura 9.18 ASAZ Ascundere și recuperare mesaj

Mărimea obiectului de acoperire  $C$  și a obiectului steganografic  $S$  : 64 x 64 x 24 biți

Mărimea mesajului: 64 x 64 x 1 bit (imagine binară)

Eroarea relativă dintre  $C$  și  $S$  : 4.3%

Eroarea relativă dintre mesajul ascuns și mesajul recuperat: 76.5%

$\alpha = 16.0$



Obiect de acoperire -  $C$



Obiect steganografic -  $S$

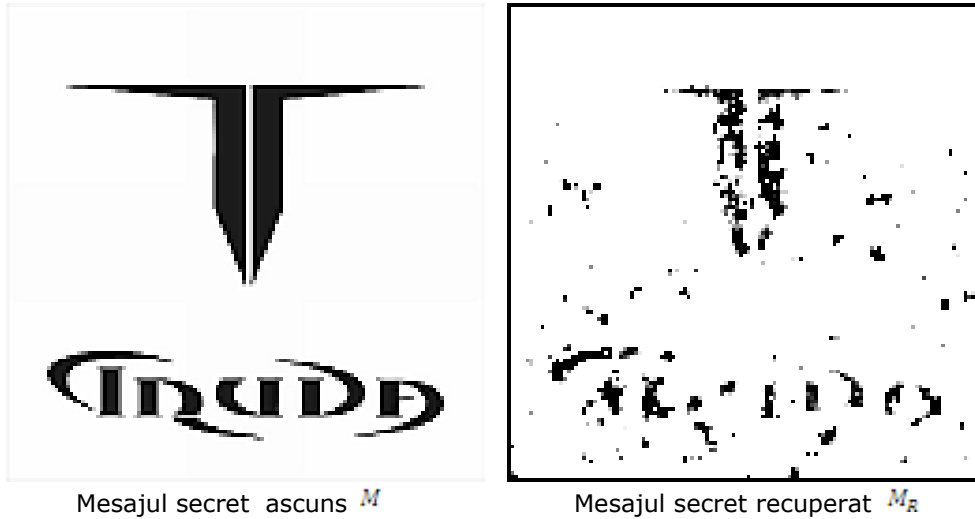


Figura 9.19 **ASAZ** Ascundere și recuperare mesaj

Mărimea obiectului de acoperire  $C$  și a obiectului steganografic  $S$  : 128 x 128 x 24 biți

Mărimea mesajului: 128 x 128 x 1 bit (imagine binară)

Eroarea relativă dintre  $C$  și  $S$  : 2.28%

Eroarea relativă dintre mesajul ascuns și mesajul recuperat : 44.56%

$\alpha = 8.0$



Obiect de acoperire -  $C$



Obiect steganografic -  $S$

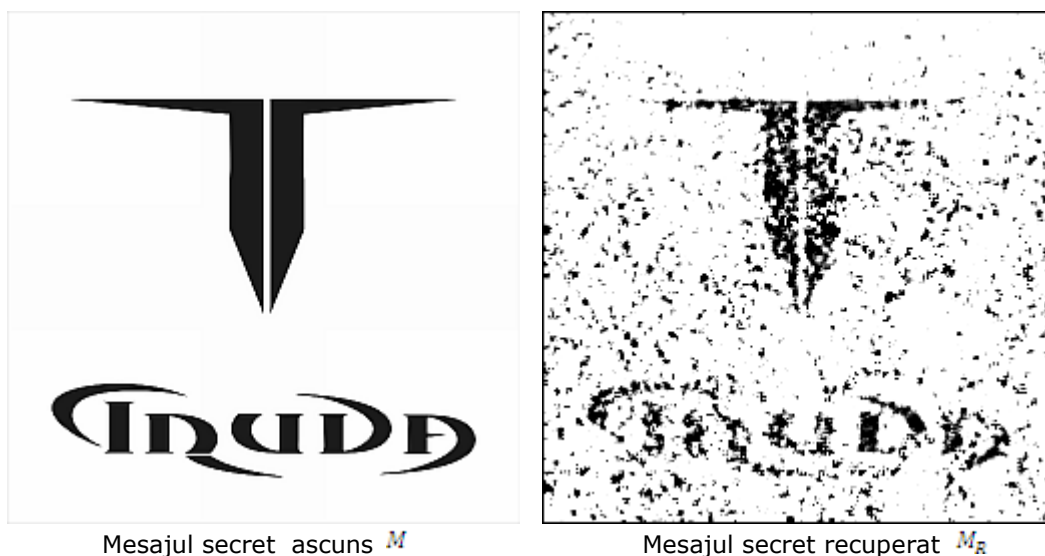


Figura 9.20 **ASAZ** Ascundere și recuperare mesaj

Mărimea obiectului de acoperire  $C$  și a obiectului steganografic  $S$  : 256 x 256 x 24 biți

Mărimea mesajului: 256 x 256 x 1 bit (imagine binară)

Eroarea relativă dintre  $C$  și  $S$  : 0.88%

Eroarea relativă dintre mesajul ascuns și mesajul recuperat: 7.41%

$\alpha = 4.0$



Obiect de acoperire -  $C$



Obiect steganografic -  $S$

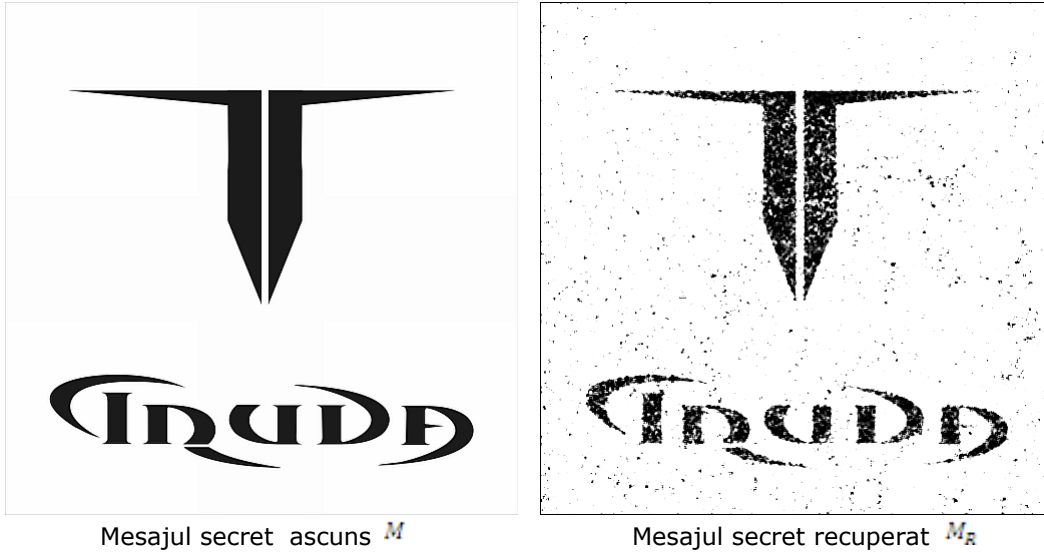


Figura 9.21 ASAZ Ascundere și recuperare mesaj

Mărimea obiectului de acoperire  $C$  și a obiectului steganografic  $S$  : 512 x 512 x 24 biți  
Mărimea mesajului: 512 x 512 x 1 bit (imagine binară)  
Eroarea relativă dintre  $C$  și  $S$  : 0.88%  
Eroarea relativă dintre mesajul ascuns și mesajul recuperat: 1.8%  
 $\alpha = 4.0$



Obiect de acoperire -  $C$



Obiect steganografic -  $S$

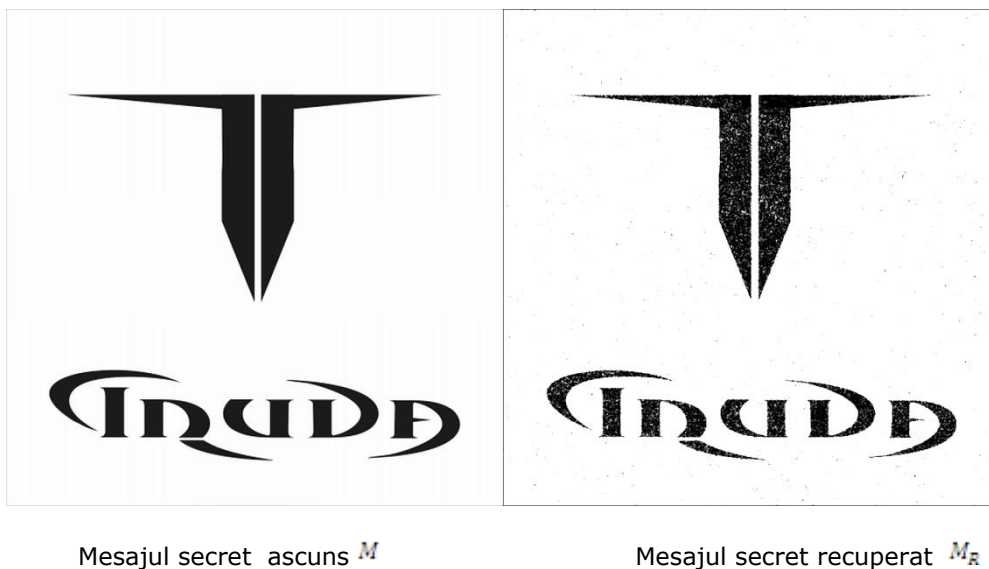


Figura 9.22 **ASAZ** Ascundere și recuperare mesaj

Mărima obiectului de acoperire  $C$  și a obiectului steganografic  $S$  : 1024 x 1024 x 24 biți

Mărima mesajului: 1024 x 1024 x 1 bit (imagine binară)

Eroarea relativă dintre  $C$  și  $S$ : 0.89%

Eroarea relativă dintre mesajul ascuns și mesajul recuperat: 0.88%

$\alpha = 4.0$

#### 9.2.2.4 ASAZ- Concluzii

Teoretic cu algoritmul **ASAZ** descris mai sus se pot ascunde în condiții foarte bune de securitate fără degradarea imaginii steganografice o cantitate relativ mică de informații egală cu 1 bpp din cantitatea de informații corespunzătoare obiectului de acoperire.

La prima vedere acest algoritm are o capacitate mai mică de ascundere decât algoritmul **ASAC**, însă prezintă un alt avantaj și anume faptul că datorită modului de ascundere a mesajului în semnalele de zgomot, îl face foarte greu de depistat de un eventual atacator, ceea ce îi conferă acestuia o robustețe mare.

Procesarea efectuată asupra obiectului de acoperire generează un obiect steganografic de foarte bună calitate așa cum se constată în figurile prezentate în acest subcapitol, cât și din faptul că eroarea relativă dintre obiectul de acoperire și obiectul steganografic este extrem de bună, respectiv 0,8%.

Alegerea corespunzătoare a parametrului  $\alpha$  ce poate fi ales în funcție de tipul imaginii digitale permite obținerea unei recuperări în condiții foarte bune a mesajului ascuns. În acest sens eroarea relativă dintre mesajul ascuns și mesajul recuperat poate scădea sub 1%. Mai mult, fiind un algoritm vectorial probabilitatea ca imaginea ascunsă să fie degradată de un eventual atacator este mai mică.

Algoritmul **ASAZ** dezvoltat de mine valorifică în condiții foarte bune transmiterea unor mesaje secrete exprimate sub formă de imagini binare. Algoritmul poate fi util totodată și în telefonia mobilă în vederea ascunderii unor mesaje text într-o imagine digitală color. Consider că acest algoritm prezintă calități deosebite în ceea ce privește recuperarea mesajului de către un eventual atacator, deoarece acesta este inclus într-un semnal de zgomot folosind o metodă pseudoaleatoare cunoscută doar de emițător și receptor. În acest fel chiar dacă mesajul ar putea fi interceptat de către un eventual atacator, el nu va putea fi și descifrat de către acesta. Adăugând faptul că și obiectul de acoperire prezintă câteva prelucrări și transformări este greu de presupus că astfel de procesări vor putea fi cunoscute de cei ce nu dețin în detaliu modalitatea de desfășurare a algoritmului, ceea ce îngreunează și mai mult tentativa de descifrare a informației ascunse.

Algoritmul **ASAZ** constituie un bun exemplu de validare a modelului propus în capitolul 6 rezultând în felul acesta un sistem steganografic sigur cu generarea unui obiect steganografic de o calitate foarte bună și cu posibilitatea de recuperare a mesajului secret cu eroare foarte mică.

În concluzie consider că acest algoritm este deosebit de util și în watermarking pentru protecția dreptului de autor, respectiv a semnăturilor digitale. Ca și cercetare viitoare îmi propun să adaptez acest algoritm pentru a fi rulat pe unul sau mai multe micro sisteme cu arhitecturi diferite în vederea îmbunătățirii timpului de execuție.

Algoritm steganografic pentru ascundere prin codarea mesajului secret  $ASAC_{MS}$

Algoritmul steganografic bazat pe ascunderea mesajului secret prin codarea acestuia constă în prelucrarea atât a obiectului de acoperire cu ajutorul transformatei KLT, cât și a mesajului secret prin distribuirea acestuia în mod pseudoaleator folosind generatorul Mersenne-Twister [MAK98]. De menționat că rata de repetiție a șirului pseudoaleator obținut pe baza generatorului menționat este de  $2^{19937}-1$ . Scopul utilizării distribuirii mesajului în obiectul de acoperire folosind șirul pseudoaleator constă în faptul că se pot obține două avantaje majore. Un prim avantaj ar consta în faptul că recuperarea mesajului secret de către un atacator este imposibil de realizat în lipsa cunoașterii cifrei de plecare a șirului, ce poate fi considerată ca și o cheie secretă. Al doilea avantaj constă în faptul că pixelii alăturați ai mesajului secret nu mai sunt încorporați succesiv, ceea ce conduce la obținerea unei imagini steganografice mai puțin distorsionate din punct de vedere al percepției umane.

### 9.2.2.5 $ASAC_{MS}$ - Algoritm de ascundere

#### **Prelucrarea obiectului de acoperire**

Pașii 1- 7 parcurși se referă la prelucrarea obiectului de acoperire și sunt identici ca la algoritmul de ascundere **ASAZ**.

- 8) Se formează matricea  $Q$  care are drept linii vectorii proprii obținuți anterior.
- 9) Cu ajutorul matricei  $Q$  și a imaginii de acoperire, folosind transformata KLT se construiește matricea imagine notată cu  $I_X$  :



$$I_K = Q^T \times C^* \quad (9.47)$$

Matricea  $I_K$  este formată din 3 linii și  $n \times m$  coloane și reprezintă exprimarea imaginii RGB în baza formată de vectorii proprii. Este de remarcat faptul că fiecare din cei 3 vectori ai bazei, corespunde unei valori proprii, iar cu cât această valoare proprie este mai mare, cu atât va fi mai mare domeniul în care variază proiecția pixelilor (fiecare pixel are 3 coordonate date de o coloană din matricea  $C^*$  pe vectorul corespunzător acelei valori).

Algoritmul urmărește ca la ascunderea mesajului, acesta să altereze cât mai puțin obiectul de acoperire, din acest motiv ascunderea se va face în proiecția care corespunde valorii proprii minime. Această proiecție este considerată cea mai omogenă în sensul că are cele mai mici abateri față de media sa. Se notează indicele valorii proprii cu valoarea cea mai mică, *ind*.

- 10) Se află domeniul între care variază coordonatele proiecției pe vectorul propriu minim, notat la punctul 9) cu *ind*. În continuare voi numi acest domeniu ca *domeniu de acoperire*. Pentru simplitate considerăm acest domeniu ca fiind ultima linie a matricei  $I_K$ . Precizez că domeniul de acoperire poate fi orice linie a matricei menționate depinzând de valoarea proprie minimă calculată anterior.

### Prelucrarea mesajului secret

- 11) Mesajul secret reprezentat printr-o matrice  $M$  are ca elemente valorile pixelilor alb – negru cuprinse între (0,..,255). În continuare matricea  $M$  se transformă dintr-o matrice de  $n$  linii și  $m$  coloane într-o matrice linie  $M^*$  de dimensiune  $n \times m$  coloane, ca în relațiile ce urmează:

$$M = \begin{bmatrix} m_{1,1} & \dots & m_{1,m} \\ \vdots & & \vdots \\ m_{n,1} & \dots & m_{n,m} \end{bmatrix} \quad (9.48)$$

$$M^* = [m_{1,1}, m_{1,2}, \dots, m_{1,m}, m_{2,1}, \dots, m_{n,m}] \quad (9.49)$$

- 12) Folosind generatorul Mersenne-Twister ce furnizează numere aleatoare, se va construi un șir pseudoaleator cu valori cuprinse între 1 și  $n \times m$  (inclusiv) având  $n \times m$  elemente. Numărul de plecare al acestui șir reprezintă o cheie de criptare care va permite reconstituirea acestui șir la extragerea mesajului, și este cunoscut atât de emițător cât și de receptor.

- 13) În urma acestei prelucrări, matricea  $M^*$  se transformă într-o altă matrice codificată, pe care am notat-o cu  $S_C$ .

$$S_C = [s_{c_1}, s_{c_2}, \dots, s_{c_{n \times m}}]; \quad (9.50)$$

- 14) Din fiecare element al matricei mesaj criptat  $S_C$  se scade media elementelor matricei  $S_C$  notată *med*, obținându-se o nouă matrice  $S_m$ :

$$S_m = [s_{m_1}, s_{m_2}, \dots, s_{m_{n \times m}}]; \text{ unde } s_{m_i} = s_{c_i} - med \quad (9.51)$$

Media elementelor matricei  $S_C$  se obține cu relația:

$$med = \frac{1}{n \times m} \sum_i^{n \times m} S_{c_i} \quad (9.52)$$

- 15) Se scalează  $S_m$  în domeniul dat de *domeniu – acoperire* și se obține  $S_f$ . Scalarea se face cu media termenilor vectorilor ce urmează a fi ascunși.
- 16) În continuare se trece la ascunderea mesajului astfel prelucrat, iar pentru aceasta s-au încercat două variante, fiecare cu propriile avantaje și dezavantaje:

#### **Metoda de ascundere ASAC<sub>MS</sub>-A<sub>1</sub>**

a) Se înlocuiește în matricea  $I_K$  din relația (9.47), linia corespunzătoare indicelui valorii proprii *ind* cu  $S_f$  înmulțit cu un coeficient subunitar, notat *coef*. Cu cât acest coeficient este mai aproape de valoarea "1", cu atât mesajul va fi recuperat mai bine, iar cu cât acesta e mai aproape de "0", cu atât imaginea steganografică seamănă mai mult cu imaginea obiectului de acoperire original. Ca urmare, coeficientul se adaptează la caracteristicile imaginilor folosite. Algoritmul de extragere este independent de acest coeficient.

$$S_f^* = S_f \times coef \quad (9.53)$$

Dacă matricea  $I_K$  are forma:

$$I_K = \begin{bmatrix} k_{1,1} & k_{1,m} & k_{1,n,m} \\ k_{2,1} & \dots & k_{2,n,m} \\ k_{3,1} & k_{3,m} & k_{3,n,m} \end{bmatrix} \quad (9.54)$$

Și dacă se presupune că indicele *ind* = 3, prin înlocuirea liniei *ind* cu  $S_f^*$  rezultă o nouă matrice  $I_{K1}$  din 3 linii și  $n \times m$  coloane, de forma:

$$I_{K1} = \begin{bmatrix} k_{1,1} & \dots & k_{1,n,m} \\ k_{2,1} & \dots & k_{2,n,m} \\ S_{f1}^* & \dots & S_{f_{n \times m}}^* \end{bmatrix} \quad (9.55)$$

#### **Metoda de ascundere ASAC<sub>MS</sub>-A<sub>2</sub>**

- b) Se calculează matricea linie  $S_f^*$  cu relația:

$$S_f^* = coef \times S_f + (1 - coef) \times \text{linia } ind \text{ a matricii } I_K \quad (9.56)$$

Și din nou se formează matricea  $I_{K1}$ .

În metoda de ascundere a algoritmului **ASAC<sub>MS</sub> - A<sub>1</sub>** mesajul este încorporat ca atare. Prin această metodă este posibil ca imaginea steganografică să fie afectată

într-o proporție mai mare. În schimb, la extragere mesajul recuperat este mai asemănător cu mesajul ascuns inițial.

În metoda de ascundere a algoritmului  $ASAC_{MS} - A_2$  ascunderea mesajului se face doar într-o anumită proporție exprimată prin coeficientul ales, combinat cu imaginea de acoperire. Această variantă are avantajul că oferă o imagine steganografică mult mai apropiată de obiectul de acoperire, în special dacă se ia un coeficient cu valoare mică. Dezavantajul acestei metode constă în faptul că poate duce la o distorsionare mai mare a mesajului extras.

- 17) Se exprimă matricea  $I_{K_1}$  din nou în baza RGB, rezultând imaginea steganografică sub forma unei matrice linie notată  $I_{S_1}$  construită după relația:

$$I_{S_1} = I_{K_1} \times Q \quad (9.57)$$

Matricea  $I_{S_1}$  este o matrice cu 3 linii și  $n \times m$  coloane.

- 18) La matricea  $I_{S_1}$  se adună la fiecare coloană media, notată cu  $med$  și se obține astfel o matrice asemănătoare cu cea din relația (9.34)
- 19) Se redimensionează matricea linie  $I_{S_1}$  într-o matrice ce are dimensiunea de  $n$  linii și  $m$  coloane și 3 culori de bază R, G, B. Aceasta reprezintă de fapt imaginea steganografică  $S$  (9.35) ce urmează a fi transmisă unui receptor.

### 9.2.2.6 $ASAC_{MS}-E_1$ Algoritm de extragere

Acest algoritm de extragere a mesajului ascuns folosește doar imaginea steganografică transmisă receptorului.

Pașii algoritmului:

- 1) Pornind de la imaginea steganografică  $S$  se formează o matrice care are pe fiecare linie elementele unei culori. Aceasta va avea 3 linii și  $n \times m$  coloane, având pe linii reprezentate proiecțiile imaginii RGB.

$$I_{S_1} = \begin{bmatrix} R_{1,1} & \dots & R_{1,m} & R_{2,1} & \dots & R_{n,m} \\ G_{1,1} & \dots & G_{1,m} & G_{2,1} & \dots & G_{n,m} \\ B_{1,1} & \dots & B_{1,m} & B_{2,1} & \dots & B_{n,m} \end{bmatrix} \quad (9.58)$$

- 2) Se calculează media pe fiecare linie și se scade din fiecare element al liniei corespunzătoare matricei  $I_{S_1}$ , rezultând astfel o nouă matrice  $I_{S_1}^*$  ce are aceeași dimensiune ca  $I_{S_1}$ .
- 3) Se determină matricea de covarianță:

$$Cov = I_{S_1}^* \times I_{S_1}^{*T} \quad (9.59)$$

Unde  $I_{S_1}^{*T}$  este transpusa matricii  $I_{S_1}^*$ . Matricea  $Cov$  rezultată va avea dimensiunea de 3 linii și 3 coloane.

- 4) Se determină vectorii proprii  $\vec{v}_1, \vec{v}_2, \vec{v}_3$  și valorile proprii  $\lambda_1, \lambda_2, \lambda_3$  ale matricei de covarianță.
- 5) Se formează matricea  $P$  care are drept coloane vectorii proprii obținuți la pasul 4. Matricea  $P$  va avea 3 linii și 3 coloane.

- 6) Aplicând transformata KLT se construiește matricea  $K$ , după formula:

$$K = P^T \times I_{S_1}^* \quad (9.60)$$

Matricea rezultată reprezintă matricea imaginii steganografice în baza dată de vectorii proprii.

- 7) Având în vedere că ascunderea mesajului secret s-a făcut în proiecția care corespunde valorii proprii minime a matricei de covarianță a imaginii de acoperire, și ținând cont că a fost scalat mesajul în domeniul său de variație, ca și proiecția în care s-a făcut ascunderea, rezultă în mod evident că obiectul de acoperire se încadrează în același domeniu ca și obiectul steganografic. Fiecare pixel din imaginea gazdă, de acoperire, respectiv din imaginea steganografică are trei coordonate RGB care pot fi privite drept coordonatele unui punct într-un reper ortogonal din spațiu, astfel încât totalitatea pixelilor poate forma un așa-zis "nor de puncte". Rezultă că direcția de variație minimă a norului de puncte (ce corespunde imaginii steganografice) va fi aproximativ egală cu direcția de variație minimă a norului inițial. Prin urmare și proiecția pe această direcție va aproxima vectorul ascuns în obiectul de acoperire. Dacă direcțiile sunt aceleași, mesajul extras va fi mai aproape de mesajul ascuns. În acest sens se caută valoarea proprie minimă din cel determinat la punctul 4 și se notează cu un indice, *ind*.
- 8) Din matricea  $K$  se extrage linia ce corespunde indicelui *ind*, iar acesta este vectorul care este ascuns în mesajul secret. Operația este inversa punctului 16 din algoritmul de ascundere  $ASAC_{MS}$ .
- 9) Se scalează această matrice liniară, ce are o linie și  $n \times m$  coloane, între 0 și 255 pentru obținerea contrastului maxim și se generează matricea linie  $A_1$ . Scalarea se face cu media termenilor vectorului extras. Prin scalare nu trebuie să se depășească valoarea 255.
- 10) Se generează un șir pseudoaleator de numere întregi cuprinse între 1 și  $n \times m$  identic ca la algoritmul de ascundere, punctul 12. De asemenea se utilizează aceleași cifre de plecare cu rol de cheie de codare, iar șirul este generat cu algoritmul Mersenne-Twister [MAK98].
- 11) Se permută pe rând în cadrul matricei  $A_1$  elementul din fiecare poziție (începând cu ultimul) cu un alt element din  $A_1$  având indicele dat de valoarea elementului din șirul pseudoaleator aflat pe aceeași poziție cu elementul permutat. Se obține un nouă matrice  $A_f$ .
- 12) Se aranjează elementele matricei liniare  $A_f$  într-o matrice de dimensiunea  $n$  linii și  $m$  coloane și se obține matricea mesajului extras în forma finală  $M_R$  în format RGB.

Algoritmul de extragere  $ASAC_{MS} - E_1$  are ca avantaj faptul că la extragerea mesajului utilizează doar imaginea steganografică.

Ca dezavantaj îl constituie faptul că imaginea steganografică poate prezenta diferențe față de imaginea de acoperire. Aceste diferențe depind de tipologia mesajului ce se dorește a fi ascuns precum și de imaginea de acoperire. În situația în care imaginea de acoperire este luată aleator dintr-un șir de imagini necunoscute, acest dezavantaj este foarte greu de sesizat. Spre exemplu, imaginea de acoperire poate fi o fotografie făcută în vacanță, care este o

imagine unicat, privată și a cărei structură inițială nu este cunoscută de către un eventual atacator. Din acest motiv este puțin probabil ca acesta să aibă termeni de comparație ce ar putea să-i trezească suspiciuni, în sensul că imaginea respectivă conține un mesaj ascuns.

### 9.2.2.7 ASAC<sub>MS</sub>-E<sub>2</sub> - Algoritm de extragere

Acest algoritm de obținere a mesajului ascuns folosește atât imaginea steganografică, cât și imaginea de acoperire originală a imaginii steganografice.

Pașii algoritmului:

- 1) Plecând de la imaginea steganografică exprimată prin matricea  $S$  se formează o matrice care are pe fiecare linie elementele unei culori. Această nouă matrice notată cu  $I_{S_1}$  este formată din 3 linii și  $n \times m$  coloane. Fiecare linie reprezintă prezintă proiecțiile imaginii RGB.
- 2) Pentru fiecare linie se calculează media, după care se scade din fiecare element al matricei  $I_{S_2}$ . Se obține astfel matricea  $I_{S_2}^*$ .
- 3) Se aplică transformata KLT asupra matricei  $I_{S_2}^*$ , reprezentând exprimarea imaginii steganografice în baza dată de vectorii proprii ai imaginii de acoperire și se obține matricea  $I_{S_K}$ .

$$I_{S_K} = Q^T * I_{S_2}^* \quad (9.61)$$

Unde:

$$I_{S_K} = \begin{bmatrix} s_{k_{1,1}} & & s_{k_{1,n,1}} \\ s_{k_{2,1}} & \dots & s_{k_{2,n,1}} \\ s_{k_{3,1}} & & s_{k_{3,n,1}} \end{bmatrix} \quad (9.62)$$

- 4) Se ia coeficientul care exprimă procentual cantitatea de mesaj secret încorporată în proiecția de vectori proprii corespunzătorilor valorilor proprii minime. Acest coeficient s-a notat cu *coef* în algoritmul de ascundere  $C_{MS}$ .

Din matricea  $I_{S_K}$  se alege linia indicată de indicele *ind* și se generează matricea liniară  $A$ , în care este ascuns mesajul, sub forma:

$$A = \text{coef} \times \text{linia}(\text{ind}) \text{ a matricii } I_{S_K} - (1 - \text{coef}) \times \text{linia}(\text{ind}) \text{ a matricii } I_K \quad (9.63)$$

Matricea liniară  $A$  este constituită atât din imaginea steganografică, cât și din imaginea de acoperire într-o proporție identică, folosită în procesul de ascundere. Această matrice va înlocui linia specificată de indicele *ind* din matricea  $I_{S_K}$ . În cazul în care se consideră *ind* = 3, atunci matricea rezultată, notată  $I_{S_K}^*$  va fi:

$$I_{S_K}^* = \begin{bmatrix} s_{k_{1,1}} & & s_{k_{1,n,1}} \\ s_{k_{2,1}} & \dots & s_{k_{2,n,1}} \\ a_{1,1} & & a_{n,m} \end{bmatrix} \quad (9.64)$$

5) Se calculează media elementelor din matricea  $A$  după care se scade din fiecare element a acesteia.

6) Din matricea  $I_{5 \times K}^*$  nou rezultată se ia linia  $ind$ , care reprezintă totodată și matricea liniară în care este ascuns mesajul. Se scalează această matrice linie, formată din  $n \times m$  coloane, între 0 și 255 pentru a obține contrastul maxim și se generează astfel matricea  $A_1$ .

7) Pornind de la numărul de plecare utilizat în algoritmul de ascundere  $ASAC_{MS}$ , se generează același șir pseudoaleator de întregi cuprins între "1" și  $n \times m$ , obținut cu ajutorul algoritmului Messenne-Twister. În final se obține matricea mesajului final recuperat  $A_f$ .

8) Se aranjează elementele matricei linie  $A_f$  într-o matrice de  $n$  linii și  $m$  coloane și se obține matricea mesajului extras în format RGB, care se notează cu  $M_E$  și reprezintă matricea mesajului recuperat.

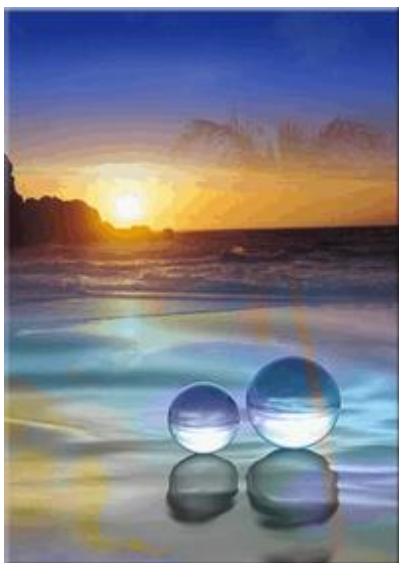
Algoritmul de extragere care necesită atât imaginea steganografică, cât și imaginea de acoperire se pretează pentru watermarking, deoarece în acest caz trebuie ca receptorul să dețină imaginea de acoperire originală și acest lucru este posibil deoarece cel care încorporează un watermark nu dorește să ascundă o informație, ci dorește doar să vadă dacă produsul a fost clonat sau nu. Acest lucru îl poate constata prin recuperarea mesajului și compararea cu mesajul original. În această ipostază cele 2 mesaje trebuie să difere cât mai puțin. Această soluție poate fi utilizată în protecția drepturilor de autor.

### 9.2.2.8 ASAC<sub>MS</sub> – Experimente

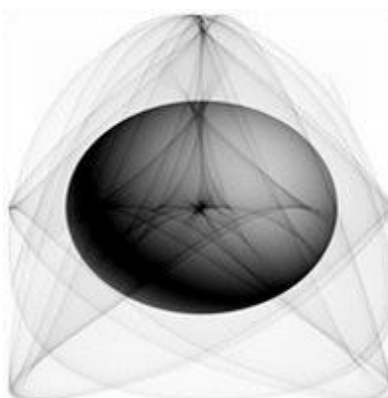
$ASAC_{MS} - E_1$  – Rezultate experimentale obținute în cazul în care la extragerea mesajului se utilizează numai imaginea steganografică sunt reprezentate în figurile 9.23, 9.24, 9.25, 9.26:

Dimensiune: 200x283x24biti  
= 165,9kb

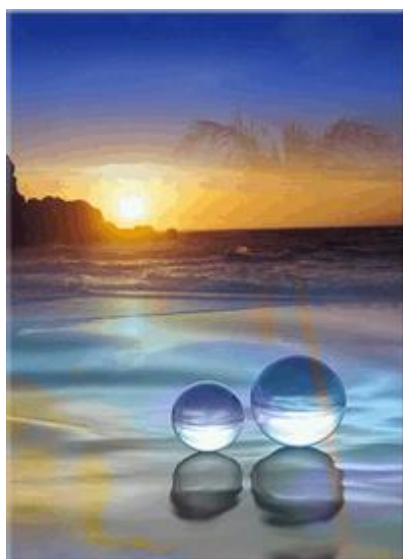
Dimensiune: 200x283x8biti  
= 56,3kb



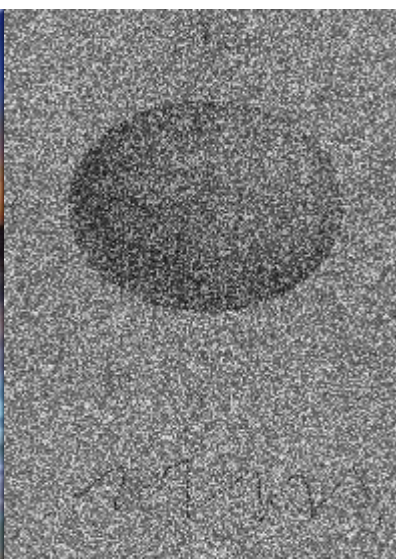
Imagine inițială



Mesajul secret



Imagine steganografică



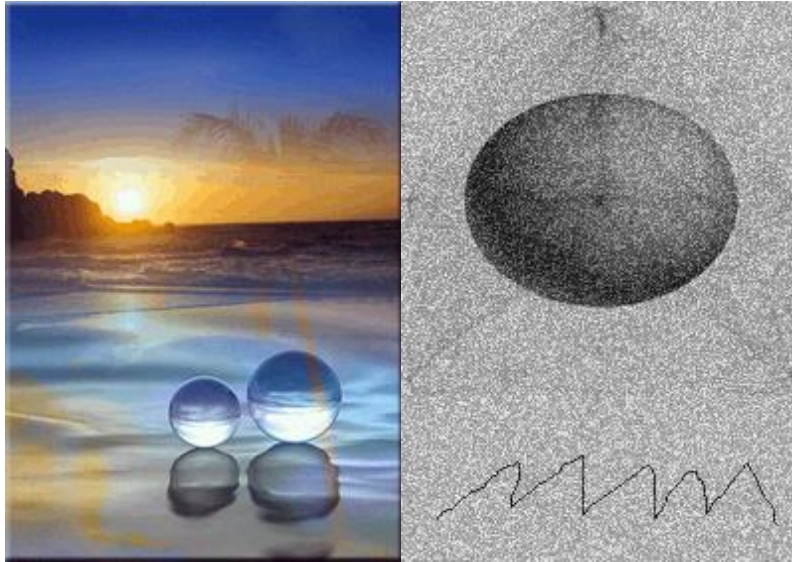
Imagine recuperată

Figura 9.23 Extragere mesaj  $ASAC_{MS} - E_1$  - Ascundere  $ASAC_{MS} - A_2$

Eroarea relativă dintre  $C$  și  $S$  : 0.27%

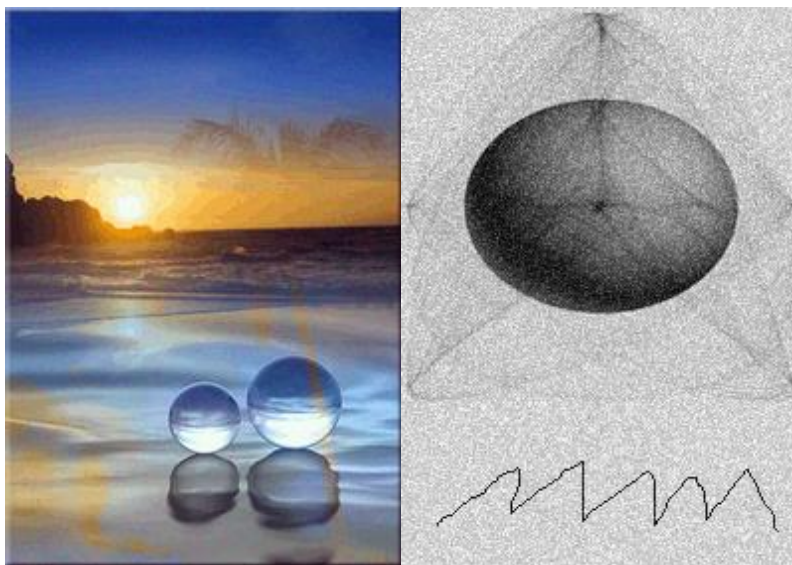
Eroarea relativă dintre mesajul ascuns și mesajul recuperat: 35,21%

$coef = 0.2$



Imaginea steganografică                      Imaginea recuperata  
Figura 9.24 Extragere mesaj  $ASAC_{MS} - E_1$  - Ascundere  $ASAC_{MS} - A_2$

Eroarea relativă dintre  $C$  și  $S$  : 0.7%  
Eroarea relativă dintre mesajul ascuns și mesajul recuperat: 22,03%  
 $coef = 0,5$



Imaginea steganografică                      Imaginea recuperată  
Figura 9.25 Extragere mesaj  $ASAC_{MS} - E_1$  - Ascundere  $ASAC_{MS}$



Eroarea relativă dintre  $C$  și  $S$  : 0,98%  
 Eroarea relativă dintre mesajul ascuns și mesajul recuperat: 12,88%  
 $coef = 0,7$

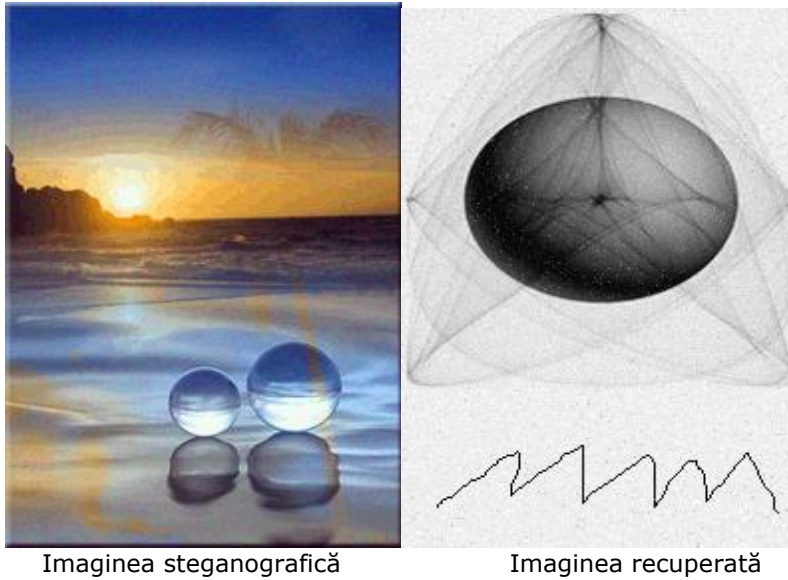
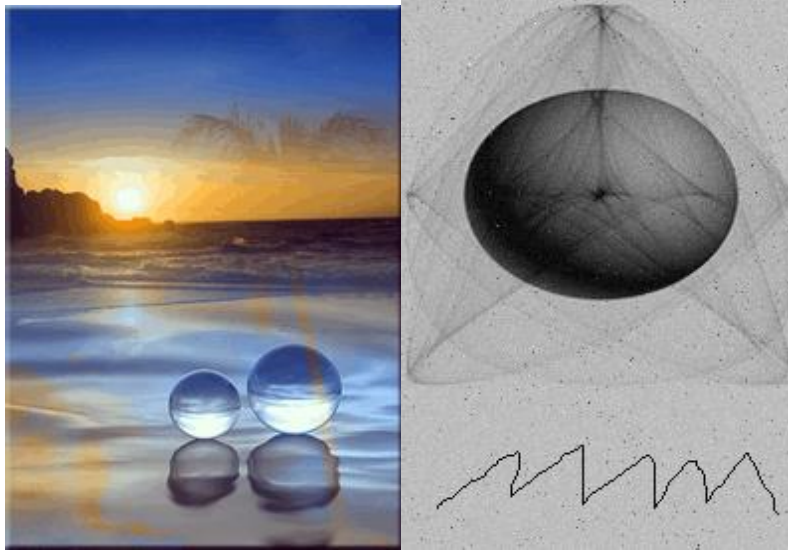


Figura 9.26 Extragere mesaj  $KLT_K - A$   $ASAC_{MS} - E_1$  - Ascundere  $KLT_K - A_2$   $ASAC_{MS} - A_2$

Eroarea relativă dintre  $C$  și  $S$  : 1,26%  
 Eroarea relativă dintre mesajul ascuns și mesajul recuperat: 4,68%  
 $coef = 0,9$

$KLT_K - E_1$   $ASAC_{MS} - E_1$  - Rezultate experimentale obținute în cazul în care la extragerea mesajului se utilizează numai imaginea steganografică sunt reprezentate în figurile 9.27, 9.28, 9.29,  $9.30$

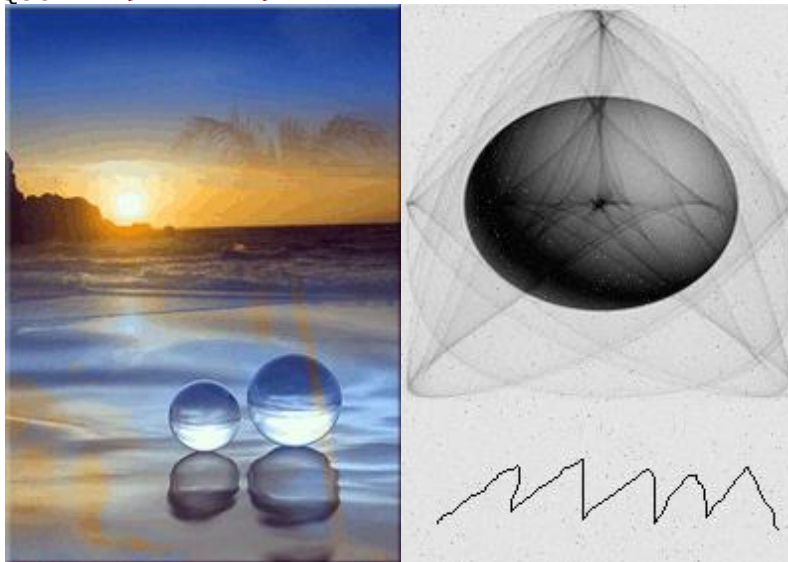


Imaginea steganografică

Imaginea recuperată

Figura 9.27 Extragere mesaj QUOTE  $KLT_K - A$   $ASAC_{MS} - E_1$  - Ascundere QUOTE  $KLT_K - A_1$   $ASAC_{MS} - A_1$

Eroarea relativă dintre QUOTE  $C$   $C$  și QUOTE  $S$   $S$  : 0,89 %  
 Eroarea relativă dintre mesajul ascuns și mesajul recuperat: 20,48%  
 QUOTE  $coef = 0,2$   $coef = 0,2$

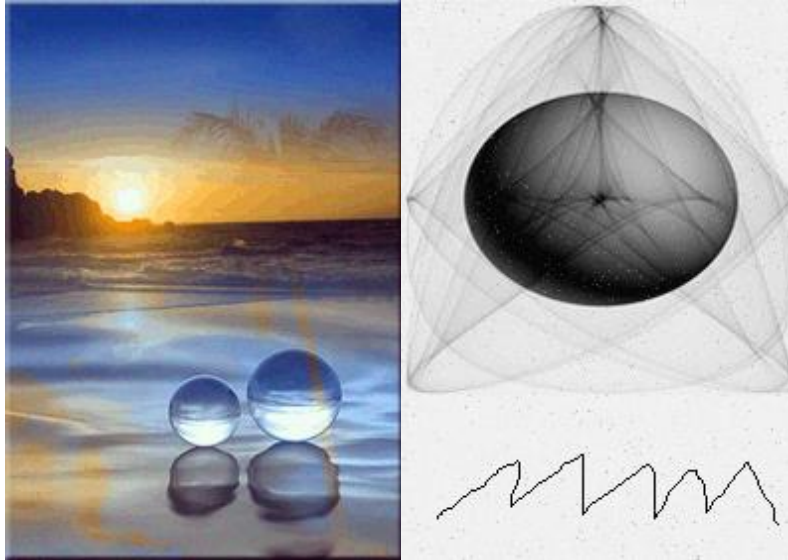


Imaginea steganografică

Imaginea recuperată

Figura 9.28 Extragere mesaj QUOTE  $KLT_K - A$   $ASAC_{MS} - E_1$  - Ascundere QUOTE  $KLT_K - A_1$   $ASAC_{MS} - A_1$

Eroarea relativă dintre  $C$  și  $S$  : 1,04 %  
 Eroarea relativă dintre mesajul ascuns și mesajul recuperat: 8,5%  
 $coef = 0,5$

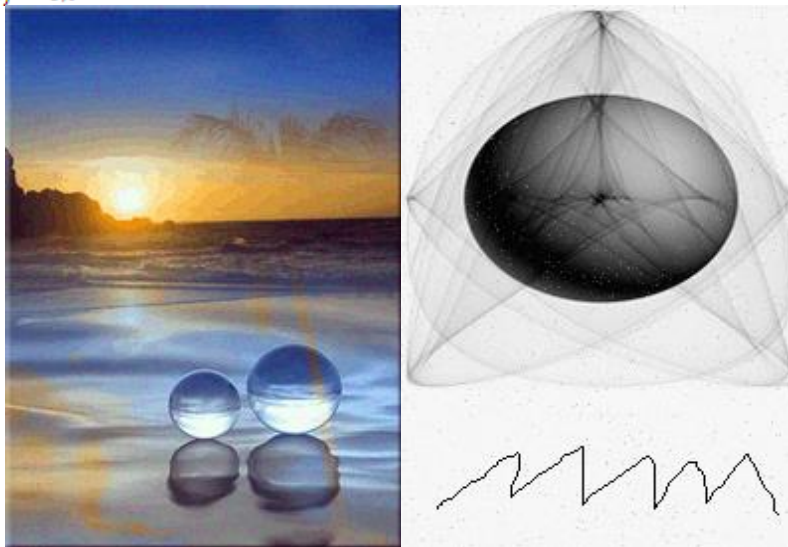


Imaginea steganografică

Imaginea recuperată

Figura 9.29 Extragere mesaj  $KLT_K - A_{ASAC_{MS} - E_1}$  - Ascundere  $KLT_K - A_1$   $ASAC_{MS} - A_1$

Eroarea relativă dintre  $C$  și  $S$  : 1,17 %  
 Eroarea relativă dintre mesajul ascuns și mesajul recuperat: 4,34 %  
 $coef = 0,7$



Imaginea steganografică

Imaginea recuperată

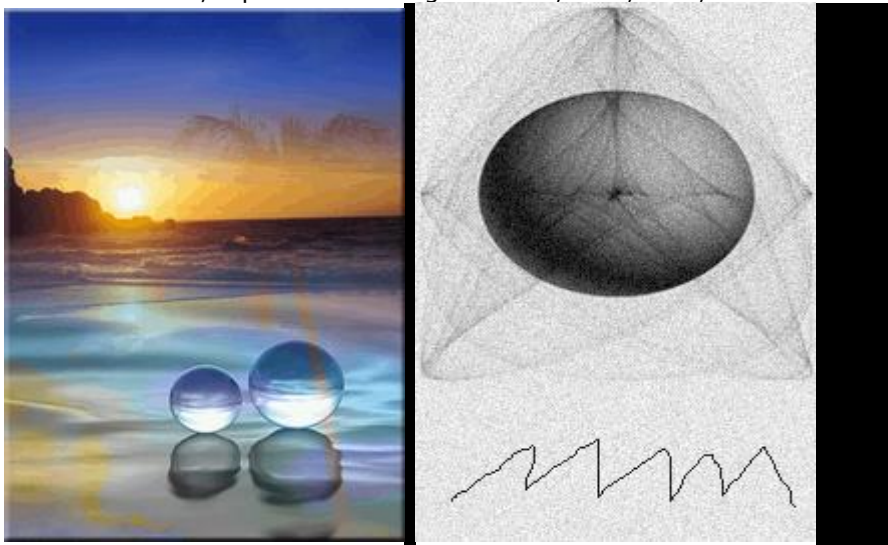
Figura 9.30 Extragere mesaj QUOTE  $KLT_K - A$   $ASAC_{MS} - E_1$  - Ascundere QUOTE  $KLT_K - A_1$   $ASAC_{MS} - A_1$

Eroarea relativă dintre QUOTE  $C C$  și QUOTE  $S S$  : 1,32 %

Eroarea relativă dintre mesajul ascuns și mesajul recuperat: 2,53 %

QUOTE  $coef = 0,9$   $coef = 0,9$

QUOTE  $KLT_K - E_2$   $ASAC_{MS} - E_2$  - Dacă la extragerea mesajului se utilizează atât imaginea steganografică cât și imaginea originală se obțin următoarele rezultate, reprezentate în figurile 9.30, 9.31, 9.32, 9.33



Imaginea steganografică

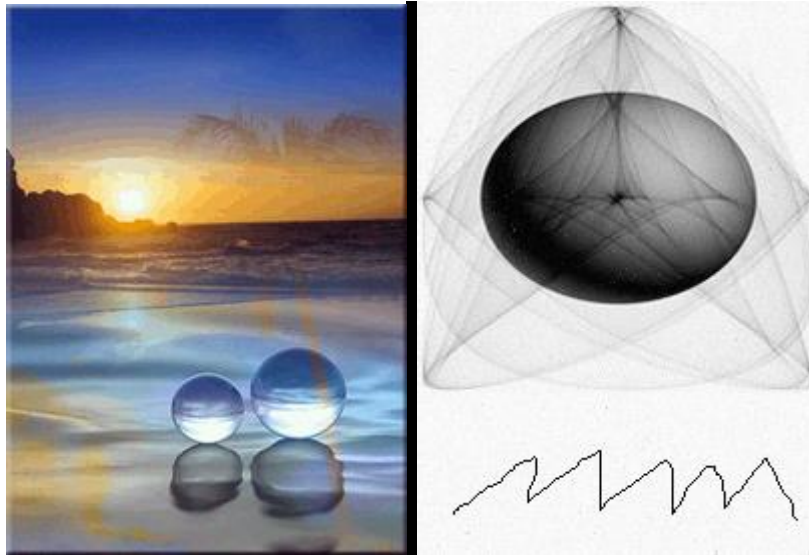
imaginea recuperate

Figura 9.31 QUOTE  $KLT_K - E_2$   $ASAC_{MS} - E_2$  - Ascundere și recuperare mesaj

Eroarea relativă dintre QUOTE  $C C$  și QUOTE  $S S$  : 0,41 %

Eroarea relativă dintre mesajul ascuns și mesajul recuperat: 3,13 %

QUOTE  $coef = 0,2$   $coef = 0,2$



Imaginea steganografică

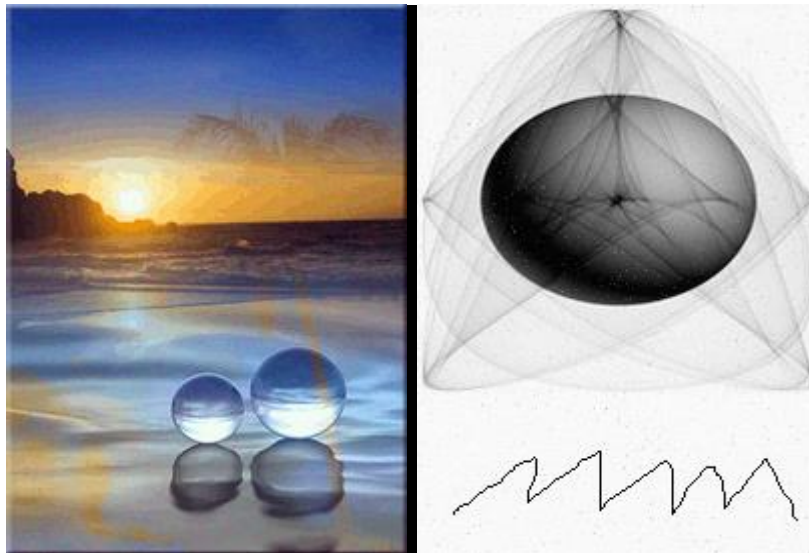
Imaginea recuperată

Figura 9.32 QUOTE  $KLT_K - E_2$   $ASAC_{MS} - E_2$  - Ascundere și recuperare mesaj

Eroarea relativă dintre QUOTE  $C C$  și QUOTE  $S S$  : 0,70 %

Eroarea relativă dintre mesajul ascuns și mesajul recuperat: 1,85 %

QUOTE  $coef = 0,5$   $coef = 0,5$



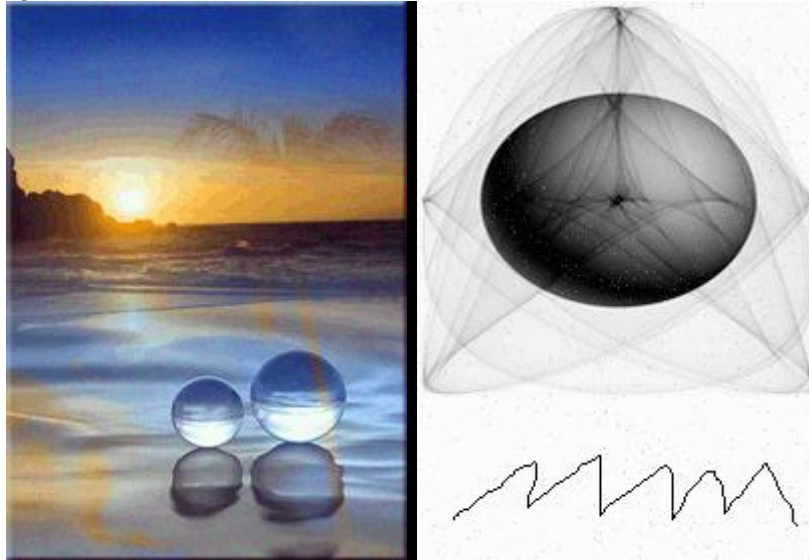
Imaginea steganografică

Imaginea recuperată

Figura 9.33 QUOTE  $KLT_K - E_2$   $ASAC_{MS} - E_2$  - Ascundere și recuperare mesaj

Eroarea relativă dintre QUOTE  $C C$  și QUOTE  $S S$  : 0,98 %

Eroarea relativă dintre mesajul ascuns și mesajul recuperat: 1,77 %

QUOTE  $coef = 0,7$   $coef = 0,7$ 

Imaginea steganografică

Imaginea recuperată

Figura 9.34 QUOTE  $KLT_K - E_2$   $ASAC_{MS} - E_2$  - Ascundere și recuperare mesajEroarea relativă dintre QUOTE  $C C$  și QUOTE  $S S$  : 1,26 %

Eroarea relativă dintre mesajul ascuns și mesajul recuperat: 1,20 %

QUOTE  $coef = 0,9$   $coef = 0,9$ 

### 9.2.2.9 ASAC<sub>MS</sub> - Concluzii

Algoritmul prezentat în acest subcapitol prin cele 4 variante discutate utilizează ca obiect de acoperire o imagine digitală color, iar mesajul secret este o imagine digitală alb-negru. În cadrul algoritmului are loc atât prelucrarea obiectului de acoperire, cât și a mesajului secret care la rândul lui este încorporat prin repartizarea lui în toată imaginea de acoperire.

Distribuirea mesajului secret în cadrul algoritmului QUOTE  $KLT_K$   $ASAC_{MS}$  îi conferă acestuia un grad mare de siguranță deoarece pentru ascunderea lui se utilizează un algoritm pseudoaleator (Mersenne-Twister), a cărui rată de repetiție este de  $2^{19937}-1$ . Spre exemplu, dacă se consideră că numărul de iterații pe secundă este 1 miliard ar fi necesari 40 de ani pentru a parcurge toate iterațiile, iar la 1 milion de iterații pe secundă sunt necesari 40.000 de ani. Acest aspect permite o securizare deosebit de bună a mesajului, ceea ce implică un timp de descifrare imposibil de realizat. Mai mult introducerea unui coeficient de proporționalitate mărește gradul de incertitudine al unui atacator. Utilizarea algoritmului QUOTE  $ASAC_{MS}$   $ASAC_{MS}$  generează un sistem steganografic superior dacă ascunderea datelor secrete se face în imagini eterogene, cu foarte puține zone compacte de aceeași culoare.

Algoritmul steganografic mai prezintă câteva artificii care sunt greu de descifrat de un eventual atacator, cum ar fi scalarea cu valoarea medie a pixelilor, folosirea unor valori ale coeficienților utilizați în transformările făcute. Extragerea mesajului devine foarte dificilă în acest caz, deoarece coeficienții utilizați sunt necunoscuți atacatorului.

Caracteristicile algoritmului QUOTE  $KLT_K$   $ASAC_{MS}$  constau în faptul că pe lângă procesarea mesajului secret are loc și o procesare a obiectului de acoperire care conduce la obținerea unui obiect steganografic cu erori ce pot scădea până la 0,41%, iar eroarea dintre mesajul inițial și mesajul recuperat poate scădea până la 1,2% în funcție de varianta aleasă atât la ascunderea mesajului secret, cât și la extragerea acestuia. Cele patru variante diferite ale algoritmului QUOTE  $KLT_K$   $ASAC_{MS}$  permit o mare flexibilitate în utilizarea acestuia în funcție de situația concretă ce trebuie rezolvată.

Mai mult, și acest algoritm validează modelul propus în capitolul 6 în sensul că se utilizează atât procesarea obiectului de acoperire, cât și a mesajului secret. Astfel, în situația în care se trimit seturi de imagini dintre care unele nu conțin informație ascunsă, atacatorul este obligat să le proceseze pe toate. În urma procesării el trebuie să sesizeze în care dintre imaginile procesate există date utile sau nu. Presupunând ca ia cea mai bună decizie va constata că mesajul recuperat este fără valoare, deoarece acesta este codificat. În cazul în care ar putea să-și dea seama de metoda prin care mesajul a fost codificat și dispune de o putere de calcul semnificativă, timpul de decriptare devine extrem de mare, ceea ce conduce la costuri foarte mari. În ceea ce privește cantitatea de informație ascunsă rezultatul experimentelor efectuate a condus la obținerea unei valori încorporare de 33% din capacitatea obiectului de acoperire.

În concluzie, algoritmul conceput și prezentat în acest subcapitol oferă o protecție suplimentară din punct de vedere al încercării extragerii mesajului secret de către persoane neautorizate, ceea ce l-ar putea de asemenea recomanda a fi utilizat și în telefonie mobilă deoarece timpul de execuție este comparabil cu cel al celorlalți algoritmi dezvoltați în acest capitol. Ca viitoare direcție de cercetare îmi propun și testarea acestui algoritm pe noua variantă a microprocesorului ISAAC în vederea obținerii unor rezultate care să îndeplinească eventuale cerințe legate de o comunicare confidențială cu un grad mai ridicat de robustețe în cazul unui atac.

### 9.3 Concluzii

În cadrul acestui capitol s-a realizat o prezentare a patru algoritmi diferiți ce utilizează domeniul vectorial de reprezentare a imaginilor digitale. Punctul de plecare a constat în transformarea imaginilor digitale din spațiul RGB într-un spațiu vectorial folosind diferite proceduri de transformare, cum ar fi descompunerea în valori singulare, transformata Karhunen-Loeve, după care a urmat practic aplicarea diferitelor metode de ascundere specifice celor 4 algoritmi. Ca și obiect de acoperire s-a utilizat o imagine color digitală, iar ca mesaje secrete au fost utilizate imagini binare, alb-negru și color.

Fiecare dintre cei patru algoritmi se caracterizează prin una sau mai multe proprietăți specifice sistemelor steganografice. Astfel dacă se dorește o robustețe mare a mesajului secret se recomandă algoritmul bazat pe descompunerea în valori

singulare ( QUOTE *SVD SVD* ). În cazul în care se dorește creșterea cantității de informație ce poate fi ascunsă se recomandă algoritmul ce se bazează pe ascunderea în biții cei mai puțini semnificativi combinată cu o procedură de comprimare efectuată asupra mesajului original ( QUOTE *ASAC ASAC* ). Pentru a obține un sistem steganografic cu dificultăți sporite în extragerea mesajului secret în eventualitatea în care un atacator ar dori acest lucru se recomandă algoritmul bazat pe codificarea acestuia ( QUOTE *ASAC<sub>MS</sub> ASAC<sub>MS</sub>* ). În situația în care se dorește inducerea în eroare a unor eventuali atacatori se recomandă algoritmul prin care mesajul secret este ascuns într-un semnal de zgomot generat artificial ( QUOTE *ASAZ ASAZ* ) astfel încât aceștia să interpreteze zgomotele ca fiind produse de canalele de transmisie.

Pe de altă parte trebuie menționat că o bună parte din algoritmi descriși în acest capitol pot fi considerați că dețin și alte proprietăți. Spre exemplu algoritmul QUOTE *ASAZ ASAZ* prezintă o robustețe mare în cazul unor atacuri, ca de altfel și algoritmul QUOTE *ASAC<sub>MS</sub> ASAC<sub>MS</sub>*. Mai mult, acesta din urmă prezintă calități din punct de vedere al recuperării mesajului secret. În ceea ce privește algoritmul QUOTE *ASAC ASAC* se poate spune că satisface în condiții foarte bune recuperarea mesajului secret.

Despre toți cei trei algoritmi ce folosesc parțial sau total transformata Karthunen-Loeve se poate remarca faptul că prezintă o imagine steganografică de o calitate foarte bună cu erori foarte mici raportate la obiectul de acoperire. Cele câteva caracteristici ale algoritmilor steganografici descriși în acest capitol se regăsesc în tabelul 10.1. Este de remarcat că toți cei trei algoritmi validează modelul propus de mine în capitolul 6 referitor la faptul că atât procesarea obiectului de acoperire, cât și a mesajului secret conduce la îmbunătățirea întregului sistem steganografic. Aceasta se poate constata atât prin obținerea unei imagini steganografice de o calitate foarte bună, cât și prin recuperarea mesajului aproape în totalitate.

Pentru toți algoritmi am efectuat experimente pe diferite seturi de imagini digitale scoțând în evidență caracteristicile acestora, iar acolo unde a fost cazul am făcut comparații referitoare la timpul de execuție al lor. Precizez că în lucrare sunt prezentate doar o mică parte din experimentele efectuate.

Referitor la algoritmul bazat pe descompunerea în valori singulare este de menționat că a constituit obiectul unui articol [STA08b] și a fost folosit ca termen de comparație pentru alți algoritmi dezvoltați de mine.

În continuare s-a prezentat o sinteză a utilizării transformatei Karthunen-Loeve în domeniul steganografiei și s-a dezvoltat un prim algoritm ( QUOTE *ASAC ASAC* ) ce permite utilizarea transformatei menționate pentru comprimarea mesajului secret și ascunderea acestuia în biții cei mai puțini semnificativi ai obiectului de acoperire. Pentru acest algoritm am dezvoltat trei variante, fiecare dintre acestea fiind testată și verificată pe un număr de imagini digitale de mărimi diferite, atât pentru obiectul de acoperire, cât și pentru mesajul secret. În vederea reducerii timpului de execuție același algoritm a fost implementat pe un microprocesor ARM, o mică parte din rezultatele experimentale fiind prezentate în această lucrare.

Tot pe baza transformatei Karthunen-Loeve am dezvoltat un algoritm QUOTE *ASAZ ASAZ* ce urmărește obținerea altor caracteristici steganografice. În acest sens imaginea de acoperire este transformată din domeniul spațial RGB în domeniul vectorial, efectuându-se în prealabil prelucrări asupra acesteia. Pasul următor presupune generarea artificială a unui zgomot și mixarea acestuia cu



mesajul secret în mod pseudoaleator, scopul urmărit fiind inducerea în eroare a unui eventual atacator. Semnalul astfel rezultat este încorporat în obiectul de acoperire. Pentru extragerea mesajului se aplică funcțiile inverse folosite la generarea obiectului steganografic.

În ceea ce privește ultimul algoritm creat `QUOTE ASACMS ASACMS` după transformarea obiectului de acoperire am prelucrat mesajul secret cu scopul ca acesta să fie distribuit pseudoaleator în obiectul de acoperire. Prin această soluție pixelii vecini ai mesajului secret sunt încorporați în diferite zone, ceea ce reduce senzația vizuală percepută de ochiul uman. Folosirea unei astfel de soluții permite atât îmbunătățirea clarității obiectului steganografic, cât și crearea unor obstacole suplimentare în cazul încercării extragerii mesajului secret de către un eventual atacator. În cadrul algoritmului au fost concepute două soluții privind modul de ascundere a mesajului secret. Prima soluție constă în faptul că acesta este încorporat în totalitate în obiectul de acoperire, iar a doua presupune mixarea în proporții alese printr-un coeficient a câta parte din mesajul secret se poate ascunde în obiectul de acoperire pentru ca obiectul steganografic rezultat să fie obținut cu o eroare cât mai mică. Și pentru procesul de extragere s-au realizat două variante. Astfel că, o într-o primă variantă se presupune că receptorul este suficient să cunoască doar obiectul steganografic pentru extragerea mesajului secret, iar în a doua variantă acesta trebuie să aibă cunoștință atât despre obiectul de acoperire original, cât și despre obiectul steganografic.

Pe baza algoritmilor dezvoltati în acest capitol se poate desprinde concluzia că un algoritm steganografic care să fie performant nu poate satisface în totalitate toate caracteristicile unui sistem steganografic. În acest sens, am urmărit ca prin algoritmi dezvoltati de mine să îndeplinesc o parte din caracteristicile sistemelor steganografice, în ideea de a obține performanțe maxime în acea direcție. Astfel, cu unii dintre algoritmi descriși în acest capitol am reușit să ascund o cantitate ce tinde spre un maxim de informație ce se poate încorpora, obținând totodată un raport de recuperare a mesajului secret cu o eroare minimă, iar cu ceilalți am urmărit ca mesajul ascuns să prezinte o robustețe cu un grad ridicat în cazul unor atacuri. Menționez că pentru reducerea timpilor de execuție urmează ca toți algoritmi descriși să fie implementați pe mai multe microprocesoare ce vor fi utilizate în telefonia mobilă, în scopul furnizării funcției steganografice privind transmiterea confidențială a convorbirilor telefonice.

## 10 CONCLUZII FINALE ȘI CONTRIBUȚII PERSONALE. PERSPECTIVE

### 10.1 Concluzii

Lucrarea de față este dedicată cercetărilor din domeniul de mare actualitate al dezvoltării de algoritmi steganografici, abordându-se probleme atât teoretice cât și aplicative de reală utilitate, direcționate în principal pe optimizarea creșterii cantității de informație ascunsă, a recuperării în condiții cât mai bune a mesajului încorporat, precum și a îmbunătățirii timpului de execuție.

Obiectivul principal al lucrării îl constituie găsirea unui model steganografic care să asigure un grad ridicat de securitate și dezvoltarea unor algoritmi steganografici în concordanță cu modelul propus. În plus s-a dorit ca algoritmi dezvoltati să prezinte și o utilitate practică în sensul modelărilor pe diferite platforme, cum ar fi un calculator personal, microprocesoare utilizate în prezent în telefonia mobilă, respectiv microprocesoare ce vor fi utilizate în viitor în telefonia mobilă. Utilitatea practică a rezultat din cerința unui producător de microprocesoare ca urmare a necesităților identificate la viitorii beneficiari a acestor echipamente.

Direcțiile de cercetare dezvoltate în teză au urmărit o succesiune de problematici specifice domeniului steganografiei.

Pe baza definirii terminologiei legate de steganografie și ținând cont de dezvoltarea tehnologică din ultimii ani s-a constatat o tendință tot mai crescută de utilizare a steganografiei în diferite scopuri, cum ar fi transmiterea de informații secrete, stocarea acestora, respectiv protecția lor în ceea ce privește dreptul de autor.

În ultimul timp se observă o tendință tot mai accentuată de creștere a mobilității aplicațiilor în domeniul tehnologiei informației datorită depășirii vânzării de echipamente mobile în comparație cu cele staționare. În această categorie se încadrează și telefonia mobilă, unde se remarcă de asemenea o evoluție a performanțelor echipamentelor utilizate, mai cu seamă în ceea ce privește puterea de prelucrare a datelor în cadrul acestora.

Dacă numărul de specialiști în domeniul calculatoarelor la ora actuală este foarte mare, nu se poate spune același lucru și despre numărul celor care furnizează aplicații în domeniul telefoniei mobile. Bazându-mă pe aceste constatări unii dintre algoritmi steganografici realizați au fost dezvoltati și pe microprocesoare utilizate în telefonia mobilă.

Pentru a determina cel mai bun purtător în care să fie încorporată informație secretă s-a făcut o sinteză a celor mai adecvate medii steganografice utilizate ca și suport de ascundere. Pe baza analizării proprietăților de bază ale steganografiei în ceea ce privește cantitatea de informație ce poate fi ascunsă, dificultatea de interceptare a informației secrete de către un eventual atacator, respectiv robustețea manifestată de către mesajul secret în cazul intervenției unor persoane neautorizate pe canalul de transmisie cu scopul deteriorării acestuia s-a constatat că imaginile digitale prezintă calitățile cele mai bune în acest sens. Ca urmare, în

această teză s-a decis utilizarea în continuare a imaginilor digitale ca și obiecte de acoperire în vederea realizării unui proces steganografic.

Imaginile digitale exprimate sub formă binară, alb-negru și color sunt reprezentate în trei domenii diferite în funcție de modul de utilizare a acestora. În domeniul spațial se pleacă de la modalitatea de achiziție a imaginii care este reprezentată de așa manieră încât aceasta să fie cât mai adaptată fiziologiei ochiului uman, existând la ora actuală o multitudine de exprimări a culorilor în acest sens. Domeniul frecvență prezintă avantajul unor prelucrări ale imaginilor în mod optim și se bazează pe diferite transformări analizate și în această lucrare, plecând de la transformata Fourier și ajungându-se la transformata cosinus discretă. În ceea ce privește domeniul vectorial, pixelii sunt exprimați sub această formă fiind în principiu un domeniu considerat optim din punct de vedere statistic, în sensul că ar putea obține o compactare cât mai bună a unei imagini fără pierdere semnificativă a calității acesteia. Și acest domeniu se bazează pe o serie de transformări cum ar fi Karthunen-Loeve sau descompunerea în valori singulare.

Dintre cele trei domenii de reprezentare a imaginii, domeniul spațial este cel care implică prelucrări cu un grad ridicat de paralelizare fiind foarte potrivit în dezvoltarea unor algoritmi steganografici ce permit ascunderea unor cantități suficient de mari de informație, în schimb calitatea obiectului steganografic poate fi degradată în cazul în care nu se adoptă soluția potrivită pentru algoritmul implementat. În acest domeniu am dezvoltat mai mulți algoritmi specifici.

Domeniul frecvență este un domeniu des utilizat în procesarea imaginilor referitor la recunoașterea acestora, respectiv comprimarea lor fiind utilizat și în steganografie datorită proprietăților transformărilor utilizate, în sensul ascunderii informațiilor secrete în coeficienții acestora. Este de remarcat faptul că datorită menținerii unui număr relativ mic de coeficienți și cantitatea de informații ce poate fi ascunsă este relativ mică. Cu toate acestea și în acest domeniu am implementat un algoritm bazat pe transformata cosinus discretă, scopul urmărit fiind analizarea proprietăților acestui domeniu și compararea acestui algoritm cu cei dezvoltați în celelalte domenii.

Domeniul vectorial este un domeniu care a fost mai rar folosit în steganografie, în principal datorită vizibilității mesajului ascuns în obiectul de acoperire, fiind utilizat mai frecvent în watermarking, deoarece în această direcție mesajul secret poate fi vizibil sau invizibil. Pentru acest domeniu am dezvoltat mai mulți algoritmi care să pună în valoare fie robustețea sistemului steganografic, fie cantitatea de informații maxime ce poate fi ascunsă, fie recuperarea în bune condiții a mesajului secret și chiar introducerea unor metode prin care extragerea acestuia în cazul unei eventuale depistări să devină foarte dificilă.

Pentru a îmbunătăți timpul de execuție al algoritmilor steganografici dezvoltați s-a propus executarea acestora pe două platforme ce conțin microprocesoare utilizate în telefonie mobilă actuală, respectiv în viitoarea generație de telefoane mobile. Pentru a avea acces la unul dintre microprocesoarele ce vor echipa telefoanele mobile s-a colaborat cu o companie ce proiectează microprocesoare din familia ISAAC. La cererea acesteia privind realizarea unei funcții steganografice în vederea obținerii confidențialității comunicării pentru clienții companiei s-au dezvoltat pentru testare și validare mai mulți astfel de algoritmi steganografici care să îndeplinească această cerință. Rezultatele experimentelor efectuate pe cele două microprocesoare confirmă faptul că acești algoritmi pot fi implementați, mai mult s-a constatat o îmbunătățire semnificativă a performanțelor legate de timpul de execuție. Este de menționat faptul că performanțele algoritmilor

steganografici se păstrează și în cazul rulării pe microprocesoare, fiind apreciate și de firma producătoare.

În urma sistematizării și sintezei privind modelele steganografice existente și a analizării avantajelor și dezavantajelor acestora am propus un model teoretic prin care sunt înlăturate o parte din dezavantajele constatate la modelele cele mai frecvent utilizate în prezent. Modelul propus constă în transmiterea către receptor a unui set de imagini digitale ca și obiecte de acoperire. Modalitatea de obținere a acestora nu este cunoscută, ceea ce conduce la creșterea incertitudinii unui eventual atacator. Setul de obiecte de acoperire se poate constitui dintr-un număr nedefinit de obiecte, asupra cărora se efectuează un proces de prelucrare cunoscut doar de emițător și receptor. În unele dintre aceste obiecte de acoperire se încorporează mesajul secret printr-un algoritm steganografic propus.

Receptorul cunoaște atât obiectul de acoperire în care s-a încorporat mesajul, cât și algoritmul de ascundere. Toate obiectele de acoperire, respectiv atât cele care conțin informație secretă, cât și cele care nu conțin sunt trimise pe canalele de comunicare la receptor, iar acesta pe baza algoritmului steganografic cunoscut, precum și a procedurii de procesare a obiectelor poate extrage mesajul secret din obiectul steganografic cunoscut. A doua variantă a modelului propus are ca bază varianta prezentată anterior cu singura observație că mesajul secret este procesat și el înainte de a fi încorporat. Alegerea uneia dintre cele două variante se va face în funcție de gradul dorit de protecție a datelor.

Modelul prezentat în urma demonstrației matematice efectuate se dovedește a avea un grad mai ridicat de securizare decât cele existente în literatură datorită utilizării unei funcții de procesare adecvată. Pe lângă confirmarea teoretică a modelului s-a verificat și practic acest lucru prin faptul că eroarea dintre obiectul de acoperire și obiectul steganografic scade în urma procesării, cunoscând faptul că obținerea unei erori mici între cele două obiecte conduce la obținerea unei diferențe dintre distribuțiile de probabilitate corespunzătoare obiectelor, ce tinde și ea spre o valoare mai mică.

Cu alte cuvinte se poate spune că, dacă diferența dintre cele două distribuții este foarte mică cel ce dorește să intercepteze mesajul steganografic nu poate face diferența dintre obiectul de acoperire și cel steganografic, deci nu poate extrage mesajul secret. Mai mult, prin faptul că sunt trimise un set de obiecte din care nu poate fi depistat practic care anume obiect conține informație secretă, un eventual atacator este obligat să prelucreze toate aceste obiecte în încercarea de a găsi mesajul ascuns printr-un algoritm polinomial. Este evident că timpul de extragere a întregului mesaj crește cu cât numărul de necunoscute este mai mare, făcând foarte dificilă obținerea acestuia într-un timp real.

Modelul propus a fost verificat și testat pe un număr de obiecte de acoperire utilizate folosind ca mesaje secrete imagini digitale. Testarea s-a efectuat în trei modalități. Un prim set de teste s-a realizat doar prin prelucrarea obiectelor de acoperire, un al doilea test s-a efectuat doar prin prelucrarea mesajului și un al treilea test s-a efectuat prin prelucrarea atât a obiectului de acoperire, cât și a mesajului secret. Toate testele au confirmat faptul că eroarea dintre obiectul de acoperire și obiectul steganografic s-a micșorat, iar recuperarea mesajului recuperat a crescut în calitate în urma prelucrării.

Prin stabilirea mecanismelor de îmbunătățire a securității sistemelor steganografice, în urma demonstrațiilor efectuate s-a trecut la dezvoltarea unor algoritmi steganografici a căror concepere să includă și astfel de concepte, legate de prelucrarea obiectelor de acoperire, respectiv a mesajului secret.

Algoritmii propuși în domeniul spațial de reprezentare a imaginilor au menirea de a satisface proprietățile legate de cantitatea de informații ce poate fi ascunsă, a calității mesajului recuperat, cât și rezolvarea unor aspecte legate de robustețea sistemului steganografic. Un prim algoritm bazat pe ascunderea informațiilor în biții cei mai puțini semnificativi a urmărit procedee de creștere a capacității informației ascunse cu obținerea unui obiect steganografic care să satisfacă condițiile teoretice demonstrate în modelul propus. Ca urmare, pentru toate cele trei variante ale algoritmului propus rezultatul obiectului steganografic prezintă diferențe imperceptibile ochiului uman. Mai mult, recuperarea mesajului secret se realizează cu o eroare foarte bună comparativ cu mesajul original.

Prin al doilea algoritm dezvoltat în domeniul spațial s-a urmărit atât creșterea gradului de securitate a sistemului, cât și a robusteții mesajului ascuns prin prelucrarea obiectului de acoperire cu ajutorul transformatei YUV. Informațiile secrete au fost încorporate în biții cei mai puțini semnificativi ai obiectului de acoperire astfel prelucrat.

Algoritmii menționați mai sus au fost dezvoltați în continuare pentru a fi implementați pe două microprocesoare, unul utilizat în prezent cu precădere în telefonia mobilă, iar al doilea urmând a fi folosit în generația viitoare de telefonie.

Rezultatele testelor efectuate pe cele două microprocesoare au condus la îmbunătățirea semnificativă a timpului de execuție de până la 20 de ori și au fost obținute în condițiile în care frecvențele de lucru ale echipamentelor utilizate au fost compatibile. Îmbunătățirea timpilor de execuție s-a obținut în special prin valorificarea superioară a arhitecturii microprocesoarelor utilizate pentru testare. Astfel se confirmă valabilitatea acestor algoritmi și posibilitatea utilizării lor în generarea unor funcții steganografice privind realizarea unor convorbiri confidentiale în viitorul apropiat.

În vederea obținerii unui optim între cantitatea de informații ce se poate ascunde, calitatea mesajului recuperat și robustețea acestuia cu menținerea unui grad de securitate ridicat am implementat un algoritm bazat pe complexitatea planurilor de biți ca studiu de caz în vederea comparării cu rezultatele obținute prin algoritmii menționați mai sus. În urma testelor efectuate s-a constatat posibilitatea implementării acestui algoritm pe microprocesoarele ce urmează a fi utilizate în telefonia mobilă cu condiția reducerii cantității de memorie utilizată și a micșorării timpului de execuție sau în ideea utilizării unor microprocesoare mai performante, deoarece timpul de procesare al algoritmului în prezent este mare.

Algoritmii utilizați pentru realizarea unui proces steganografic în domeniul frecvenței se bazează pe ascunderea informației în coeficienții transformatei cosinus discretă care implică încorporarea unei cantități relativ mici de informații. Acest tip de ascundere se pretează mai bine în watermarking. Luat ca și termen de comparație se poate constata că mesajul recuperat se obține cu o eroare mai mare, însă în schimb este robust în cazul unui atac intenționat. Algoritmii au fost utilizați în vederea comparării acestuia din punct de vedere a performanțelor cu ceilalți algoritmi dezvoltați în această lucrare.

Unul dintre domeniile care s-a dovedit potrivit pentru generarea de algoritmi steganografici îl constituie domeniul vectorial. Acest domeniu permite dezvoltarea unor algoritmi steganografici cu o flexibilitate relativ mare pentru obținerea diferitelor proprietăți ale sistemelor steganografice. Mai mult, se pot găsi diverse modalități de a îmbina proprietățile domeniului vectorial cu cele ale altor domenii. Pe baza ideilor menționate în lucrare s-a dezvoltat un set de algoritmi deosebit de performanți din punct de vedere steganografic prin faptul că permit o cantitate maximă de informații ce poate fi ascunsă, cu obținerea unei imagini

steganografice de o claritate foarte bună și cu un grad de recuperare a mesajului secret cu erori mici la recuperare. Un astfel de algoritm dezvoltat în lucrare constă în comprimarea mesajului secret folosind transformata Karthunen-Loeve și încorporarea vectorilor rezultați în urma comprimării în obiectul de acoperire în biții cei mai puțini semnificativi, rezultând astfel unul dintre cei mai performanți algoritmi dezvoltați în această lucrare.

Pentru creșterea gradului de securizare a sistemelor steganografice s-a dezvoltat un algoritm care are drept scop inducerea în eroare a unui eventual atacator, iar în acest sens informația secretă este ascunsă în zgomote create artificial, deoarece există posibilitatea ca acestea să fie interpretate ca fiind generate pe canalul de transmisie și pot fi ignorate practic de eventualii intruși. Algoritmul se caracterizează printr-o robustețe foarte bună a mesajului secret fiind dificil de deteriorat în cazul unor astfel de intenții.

În cazul utilizării unui mesaj secret exprimat sub forma unei imagini alb-negru s-a dezvoltat un algoritm cu un grad ridicat de siguranță privind încercările de recuperare neautorizată a informației secrete. Algoritmul se bazează pe transformarea obiectului de acoperire folosind transformata Karthunen-Loeve într-un domeniu vectorial în vederea ascunderii unei informații secrete. Utilizând principiile enunțate în dezvoltarea modelului propus a fost concepută o soluție de prelucrare a mesajului secret și încorporarea acestuia în vectorii proprii corespunzători valorii proprii cu valoarea cea mai mică.

Este de remarcat faptul că procesul de încorporare a mesajului secret se efectuează după redistribuirea pixelilor acestuia pe baza unui algoritm pseudoaleator. În acest sens, doi pixeli vecini a căror probabilitate de a avea valori apropiate este foarte mare, vor fi distribuiți în zone diferite ale obiectului de acoperire, ceea ce conduce la îmbunătățirea semnificativă a obiectului steganografic. În urma acestor prelucrări urmează o transformare inversă din domeniul vectorial în domeniul spațial obținându-se obiectul steganografic propriu-zis. Pentru a asigura flexibilitate mărită a algoritmului, procesul de ascundere se efectuează în două variante, fiecare variantă depinzând de un coeficient ce poate fi ales aleator. Extragerea mesajului la recepție de asemenea prezintă două variante, însă este de subliniat faptul că nu depinde de modul în care a fost ascuns mesajul. Rezultă că acest algoritm poate prezenta o varietate mare de modalități de ascundere, ceea ce conferă un grad mare de incertitudine. În plus, recuperarea mesajului secret nu se poate realiza decât în cazul modalității de dispersie a acestuia. Multiplele incertitudini avansate prin acest algoritm permit să se facă afirmația că algoritmul prezintă un grad mare de siguranță.

O comparație sintetică între toți algoritmi dezvoltați și utilizați în această lucrare se prezintă în tabelul 10.1 privind cantitatea de informație ascunsă raportată la mărimea obiectului de acoperire, respectiv calitatea obiectului steganografic exprimată față de obiectul de acoperire și calitatea mesajului recuperat față de mesajul secret original.

Tabel 10.1 Comparație sintetică a algoritmilor steganografici

Nr. crt.	Nume algoritm	Cantitate informație ascunsă raportată la obiectul de acoperire	Calitate obiect steganografic	Calitate mesaj recuperat
1	<i>LSB – P<sub>1</sub></i>	12,5%	0,39%	0,39%
2	<i>LSB – P<sub>2</sub></i>	25%	1,17%	1,17%
3	<i>LSB – P<sub>4</sub></i>	100%	2,74%	2,74%
4	<i>YUV – P</i>	4%-10%	0,33%	0,33%
5	<i>BPCS</i>	31,42%	1,05%	1,7%
6	<i>DCT</i>	12,5%	2%	3%
7	<i>SVD</i>	6,25%	1,5%	3%
8	<i>ASAC pe 1 bit</i>	29%	0,195%	0,8% - 1,67%
9	<i>ASAC pe 2 biți</i>	54%	0,5%	0,8% - 1,77%
10	<i>ASAC pe 4 biți</i>	101%	2,19%	0,8% - 1,77%
11	<i>ASAZ</i>	5%	0,8%	0,9%
12	<i>ASAC<sub>int</sub></i>	33%	0,41% - 6,27%	1,2% - 35,21%

Concluzia care se poate desprinde în finalul acestei lucrări este faptul că pe baza principiilor enumerate la dezvoltarea unui model steganografic cu un grad ridicat de siguranță prin care este implicată prelucrarea obiectului de acoperire și a mesajului secret, a rezultat în obținerea unui sistem steganografic superior din punct de vedere al siguranței în funcționare.

Pentru validarea practică a modelului teoretic propus au fost dezvoltați o serie de algoritmi în toate domeniile de reprezentare a imaginilor digitale. Folosind principiile desprinse din analiza modelului steganografic propus s-a constatat nu numai valabilitatea modelului, dar și faptul că s-au obținut algoritmi steganografici deosebiți de performanți. Mai mult, o parte dintre aceștia au fost adaptați pentru a fi implementați atât pe microprocesoare din clasa celor utilizate în prezent, respectiv în viitor în telefonia mobilă. Toate acestea au implicat o foarte bună valorificare a arhitecturilor microprocesoarelor utilizate în această lucrare, iar rezultatele experimentale au condus la obținerea unor timpi de execuție mult îmbunătățiți față de platformele clasice de calcul.

## 10.2 Contribuții personale

Pornind de la obiectivele și scopul declarat ale acestei lucrări în continuare se prezintă principalele contribuții originale:

- Elaborarea unei sinteze critice asupra stadiului actual al domeniului steganografiei.
- Elaborarea unui studiu și a unei analize asupra problematicei de bază vizând mediile ce pot constitui obiecte de acoperire în steganografie, în vederea stabilirii celui mai potrivit dintre acestea în funcție de capacitatea de încorporare a mesajelor secrete, respectiv detecția și robustețea acestora.

- Elaborarea unei sinteze asupra principalelor caracteristici ale imaginilor digitale utilizate în această lucrare ca suport pentru ascunderea mesajelor secrete.
- Prezentarea sintetică pe baza caracteristicilor esențiale ale principalelor domenii utilizate în steganografie de reprezentare ale imaginilor digitale.
- Analiza posibilităților de utilizare a unor microprocesoare caracteristice folosite în prezent, respectiv viitor în telefonia mobilă.
- Elaborarea unui studiu critic asupra modelelor steganografice existente.
- Propunerea unui nou model original steganografic pentru îmbunătățirea siguranței sistemelor steganografice.
- Demonstrarea teoretică din punct de vedere matematic a modelului steganografic propus privind îmbunătățirea siguranței acestuia.
- Dezvoltarea pe baza modelului propus a două variante originale de lucru în funcție de obiectivele urmărite.
- Testarea și validarea experimentală a celor două variante ale modelului steganografic propus.
- Dezvoltarea, testarea și validarea adaptării algoritmilor steganografici bazați pe ascunderea datelor secrete în biții cei mai puțini semnificativi ai obiectului de acoperire și implementarea originală pe două microprocesoare utilizate în telefonia mobilă în prezent, respectiv viitor.
- Dezvoltarea pe două microprocesoare a trei variante de lucru în ceea ce privește algoritmii steganografici bazați pe ascunderea datelor în cei mai puțini semnificativi biți în funcție de obiectivele urmărite.
- Analiza calitativă și cantitativă a celor trei variante de lucru a algoritmilor steganografici bazați pe ascunderea datelor în cei mai puțini semnificativi biți pentru trei platforme de lucru în vederea determinării timpului de execuție cel mai mic.
- Conceperea, testarea și validarea unui algoritm steganografic original bazat pe prelucrarea obiectului de acoperire în domeniul spațial YUV și ascunderea mesajului secret în biții cei mai puțini semnificativi ai acestuia în vederea creșterii gradului de securitate și a robusteții mesajului secret.
- Adaptarea algoritmului steganografic bazat pe prelucrarea obiectului de acoperire în domeniul spațial YUV și implementarea originală pe două microprocesoare utilizate în telefonia mobilă în prezent, respectiv viitor.
- Analiza calitativă și cantitativă a algoritmului steganografic bazat pe prelucrarea obiectului de acoperire în domeniul spațial YUV pentru trei platforme de lucru în vederea determinării timpului de execuție cel mai mic.
- Implementarea, testarea și validarea a câte unui algoritm steganografic pentru cele trei domenii de reprezentare ale imaginilor digitale prezentate în lucrare.
- Conceperea, testarea și validarea unui algoritm original bazat pe prelucrarea mesajului secret prin comprimare și ascunderea acestuia în biții cei mai puțini semnificativi ai obiectului de acoperire.



- Adaptarea algoritmului steganografic bazat pe prelucrarea mesajului secret prin comprimare în trei variante de lucru pentru un microprocesor utilizat în prezent în telefonia mobilă.
- Analiza calitativă și cantitativă a celor trei variante de lucru ale algoritmilor steganografici bazați pe prelucrarea mesajului secret prin comprimare, pe două platforme de lucru în vederea determinării timpului de execuție cel mai mic.
- Conceperea, testarea și validarea unui algoritm original bazat pe prelucrarea obiectului de acoperire și a mesajului secret cu scopul ascunderii într-un zgomot artificial creat în vederea creșterii siguranței sistemului steganografic.
- Conceperea, testarea și validarea unui algoritm original bazat pe prelucrarea obiectului de acoperire și ascunderea mesajului secret prin distribuirea aleatoare a acestuia în diferite zone ale obiectului de acoperire în vederea creșterii dificultății gradului de recuperare a informațiilor încorporate de către persoane neautorizate.
- Dezvoltarea, testarea și validarea a patru variante de lucru pentru algoritmul bazat pe distribuirea aleatoare a mesajului secret în vederea creșterii siguranței sistemului steganografic.

### 10.3 ***Direcții de cercetare generate de studiile efectuate***

Dintre principalele direcții de cercetare ce pot continua rezultatele obținute în cadrul acestei teze se pot enumera:

- Determinarea teoretică și practică atât a funcției optime de prelucrare a obiectului de acoperire, cât și a valorii acesteia.
- Determinarea teoretică și practică a diferenței optime dintre distribuțiile de probabilitate corespunzătoare obiectului steganografic, respectiv obiectului de acoperire. O diferență prea mică ar conduce la obținerea unei distribuții uniformă de probabilitate care nu ar mai permite încorporarea nici unei cantități de informație secretă. În cazul în care aceasta este prea mare există șansa ca mesajul secret să fie descoperit.
- În cazul algoritmului steganografic bazat pe prelucrarea obiectului de acoperire în domeniul spațial YUV îmi propun să exploatez pentru ascunderea mesajului secret și proprietățile altor domenii de reprezentare ale imaginilor, cum ar fi utilizarea transformatei cosinus discrete specifică domeniului frecvență, respectiv transformata bazată pe descompunerea în valori singulare caracteristică domeniului vectorial.
- Optimizarea și a celorlalți algoritmi concepuți în lucrarea de față în vederea adaptării acestora pentru implementarea pe microprocesoarele ce vor fi utilizate în telefonia mobilă, cu scopul de a obține un grad mai ridicat de securitate.
- În continuare urmează să fie stabilit pe baza unor criterii clare, dar și ținând seama de costurile și posibilitățile de integrare, respectiv și de cerințele pieței din domeniu, care dintre algoritmii propuși se încadrează cel mai bine spre a fi utilizat în continuare.

## 11 BIBLIOGRAFIE

- [ABO08] Abolghasemi M., Aghainia H., Faez K., Mehrabi M.A. , "Steganalysis of LSB Matching Based on Co-occurrence Matrix and Removing Most Significant Bit Planes", Intelligent Information Hiding and Multimedia Signal Processing, 2008. IIHMS'08 International Conference on, Harbin, 15-17 Aug. 2008, pp 1527-1530, ISBN: 978-0-7695-3278-3
- [AND05] Andre R.S. Marcal, Patricia R. Pereira, "A Steganographic Method for Digital Images Robust to RS Steganalysis" (book chapter), "Image analysis and recognition", 2005, pp. 1192-1199, ISBN 978-3-540-29069-8
- [AGR09] Agrawal N., Gupta A., "DCT Domain Message Embedding in Spread-Spectrum Steganography System", [HYPERLINK "/xpl/RecentCon.jsp?punumber=4976434" Data Compression Conference, 2009. DCC '09., 16-18 March 2009, pp. 433-433, Snowbird, UT, ISBN: 978-1-4244-3753-5](#)
- [BAB07] Babu V., Suresh S., Raja K. B. Uma, Maheshwar Rao K. Rashmi, K. A. Venugopal, K. R. Patnaik, "Robust and high capacity image steganography using SVD", Information and Communication Technology in Electrical Sciences (ICTES 2007), 2007. ICTES. IET-UK International Conference on, Chennai, Tamilnadu, India, 20-22 Dec. 2007, pp. 718-723, ISSN: 0537-9989
- [BAO04] Bao P, Xiaohu Ma Nanyang, "MP3-resistant music steganography based on dynamic range transform", Technol. Univ., Singapore, Intelligent Signal Processing and Communication Systems, 2004. ISPACS 2004. Proceedings of 2004 International Symposium on, 2004, pp. 266 - 271, ISBN: 0-7803-8639-6
- [BAR98] M. Barni, F. Bartolini, V. Cappellini and A. Piva, "A DCT domain system for robust image watermarking", Signal Processing, vol. 66, no.3, pp. 257-372, 1998; XP004124957 ISSN: 0165-1684
- [BAR00] Baruch Z. F., "Sisteme de intrare iesire ale calculatoarelor", Editura Alabastră, 2000, ISBN 973-9443-39-7
- [BEE08] [HYPERLINK "http://portal.acm.org/author\\_page.cfm?id=81350606032&coll=GUIDE&dl=GUIDE&trk=0&CFID=64680687&CFTOKEN=11715507" \t "\\_self" F. P. Beekhof, HYPERLINK](#)

- "http://portal.acm.org/author\_page.cfm?id=81100552655&coll=GUIDE&dl=GUIDE&trk=0&CFID=64680687&CFTOKEN=11715507" \t "\_self"S. Voloshynovskiy, HYPERLINK "http://portal.acm.org/author\_page.cfm?id=81100612726&coll=GUIDE&dl=GUIDE&trk=0&CFID=64680687&CFTOKEN=11715507" \t "\_self"O. Koval, HYPERLINK "http://portal.acm.org/author\_page.cfm?id=81350605734&coll=GUIDE&dl=GUIDE&trk=0&CFID=64680687&CFTOKEN=11715507" \t "\_self"R. Villan, HYPERLINK "http://portal.acm.org/author\_page.cfm?id=81350590833&coll=GUIDE&dl=GUIDE&trk=0&CFID=64680687&CFTOKEN=11715507" \t "\_self"E. Topak, *Document forensics based on steganographic anti-counterfeiting markings and mobile architectures*, Proceedings of the 1st international conference on Forensic applications and techniques in telecommunications, information, and multimedia and workshop, Adelaide, Australia, Art. No. 28, 2008, ISBN:978-963-9799-19-6
- [BER05] Bertrand Anckaert, Bjorn De Sutter, Dominique Chagnet, Koen De Bosschere, *"Steganography for Executables and Code Transformation Signatures"*, Publisher, Springer Berlin / Heidelberg, Book Information Security and Cryptology – ICISC 2004, Vol. 3506/2005, Mai 24, 2005, ISBN 978-3-540-26226-8
- [BOH04] Bohme Rainer, Westfeld Andreas, *"Breking Cauchy model-based JPEG steganography with first order statistics"*, ESOROCS 2004, 13 Sept. France, vol. 3193, pp.125-140, ISBN: 3-540-22987-6
- [BON07a] Boncelet C., Marvel L., *"Lossless Compression-Based Steganalysis of LSB Embedded Images"*, Information Sciences and Systems, 2007. CISS '07. 41st Annual Conference on, Baltimore, MD, 14-16 March 2007, pp. 923-923, ISBN: 1-4244-1037-1
- [BON07b] Boncelet C., Marvel L., *"Steganalysis of  $\hat{A} \pm 1$  Embedding using Lossless Image Compression"*, Image Processing, 2007. ICIIP 2007. IEEE International Conference on, San Antonio, TX, Sept. 16 2007-Oct. 19 2007, Vol 2, pp. II - 149-II - 152, ISBN: 978-1-4244-1437-6
- [BOR05] Borda Monica Elena, *"Teoria transiterii informației"*, Editura DACIA, Cluj Napoca, 2005, ISBN: 973-35-0870-5
- [BUD06] Budhia U., Kundur D., Zourntos T., *"Digital Video Steganalysis Exploiting Statistical Visibility in the Temporal Domain"*, Information Forensics and Security, IEEE Transactionson on, 2006, Vol. 1, pp. 502-516
- [BUR08] Wilhelm Burger, Mark J. Burger *"Digital Image Proocessing"*, ed.

- Springer, 2008, pp. 5-36, 199-311, 367-373, ISBN: 978-1-84628-379-6
- [CAH04] Cachin C., "An Information-Theoretic Model for Steganography", Information and Computation, 2004, Vol.192, pp. 41-56, ISSN:0890-5401
- [CAI07] Wei Cai B.E., "FPGA Prototyping of a watermarking algorithm for MpPEG-4", Thesis, University of North Texas, 2007
- [CAN08] HYPERLINK  
["http://ieeexplore.ieee.org/search/searchresult.jsp?disp=cit&queryText=\(candik%20%20m.%3cIN%3eau\)&valnm=Candik%2C+M.&reqloc%20=others&history=yes"](http://ieeexplore.ieee.org/search/searchresult.jsp?disp=cit&queryText=(candik%20%20m.%3cIN%3eau)&valnm=Candik%2C+M.&reqloc%20=others&history=yes)Candik M., HYPERLINK  
["http://ieeexplore.ieee.org/search/searchresult.jsp?disp=cit&queryText=\(%20brechlerova%20%20d.%3cIN%3eau\)&valnm=%20Brechlerova%2C+D.&reqloc%20=others&history=yes"](http://ieeexplore.ieee.org/search/searchresult.jsp?disp=cit&queryText=(%20brechlerova%20%20d.%3cIN%3eau)&valnm=%20Brechlerova%2C+D.&reqloc%20=others&history=yes)Brechlerova D., "Digital watermarking in digital images", HYPERLINK  
["http://ieeexplore.ieee.org/xpl/RecentCon.jsp?punumber=4747413"](http://ieeexplore.ieee.org/xpl/RecentCon.jsp?punumber=4747413)Security Technology, 2008. ICCST 2008. 42nd Annual IEEE International Carnahan Conference on, 13-16 Oct. 2008, pp. 43-46, ISBN: 978-1-4244-1816-9
- [CHA04] Chandramouli Rajarathnam, Kharrazi Mehdi, Memon Nasir, "Image steganography and steganalysis: Concepts and practice", IWDW, Seoul, Coreea, vol 2939, pp. 35-49, 2004, ISBN: 3-540.21061-X
- [CHA06a] Changzoung XU, Xijian Ping, Tao Zhang, "Steganography in Compressed Video Stream", Proceedings of the First International Conference on Innovative Computing, Information and Control - Vol.1, pp. 269 - 272, 2006, ISBN:0-7695-2616-0
- [CHA06b] Chang C-C., Chou H., Lin C-C., „Colour image-hiding scheme using human visual system”, Imaging Science Journal, Oxford, UK, September 2006 , Vol54, Nr 3, pp. 152-163(12)
- [CHA08] Chin-Chen Chang, Zunq-Chen Chou, The Duc Kieu, "An Information Hiding Scheme Using Sudoku", ICICIC'08: Proceedings of the 2008 3<sup>rd</sup> International Conference on Innovative Computing Information and Control, Vol. 00, June 2008, IEEE Computer Society.
- [CHE06] Po-Yueh Chen and Hung-Ju Lin, "A DWT Based Approach for Image Steganography", International Journal of Applied Science and Engineering, Taiwan,2006, vol 3 pp. 275-290, ISSN 1727-2394
- [CHE08a] Chang-Chu Chen, Chin-Chen Chang, "LSB-Based Steganography Using Reflected Gray Code", IEICE-Transactions on Information and

- 
- Systems, Vol. E91-D, Issue4, April 2008, ISSN: 0916-8532
- [CHE08b] Cheddad A. Condell, J. Curran, K. McKeivitt, "Biometric Inspired Digital Image Steganography", Engineering of Computer Based Systems, 2008. ECBS 2008. 15th Annual IEEE International Conference and Workshop on the, Belfast, March 31 2008-April 4 2008, pp.159-168, ISBN: 0-7695-3141-5.
- [CHI05a] Chin-Chen Chang, Chi-Lung Chiang, Ju-Yuan Hsiao, "A DCT-domain system for hiding fractal compressed images", [HYPERLINK "/xpl/RecentCon.jsp?punumber=9746"](#) Advanced Information Networking and Applications, 2005. AINA 2005. 19th International Conference on, 28-30 March 2005, pp. 83 - 86 vol.2, ISBN: 0-7695-2249-1
- [CHI05b] Chi-Shiang Chan, Chin-Chen Chang, "An Image Hiding Scheme Based on Multi-bit-reference Substitution Table Using Dynamic Programming Strategy", Fundamenta Informaticae, 2005, Volume 65, pp. 291 - 305, ISSN:0169-2968
- [CHI08] Ching-Chiuan Lin, Nien-Lin Hsueh, "A lossless data hiding scheme based on three-pixel block differences", Elsevier Science Inc. New York, NY, USA, Vol. 41, pp. 1415-1425, 2008, ISSN:0031-3203
- [CHI09] Chia-Chen Lin, Pei Feng Shiu, "DCT-based reversible data hiding scheme", Conference On Ubiquitous Information Management And Communication Proceedings of the 3rd International Conference on Ubiquitous Information Management and Communication, Suwon, Korea, pp. 327-335, 2009, ISBN:978-1-60558-405-8
- [CHO06] Chang C-C.; Chou H.; Lin C-C., "Colour image-hiding scheme using human visual system", Imaging Science Journal, September 2006, Vol54, Nr 3, pp. 152-163(12)
- [CHO08] Yung-Chen Chou, Chin-Chen Chang, Kuan-Ming Li, "A Large Payload Data Embedding Technique for Color Images", Fundamenta Informaticae, IOS Press, 2008, Vol 88, Number 1-2 / 2008, pp. 47-61, ISSN 0169-2968
- [CHR06] Christian Kratzer, Jana Dittmann, Andreas Lang, Tobias Kühne "WLAN steganography: a first practical review", International Multimedia Conference, Proceeding of the 8th workshop on Multimedia and security, Geneva, Switzerland, 2006, pp. 17 - 22, ISBN:1-59593-493-6
- [CHU01] Chun-Hsien Chou and Tung-Lin Wu, "Embedding color watermarks in color images", EURASIP Journal on Applied Signal Processing, vol. 1,

- pp. 327-332, 2001, ISBN: 0-7803-7025-2
- [CIU71] Ciucu G., Craiu V., "*Introducere în teoria probabilităților și statistică matematică*", Editura Didactică și Pedagogică, București, 1971
- [COL03] Eric Cole, "*Hiding in Plain Sight: Steganography and the Art of Covert Communication*", Wiley publishing, Inc, Indianapolis, Indiana, ISBN: 0-471-44449-9
- [CRU06] William A. Irizarry-Cruz, FPGA Implementation of a video watermarking algorithm, Thesis, University of Puerto Rico Mayaguez campus, 2006
- [DAF03] Dafas P., Stathaki, T., "*Digital image watermarking using block-based Karhunen-Loeve transform*", Image and Signal Processing and Analysis, 2003, ISPA 2003, Proceedings of the 3rd International Symposium, 18-20 Sept. 2003, pp. 1072 – 1075, Vol.2, ISBN: 953-184-061-X
- [DEE03] Deepa Kundur, "*Practical internet steganography: data hiding in IP*", in IP, Proceedings of the Texas Workshop on Security of Information Systems, April 2 nd , 2003
- [DUT05] Sorin Duta, Mihai Mitrea, Françoise Prêteux, "*Informed watermarking for low rate video*", Proceedings of the 9th WSEAS International Conference on Communications, Athens, Greece, Article No. 69, 2005, ISBN: 960-8457-29-7
- [EFF03] Michelle Effros, Hanying Feng, Kenneth Zeger, "*Suboptimality of the Karhunen-Loeve Transform for Transform Coding*", Proceedings of Data Compression Conference (DCC '03), 2003
- [EIS00] Eisenring M., Platzner M., "*Synthesis of interfaces and communication in reconfigurable embedded systems*", Computers and Digital Techniques, IEE Proceedings, May 2000, Vol 147, Issue: 3, pp 159-165, ISSN: 1350-2387
- [ELT07] Elhadedy M.E., Madian A.H., Saleh H.I., Ashour M.A. Aboelsaud, "*Hardware implementation of the encoder modified mid-band exchange coefficient technique (MMBEC) based on FPGA*" , Microelectronics, 2007. ICM 2007. International Conference on, Cairo, 29-31 Dec. 2007, pp. 43-46, ISBN: 978-1-4244-1846-6
- [ERF09] Yousof Erfani, Shadi Siahpoush, "*Robust audio watermarking using improved TS echo hiding*", Digital Signal Processing, Vol.19, Issue 5, pp. 809-814, Sept 2009, Orlando, Florida, SUA, ISSN: 1051-2004
- [FAR04] Hala Farouk, Magdi Saeb, "*Design and implementation of a secret key steganographic micro architecture employing FPGA*", Design, Automation and Test in Europe Conference and Exhibition, 2004.

- Proceedings, 16-20 Feb. 2004, Vol.3, pp. 212-217, ISSN:1530-1591, ISBN: 0-7695-2085-5
- [FAR05] Hala Farouk, Magdy Saeb, "An improved FPGA implementation of the modified hybrid hiding encryption algorithm (MHHEA) for data communication security", Proceeding of the Design, Automation and Test in Europe, March 2005, pp. 76-81, Vol. 3, ISSN: pp.1530-1591, 2005, ISBN: 0-7695-2288-2
- [FEG02] George R. Fegan, "Issue in SBRA: the Simulation of Correlated Random Variables Using the Karhunen-Loeve Transform(KLT)", Euro SiBRAM, Prague, 24-26 June 2002, Session 2.
- [FEN02] Feng H., Effros M. , "On the rate-distortion performance and computational efficiency of the Karhunen-Loeve transform for lossy data compression", Image Processing, IEEE Transactions on , Feb. 2002 , Vol 11 , Issue: 2 , pp. 113 - 122 ,ISSN: 1057-7149
- [FER08] Ferreira R., Ribeiro B., Silva C., Qingzhong Liu Sung A.H., "Building resilient classifiers for LSB matching steganography" ,Neural Networks, 2008. IJCNN 2008. (IEEE World Congress on Computational Intelligence). IEEE International Joint Conference on, Hong Kong, 1-8 June 2008, pp. 1562-1567, ISBN: 978-1-4244-1820-6
- [FRA04] Elke Franz, Antje Schneidewind, *Adaptive steganography based on dithering*, IMC Proceedings of the 2004 workshop on Multimedia and security, Magdeburg, Germany, pp.56-62, ISBN: 1-58113-854-7
- [FRI08] Fritsch L., "Low bitrate video coding using Karhunen- Loeve transform", Radioelektronika 2008 18th International Conference , 24-25 April 2008, pp.1 – 4,Prague, ISBN: 978-1-4244-2087-2
- [FRU05] Clemens Fruhwirth,"*New Methods in Hard Disk Encryption*", Institute for Computer Languages, Vienna University of Technology, Cap.3, Jul 18, 2005
- [FUR03] Furuta T., Noda H., Niimi M., Kawaguchi E., "Bit-plane decomposition steganography using wavelet compressed video", Information, Communications and Signal Processing, 2003 and the Fourth Pacific Rim Conference on Multimedia, Proceedings of the 2003 Joint Conference of the Fourth International Conference, 15-18 Dec. 2003, pp. 970 – 974, vol.2, ISBN: 0-7803-8185-8
- [GAS06] Michael Gastpar, Pier Luigi Dragotti, Martin Vetterli, "The Distributed Karthunen- Loeve Transform", IEEE Transactions on Information Theory, Vol.52, NO.12, December 2006, pag.512, ISBN: 0018-9448
- [GOM08] Gomez-Hernandez E., Feregrino-Uribe C., Cumplido R., "FPGA Hardware Architecture of the Steganographic ConText Technique", Electronics, Communications and Computers, CONIELECOMP 2008,

- 18th International Conference on, Puebla, 3-5 March 2008, pp. 123-128, ISBN: 978-0-7695-3120-5
- [GOR03] Vladimir Gorodetsky, Vladimir Samoilov, "*Simulation-Based Exploration of SVD-Based Technique for Hidden Communication by Image Steganography Channel*", Lecture Notes in Computer Science, Springer Berlin / Heidelberg , 2003, Vol 2776/2003, pp. 349-359, ISBN 978-3-540-40797-3
- [GUI99] Gui Vasile, Lacrama Dan, Pescaru Dan, "*Prelucrearea imaginilor*", Ed. Politehnica, 1999, Timisoara
- [GUL06] Gul G., Dirik A.E., Avcibas I., „*Steganalysis of Perturbed Quantization*”, Signal Processing and Communications Applications, 2006 IEEE 14th, Antalya, 17-19 April 2006, pp. 1-4, ISBN: 1-4244-0238-7.
- [GUL07a] Gökhan Gül, Ahmet Emir Dirik, and İsmail Avcıbas, Member, IEEE, "*Steganalytic Features for JPEG Compression-Based Perturbed Quantization*", IEEE SIGNAL PROCESSING LETTERS, MARCH 2007, VOL. 14, NO. 3, Digital Object Identifier 10.1109/LSP.2006.884010
- [GUL08a] Gul G., Kurugollu F., "*Detection of watermarking methods using Steganalysis*", Acoustics, Speech and Signal Processing, 2008. ICASSP 2008. IEEE International Conference on, Las Vegas, NV, March 31 2008-April 4 2008, pp. 1725-1728, ISBN: 978-1-4244-1483-3
- [GUL08b] Gul G., "*Spatial domain universal steganalysis based on singular value decomposition*", Signal Processing, Communication and Applications Conference, 2008. SIU 2008. IEEE 16<sup>th</sup>, Aydin, 20-22 April 2008, pp. 1-4, ISBN: 978-1-4244-1998-2.
- [HEI92] Heilmeier G.H., "*Global' begins at home*", HYPERLINK "<http://ieeexplore.ieee.org/xpl/RecentIssue.jsp?punumber=35>" Communications Magazine, IEEE, Vol.30, HYPERLINK "<http://ieeexplore.ieee.org/xpl/tocresult.jsp?isnumber=4218&isYear=1992>" Issue: 10, pp.50-56, 1992, ISSN: 0163-6804
- [HER 06] G. Gomez- Herrero, I. Jekova, V Krasteva, I Christov, A. Gotchev, K. Egiazarian, "*Relative Estimation of the Karhunen-Loeve Transform Basis Functions for Detection of Ventricular Ectopic Beats*", Computers in Cardiology, 2006, Vol 33, pp. 569-572, ISSN 0276-6547
- [HOG06] S.G.Hoggar, "*Mathematics of Digital Images*", Cambridge University Press, 2006, ISBN-13 9780521780292
- [HON04] Hong Heather Yu, Peng Yin, Xiaolong Yu, "*Joint content*



- authentication and error control for wireless multimedia communications*", Consumer Communications and Networking Conference, CCNC 2004, First IEEE, 5-8 Jan. 2004, pp. 412- 417, ISBN: 0-7803-8145-9
- [HUL08] Lingna Hu ,Lingge Jiang ,Chen He, "A novel steganalysis of LSB matching based on kernel FDA in grayscale images", Neural Networks and Signal Processing, 2008 International Conference on, Nanjing, 7-11 June 2008, pp. 556-559, ISBN: 978-1-4244-2310-1
- [HYU06] Hyun Woo Cho, Ahn Woo Lee, Hua Jun Chi, Seung Won Song, Gyeong Su Gwon, Ju Sung Park, "An ARM7 processor with the Modified Multiplier and The Flip-Flop Based Pipelines", The 1st International Forum on Strategic Technology, pp.68-71, oct.2006, Ulsan
- [JAE08] Jae-Gil Yu, Eun-Joon Yoon, Sang-Ho Shin, Kee-Young Yoo, "A New Image Steganography Based on 2k Correction and Edge-Detection", Information Technology: New Generations, 2008. ITNG 2008. Fifth International Conference on, Las Vegas, NV, 7-9 April 2008, pp .563-568, ISBN: 0-7695-3099-0
- [JAI89] Anil K. JAIN, "Fundamentals of Digital Image Processing", Prentice Hall, Englewood Cliffs, California, NJo7632, 1989
- [JOH01] Johnson N.F., Duric Z., Jajodia S., "Information Hiding: Steganography and Watermarking – Attacks and Countermeasures", Kluwer Academic Publishers, 2001, ISBN 0-7923-7204-2
- [JUN02] Wu Zhi-Jun, Niu Xin-Xin, Yang Yi-Xian, "Design of speech information hiding telephone", TENCON '02. Proceedings. 2002 IEEE Region 10 Conference on Computers, Communications, Control and Power Engineering, 28-31 Oct. 2002, Volume: 1, pp. 113- 116 vol.1, ISBN: 0-7803-7490-8
- [JUN03] Wu Zhi-Jun, Niu Xin-Xin, Yang Yi-Xian, "Design of speech information hiding telephone", TENCON '02, Proceedings 2002 IEEE Region 10 Conference on Computers, Communications, Control and Power Engineering, 28-31 Oct. 2002, Vol. 1, pp. 113- 116, ISBN: 0-7803-7490-8
- [JUN08] Ki-Hyun Jung, Kyeong-Ju Ha, Kee-Young Yoo, " Image Data Hiding Method Based on Multi-Pixel Differencing and LSB Substitution Methods" , Convergence and Hybrid Information Technology, 2008. ICHIT '08. International Conference on , Daejeon, 28-30 Aug. 2008, pp. 355-358, ISBN: 978-0-7695-3328-5
- [KAM95] Kamata S, Eason R.O., Kawaguchi E., "Depth-First Coding for multi-valued pictures using bit-plane decomposition", IEEE Trans. on Comm., vol. 43, no. 5, pp. 1961-1969, 1995

- [KAT00] Stefan Katzenbeisser, Fabien A. P. Petitcolas, "*Information hiding techniques for steganography and digital watermarking*", 2000, ISBN 1-58053-035-4
- [KAW02] Kawaguchi E., Eason R., "*Large Capacity Steganography*," U.S. Patent no. 6,473,516, Oct. 29, 2002
- [KAW86] Kawaguchi E., Taniguchi R., "*Complexity of binary pictures and image thresholding – An Application of DF-Expression to the thresholding problem*", Proceedings of 8<sup>th</sup> ICPR, vol.2, pp. 1221-1225, 1986
- [KAW89] Kawaguchi E., Taniguchi, R., "*The DF-Expression as an image thresholding strategy*", IEEE Trans. on SMC, vol. 19, no. 5, pp. 1321-1328, 1989
- [KAW98] Kawaguchi E., Eason R. "*The Principle and Applications of BPCS-Steganography*", SPIE International Symposium on Voice, Video and Data Communications: Multimedia Systems and Applications, pp. 464-473, Boston, MA, Noiembrie 2-4, 1998
- [KEJ04] Arun Kejariwal, Sumit Gupta, Alexandru Nicolau, Nikil Dutt, Rajesh Gupta, "*Proxy-based task partitioning of watermarking algorithms for reducing energy consumption in mobile devices*", Annual ACM IEEE Design Automation Conference Proceedings of the 41st annual conference on Design automation, San Diego, CA, USA, 2004, pp. 556 - 561, ISBN:1-58113-828-8
- [KEJ05] Kejariwal A., Gupta S., Nicolaut A., Dutt N., Gupta R., "*Energy analysis of multimedia watermarking on mobile handheld devices*", Embedded Systems for Real-Time Multimedia, 2005 3rd Workshop on, 22-23 Sept. 2005, pp. 33- 38, ISBN: 0-7803-9347-3
- [KER05] Kermani Z.Z., Jamzad M., "*A robust steganography algorithm based on texture similarity using Gabor filter*" , Signal Processing and Information Technology, 2005. Proceedings of the Fifth IEEE International Symposium on, Athens, 21-21 Dec. 2005, pp. 578-582, ISBN: 0-7803-9313-9
- [KER08] Andrew D. Ker, "*Locating steganographic payload via ws residuals*" , International Multimedia Conference Proceedings of the 10th ACM workshop on Multimedia and security ,Oxford, United Kingdom, 2008,Pp 27-32 , ISBN:978-1-60558-058-6
- [KES04] HYPERLINK "mailto:gary.kessler@champlain.edu"Gary C. Kessler, "*An Overview of Steganography for the Computer Forensics Examiner*", HYPERLINK "http://www.fbi.gov/hq/lab/fsc/backissu/july2004/research/2004\_03\_research01.htm"Forensic Science Communications, July 2004, Computer & Digital Forensics Program, Champlain College, Burlington, Vermont, USA, 2004.

- [KHA06] Mehdi Kharrazi, Husrev T Sencar, Nasir Memon, "Cover Selection for Steganographic Embedding", ICIP 2006, IEEE International Conference on 8-11 Oct, 2006, pp. 117-120, ISBN: 1-4244-0481
- [KHO09] Khosvirad S.R., Eghlidos T., Ghaemmaghmi S., "Higher-order statistical steganalysis of random LSB steganography", HYPERLINK "/xpl/RecentCon.jsp?punumber=5010318"Computer Systems and Applications, 2009. AICCSA 2009 IEEE/ACS International Conference on 10-13 May 2009 , pp. 629 – 632, ISBN: 978-1-4244-3807-5
- [KIM07] Younhee Kim, Zoran Duric, Dana Richards, „Modified Matrix Encoding Technique for Minimal Distortion Steganography”, Lecture Notes in Computer Science, Berlin/Heidelberg, 2007, Vol 4437/2007, pp.314-327, ISBN 978-3-540-74123-7
- [KRA07] Philipp K. Krause, "Texture Compression", pdf, 2007
- [KOC95] Koch E, J. Zhao, "Embedding Robust Labels into Images for Copyright Protection", in Proceedings of the International Conference on Intellectual Property Rights for information, Knowledge and New Techniques, Munchen, Wien, 1995, pp. 242-251
- [KOK07] Koksheik Wong, Xiaojun Qi, Kiyoshi Tanaka, "A DCT-based Mod4 steganographic method", Signal Processing, pp.1251-1263, 2007, ISSN:0165-1684
- [KUR92] C. Kurak , J. McHugh, A Cautious Note on Image Downgrading In Computer Security Applications Conference, San Antonio, TX, USA, pp.153-159, Dec.1992
- [LAC99] John Lach, William H. Mangione-Smith, Miodrag Potkonjak, "Robust FPGA Intellectual Property Protection through multiple small watermarks", DAC 99: Proceedings of the 36 th ACM/ IEEE Conference on Design Automation, New Orleans, LA, , June 1999, USA, pp. 831-836 ISBN: 1-58113-092-9
- [LIU08] Chengjun Liu, "Learning the Uncorrelated, Independent, and Discriminating Color Spaces for Face Recognition" , Information Forensics and Security, IEEE Transactions on, June 2008, Vol 3, Issue: 2, pp. 213-222, ISSN: 1556-6013.
- [LIX08] Xiaolong Li, Tiejong Zeng ,Bin Yang , "Improvement of the embedding efficiency of LSB matching by sum and difference covering set" , Multimedia and Expo, 2008 IEEE International Conference on, Hannover, June 23 2008-April 26 2008, pp 209-212,

ISBN: 978-1-4244-2570-9

- [LON05] Ernesto Gomez Londono, Luis Castillo Lopez, Thais de Souza Kazmierczak, "Using the Karhunen-Loeve Transform to Suppress Ground Roll in Seismic Data", Earth sciences research journal, Dec 2005, vol9, p 139-147
- [MAK98] Makoto Matsumo, Takuji Nishimura, „ *Mersenne twister: a 623-dimensionally equidistributed uniform pseudo-random number generator*“, ACM Transactions on Modeling and Computer Simulation TOMACS ,1998, Vol 8, pp. 3-30, ISSN:1049-3301
- [MAT94] Matsui K, Tanaka K, "Video-Steganography: How Secretly Embed a Signature in a Picture", IMA Intellectual Property Project Proceedings, vol1, no1, 1994, pp.187-205
- [MAT06] Matsuoka H., NTT DoCoMo, "Spread Spectrum Audio Steganography Using Sub-band Phase Shifting", Intelligent Information Hiding and Multimedia Signal Processing, 2006. IIH MSP '06. International Conference on , USA, pp. 3 - 6, ISBN: 0-7695-2745-0
- [MAZ06] W. Mazurczyk, Z. Kotulski, "New security and control protocol for VoIP based on steganography and digital watermarking", Annales UMCS, Informatica, AI 4 (2006), ISNN 1732-1360
- [MAZ08] Wojciech Mazurczyk, Krzysztof Szczypiorski, "Steganography of VoIO Streams", Lecture Notes In Computer Science, Vol.5332 Proceedings of the OTM 2008 Confederated International Conferences, 2008, Monterrey, Mexico, pp. 1001-1018, ISBN:978-3-540-88872-7
- [MIE06] Mielikainen J., „*LSB matching revisited*“, Signal Processing Letters, May 2006, Vol13, Issue: 5, pp 285- 287, ISSN: 1070-9908
- [MEH08] Mehrabi M.A., Aghaeinia H., Abolghasemi M., "Steganalysis of LSB-Matching steganography by removing most significant bit planes", Telecommunications, 2008. IST 2008. International Symposium on, Tehran, 27-28 Aug. 2008, pp 731-734, ISBN: 978-1-4244-2750-5
- [MOH05] Saraju P. Mohanty, Nagarajan Ranganathan, Ravi K. Namballa, "VLSI Architecture for watermarking in a secure still digital camera (QUOTE  $S^2 S^2$  DC) design ", IEEE Transactions on very large scale integration (VLSI) systems, Vol 13, Issue 7, July 2005, ISSN: 1063-8210
- [MOH07] Mohanty S.P., Kougianos E., Ranganathan N. , "VLSI architecture and chip for combined invisible robust and fragile watermarking", Computers & Digital Techniques, IET, Sept. 2007, Vol 1, Issue: 5, pp. 600-611, ISSN: 1751-8601
- [MOH08] B. Chandra Mohan, S. Ssrinivaskumar, B.N. Chatterji, "A robust Digital Image Eatermarking Scheme using Singular Value

- Decomposition (SVD), Dither Quantization and Edge Detection*", ICGST\_GVIP Journal, Issue 1, June 2008, pp.17-23 ISSN: 1687-398X
- [MOS01] Ira S. Moskowitz, Garth E Longdon, LiWu Chang, " *A new paradigm hidden in steganography*", New Security Paradigms Workshop, Proceedings of the 2000 workshop on New security paradigms, Ballycotton, Ireland, pp. 41-50, 2001, ISBN: 1-58113-260-3
- [MOU03] HYPERLINK  
["http://ieeexplore.ieee.org/search/searchresult.jsp?disp=cit&queryText=\(moulin%20%20p.%3cIN%3eau\)&valnm=Moulin%2C+P.&reqloc%20=others&history=yes"](http://ieeexplore.ieee.org/search/searchresult.jsp?disp=cit&queryText=(moulin%20%20p.%3cIN%3eau)&valnm=Moulin%2C+P.&reqloc%20=others&history=yes)Moulin P. HYPERLINK  
["http://ieeexplore.ieee.org/search/searchresult.jsp?disp=cit&queryText=\(%20ivanovic%20%20a.%3cIN%3eau\)&valnm=+Ivanovic%2C+A.&reqloc%20=others&history=yes"](http://ieeexplore.ieee.org/search/searchresult.jsp?disp=cit&queryText=(%20ivanovic%20%20a.%3cIN%3eau)&valnm=+Ivanovic%2C+A.&reqloc%20=others&history=yes)Ivanovic A. , "The zero-rate spread-spectrum watermarking game", HYPERLINK  
["http://ieeexplore.ieee.org/xpl/RecentIssue.jsp?punumber=78"](http://ieeexplore.ieee.org/xpl/RecentIssue.jsp?punumber=78)Signal Processing IEEE Transactions on, Apr 2003, Vol. 51, HYPERLINK  
["http://ieeexplore.ieee.org/xpl/tocresult.jsp?isnumber=26657&isYear=2003"](http://ieeexplore.ieee.org/xpl/tocresult.jsp?isnumber=26657&isYear=2003)Issue: 4, pp. 1098- 1117, ISSN: 1053-587X
- [NAV08] Navas K.A., Ajay M.C., Lekshmi M. Archana, T.S. Sasikumar, "DWT-DCT-SVD based watermarking", Communication Systems Software and Middleware and Workshops, 2008. COMSWARE 2008. 3rd International Conference on, Bangalore, 6-10 Jan. 2008, pp. 271-274, ISBN: 978-1-4244-1796-4
- [NED04] Nedeljko Cvejic, Tapio Seppanen, "Increasing robustness of LSB audio steganography using a novel embedding method", Information Technology: Coding and Computing, 2004. Proceedings. ITCC 2004. International Conference on, 2004, Vol. 2, pp. 533 – 537, ISBN: 0-7695-2108-8
- [NOD02a] HYPERLINK  
["http://ieeexplore.ieee.org/search/searchresult.jsp?disp=cit&queryText=%28noda%20%20h.%3cIN%3eau%29&valnm=Noda%2C+H.&history=yes"](http://ieeexplore.ieee.org/search/searchresult.jsp?disp=cit&queryText=%28noda%20%20h.%3cIN%3eau%29&valnm=Noda%2C+H.&history=yes)Noda H., HYPERLINK  
["http://ieeexplore.ieee.org/search/searchresult.jsp?disp=cit&queryText=%28%20spaulding%20%20j.%3cIN%3eau%29&valnm=Spaulding%2C+J.&history=yes"](http://ieeexplore.ieee.org/search/searchresult.jsp?disp=cit&queryText=%28%20spaulding%20%20j.%3cIN%3eau%29&valnm=Spaulding%2C+J.&history=yes)Spaulding J., HYPERLINK  
["http://ieeexplore.ieee.org/search/searchresult.jsp?disp=cit&queryText=%28%20shirazi%20%20m.n.%3cIN%3eau%29&valnm=Shirazi%2C+M.N.&history=yes"](http://ieeexplore.ieee.org/search/searchresult.jsp?disp=cit&queryText=%28%20shirazi%20%20m.n.%3cIN%3eau%29&valnm=Shirazi%2C+M.N.&history=yes)Shirazi M.N., HYPERLINK

- "<http://ieeexplore.ieee.org/search/searchresult.jsp?disp=cit&queryText=%28%20kawaguchi%20%20e.%3Cin%3Eau%29&valnm=Kawaguchi%2C+E.&history=yes>"Kawaguchi E., "Application of bit-plane decomposition steganography to JPEG2000 encoded images",  
HYPERLINK  
"http://ieeexplore.ieee.org/xpl/RecentIssue.jsp?punumber=97" Signal Processing Letters, IEEE, Dec. 2002, pp. 410 – 413, ISSN: 1070-9908
- [NOD02b] Noda H., Spaulding J., Shirazi M.N., Niimi M., Kawaguchi E., "Application of bit-plane decomposition steganography to wavelet encoded images", Image Processing 2002, Proceedings 2002 International Conference, 22-25 Sept. 2002 , pp. II-909 - II-912 vol.2, ISBN: 0-7803-7622-6
- [NOD04] Noda H., Furuta T., Niimi M., Kawaguchi E., "Application of BPCS steganography to wavelet compressed video", Image Processing, 2004, ICIP '04. 2004 International Conference, 24-27 Oct. 2004, pp. 2147 – 2150, Vol. 4, ISBN: 0-7803-8554-3
- [NII02a] Niimi M., Noda H., Kawaguchi E., Eason R.O., " Luminance quasi-preserving color quantization for digital steganography to palette-based images", Pattern Recognition, 2002, Proceedings 16th International Conference, 11-15 Aug. 2002, pp. 251 – 254, vol.1, ISBN: 0-7695-1695-X
- [NII02b] Niimi M, Noda H., Kawaguchi E, Eason R.O., "High capacity and secure digital steganography to palette-based images ", Image Processing 2002, Proceedings 2002 International Conference, 22-25 Sept 2002, pp. 917-920, vol 2, ISBN: 0-7803-7622-6
- [NII04] Niimi M., Ei T., Noda H., Kawaguchi E., Segee, B, "An attack to BPCS-steganography using complexity histogram and countermeasure", Image Processing, 2004. ICIP '04. 2004 International Conference on, 24-27 Oct. 2004, Vol2, pp. 733- 736 Vol.2, ISBN: 0-7803-8554-3
- [OGI96] Ogihara T., Nakamura D.,Yokoya N., "Data embedding into pictorial images", Pattern Recognition, 1996., Proceedings of the 13th International Conference on, 25-29Aug1996, Vol.2, pp. 675-679, Austria, ISBN: 0-8186-7282-X
- [OWE02] Mark Owens, "Discussion of Covert Channels and Steganography", Information Security, SANS Institute, 2002
- [PET05] Mihai Petrescu, Mihai Mitrea, Françoise Prêteux, "Spread spectrum watermarking for low rate video", Proceedings of the 9th WSEAS International Conference on Communications, Athens, Greece,

- Article No. 66, 2005, ISBN:960-8457-29-7
- [PET07] Emilia Petrișor, " *Probabilități și statistică. Aplicații în economie și inginerie*", Editura "Politehnica" Timișoara, 2007, ISBN 947-625-210-8
- [PIV00] Piva A., Bartolini F., Boccardi L., Cappellini V., De Rosa A., Barni M., " *Watermarking through color image bands decorrelation*", **HYPERLINK**  
"http://ieeexplore.ieee.org/xpl/RecentCon.jsp?punumber=6974"  
Multimedia and Expo, 2000, ICME 2000, IEEE International Conference on, 30 July-2 Aug. 2000, pp. 1283 - 1286 vol.3, New York, ISBN: 0-7803-6536-4
- [PIY04] Piyu Tsai, Yu-Chen Hu, and Chin-Chen Chang, " *A color image watermarking scheme based on color quantization*," Signal Processing, vol. 84, pp. 95-106, 2004, ISSN:0165-1684
- [POO07] Pooyan, Mohammad Delforouzi, Ahmad, " *LSB-based "Audio Steganography Method Based on Lifting Wavelet Transform"*, Signal Processing and Information Technology, 2007 IEEE International Symposium on, Egypt , pp. 600 – 603, ISBN: 978-1-4244-1835-0
- [POR08] L. Y. Por ,W. K. Lai ,Z. Alireza, B. Delina, " *StegCure: an amalgamation of different steganographic methods in GIF image*" , Recent Advances In Computer Engineering Proceedings of the 12th WSEAS international conference on Computers , Heraklion, Greece, 2008, pp. 420-425, ISBN ~ ISSN:1790-5109 , 978-960-6766-85-5
- [PRA72] William K. Pratt, " *Generalized Wiener Filtering Computation Techniques*", IEEE Transactions on Computers, July 1972, Vol C-21, No. 7
- [RAF07] Rafael C Gonzales, Richard Eugene Woods, " *Digital Image Processing*", 2007, Publicată de Prentice Hall, 2007, ISBN 013168728X, 9780131687288
- [RAJ05] Raja K.B., Chowdary C.R., Venugopal K.R., Patnaik, " *A Secure Image Steganography using LSB, DCT and Compression Techniques on Raw Images* ", Intelligent Sensing and Information Processing, 2005. ICISIP 2005. Third International Conference on, 14-17 Dec. 2005, pp. 170- 176, ISBN: 0-7803-9588-3
- [RON06] Rongrong Ji, Hongxun Yao, Shaohui Liu, Liang Wang, " *Genetic Algorithm Based Optimal Block Mapping Method for LSB Substitution*" , iih-msp, International Conference on Intelligent Information Hiding and Multimedia Signal Processing (IIH-MSP'06), 2006, pp.215-218
- [RUF04] Rufeng Chu, Xinqanq Xiaohui Ba, " *A DCT-based image*

- steganographic method resisting statistical attacks*", [HYPERLINK "/xpl/RecentCon.jsp?punumber=9248"](#)Acoustics, Speech and Signal Processing, 2004. Proceedings (ICASSP '04) IEEE International Conference on, 17-21 May 2004, pp. V - 953-6 vol.5, ISBN: 0-7803-8484-9
- [SAL08] Saleh R.H.I., "*Efficient Mid-band Exchange Coefficient Watermarking System*", Information and Communication Technologies: From Theory to Applications, 2008. ICTTA 2008. 3rd International Conference on, Damascus, 7-11 April 2008, pp. 1-5, ISBN: 978-1-4244-1751-3
- [SAJ08] Hedieh Sajedi Jamzad, "*Cover Selection Steganography Method Based on Similarity of Image Blocks*", Computer and Information Technology Workshops, 2008. CIT Workshops 2008. IEEE 8th International Conference on, Sydney, QLD, 8-11 July 2008, pp 379-384, ISBN: 978-0-7695-3242-4
- [SAR07] Sarkar A., Manjunath B.S., "*Estimating Steganographic Capacity for Odd-Even Based Embedding and its Use in Individual Compensation*", Image Processing, 2007. ICIP 2007. IEEE International Conference on, San Antonio, TX, Sept. 16 2007-Oct. 19 2007, Vol1, pp. I - 409-I - 412, ISBN: 978-1-4244-1437-6
- [SCH01] Gerhard Schmid, Final REPORT on the existence of a global system for interception of private and commercial communications (ECHELON interception system), (2001/2098) (INI), EUROPEAN PARLIAMENT 1999-2004, A5-0264/2001, PAR1, 11 July 2001, RR/445698EN.doc
- [SHA01] Linda G. Shapiro, George C. Stockman „*Computer Vision*” ed Prentice Hall, 2001, pp.35-40, 254-277. ISBN:0-13-030796-3
- [SHA05] Mohammad Shirali Shahreza, "*An improved method for steganography on mobile phone*", Proceedings of the 9th WSEAS International Conference on Systems table of contents, Athens, Greece, 2005, Article No. 28 , ISBN:960-8457-29-7.
- [SHA06a] Shahreza S., "*Stealth steganography in SMS*", Wireless and Optical Communications Networks, 2006 IFIP International Conference on, 2006, ISBN: 1-4244-0340-5
- [SHA06b] Mohammad Shirali-Shahreza, "*Steganography in wireless application protocol*", International Association Of Science And Technology For Development Proceedings of the 24th IASTED international conference on Internet and multimedia systems and applications, Innsbruck, Austria, 2006, pp: 91 - 95 , ISBN:0-88986-564-7
- [SHA06c] Shirali-Shahreza M., "*Java Applets Copy Protection by Steganography*", Intelligent Information Hiding and Multimedia



- Signal Processing, 2006. IIMSP'06, International Conference on, 2006, pp. 388-391, Pasadena, CA, USA, ISBN: 0-7695-2745-0
- [SHI06d] Shirali-Shahreza M., "A new method for Real Time Steganography", Signal Processing, 2006 8th International Conference on, 2006, Volume: 4, Beijing, ISBN: 0-7803-9737
- [SHA07a] Shirali-Shahreza, S. Manzuri-Shalmani, M.T., "Adaptive Wavelet Domain Audio Steganography with High Capacity and Low Error Rate", Information and Emerging Technologies, 2007. ICIET 2007. International Conference on, Karachi, 6-7 July 2007, pp.1-5, ISBN: 978-1-4244-1247-1
- [SHA07b] Shirali-Shahreza, M., Shirali-Shahreza, M.H, "Text Steganography in SMS", Convergence Information Technology, 2007. International Conference on, 21-23 Nov. 2007, ISBN: 0-7695-3038-9
- [SHA08a] Shirali-Shahreza M., "A simple method for detecting the possible changes of hidden information of watermarked image in an MMS message", Biometrics and Security Technologies, ISBAST 2008, International Symposium on, Islamabad, 23-24 April 2008, pp. 1-4, ISBN: 978-1-4244-2427-6
- [SHA08b] M. Hassan Shirali-Shahreza, Mohammad Shirali-Shahreza, "Steganography in SMS by Sudoku puzzle", AICCSA, Proceedings of the 2008 IEEE/ACS International Conference on Computer Systems and Applications, pp.844-847, 2008, ISBN:978-1-4244-1967-8
- [SHI93] Lan Leu-Shing, Reed Irving S., "Fast approximate Karhunen-Loeve Transform with applications to digital image coding", Visual Communications and Image Processing '93, Proc. SPIE , 1993, Vol 2094, pp 444-455
- [SIM84] Gustavus J. Simmons, „The prisoners' problem and the subliminal channel", Advances in Cryptology: Proceedings of Crypto 83 (David Chaum, ed.), Plenum Press, 1984, pp. 51-67
- [SLO04] Andrew N. Sloss, Dominic Symes, Chris Wright John Rayfield, "ARM system developer's guide", Elsevier, 2004
- [SRI04] Srinivasan Y., Nutter B., Mitra S., Phillips B., Ferris, D, "Secure transmission of medical records using high capacity steganography", Computer-Based Medical Systems, 2004. CBMS 2004. Proceedings. 17th IEEE Symposium on, 24-25 June 2004, pp. 122- 127, ISBN: 0-7695-2104-5.
- [STA99] D. Stanomir, L. Tincu, "Acustică aplicată", Vol.1, "Structuri și sisteme mecano-acustice", Casa de Editură Tincu și Stanomir, București, 1999
- [STA07a] Stanescu D., Stratulat M., Ciubotaru B., Chiciudean D, Cioarga R.,

- Borca D, "*Digital Watermarking using Karhunen-Loeve transform*", 4th International Symposium on Applied Computational Intelligence and Informatics, 2007. SACI '07, 18 Mai 2007, pp. 187-190, Timisoara, Romania, ISBN:1-4244-1234X
- [STA07b] Stanescu D., Stratulat M., Ciubotaru B., Chiciudean D., Cioarga, R., Micea, M., "*Embedding Data in Video Stream using Steganography*", 4th International Symposium on Applied Computational Intelligence and Informatics, 2007. SACI '07. 18 Mai 2007, pp. 241-244, Timisoara, Romania, ISBN: 1-4244-1234-X
- [STA07c] Stanescu D., Stratulat M., Groza V., Ghergulescu I., Borca D., "*Steganography in YUV color space*", Robotic and Sensors Environments, 2007. ROSE 2007. International Workshop on, 12-13 Oct. 2007, pp. 131-137 Ottawa, Canada, ISBN: 978-1-4244-1527-6
- [STA08a] Stanescu D, Groza V, Stratulat M., Borca D., Ghergulescu I., "*Robust Watermarking with High Bit Rate*", Third International Conference on Internet and Web Applications and Services, 2008, ICIW2008, 8-13 iune 2008, Athena, Greece, pp. 257-260, 2008, ISBN: 978-0-7695-3163-2
- [STA08b] Stanescu D., Borca D., Groza V., Stratulat M., "*A Hybrid Watermarking Technique Using Singular Value Decomposition*"[HYPERLINK "http://ieeexplore.ieee.org/xpl/RecentCon.jsp?punumber=4662485"](http://ieeexplore.ieee.org/xpl/RecentCon.jsp?punumber=4662485), 2008. HAVE 2008. IEEE International Workshop on Haptic Audio visual Environments and their applications, 18-19 Oct. 2008, Ottawa, pp.166-170, ISBN:978-1-4244-2668-3
- [STA09] D. Stănescu, V Stângaciu, I. Gergulescu, M. Stratulat, "*Steganography on embedded devices*", SACI, 2009 "Politehnica" University of Timișoara, România, pp.313-317, ISBN: 978-1-4244-4478-6
- [STR03] G. Strang, "*Introduction to Linear Algebra*", Wellesley-Cambridge Press, 2003, (biblioteca UPT).
- [SUK06] Suk-Ling Li, Kai-Chi Leung, L.M. Cheng, Chi-Kwong Chan, "*Data Hiding in Images by Adaptive LSB Substitution Based on the Pixel-Value Differencing*" , First International Conference on Innovative Computing, Information and Control , icic, 2006, Vol. 3, pp.58-61
- [SUN07] Hung-Min Sun, King-Hang Wang, Chih-Cheng Liang, Yih-Sien Kao, "*A LSB substitution compatible steganography*" ,TENCON 2007 - 2007 IEEE Region 10 Conference, Taipei, Oct. 30 2007-Nov. 2 2007, pp.1-3, ISBN: 978-1-4244-1272-3
- [SUZ08] Genta Suzuki, Nobuyasu Yamaguchi, Shigeyoshi Nakamura, Hiroataka Chiba, "*Mobile interaction using steganographic image on mobile*

- display*", Mobile HCI September 2008, Amsterdam the Netherlands, pp. 505-510, ISBN 978-1-59593-952-4/08/09
- [TAC04] Tachibana T., Fujiyoshi M., Kiya H., "An image-quality guaranteed watermarking scheme with spreading spectrum of watermark", Communications and Information Technology, 2004. ISCIT 2004. IEEE International Symposium on, 26-29 Oct. 2004, Volume: 1, pp. 330- 334 vol.1, ISBN:0-7803-8593-4
- [TAN08] He Junhui Tang, Shaohua Wu Tingting, "On the Security of Steganographic Techniques", Image and Signal Processing, 2008. CISP '08. Congress on, Sanya, China, 27-30 May 2008, Vol 5, pp: 716-719, ISBN: 978-0-7695-3119-9
- [TOR06] Torres-Maya S., Nakano-Miyatake M., Perez-Meana H, "An Image Steganography Systems Based on BPCS and IWT", Electronics, Communications and Computers, 2006, CONIELECOMP 2006. 16th International Conference ,27-01 Feb. 2006, pp: 51 – 51,ISBN: 0-7695-2505-9
- [TRE05] Trevor Martin., *The Insider's Guide To The Philips ARM7-Based Microcontrollers, An Engineer's Introduction to the LPC2100 Series*, 2005, Hitex Ltd, ISBN:0-95499881
- [UNS 84] Michael Unser, "On the Approximation of the Discrete Karhunen-Loeve Transform for Stationary Processes", Signal Processing Laboratory, Swiss Federal Institute of Technology, 16 Ch. De Bellerive, Switzerland, Elsevier Science Publishers, 19 July 1984, Vol 7, pp 231-249, ISSN 0165-1684
- [WAR97] Waldemar P., Ramstad T.A., "Hybrid KLT-SVD image compression", **HYPERLINK**  
["http://ieeexplore.ieee.org/xpl/RecentCon.jsp?punumber=4635"](http://ieeexplore.ieee.org/xpl/RecentCon.jsp?punumber=4635) Acoustics, Speech and Signal Processing, ICASSP-97, 1997 IEEE International Conference, 21-24 April 1997, pp. 2713 – 2716, vol.4, 04/21/1997 - 04/24/1997, Munich, ISBN: 0-8186-7919-0
- [WAT08] Paul Watters , Frances Martin,H. Steffen Stripf , "Visual detection of LSB-encoded natural image steganography" ,ACM Transactions on Applied Perception (TAP), 2008 ,Vol 5 , Issue 1, Article No. 5, ISSN:1544-3558
- [WUZ96] Zi-Long Wu , "Reversible Data Hiding Based on KLT Feature Points", Thesis Search, 1996
- [XIA08c] Xiaoyi Yu, Babaguchi, N., " Breaking the YASS algorithm via pixel and DCT coefficients analysis", Pattern Recognition, 2008. ICPR 2008. 19th International Conference on, Tampa, FL, 8-11 Dec. 2008, pp 1-4,ISBN: 978-1-4244-2174-9

- [XIA08a] Xiaoyi Yu Babaguchi, N. ,*"Run length based steganalysis for LSB matching steganography"* [HYPERLINK](#) ["/xpl/RecentCon.jsp?punumber=4599583"](#)Multimedia and Expo, 2008 IEEE International Conference, June 23 2008-April 26 2008 ,pp. 353 - 356, Hannover, ISBN: 978-1-4244-2570-9
- [XIA08b] Xiaolong Li Tieyong Zeng Bin Yang ,*" Improvement of the embedding efficiency of LSB matching by sum and difference covering set"*, [HYPERLINK](#) ["/xpl/RecentCon.jsp?punumber=4599583"](#)Multimedia and Expo, 2008 IEEE International Conference on, June 23 2008-April 26 2008 , pp. 209 - 212 , Hannover ISBN: 978-1-4244-2570-9
- [XUB07] Xu Bo; Wang Jia-zhen; Peng De-yun, *"Practical Protocol Steganography: Hiding Data in IP Header"*, Modelling & Simulation, 2007, AMS apos; 07. First Asia International Conference on, 27-30 March 2007, pp. 584 – 588, D.O.O.1109/AMS.2007.80
- [YAH08] Ching-Yu Yang , Wu-Chih Hu ,Jen-Yuan Lai, *"DCT-Based Watermarking By Quotient-Embedding Algorithm"*, Innovative Computing Information and Control, 2008. ICICIC '08. 3rd International Conference on, Dalian, Liaoning, 18-20 June 2008,pp 20-20, ISBN: 978-0-7695-3161-8
- [YAN01] Dai Yang, Hongmei Ai, Chris Kyriakakis, C.C. Jay Kuo, *"Adaptive Karhunen-Loeve Transform for Enhanced Multichannel Audio Coding "*, Integrated Media Systems Center, 2001.
- [YAN08] Cheng-Hsing Yang ,Chi-Yao Weng ,Shiuh-Jeng Wang ,Hung-Min Sun, *"Adaptive Data Hiding in Edge Areas of Images With Spatial LSB Domain Systems"* , Information Forensics and Security, IEEE Transactions on, Sept. 2008, Vol 3, Issue: 3, pp 488-497,ISSN: 1556-6013
- [YAV07] Erkan Yavuz , Ziya Telatar ,*"Improved SVD-DWT based digital image watermarking against watermark ambiguity"*, Symposium on Applied Computing Proceedings of the 2007 ACM symposium on Applied computing Seoul, Korea , Multimedia and visualization track table of contents, 2007, pp. 1051 – 1055, ISBN:1-59593-480-4.
- [YUA07] Yuan-Hui Yu, Chin-Chen Chang, Iuon-Chang Lin, *"A new steganographic method for color and grayscale image hiding"*, Elsevier Science Inc. New York, NY, USA, Vol. 107, pp. 183-194, 2007, ISSN:1077-3142
- [YUC06] Yu-Chen Hu, *"Multiple Images Embedding Scheme Based on Moment Preserving Block Truncation Coding"* ,Fundamenta Informaticae, IOS Press, 2006, Vol 73, Number 3/2006,Pp 373-387, ISSN 0169-2968

- [YUC08] Yu-Cheng Fan, "Testing Based Watermarking Techniques for intellectual-Property Identification in SOC design", Instrumentation and Measurement, IEEE Transactions on, March 2008, Vol.57, pp. 467-479, Germany, ISSN: 0018-9456
- [YUN99] Yun Q. Shi, Huifang Sun, "Image and video compression for multimedia engineering", 1999, ISBN: 0-8493-3491-8
- [YUX08] Xiaoyi Yu , Babaguchi, N. , "Run length based steganalysis for LSB matching steganography", Multimedia and Expo, 2008 IEEE International Conference on, Hannover, June 23 2008-April 26 2008, pp 353-356, ISBN: 978-1-4244-2570-9
- [ZHA07a] Hong-Juan Zhang , Hong-Jun Tang, "A Novel Image Steganography Algorithm Against Statistical Analysis" , Machine Learning and Cybernetics, 2007 International Conference on, Hong Kong, 19-22 Aug. 2007, Vol 7, pp 3884-3888, ISBN: 978-1-4244-0973-0
- [ZHA07b] Weiming Zhang ,Xinpeng Zhang ,Shuozhong Wang, " A Double Layered "Plus-Minus One" Data Embedding Scheme" ,Signal Processing Letters, IEEE, Nov. 2007, Vol14, Issue: 11, pp 848-851, ISSN: 1070-9908
- [ZHA06] Zhang H., Zang X., Liu J., "A Secure BPCS Steganography against Statistical Analysis", Signal Processing, 2006 8th International Conference on, Beijing, 16-20 2006, Vol 2, ISBN: 0-7803-9736-3
- [ZOL98] J. Zöllner, H. Federrath, H. Klimant, A. Pfitzmann, R. Piotraschke, A. Westfeld, G. Wicke, G. Wolf, "Modeling the Security of Steganographic Systems", 2nd Workshop on Information Hiding: April 1998, Portland, LNCS 1525, Springer-Verlag, pp. 345-355, ISSN: 1556-6013
- [ZOU08] El Zouka H.A., "FPGA Based Implementation of Robust Watermarking System", Information Technology: New Generations, 2008. ITNG 2008. Fifth International Conference on, Las Vegas, NV, 7-9 April 2008, pp. 1274-1278, ISBN: 0-7695-3099-0
- [QUI00] Philip Quick, David Capson, "Analysis of Determining Camera Position Via Karhunen-Loeve Transform", Proceedings of the 4th IEEE Southwest Symposium on Image Analysis and Interpretation, pp.88, 2000, ISBN:0-7695-0595-3.
- [1] HYPERLINK ["http://www.itu.int/ITU-D/ict/statistics/ict/graphs/mobile.jpg"](http://www.itu.int/ITU-D/ict/statistics/ict/graphs/mobile.jpg)<http://www.itu.int/ITU-D/ict/statistics/ict/graphs/mobile.jpg>
- [2] **HYPERLINKError! Hyperlink reference not valid.**

- [3]           **HYPERLINK**  
              "<http://senseable.mit.edu/realtimerome>"<http://senseable.mit.edu/realtimerome>
- [4]           ARM ARM7TDMI-S (Rev 4), Technical Reference Manual
- [5]           <http://www.olimex.com>
- [6]           Phillips Semiconductors, „LPC2119/2129/2194/2292/2294 *User Manual*“, 03 May 2004
- [7]           Movidia Labs – internal documentation and architecture July 2008

## **A1. LISTA LUCRĂRILOR PUBLICATE ÎN DOMENIUL TEZEI**

### **A. Volumele unor manifestări științifice internaționale cotate ISI**

1. Stanescu D., Stratulat M., Ciubotaru B., Chiciudean, D, Cioarga, R., Borca, D, "*Digital Watermarking using Karhunen-Loeve transform*", 4th International Symposium on Applied Computational Intelligence and Informatics, 2007. SACI '07, 18 Mai 2007, pp. 187-190, Timisoara, Romania, ISBN:1-4244-1234X, [ISI Proceedings]
2. Stanescu D., Stratulat M., Ciubotaru B., Chiciudean D., Cioarga R., Micea M., "*Embedding Data in Video Stream using Steganography*", 4th International Symposium on Applied Computational Intelligence and Informatics, 2007. SACI '07. 18 Mai 2007, pp. 241-244, Timisoara, Romania, ISBN: 1-4244-1234-X, [ISI Proceedings]
3. Stanescu D., Borca D., Groza V., Stratulat M., "*A Hybrid Watermarking Technique Using Singular Value Decomposition*"[HYPERLINK "http://ieeexplore.ieee.org/xpl/RecentCon.jsp?punumber=4662485"](http://ieeexplore.ieee.org/xpl/RecentCon.jsp?punumber=4662485), 2008. HAVE 2008. IEEE International Workshop on Haptic Audio visual Environments and their applications, 18-19 Oct. 2008, Ottawa, pp.166-170, ISBN: 978-1-4244-2668-3, [ISI Proceedings]

### **B. Volumele unor manifestări științifice internaționale indexate în baze de date internaționale (BDI)**

1. Stanescu D., Stratulat M., Groza V., Ghergulescu I., Borca D., "*Steganography in YUV color space*", Robotic and Sensors Environments, 2007. ROSE 2007. International Workshop on, 12-13 Oct. 2007, pp. 131-137 Ottawa, Canada, ISBN: 978-1-4244-1527-6, [IEEEExplorer]
2. Stanescu D., Groza V., Stratulat M., Borca D., Ghergulescu I., "*Robust Watermarking with High Bit Rate*", Third International Conference on Internet and Web Applications and Services, 2008, ICIW2008, 8-13 iunie 2008, Athena, Greece, pp. 257-260, 2008, ISBN: 978-0-7695-3163-2, [IEEEExplorer]
3. D. Stănescu, V Stângaciu, I. Gergulescu, M. Stratulat,

"Steganography on embedded devices", SACI, 2009 "Politehnica" University of Timișoara, România, pp.313-317, ISBN: 978-1-4244-4478-6, [IEEEExplorer]

## **A2. LISTA LUCRĂRILOR PUBLICATE (EXCEPTÂND CELE DIN DOMENIUL TEZEI)**

### **Cărți**

1. Mircea Stratulat, Horatiu Moldovan, Adrian Pop, Daniela Stanescu, "Circuite integrate. Familia TTL – principii si aplicatii", Ed. Politehnica, 2001, 322 pagini, ISBN 973-8247-41-1
2. Mircea Stratulat, Daniela Stanescu, "Circuite si semnale numerice", Ed. Politehnica, 2008, 290 pagini, ISBN 978-973-625-557-9

### **Volumele unor manifestări științifice din străinătate**

1. Andrei Novak, Mircea Stratulat, Daniela Stanescu, Dan Chiciudean, Bogdan Ciubotaru, Razvan Cioarga "Research and Development Platform for Multimedia Streaming of MP3 Audio Content", Journal of Applied Sciences at Budapest Tech, Hungary, Volume 3, 2006, ISSN: 1785-8860
2. M. Popa, D. Stanescu, "A node for serial communications in microcontroller networks", The 6th International Scientific Conference, Electronic Computers and Informatics ECI, 2004, Kosice-Herlany, Slovakia, Sept 22-24, ISBN 80-8073-950-0

### **Volumele unor manifestări științifice internaționale organizate în România (cu referenți științifici) și redactate integral într-o limbă de circulație internațională**

1. Dan Chiciudean, Bogdan Ciubotaru-Petrescu, Daniela Stanescu, Razvan Cioarga "Event Reporting and System Diagnosis for Autonomous Monitoring and Control Equipments", Proceedings of the 7th international conference on technical informatics – CONTI'2006, vol. 2, pp. 311-316.
2. Nicolae Mircea Dehelean, Liana-Maria Dehelean, Daniela Stanescu, "A minimal System Structure for Human Trait-Detection", Proceedings of the 7th international conference on technical informatics – CONTI'2006, vol. 2, pp.101-107



3. Razvan-Dorel Cioarga, Mihai V. Micea, Bogdan Ciubotaru, Dan Chiciudean, Daniela Stanescu, "CORE-TX: Collective Robotic Environment - the Timisoara Experiment", Proceedings of the 3rd Romanian-Hungarian Joint Symposium on Applied Computational Intelligence – SACI'2006, pp. 495-506, ISBN: 963-7154-46-9.
4. Bogdan Ciubotaru-Petrescu, Dan Chiciudean, Razvan Cioarga, Daniela Stanescu "Wireless Solutions for Telemetry in Civil Equipment and Infrastructure Monitoring", Proceedings of the 3rd Romanian-Hungarian Joint Symposium on Applied Computational Intelligence – SACI'2006, pp. 386-395, ISBN: 963-7154-46-9.
5. Andrei Novak, Mircea Stratulat, Daniela Stanescu, Dan Chiciudean, Bogdan Ciubotaru, Razvan Cioarga "Multimedia Streaming of MP3 Audio Content Based on FM Stereo Radio Transmitter", Proceedings of the 3rd Romanian-Hungarian Joint Symposium on Applied Computational Intelligence – SACI'2006, pp. 386-395, ISBN: 963-7154-46-9.
6. M. Popa, R. Icret, C. Lupu, D. Stanescu, "WebPic – An Embedded Internet Solution", Proceedings of the 6th international conference on technical informatics – CONTI'2004, pp. 9-12, ISBN: 1224-600X
7. M. Stratulat, I. Mihu, I. M. Mihu, Daniela Stanescu, D. Mastei, " Digital Signal Processing for ECG Signal", International Conf. on Computers Communications, ICC2004, pp. 394 – 400, 973-613-542-X

### **A3. CITARI**

1. Hanafy A.A.; Salama G.I.; Mohasseb Y.Z, "A secure covert communication model based on video steganography", Military Communications Conference, 2008. MILCOM 2008. IEEE , vol., no., pp.1-6, 16-19 Nov. 2008
2. Thanuja Tiptur Chandrashekhar, Uttara Kumari Mannava, "Invertible Data Hiding in Color Images Using Multiple Peaks Histogram," Signal Processing Systems, International Conference on, pp. 52-55, 2009 International Conference on Signal Processing Systems, 2009.